

3 1001 00382383 9

การทดสอบสมรรถนะของอินดักชั่นมอเตอร์

INDUCTION PERFORMANCE TESTING



นางสาวณชากาญจน์ อันสาย รหัส 49364035

นายเอกพจน์ เดชบุญ รหัส 49364394

วันที่ทดสอบ	วันที่ออกใบอนุญาต
วันที่ออก	12 พ.ย. 2556
เลขที่ใบอนุญาต	1643434X
ผู้ทดสอบ	นง.
ผลการทดสอบ	ผ่าน ๑๖ ก

๒๕๕๖

ปริญานิพนธ์นี้เป็นส่วนหนึ่งของการศึกษาหลักสูตรปริญญาวิศวกรรมศาสตรบัณฑิต

สาขาวิชาวิศวกรรมไฟฟ้า ภาควิชาวิศวกรรมไฟฟ้าและคอมพิวเตอร์

คณะวิศวกรรมศาสตร์ มหาวิทยาลัยมหิดล

ปีการศึกษา 2552



ใบรับรองปริญญาบัณฑ์

ชื่อหัวข้อโครงการ การทดสอบสมรรถนะของอินดักชันมอเตอร์

ผู้ดำเนินโครงการ นางสาวชากาญจน์ อันสาย รหัส 49364035

นายเอกพันธุ์ เศรษฐ รหัส 49364394

ที่ปรึกษาโครงการ ผู้ช่วยศาสตราจารย์ ดร.สมพร เรืองสินธ์ยานิช

สาขาวิชา วิศวกรรมไฟฟ้า

ภาควิชา วิศวกรรมไฟฟ้าและคอมพิวเตอร์

ปีการศึกษา 2552

คณะวิศวกรรมศาสตร์ มหาวิทยาลัยนเรศวร อนุมัติให้ปริญญาบัณฑ์ฉบับนี้เป็นส่วนหนึ่ง
ของการศึกษาตามหลักสูตรวิศวกรรมศาสตรบัณฑิต สาขาวิชาวิศวกรรมไฟฟ้า

ที่ปรึกษาโครงการ

(ผู้ช่วยศาสตราจารย์ ดร.สมพร เรืองสินธ์ยานิช)

กรรมการ

(ผู้ช่วยศาสตราจารย์ ดร.อัครพันธ์ วงศ์กังหา)

กรรมการ

(ดร.สุพรรณิกา วัฒนา)

ชื่อหัวข้อโครงการ	การทดสอบสมรรถนะของอินคัชั่นโมเตอร์		
ผู้ดำเนินโครงการ	นางสาวณชาภา ญุจัน	อั้นสาข	รหัส 49364035
	นายเอกพจน์	เพชรบุญ	รหัส 49364394
ที่ปรึกษาโครงการ	ผู้ช่วยศาสตราจารย์ ดร.สมพร เรืองสินชัยวนิช		
สาขาวิชา	วิศวกรรมไฟฟ้า		
ภาควิชา	วิศวกรรมไฟฟ้าและคอมพิวเตอร์		
ปีการศึกษา	2552		

บทคัดย่อ

ประยุญานิพันธ์ฉบับนี้เป็นการนำเสนอโครงการทดสอบสมรรถนะของอินคัชั่นโมเตอร์ โดยการสั่นสะเทือนของมอเตอร์และเสียงที่เกิดขึ้นในขณะมอเตอร์ทำงาน เป็นปัญหาที่ส่งผลให้มอเตอร์สูญเสียพลังงานและสมรรถนะในการทำงาน ดังนั้นในโครงการนี้จึงได้ทำการศึกษาและทดลองการสั่นสะเทือนของมอเตอร์และเสียงที่เกิดขึ้นในขณะมอเตอร์ทำงาน โดยจะแบ่งการทดลองเป็น 2 การทดลอง คือ 1.เสียงที่เกิดจากมอเตอร์ขณะทำงาน 2.การสั่นสะเทือนของมอเตอร์ โดยแต่ละการทดลองได้เพิ่มความถี่ขยายให้แก่โรเตอร์ ที่ 1 บาร์, 2 บาร์, 3 บาร์, 4 บาร์ และ 5 บาร์ ตามลำดับ นอกจากนี้ยังเพิ่มสภาวะทางกลหรือสภาวะโคลด์ไห้แก่มอเตอร์ในแต่ละการทดลองที่ 0%, 20%, 40%, 60%, 80% และ 100% ผลจากการทดลองสามารถวิเคราะห์ได้ว่าเมื่อกดความถี่ขยายของโรเตอร์มาก การสั่นสะเทือนและการเกิดเสียงก็จะเพิ่มขึ้นตาม และเมื่อมอเตอร์เพิ่มนากขึ้น การสั่นสะเทือนและการเกิดเสียงก็เพิ่มขึ้นเช่นกัน

Project title Induction Performance Testing
Name Miss. Nachakan Onsai ID. 49364035
Mr. Eagkapot Dehboon ID. 49364394

Project advisor Assistant Professer Somporn Ruangsinchaiwanich, Ph.D.
Major Electrical Engineering
Department Electrical and Computer Engineering
Academic year 2009

Abstract

This thesis is the presentation of the Induction performance testing project by motor's vibration and sound is occurring while the motor is operating, that problem result the power and preformance of motor is losen.

Therefore, this project was to study and to test motor's vibration and sound is occurring while the motor is operating that divided to experiment for 2 type is 1) sound is occurring while the motor is operating 2) motor's vibration and each experiment will increase the damage to rotor at Bar 1, Bar 2, Bar 3, Bar 4 and Bar 5. In addition to increase Mechanical condition and Load conditions to the motor in each the experiment at 0%, 20%, 40%, 60%, 80% and 100%.

The experiment can be analyze that the rotor was more damaged, the sound increased and the load increase, the vibration and the sound increase too.

กิตติกรรมประกาศ

โครงการวิศวกรรมเรื่องการทดสอบสมรรถนะของอินดักชันนอเตอร์ สำเร็จได้ด้วยดี
เนื่องจากได้รับคำแนะนำและความช่วยเหลือรวมทั้งข้อคิดเห็นต่างๆ อันเป็นประโยชน์ในการทำ
โครงการนี้จาก ผู้ช่วยศาสตราจารย์ ดร.สมพร เรืองสินชัยวนิช ขอขอบคุณอาจารย์ทุกท่านที่
ประดิษฐ์ประสานวิชาความรู้ให้กับคณะผู้ดำเนินงาน

ขอขอบคุณอาจารย์ประจำภาควิชาวิศวกรรมไฟฟ้าและคอมพิวเตอร์ทุกๆท่านที่ให้ความรู้
ตลอดการเรียนที่ผ่านมาและเพื่อนๆ ที่เคยให้ความช่วยเหลือในทุกด้าน รวมทั้งคณะ
วิศวกรรมศาสตร์ที่ให้ความเอื้อเฟื้อเครื่องมือและอุปกรณ์ในการทำโครงการครั้งนี้

นอกจากนี้ยังต้องขอขอบคุณภาควิชาวิศวกรรมไฟฟ้าและคอมพิวเตอร์ที่ให้ยืมอุปกรณ์
และเครื่องมือวัสดุใช้งานทำให้โครงการนี้สำเร็จลุล่วงไปได้

นางสาวณชาภรณ์ อันสาบ

นายเอกพจน์ เดชบุญ

สารบัญ

หน้า

ใบรับรองปริญญาบัตรนักศึกษา ก
บทคัดย่อภาษาไทย ข
บทคัดย่อภาษาอังกฤษ ค
กิตติกรรมประการ ง
สารบัญ จ
สารบัญตาราง ฉ
สารบัญรูป ญ
บทที่ 1 บทนำ 1
1.1 ที่มาและความสำคัญของโครงการ 1
1.2 วัตถุประสงค์ของโครงการ 2
1.3 ขอบเขตของโครงการ 2
1.4 ขั้นตอนและแผนการดำเนินงาน 2
1.5 ประโยชน์ที่คาดว่าจะได้รับจากโครงการ 3
1.6 งบประมาณ 3
บทที่ 2 หลักการและทฤษฎี 4
2.1 มอเตอร์เห็นี่ยวนำ 4
2.1.1 ส่วนประกอบของมอเตอร์ไฟฟ้ากระแสสลับ 4
2.1.2 หลักการของมอเตอร์เห็นี่ยวนำ 6
2.1.3 สลิป (Slip,S) 7
2.2 โหลดของมอเตอร์ 9
2.3 การประเมินโหลดของมอเตอร์ 10
2.4 เสียง 11
2.5 เครื่องวัดระดับเสียง (Sound Level Meter) 12
2.5.1 ในโทรศัพท์ (Microphone) 13
2.5.2 เครื่องวัดระดับเสียงที่ความถี่ต่างๆ (Frequency Weighting Networks) 14

สารบัญ (ต่อ)

หน้า

2.5.3 ตัวขยายสัญญาณ (Amplifier).....	15
2.5.4 ตัวตรวจวัดสัญญาณเสียง(Sound Level Meter Detectors)	15
2.5.5 ตัวแสดงผลการวัดสัญญาณเสียง(Sound Level Meter Display).....	15
2.6 เครื่องวิเคราะห์ความถี่เสียง (Sound Frequency Analysis).....	15
2.7 เครื่องบันทึก	17
2.8 อิทธิพลที่มีผลต่อการการวัดเสียงในสิ่งแวดล้อม	17
2.9 การสั่นสะเทือน	19
2.9.1 ความถี่ (Frequency)	19
2.9.2 แอมพลิจูด (Amplitude).....	20
2.9.3 ความเร็ว (Velocity)	22
2.9.4 ความเร่ง (Acceleration).....	22
2.10 ทฤษฎีการเคลื่อนที่ของการสั่นสะเทือน	21
2.10.1 เคลื่อนที่แบบชาร์มนิค (Harmonic Motion).....	21
2.10.2 การเคลื่อนที่แบบไม่เป็นชาร์มนิค (Non-harmonic Motion)	24
2.11 พลศาสตร์ของเครื่องจักร	25
2.11.1 มวล ความมั่นคงแข็งแรง และความหน่วง	25
2.12 ชนิดของการสั่นสะเทือน	26
2.12.1 การสั่นแบบอิสระโดยไม่มีความหน่วง (Free Vibration – Undamped).....	26
2.12.2 การสั่นแบบอิสระโดยมีความหน่วง (Free Vibration – Damped).....	28
2.12.3 การสั่นแบบมีแรงกระทำโดยไม่มีความหน่วง(Forced Vibration – Undamped).....	30
2.12.4 การสั่นแบบมีแรงกระทำโดยมีความหน่วง (Forced Vibration – Damped)	31
2.13 สภาพแวดล้อมที่มีผลกระทบต่อการวัดการสั่นสะเทือน.....	33
2.13.1 ผลกระทบจากอุณหภูมิ	33
2.13.2 ผลกระทบจากความชื้นร้อนชื้น	34
2.13.3 ผลกระทบจากการแปรรูปสี	34
2.13.4 ผลกระทบจากจำนวนแม่เหล็ก	34

สารบัญ (ต่อ)

หน้า

บทที่ 3 ขั้นตอนการศึกษาและออกแบบการทดสอบ	35
3.1 อุปกรณ์การทดสอบการสั่นสะเทือนในมอเตอร์ขณะมอเตอร์ทำงาน	36
3.1.1 อุปกรณ์การทดสอบการสั่นสะเทือน.....	36
3.1.2 การออกแบบและขั้นตอนการทดสอบ	37
3.1.3 วิธีทดสอบและลักษณะการติดตั้งหัววัดการสั่นสะเทือน	38
3.1.4 ทำการทดสอบเพื่อคุ้มกันแม่เหล็กไฟฟ้าแบบร้อนของการสั่นสะเทือนสภาพ	
ต่างๆ.....	38
3.1.5 การทดสอบเพื่อคุ้มกันแม่เหล็กไฟฟ้า	38
3.2 อุปกรณ์การทดสอบของเสียงที่เกิดขึ้นขณะมอเตอร์ทำงาน	38
3.2.1 อุปกรณ์การทดสอบของเสียง.....	38
3.2.2 อุปกรณ์การวัดและวิเคราะห์เสียง	39
3.2.3 การออกแบบการทดสอบของเสียง	39
3.2.4 การวิเคราะห์สัญญาณเสียงที่ภาระทางกลที่ต่างกัน	40
3.3 คอมพิวเตอร์และซอฟต์แวร์	40
บทที่ 4 ผลการการทดสอบ	41
4.1 ผลการทดสอบที่ 1 ความเร็วรอบและแรงบิดของมอเตอร์	41
4.2 ผลการทดสอบที่ 2 เสียงที่เกิดขึ้นในขณะที่มอเตอร์ทำงาน.....	49
4.2.1 ผลการทดสอบของเสียง ที่มอเตอร์ปกติ.....	49
4.2.2 ผลการทดสอบของเสียง ที่มอเตอร์เสียหายที่โรเตอร์ 1 บาร์	53
4.2.3 ผลการทดสอบของเสียง ที่มอเตอร์เสียหายที่โรเตอร์ 2 บาร์	57
4.2.4 ผลการทดสอบของเสียง ที่มอเตอร์เสียหายที่โรเตอร์ 3 บาร์	61
4.2.5 ผลการทดสอบของเสียง ที่มอเตอร์เสียหายที่โรเตอร์ 4 บาร์	66
4.2.6 ผลการทดสอบของเสียง ที่มอเตอร์เสียหายที่โรเตอร์ 5 บาร์	70
4.3 ผลการทดสอบที่ 3 การสั่นสะเทือนในขณะมอเตอร์ทำงาน.....	76
4.3.1 ผลการทดสอบการสั่นสะเทือน ที่มอเตอร์ปกติ	76
4.3.2 ผลการทดสอบการสั่นสะเทือน ที่มอเตอร์เสียหายที่โรเตอร์ 1 บาร์	79

สารบัญ (ต่อ)

หน้า

4.3.3 ผลการทดลองการสั่นสะเทือน ที่มอเตอร์เสียหายที่โรเตอร์ 2 บาร์	83
4.3.4 ผลการทดลองการสั่นสะเทือน ที่มอเตอร์เสียหายที่โรเตอร์ 3 บาร์	87
4.3.5 ผลการทดลองการสั่นสะเทือน ที่มอเตอร์เสียหายที่โรเตอร์ 4 บาร์	91
4.3.6 ผลการทดลองการสั่นสะเทือน ที่มอเตอร์เสียหายที่โรเตอร์ 5 บาร์	95
บทที่ 5 สรุปผลและข้อเสนอแนะ	100
5.1 สรุปผลการทดลองการสั่นสะเทือนของมอเตอร์	100
5.1.1 มอเตอร์ปกติ	100
5.1.2 มอเตอร์เสียหายที่โรเตอร์	100
5.2 สรุปผลการทดลองของเสียงขณะมอเตอร์ทำงาน	101
5.2.1 มอเตอร์ปกติ	101
5.2.2 มอเตอร์เสียหายที่โรเตอร์	101
5.3 การประเมินผลการทดลอง	101
5.4 ปัญหาและการแก้ไข	102
5.5 ข้อเสนอแนะ	103
5.6 แนวทางในการพัฒนาต่อไป	103
เอกสารอ้างอิง	104
ประวัติผู้ดำเนินโครงการ	105

สารบัญตาราง

ตารางที่

หน้า

4.1 นอเตอร์ปักติ (ไม่มีร้อยเดก).....	41
4.2 นอเตอร์เสียหายที่โรมเตอร์ 1 บาร์	42
4.3 นอเตอร์เสียหายที่โรมเตอร์ 2 บาร์	43
4.4 นอเตอร์เสียหายที่โรมเตอร์ 3 บาร์	44
4.5 นอเตอร์เสียหายที่โรมเตอร์ 4 บาร์	45
4.6 นอเตอร์เสียหายที่โรมเตอร์ 5 บาร์	46
4.7 ผลกระทบจากการทดสอบของเสียงขณะมอเตอร์ทำงานในสถานะต่างๆ	75
4.8 ผลกระทบจากการทดสอบการสั่นสะเทือนขณะมอเตอร์ทำงานในสถานะต่างๆ	98



สารบัญ

รูปที่	หน้า
2.1 มอเตอร์เหนี่ยวนำไฟฟ้า	4
2.2 สเตเตอร์.....	5
2.3 โรเตอร์แบบกรงกระอก	6
2.4 วงจรสมมูลต่อเฟสของมอเตอร์ไฟฟ้าเหนี่ยวนำ.....	8
2.5 โหลดแรงบิดคงที่ (Constant Torque)	9
2.6 โหลดแรงบิดแปรผัน (Variable Torque)	9
2.7 โหลดกำลังคงที่ (Constant Power)	10
2.8 ไมโครโฟน	14
2.9 กราฟสัญญาณแบบออกเทฟเบน (Octaveband).....	16
2.10 กราฟสัญญาณแบบวัน-เทร์ดออกเทฟเบน (1/3 Octaveband)	16
2.11 ลักษณะองค์ประกอบของการสั่น	19
2.12 ความสัมพันธ์ระหว่างการขัด (Displacement), ความเร็ว (Velocity) และความเร่ง (Acceleration) ที่ความถี่ 60 Hz.....	20
2.13 การเคลื่อนที่แบบควบเวลา.....	21
2.14 รูปแบบการเคลื่อนที่แบบหาร์มอนิกอย่างง่าย (Simple Harmonic Motion).....	22
2.15 การเคลื่อนที่แบบหาร์มอนิก 2 ค่า โดยที่มีมุนเฟสระหว่างกัน	23
2.16 การเคลื่อนที่แบบไม่เป็นหาร์มอนิก (Non-harmonic Motion).....	24
2.17 Undamped Spring – Mass System	27
2.18 Damped Spring – Mass System	28
2.19 Damped Forced Vibration System.....	31
3.1 โรเตอร์แบบกรงกระอก	36
3.2 มอเตอร์เหนี่ยวนำ ไฟฟ้า	36
3.3 อุปกรณ์แปลงสัญญาณการสั่นสะเทือน	37
3.4 สายนำสัญญาณการสั่นสะเทือน	37
3.5 เครื่องวัดอุณหภูมิแบบอินฟารेड	37

สารบัญรูป (ต่อ)

รูปที่	หน้า
3.6 ดิจิตอลแคนป์นิเตอร์คล้องสายไฟ	37
3.7 ออสซิลโลสโคป.....	37
3.8 Electrodynamometer	37
3.9 การทดสอบมอเตอร์.....	37
3.10 ไมโครโฟน	39
3.11 มอเตอร์เหนี่ยววนไน	39
3.12 การทดสอบมอเตอร์	39
4.1 กราฟแสดงความเร็วรอบที่มอเตอร์ปกติ	42
4.2 กราฟแสดงความเร็วรอบที่มอเตอร์เสียหายที่โรมเตอร์ 1 บาร์	43
4.3 กราฟแสดงความเร็วรอบที่มอเตอร์เสียหายที่โรมเตอร์ 2 บาร์	44
4.4 กราฟแสดงความเร็วรอบที่มอเตอร์เสียหายที่โรมเตอร์ 3 บาร์	45
4.5 กราฟแสดงความเร็วรอบที่มอเตอร์เสียหายที่โรมเตอร์ 4 บาร์	46
4.6 กราฟแสดงความเร็วรอบที่มอเตอร์เสียหายที่โรมเตอร์ 5 บาร์	47
4.7 กราฟกราฟแสดงผลกระทบของความเร็วรอบ	47
4.8 กราฟกราฟแสดงผลกระทบของแรงบิด	48
4.9 กราฟสเปกตรัมสัญญาณเสียงของมอเตอร์ปกติ ในสภาพอากาศ 0%	49
4.10 กราฟสเปกตรัมสัญญาณเสียงของมอเตอร์ปกติ ในสภาพอากาศ 20%	49
4.11 กราฟสเปกตรัมสัญญาณเสียงของมอเตอร์ปกติ ในสภาพอากาศ 40%	50
4.12 กราฟสเปกตรัมสัญญาณเสียงของมอเตอร์ปกติ ในสภาพอากาศ 60%	50
4.13 กราฟสเปกตรัมสัญญาณเสียงของมอเตอร์ปกติ ในสภาพอากาศ 80%	51
4.14 กราฟสเปกตรัมสัญญาณเสียงของมอเตอร์ปกติ ในสภาพอากาศ 100%	51
4.15 กราฟผลการทดลองของเสียงในมอเตอร์ปกติที่สภาพอากาศต่างๆ	52
4.16 กราฟสเปกตรัมสัญญาณเสียงของมอเตอร์เสียหายที่โรมเตอร์ 1 บาร์ ในสภาพอากาศ 0%	53
4.17 กราฟสเปกตรัมสัญญาณเสียงของมอเตอร์เสียหายที่โรมเตอร์ 1 บาร์ ในสภาพอากาศ 20%....	53
4.18 กราฟสเปกตรัมสัญญาณเสียงของมอเตอร์เสียหายที่โรมเตอร์ 1 บาร์ ในสภาพอากาศ 40%....	54
4.19 กราฟสเปกตรัมสัญญาณเสียงของมอเตอร์เสียหายที่โรมเตอร์ 1 บาร์ ในสภาพอากาศ 60%....	54
4.20 กราฟสเปกตรัมสัญญาณเสียงของมอเตอร์เสียหายที่โรมเตอร์ 1 บาร์ ในสภาพอากาศ 80%....	55

สารบัญรูป (ต่อ)

สารบัญรูป (ต่อ)

สารบัญรูป (ต่อ)

บทที่ 1

บทนำ

1.1 ที่มาและความสำคัญของโครงงาน

ในปัจจุบันมอเตอร์เนี่ยนว่านา (Induction motor) ได้ถูกนำมาใช้งานอย่างแพร่หลายทั่วในระบบการผลิตของโรงงานอุตสาหกรรม และในอุปกรณ์เครื่องใช้ไฟฟ้าสำหรับใช้งานในบ้านพักอาศัย อาทิ เช่น ปั๊มน้ำ ระบบสายพานลำเลียง พัดลมเป่าอากาศ และคอมเพรสเซอร์ของระบบเครื่องปรับอากาศ เป็นต้น

การเลือกประเภทของมอเตอร์เนี่ยนว่านาจะมีผลกระทบสัมภาระไปถึงการเลือกวิธีการควบคุม การทำงานของมอเตอร์เป็นประเด็นที่จะต้องมีการพิจารณาถึงความเหมาะสมของการใช้งานทั้งในด้านวิศวกรรมศาสตร์ และเศรษฐศาสตร์ ที่เกี่ยวข้องกับการออกแบบ ต้นทุนการสร้าง และการประหยัดกำลังงาน เนื่องจากมีความหลากหลายของประเภทของมอเตอร์เนี่ยนว่านากระแสสลับที่มีการจำแนกในปัจจุบัน ทั้งแบบ 1 เฟส และ 3 เฟส นอกจากนี้การควบคุมมอเตอร์ยังจะต้องคำนึงถึงปัจจัยต่างๆ ที่เกี่ยวข้องกับความต้องการของผู้ใช้ อาทิ เช่น แรงบิด ความเร็วรอบของมอเตอร์ รวมไปถึงค่ากำลังงานที่จะต้องใช้ในการขับนอเตอร์ดังกล่าว โดยปัจจัยเหล่านี้จะขึ้นอยู่กับคุณสมบัติของมอเตอร์ ซึ่งมีความแตกต่างกันไป

นอกจากประเด็นที่ได้กล่าวในข้างต้นแล้ว ยังมีข้อปัญหาในเชิงเทคนิคที่จำเป็นที่จะต้องพิจารณาในเชิงลึก ผู้ใช้ส่วนใหญ่โดยเฉพาะโรงงานอุตสาหกรรมได้ให้ความสำคัญกับคุณภาพ มอเตอร์มากขึ้น เพราะปัจจุบันโรงงานอุตสาหกรรมใช้ระบบควบคุมในกระบวนการผลิตที่ซับซ้อน ระบบควบคุมบางระบบต้องการความละเอียดในการทำงานค่อนข้างสูงจำเป็นต้องตรวจสอบศักยภาพ และสมรรถนะของมอเตอร์ ดังนั้นมอเตอร์ซึ่งเป็นอุปกรณ์ที่ถูกใช้งานอย่างหนักจึงมีการเปลี่ยนแปลง กล่าวคือ คุณภาพ ความเร็วรอบ เสียง สารมอนิกส์ การสั่นสะเทือน เกิดความผิดเพี้ยน ไปจากปกติ อาจทำให้ระบบควบคุมเกิดการทำงานที่ผิดพลาด เกิดอุปกรณ์ชำรุดเสียหาย ดังนั้นปัญหารื่องคุณภาพ ศักยภาพ หรือสมรรถนะของมอเตอร์จำเป็นต้องนำมาพิจารณา โดยสาเหตุหลักที่ทำให้เกิดความเสียหายแก่นอเตอร์ ส่วนหนึ่งมาจากอุณหภูมิที่เกิดขึ้น ความเร็วรอบที่เปลี่ยนไป เสียงที่เกิดขึ้นในขณะทำงาน การสั่นสะเทือนของตัวมอเตอร์ที่เกินมาตรฐาน และสารมอนิกส์ที่เกิดขึ้นในระบบไฟฟ้า

ดังนั้น ในบริษัทฯ จึงได้ทำการวิเคราะห์เสียง ความเร็วรอบ การสั่นสะเทือน ที่เกิดขึ้นของมอเตอร์เนี่ยนว่านา 1 เฟส ที่สภาวะขับกระแสทางกลและที่ไม่มีสภาวะขับกระแสทางกล เพื่อจะประเมินสภาพของมอเตอร์เพื่อจะได้หาวิธีแก้ไขและปรับปรุงต่อไป

1.2 วัตถุประสงค์ของโครงการ

- 1) เพื่อส่งเสริมและกระตุ้นให้นิสิต ได้เรียนรู้และเข้าใจมอเตอร์เหนี่ยวนำไฟฟ้ามากขึ้น
 - 2) เพื่อศึกษาและวิเคราะห์เสียงที่เกิดขึ้นของมอเตอร์เหนี่ยวนำ 1 เฟส ที่สภาวะขับการทางกล และที่ไม่มีสภาวะขับการทางกล โดยเลือกความเสียหายของบาร์โรเตอร์ ที่ 1 บาร์, 2 บาร์, 3 บาร์, 4 บาร์, 5 บาร์ และไม่มีความเสียหายของบาร์โรเตอร์ และเลือกขั้บ荷ลดคที่ 0%, 20%, 40%, 60%, 80%, 100% เพื่อเทียบกันว่ามีความแตกต่างกันอย่างไร
 - 3) เพื่อศึกษาและวิเคราะห์การสั่นสะเทือนที่เกิดขึ้นของมอเตอร์เหนี่ยวนำ 1 เฟสที่สภาวะขับการทางกลและที่ไม่มีสภาวะขับการทางกล โดยเลือกความเสียหายของบาร์โรเตอร์ ที่ 1 บาร์, 2 บาร์, 3 บาร์, 4 บาร์, 5 บาร์ และเลือกขั้บ荷ลดคที่ 0%, 20%, 40%, 60%, 80%, 100% เพื่อเทียบกันว่ามีความแตกต่างกันอย่างไร

1.3 ขอบเขตของโครงการ

คึกคัก เสียง ความเร็วตอบ การสั่นสะเทือนภายในมอเตอร์เหนี่ยวนำ 1 เพส ในสภาวะที่มอเตอร์เหนี่ยวนำ 1 เพส ไว้ภาระทางกลจนถึงสภาวะขับภาระทางกล แล้วนำผลการทดสอบที่ได้มาวิเคราะห์เปรียบเทียบ เพื่อหาประสิทธิภาพในการทำงานของมอเตอร์เหนี่ยวนำ 1 เพส

1.4 ขั้นตอนและแผนการดำเนินงาน

1.5 ประโยชน์ที่คาดว่าจะได้รับจากโครงการ

- 1) สามารถวิเคราะห์และเปรียบเทียบการสั่นสะเทือนที่เกิดขึ้นกับมอเตอร์หนี่ยาน้ำ 1 เฟส
- 2) สามารถวิเคราะห์และเปรียบเทียบเสียงที่เกิดขึ้นกับมอเตอร์หนี่ยาน้ำ 1 เฟส
- 3) สามารถวิเคราะห์และเปรียบเทียบความเร็วรอบที่เกิดขึ้นกับมอเตอร์หนี่ยาน้ำ 1 เฟส
- 4) สามารถวิเคราะห์และเปรียบเทียบชาร์มนิเกลส์ที่เกิดขึ้นกับมอเตอร์หนี่ยาน้ำ 1 เฟส
- 5) นำความรู้และทุนถือที่เกี่ยวกับมอเตอร์หนี่ยาน้ำ 1 เฟส มาศึกษาเพิ่มเติมเพื่อให้เกิดความเข้าใจเพิ่มขึ้น
- 6) สามารถนำความรู้ไปเผยแพร่ ประยุกต์ใช้ในการทำงานในอนาคต เพื่อให้เกิดประโยชน์ต่อไปในอนาคต

1.6 งบประมาณ

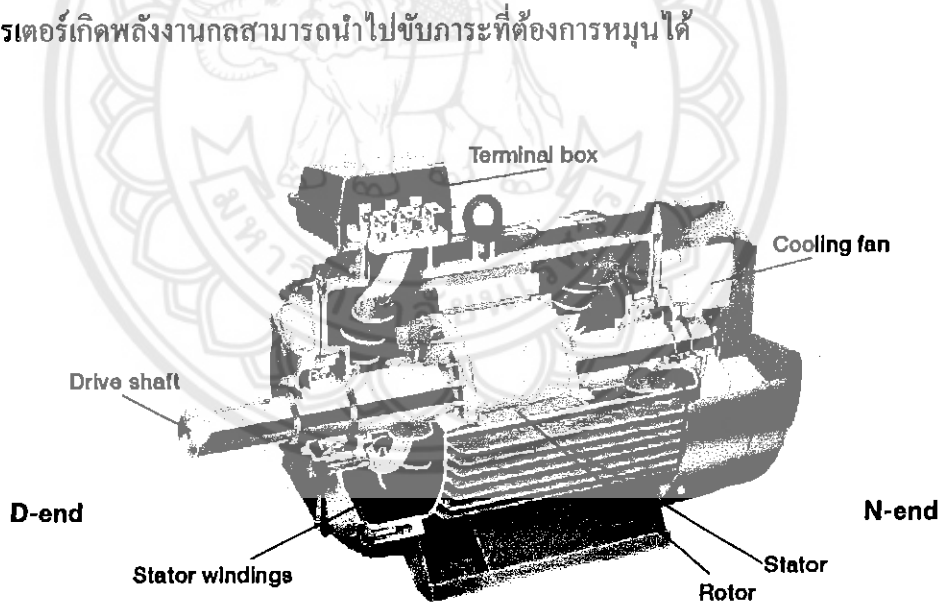
1) ค่าอุปกรณ์ไฟฟ้าและอิเล็กทรอนิกส์	1,500 บาท
2) ค่าเอกสาร	300 บาท
3) ค่าวัสดุอื่นๆ	200 บาท
รวมเป็นเงินทั้งสิ้น (สามพันบาทถ้วน)	2,000 บาท
หมายเหตุ : มีการถัวเฉลี่ยทุกรายการ	

บทที่ 2

หลักการและทฤษฎีเบื้องต้น

2.1 มอเตอร์เหนี่ยวนำไฟฟ้า

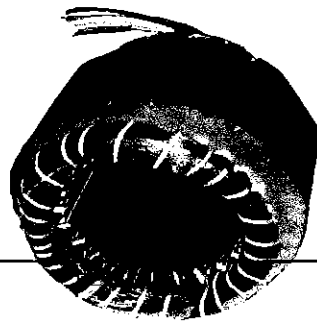
เป็นเครื่องกลไฟฟ้าที่ทำหน้าที่เปลี่ยนพลังงานไฟฟ้าให้เป็นพลังงานกล ส่วนที่ทำหน้าที่เปลี่ยนพลังงานไฟฟ้า คือ ขดลวดในสเตเตอร์ และส่วนที่ทำหน้าที่ให้พลังงานกล คือ ตัวหมุนหรือโรเตอร์ เมื่อขดลวดในสเตเตอร์ได้รับพลังงานไฟฟ้าก็จะสร้างสนามแม่เหล็กขึ้นมาในตัวสเตเตอร์ สนามแม่เหล็กที่เกิดขึ้นนี้จะมีการเคลื่อนที่หรือหมุนไปรอบๆ สเตเตอร์เนื่องจาก การต่างเฟสของกระแสไฟฟ้าในขดลวดและการเปลี่ยนแปลงของกระแสไฟฟ้า ในขณะที่สนามแม่เหล็กเคลื่อนที่ไป สนามแม่เหล็กจากขั้วเหนือก็จะพุ่งเข้าหาขั้วใต้ จะไปตัดกับตัวนำที่เป็นวงจรปิดหรือขดลวดกรง กระแสของตัวหมุนหรือโรเตอร์ ทำให้เกิดการเหนี่ยวนำของกระแสไฟฟ้าขึ้นในขดลวด โรเตอร์ สนามแม่เหล็กของโรเตอร์นี้จะเคลื่อนที่ตามทิศทางการเคลื่อนที่ของสนามแม่เหล็กที่สเตเตอร์ ก็จะ ทำให้โรเตอร์เกิดพลังงานกลสามารถนำไปใช้ประโยชน์ที่ต้องการหมุนได้



รูปที่ 2.1 มอเตอร์เหนี่ยวนำ [2.1]

2.1.1 ส่วนประกอบของมอเตอร์ไฟฟ้ากระแสสลับ

- สเตเตอร์หรือตัวอยู่กับที่ (Stator) จะเป็นส่วนที่อยู่กับที่ซึ่งจะประกอบด้วยโครงของ มอเตอร์แกน เหล็กสเตเตอร์ และขดลวด ดังรูปที่ 2.2



รูปที่ 2.2 สเตเตอร์ [2.2]

— โครงมอเตอร์ (Frame) จะทำด้วยเหล็กหล่อทรงกระบอกคลึงร้อนส่วนล่างจะเป็นขาตั้ง มีกอล์ฟสำหรับต่อสายไฟอยู่ด้านบนหรือด้านข้าง โครงจะทำหน้าที่ปิดแกนเหล็กสเตเตอร์ให้แน่นอยู่กับที่พิเศษด้านนอกของโครงมอเตอร์ จะออกแบบให้มีลักษณะเป็นครึ่ง เพื่อช่วยในการระบายความร้อน ในกรณีที่เป็นมอเตอร์ขนาดเล็กๆ โครงจะทำด้วยเหล็กหล่อ แต่ถ้าเป็นมอเตอร์ขนาดใหญ่ โครงจะทำด้วยเหล็กหล่อเหนี่ยวน้ำ ซึ่งจะทำให้มอเตอร์น้ำขนาดเล็กจะหดตัวมากขึ้น แต่ถ้าใช้เหล็กหล่อ ก็จะให้มีขนาดใหญ่ น้ำหนักมาก นอกจากนี้แล้วโครงของมอเตอร์ยังอาจทำด้วยเหล็กหล่อ เนื่องจากเป็นมอเตอร์สปีดเพลส เป็นต้น

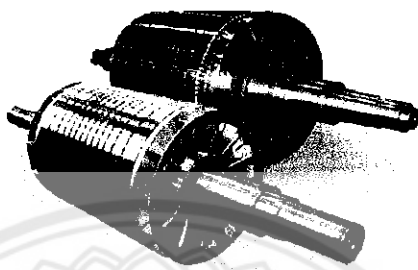
— แกนเหล็กสเตเตอร์ (Stator Core) ทำด้วยแผ่นเหล็กบางๆ มีลักษณะกลมจะตรงกลางและขยายร่องภายในโดยรอบ แผ่นเหล็กชนิดนี้เรียกว่า ตามินेथ ซึ่งจะถูกเคลือบด้วยซิลิกอน เหล็กแต่ละแผ่นจะมีความหนาประมาณ 0.025 นิ้ว หลังจากนั้นจึงนำไปอัดเข้าด้วยกันจนมีความหนาที่เหมาะสม เรียกว่าแกนเหล็กสเตเตอร์

— ขดลวด (Stator Winding) จะมีลักษณะเป็นเส้นลวดทองแดงเคลือบสนวนที่เรียกว่า อีนาเมล (Enamel) พันอยู่ในร่องของแกนเหล็กสเตเตอร์ตามรูปแบบต่างๆ ของการพัฒนามอเตอร์

- โรเตอร์หรือตัวหมุน (Rotor) มอเตอร์ชนิดนี้ขานำจะมีโรเตอร์ 2 ชนิด คือ โรเตอร์แบบกรงกระรอกและโรเตอร์แบบขดลวดพันหรือแบบขาวด์ ซึ่งจะมีส่วนประกอบดังนี้คือ แกนเหล็ก โรเตอร์ ขดลวด ใบพัด และเพลา ซึ่งในปริญญาพินน์ศึกษาเฉพาะ โรเตอร์แบบกรงกระรอก

— โรเตอร์แบบกรงกระรอก (Squirrel cage rotor) จะประกอบด้วยแผ่นเหล็กบาง ๆ ที่เรียกว่าแผ่นเหล็กตามินेथ ซึ่งจะเป็นแผ่นเหล็กชนิดเดียวกันกับสเตเตอร์ มีลักษณะเป็นแผ่นกลม ๆ เซาะร่องผิวภายนอกเป็นร่องโดยรอบ ตรงกลางจะเจาะรูสำหรับสวมเพลา และจะเจาะรูรอบๆ ตรงกลางที่สวมเพลาทั้งนี้เพื่อช่วยให้ในการระบายความร้อน และยังทำให้โรเตอร์มีน้ำหนักเบาลง เมื่อนำแผ่นเหล็กไปสวมเข้ากับแกนเพลาแล้วจะได้เป็นแกนเหล็กโรเตอร์ หลังจากนั้นก็จะใช้แห่งตัวทองแดงหรือแท่งอะลูมิเนียมหล่ออัดเข้าไปในร่องของแกนเหล็กสเตเตอร์เข้าไปวางแผนทั้งสองด้านด้วยวงแหวนตัวนำทั้งนี้เพื่อให้ขดลวดคงแรงไฟฟ้าหรืออาจนำแกนเหล็กสเตเตอร์เข้าไปในแบบพิมพ์

แล้วนิคอะกูมิเนี่ยมเหลวเข้าไปในร่อง ก็จะไดอะกูมิเนี่ยมอัดแน่นอยู่ในร่องจนเต็มและจะได้ข้อตัวค์ตัวนำแบบวงแหวนรองรับฟองอากาศ ข้อตัวค์ในโรเตอร์นั้นจะเป็นลักษณะของตัวนำที่เป็นแท่งซึ่งอาจใช้ทองแดง หรืออะกูมิเนี่ยมประกอบเข้าด้วยกันเป็นลักษณะคล้ายกรุงกหรือกรุงกระอกดังแสดงในรูปที่ 2.3



รูปที่ 2.3 โรเตอร์แบบวงแหวน [2.3]

- **ฝาครอบ (End Plate)** ส่วนมากจะทำด้วยเหล็กหล่อ เจาะรูตรงกลางและครีวันเป็นรูกลมใหญ่เพื่ออัดเบริงหรือคลับถูกปืนรองรับแกนเพลาของโรเตอร์
- **ฝาครอบใบพัด (Fan End Plate)** จะมีลักษณะเป็นแผ่นเหล็กเหนียวขึ้นรูปให้มีขนาดส่วนฝาครอบได้พอดี มีรูเจาะเพื่อระบายอากาศ และขีดติดกับฝาครอบด้านที่มีใบพัด ส่วนใหญ่จะมีในนอเตอร์ 3 เพสและนอเตอร์ 1 เพสขนาดใหญ่
- **ใบพัด (Fan)** จะทำด้วยเหล็กหล่อ มีลักษณะเท่ากันทุกครีบเท่ากันทุกครีบ จะส่วนขึ้นเพลาด้านตรงข้ามกับเพลางาน ใบพัดนี้จะช่วยในการระบายอากาศและความร้อนได้มาก ที่เดียวใบพัดนี้ส่วนใหญ่จะมีในนอเตอร์ 3 เพสและนอเตอร์ 1 เพสขนาดบ่อบี๊งขนาดใหญ่เช่นเดียวกับฝาครอบใบพัด
- **สลักเกลียว (Bolt)** จะทำด้วยเหล็กเหนียวจะมีลักษณะเป็นเกลียวต่อล็อก ถ้าเป็นนอเตอร์ 3 เพส จะประกอบด้วยสลักเกลียว 8 ตัว ทำหน้าที่ขีดฝาครอบให้ติดกับโครง ถ้าเป็นนอเตอร์ 1 เพสขนาดเล็ก เช่น นอเตอร์สปีดิฟเฟสจะเป็นสลักเกลียวขาวที่ล็อกความยาวของตัวนอเตอร์ ทำเกลียวเฉพาะด้านปลายและมีนื้อตันบี๊ดไว้ ดังนั้นจึงมีเพียง 4 ตัว

2.1.2 หลักการของนอเตอร์เหนี่ยวนำ

ในนอเตอร์เหนี่ยวนำ 1 เพสและ 3 เพส เมื่อได้รับการจ่ายแรงดันไฟฟ้าลับ ที่สมดุลย์ 3 เพส (กรณีนอเตอร์ 3 เพส) ที่มีความถี่ f จำนวนขั้วแม่เหล็ก P ขั้ว จะมีผลให้เกิดกระแสไฟลอดห่างสมดุลย์

ในขดลวดแต่ละเฟส โดยกระแสที่ไหลจะสร้างเส้นแรงแม่เหล็กขึ้นที่ช่องอากาศ ที่หมุนด้วยความเร็วคงที่ เรียกว่า Synchronous speed ดังต่อไปนี้

$$N_S = \frac{120f}{P} \text{ (rpm)} \quad (2.1)$$

เมื่อ N_S ความเร็วคงที่ (rpm)

f ความถี่มูลหลักของไฟฟ้ากระแสสลับ

P จำนวนขั้วแม่เหล็กของมอเตอร์

จากสมการที่ (2.1) พนวจว่า ความเร็วของสนามแม่เหล็กหมุนจะเปลี่ยนต่างกับความถี่ของกระแสไฟฟ้า แต่เนื่องจากที่เพลาของมอเตอร์เหนี่ยวหนาน 3 เฟส จะหมุนโดยมีความเร็วรอบน้อยกว่าความเร็วรอบของสนามแม่เหล็กหมุนเล็กน้อย ที่ถูกเรียกว่า ความเร็วสลิป (Slip) ซึ่งมีค่าประมาณ 1% ถึง 3% ขึ้นอยู่กับภาระ (Load) ของมอเตอร์

2.1.3 สลิป (Slip, S)

ในทางปฏิบัตินั้น โรเตอร์ไม่สามารถหมุนได้เท่ากับความเร็วของสนามแม่เหล็กหมุนที่สเตเตอร์ โดยปกติแล้วความเร็วของโรเตอร์จะมีความเร็วน้อยกว่าความเร็วของสนามแม่เหล็กที่หมุนที่สเตเตอร์ ความแตกต่างของความเร็วนั้น จะขึ้นอยู่กับโหลดที่ต้องอยู่กับมอเตอร์นั้น

ความแตกต่างระหว่างความเร็วของสนามแม่เหล็กที่หมุนอยู่ที่สเตเตอร์หรือความเร็วคงที่ (N_S) และความเร็วรอบของโรเตอร์ขณะใช้งาน (Actual Speed, N_r) เรียกว่า สลิปของมอเตอร์ โดยปกติเป็นเปอร์เซ็นต์ซึ่งเปอร์เซ็นต์สลิป สามารถหาได้จากสมการดังนี้

$$S = \frac{N_S - N_r}{N_S} \quad (2.2)$$

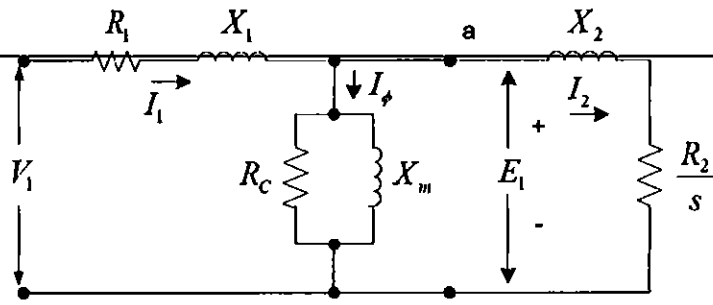
$$\% Slip = \frac{N_S - N_r}{N_S} \times 100 \quad (2.3)$$

แต่ในบางครั้ง $N_s - N_r$ ก็เรียกว่า ความเร็วสลิป (Slip Speed)

จะได้ความเร็วของโรเตอร์ คือ

$$N_r = N_s(1 - S) \quad (2.4)$$

สำหรับการวิเคราะห์ค่าความสูญเสียของ雍มอเตอร์ไฟฟ้าเหนี่ยวนำนั้น ค่าความสูญเสียของ雍มอเตอร์ไฟฟ้าเหนี่ยวนำ สามารถวิเคราะห์ได้จากการสมมูลของ雍มอเตอร์ไฟฟ้าเหนี่ยวนำได้จากรูปที่ 2.4 โดยกำลังไฟฟ้าแต่ละส่วนของ雍มอเตอร์



รูปที่ 2.4 วงจรสมมูลต่อเฟสของ雍มอเตอร์ไฟฟ้าเหนี่ยวนำ [2.4]

ไฟฟ้าเหนี่ยวนำสามารถพิจารณาได้จากสมการที่ (2.5) – (2.11)

กำลังไฟฟ้าที่จ่ายให้แก่นอก雍มอเตอร์ไฟฟ้าเหนี่ยวนำ (P_i)

$$P_i = 3V_1 I_1 \cos \theta_1 \quad (2.5)$$

กำลังไฟฟ้าสูญเสียของคลัวด์ที่สเตเตอร์ ($P_{cu,1}$)

$$P_{cu,1} = 3I_1^2 R_1 \quad (2.6)$$

กำลังไฟฟ้าที่จ่ายให้โรเตอร์ (P_g)

$$P_g = 3I_2^2 \frac{R_2}{S} \quad (2.7)$$

กำลังไฟฟ้าสูญเสียของคลัวด์ที่โรเตอร์ ($P_{cu,2}$)

$$P_{cu,2} = 3I_2^2 R_2 = sP_g \quad (2.8)$$

กำลังไฟฟ้าที่ออกจากโรเตอร์ (P_e)

$$P_e = P_g - P_{cu,2} = (1-s)P_g \quad (2.9)$$

กำลังไฟฟ้าที่ออกจาก雍มอเตอร์ไฟฟ้าเหนี่ยวนำ (P_o)

$$P_o = T\omega_r \quad (2.10)$$

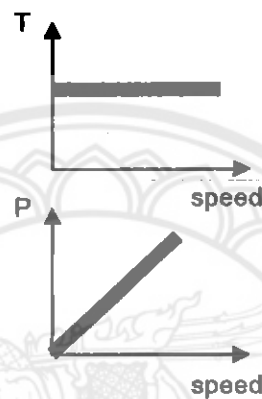
ประสิทธิภาพของ雍มอเตอร์ไฟฟ้าเหนี่ยวนำ (η)

$$\eta = \frac{P_o}{P_i} \quad (2.11)$$

2.2 โหลดของมอเตอร์

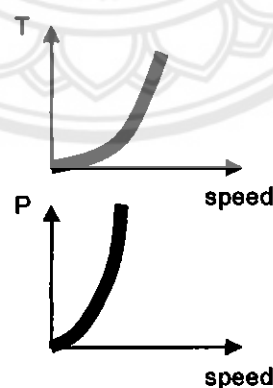
ในความหมายของมรภานยกรรมงาน (โหลด) ของมอเตอร์ เป็นสิ่งสำคัญสิ่งหนึ่งที่ควรที่จะเข้าใจ โดยทั่วไปโหลดแบ่งออกเป็น 3 กลุ่ม ดังนี้

2.2.1 โหลดแรงบิดคงที่ (Constant Torque) คือ โหลดที่มีความต้องการกำลังสั่งออกเปรียบเท่ากับความเร็วในการทำงานแต่ไม่แปรผันกับแรงบิด ตัวอย่างของโหลดแรงบิดคงที่ ได้แก่ ลิฟต์ปั้นจั่น สายพานลำเลียง เตาเผาแบบหมุนและเครื่องสูบแบบแท่นที่คงที่



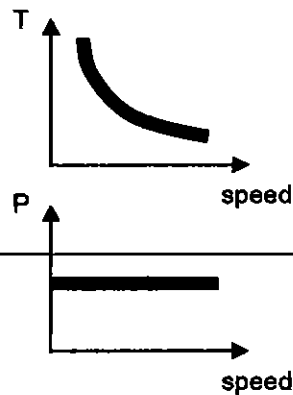
รูปที่ 2.5 โหลดแรงบิดคงที่ (Constant Torque) [2.5]

2.2.2 โหลดแรงบิดแปรผัน (Variable Torque) คือ โหลดที่มีความต้องการแรงบิดแปรผันกับความเร็วในการทำงาน ตัวอย่างของโหลดแรงบิดผันแปร ได้แก่ เครื่องสูบแบบแรงหมุนหวาย (แรงบิดจะผันแปรไปกับความเร็วยกกำลังสอง)



รูปที่ 2.6 โหลดแรงบิดแปรผัน (Variable Torque) [2.6]

2.2.3 โหลดกำลังคงที่ (Constant Power) คือ โหลดที่มีความต้องการแรงบิดที่แปรผูกพันกับความเร็ว ตัวอย่างของโหลดกำลังคงที่ ได้แก่ เครื่องเจาะ สว่าน เครื่องขัดต่างๆ



รูปที่ 2.7 โหลดกำลังคงที่ (Constant Power) [2.7]

2.3 การประเมินโหลดของมอเตอร์

สามารถประเมินโหลดของมอเตอร์ เพื่อเป็นตัวบ่งชี้ประสิทธิภาพของมอเตอร์ได้ เมื่อปริมาณโหลดเพิ่มสูงขึ้นค่าตัวประกอบกำลังและค่าประสิทธิภาพของมอเตอร์ก็จะเพิ่มขึ้นจนถึงค่าที่ทำให้ได้ประโยชน์สูงสุดเมื่อมีปริมาณโหลดเดิมที่

การคำนวณปริมาณโหลดจะใช้สมการดังต่อไปนี้

$$\text{Load} = \frac{P_i \times \eta}{HP \times 0.7457} \quad (2.12)$$

โดยที่ η คือ ค่าประสิทธิภาพในการทำงานของมอเตอร์แสดงเป็น %

HP คือ อัตรากำลังแรงม้าที่ระบุไว้ในป้ายชื่อ

$Load$ คือ โหลดซึ่งคือกำลังส่งออกโดยคิดเป็น % ของอัตรากำลังที่ระบุไว้

P_i ค่ากำลัง 3 เฟสในหน่วยโคลวัตต์ (kW)

มี 3 วิธีการสำหรับการคำนวณโหลดของมอเตอร์ที่มีการทำงานแบบแยกอิสระ

1. การวัดกำลังอินพุต วิธีนี้จะคำนวณโหลดในฐานะที่เป็นอัตราส่วนระหว่างกำลังอินพุต (วัดโดยเครื่องวิเคราะห์กำลัง) และอัตรากำลังที่กำหนดไว้ในสภาวะที่มีโหลด 100%

2. การวัดกระแสในสายโหลด ใช้วิธีการคำนวณ โดยจะทำการเปรียบเทียบค่ากำลังกระแสไฟฟ้า (วัดโดยเครื่องวิเคราะห์กำลัง) กับค่ากำลังกระแสไฟฟ้าที่กำหนดไว้ วิธีการนี้จะถูกใช้เมื่อไม่ทราบค่าตัวประกอบกำลังและทราบเพียงค่ากำลังกระแสไฟฟ้าเท่านั้น และแนะนำว่าควรใช้วิธีนี้เมื่อมีเบอร์เซ็นต์ของโหลดน้อยกว่า 50%

3. วิธีการเลื่อนไหลด荷ลด จะถูกคำนวณโดยการเปรียบเทียบค่าการเลื่อนไหลดที่วัดได้ เมื่อ
มอเตอร์กำลังทำงาน โดยมีการเลื่อนไหลดสำหรับมอเตอร์ที่มี荷ลดเดิมที่ วิธีการนี้มีข้อจำกัดเรื่อง
ความแม่นยำแต่สามารถนำมาใช้กับเครื่องมือวัดความเร็วของแรงนูนเท่านั้น (ไม่จำเป็นต้อง^{ใช้เครื่องวิเคราะห์กำลัง)}

2.4 เสียง

พลังงานรูปแบบหนึ่งที่เกิดจากการสั่นสะเทือนของอนุภาคนองต้นกำเนิดเสียงหรือ^{แหล่งกำเนิดเสียง} ซึ่งพลังงานจากการสั่นสะเทือนของต้นกำเนิดเสียงนี้จะถ่ายทอดผ่านตัวกลางหรือ^{อากาศ} ทำให้อนุภาคนองตัวกลางหรืออากาศสั่นไปมา ส่งผลให้เกิดการเปลี่ยนแปลงความดันของ^{ตัวกลางหรืออากาศ} และทำให้เกิดการเคลื่อนที่ของเสียงในลักษณะของคลื่น (Wave) ที่เรียกว่า^{“คลื่นเสียง”}

การเกิดคลื่นเสียง ประกอบด้วย องค์ประกอบที่สำคัญ 3 องค์ประกอบ คือ แหล่งกำเนิด^{ของเสียง (Sources)} ตัวกลางที่คลื่นเสียงผ่าน (Medium for Transmission) และตัวรับ (Receiver)^{โดยต้นกำเนิดเสียง หมายถึง วัตถุหรือสารต่างๆ ที่มีการสั่น ซึ่งการสั่นของสารอาจเกิดจากการ^{สั่นของพื้นผิวของแข็ง ที่เรียกว่า เสียงที่เกิดจากภาระทางกล (Mechanical Noise) เช่น การสั่นของ^{ตัวเครื่องจักร 摩托อร์ หรือจากจากการเคลื่อนที่ของของไหลดที่เรียกว่า เสียงที่เกิดจากการไหลด^(Fluid Noise) เช่น การเกิดเสียงจากการบนนิวแมติก (Pneumatic tools) เครื่องอัดอากาศ^(Compressors) สำหรับตัวกลาง หมายถึง สารที่นำพาคลื่นเสียงเคลื่อนที่จากที่หนึ่งไปอีกที่หนึ่ง ซึ่ง^{ตัวกลางดังกล่าวต้องมีคุณสมบัติดังนี้คือ มีความยืดหยุ่น (Elasticity) มีมวล (Mass) และมีความเรื่อย^{(Inertia) ตัวกลางโดยทั่วไปหมายถึงอากาศ (หรือก๊าซ) อย่างไรก็ตาม ตัวกลางอาจเป็นของเหลวหรือ^{ของแข็งก็ได้ ส่วนตัวรับ หมายถึง การรับรู้ของหูและสมองมนุษย์ หรือเครื่องมืออิเล็กทรอนิกส์ที่ใช้^{ในการวัดเสียงที่เรียกว่า “เครื่องวัดระดับเสียง”}}}}}}}

ในการศึกษาคุณสมบัติทางกายภาพของเสียงเพื่อให้เข้าใจ จึงกล่าวถึง^{คลื่นเสียงในรูปแบบของ Sine Wave คุณสมบัติทางกายภาพของเสียงที่สำคัญมีหลายพารามิเตอร์ เช่น แอล พลิชุด (Amplitude) หรือความสูงของคลื่นเสียง ความยาวคลื่น (Wave length) ความถี่^{(Frequency) คาบ (Period) อัตราเร็วของเสียง (Speed of Sound) กำลังเสียง (Sound Power, W)^{ความเข้มเสียง (Sound Intensity ; I) ความดันเสียง (Sound Pressure) เป็นต้น}}}

เสียงแบ่งออกเป็น 4 ประเภทดังนี้

1. เสียงที่ดังสม่ำเสมอ (Steady-State Noise) เป็นเสียงที่ดังต่อเนื่องระดับเสียงไม่เปลี่ยนแปลงเกินกว่า 5 dB ใน 1 วินาที ได้แก่ เสียงมอเตอร์เสียงพัดลม เป็นต้น
2. เสียงที่เปลี่ยนแปลงระดับเสียง (Fluctuating Noise) จะมีระดับเสียงสูงๆ ต่ำๆ เปลี่ยนแปลงเกินกว่า 5 dB ใน 1 วินาที ได้แก่ เสียงไฟเรน เป็นต้น
3. เสียงดังเป็นระยะ (Intermittent Noise) เป็นเสียงที่ดังไม่ต่อเนื่อง มีลักษณะไม่แน่นัด ได้แก่ เสียงจากการจราจร เสียงเครื่องบินบินผ่าน เป็นต้น
4. เสียงกระแทก (Impulse or Impact Noise) เป็นเสียงที่เกิดขึ้นแล้วก่ออยู่ งานหายไป เสียงกระแทกนี้จะมีระยะเวลาที่เกิดน้อยกว่า 0.5 วินาทีและระดับความดังเสียงจะต้องเปลี่ยนแปลงไปอย่างรวดเร็ว 40 dB ได้แก่ เสียงตกอัตโนมัติ เป็นต้น

2.5 เครื่องวัดระดับเสียง (Sound Level Meter)

เป็นเครื่องมือมาตรฐานการประเมินการสัมผัสเสียง หลักการทำงานของเครื่องวัดเสียง คือ ความดันที่เปลี่ยนไปเมื่อจากเสียง ซึ่งวัดเป็นระดับความดันเสียง (dB) ในโทรศัพท์มือถือจะเป็นอุปกรณ์เปลี่ยนความดันของคลื่นเสียงให้เป็นสัญญาณไฟฟ้า สัญญาณนี้มีขนาดเล็กมากจึงต้องผ่านเครื่องขยายกำลัง (Preamplifier) ก่อนที่จะถูกส่งไปวิเคราะห์ ซึ่งสามารถได้ข้อมูลตรงๆ หรือข้อมูลเวลาที่หรือข้อมูลอยู่ในระดับที่แสดงออกมาได้ อาจเป็นเข็มมิเตอร์ หรือสัญญาณแสดงออกที่อสซิลโลสโคป (Oscilloscope) เทปบันทึกหรือหนังสือได้ เมื่อบันทึกสามารถกำหนดความเร็วของการบันทึกให้เร็วหรือช้า ก่อนที่จะทำการวัดเกี่ยวกับเสียง จะต้องทราบวัตถุประสงค์ที่ชัดเจน เพื่อที่จะทำให้การวัดนั้นเหมาะสมและสมบูรณ์ที่สุด เช่น

1. การวัดเพื่อประเมินเสียงต่อมนุษย์

วัตถุประสงค์ที่สำคัญคือการประเมินอันตรายของเสียงต่อระบบประสาทการได้ยินของมนุษย์รวมทั้งตรวจวัดเสียงที่จะนาบดังความสามารถที่ใช้ในการติดต่อสื่อสาร อีกทั้งอาจใช้ประเมินระดับเสียงที่สามารถจะยอมให้มีได้ในบริเวณที่มนุษย์ต้องอาศัยอยู่

ในการวัดเหล่านี้นั้นอาจต้องการการวิเคราะห์ความถี่ของคลื่นเสียง รวมทั้งระดับของเสียงที่อาจแปรผันได้ รวมทั้งระยะเวลาที่เสียงเกิดขึ้น ปัจจัยอื่นที่มีความสำคัญได้แก่ระดับเสียงพื้นฐานซึ่งเกิดขึ้นในเวลาต่างๆ ของวัน เช่น กลางวันและกลางคืน เป็นต้น ความรู้ของหลักเกณฑ์นั้นย่อมบอกรถึงแทนความถี่ของคลื่นเสียงที่จะทำการวัด ในบางกรณีอาจทำการวัดเพียง ชั้นความถี่หรือ แบบวัน-เที่ยงคือออกเทฟเบน ก็ข้อมูลเพียงพอ แต่ในอีกหลายกรณีที่ต้องทำการวิเคราะห์แทนความถี่วงแคบ

2. การวัดเพื่อการออกแบบทางวิศวกรรม หรือใช้ในการตัดสินใจเพื่อการควบคุมระดับเสียง การสร้างโรงงานและการติดตั้ง เครื่องจักรจะต้องคำนึงถึงเสียงที่เกิดขึ้นในโรงงานนั้นด้วยเชิง

ต้องวัดระดับเสียงที่เกิดขึ้นรวมทั้งตรวจให้ทราบว่าเสียงนั้นมาจากแหล่งใด จัดลำดับความสำคัญเพื่อการควบคุมระดับเสียงจากแหล่งต่างๆ รวมทั้งจัดหาข้อมูลเกี่ยวกับกับเสียง เพื่อการออกแบบและการตรวจสอบสมรรถภาพของงานที่ใช้ควบคุมระดับเสียง ความต้องการเหล่านี้ข้อมูลหมายถึงการวิเคราะห์เสียงโดยละเอียด นอกจากนั้นยังรวมไปถึงการตรวจสอบอุณหภูมิ ความดัน การไหลของก๊าซ และระดับการสั่นสะเทือน

3. การวัดเพื่อแบ่งระดับเสียงของเครื่องมือต่างๆ

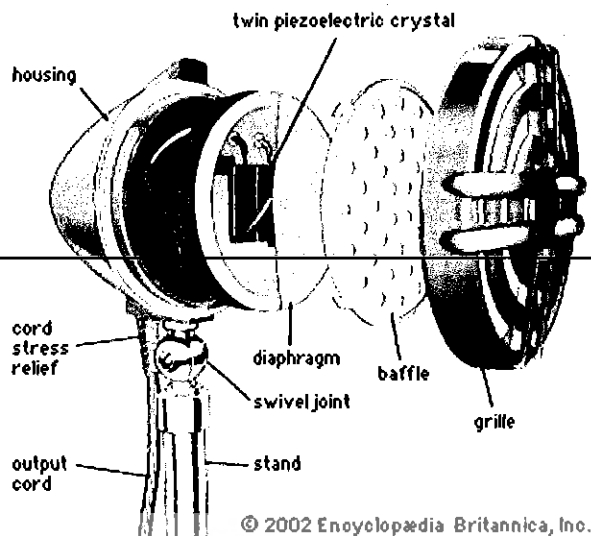
ในบางกรณีนั้นย่อมต้องการทราบว่าเครื่องจักรตั้งกล่าว เป็นต้นทอนของการเกิดเสียงมากน้อยเพียงใด ทั้งนี้เพื่อให้เป็นไปตามเกณฑ์ตามข้อบังคับของกฎหมาย

4. การวัดเพื่อตรวจสอบวินิจฉัย

การสืบสวนค้นคว้าต้นเหตุที่ซับซ้อนของเสียงจากเครื่องจักรรวมทั้งทางทาง เฟื่อผลเสียงนั้นอาจต้องการวิเคราะห์ความถี่ของคลื่นเสียงนั้น โดยละเอียด รวมทั้งความถี่ของเสียงที่เกิดขึ้นจากการสั่นสะเทือนด้วย

ดังนั้นส่วนประกอบของเครื่องวัดระดับเสียงจึงประกอบไปด้วย

2.5.1.ไมโครโฟน (Microphone) เป็นอุปกรณ์ที่จะอีบคืออนมากและมีอยู่ด้วยกัน 2 ประเภท คือ ค่อนเดนเซอร์ (Condenser) และ เซรามิก ไมโครโฟน (Ceramic microphones) อุปกรณ์ชนิดค่อนเดนเซอร์มีความคงตัวนาน ไม่ไวต่อการสั่นสะเทือนหรือสนามแม่เหล็กไฟฟ้า และไม่ไวต่อช่วงอุณหภูมิหรือความดันที่เปลี่ยนแปลงไป แต่มีข้อเสียคือไวต่อสภาพความชื้นที่สูง ซึ่งเป็นสาเหตุของการร้าวไหลของไฟฟ้า ส่งผลให้มีค่าระดับเสียงรบกวนรอบๆ ทำให้ไมโครโฟนดังเกินไป สำหรับเซรามิก ไมโครโฟน จะมีความทนมากกว่าค่อนเดนเซอร์ แต่อย่างไรก็ตาม ไวมากต่อการสั่นสะเทือนมากกว่า ค่อนเดนเซอร์ และมีความไวต่ออุณหภูมิ โดยเฉพาะถ้าต่ำกว่า 10 °C ถึงแม้ว่าการตอบสนองต่อความถี่ของเซรามิก ไมโครโฟนจะดีกว่าแต่ยังคงต้องพิจารณาว่าดีอยกว่าชนิดค่อนเดนเซอร์



รูปที่ 2.8 ไมโครโฟน [2.8]

2.5.2 เครื่องวัดระดับเสียงที่ความถี่ต่างๆ (Frequency Weighting Networks) เป็นอุปกรณ์ควบคุมการตอบสนองของเครื่องวัดระดับเสียงที่ความถี่ต่างๆ ระดับเวท (Weighted Sound Level) เป็นระดับเสียงที่ได้จากการวัดผ่านไมโครโฟนแล้วผ่านที่กรองเวทซึ่งจะให้ระดับเสียงเวทได้คล้ายรูปแบบ เช่น A, B, C, D ทั้งนี้เนื่องจากหูกมนิความไวต่อเสียงต่างกันถ้าความถี่ต่างกัน

ระดับ A (A-Weighted) เป็นการกรองเสียงเพื่อผลตรงกับการตอบสนองของคนสำหรับระดับเสียงคำา

ระดับ B (B-Weighted) เป็นการกรองเสียงเพื่อให้ผลตรงกับการตอบสนองของคนสำหรับระดับเสียงปานกลาง(ความถี่ประมาณ 400-3,000 Hz)

ระดับ C (C-Weighted) เป็นการกรองเสียงเพื่อให้ผลตรงกับการตอบสนองของคนสำหรับระดับเสียงสูงแต่ไม่มีการกรองมากนัก ดังนั้นผลการวัดเสียงจึงใกล้เคียงกับความจริง

ระดับ D (D-Weighted) เป็นการตอบสนองของคนจากเสียงรอบๆ สนามบิน จึงใช้วัดเสียงจากท่าอากาศยาน

เสียงเวทที่ใช้มากที่สุดคือ ระดับ A ใช้ทั้งวัดเสียงภายในและภายนอกอาคาร ใช้ระดับ A ควรใช้กับเสียงที่มีແບບคลื่นกว้าง(Broad-band Noise) การใช้เครื่องวัดระดับ A เป็นที่นิยมใช้เพื่อหารายที่สุดสำหรับการประเมินอันตรายจากเสียง รวมทั้งเสียงรบกวนการสันทนาและเสียงรบกวนในเขตชุมชน ทั้งนี้เนื่องจากถูกสร้างขึ้นให้ตอบสนองต่อระดับความดังที่ความถี่ต่างๆ ได้ใกล้เคียงกับหูมนุษย์มากที่สุด

2.5.3 ตัวขยายสัญญาณ(Amplifier) สำหรับเครื่องวัดเสียง การขยายสัญญาณอย่างน้อยต้องมีความสามารถในการขยายสัญญาณที่ช่วงความถี่ระหว่าง 20 ถึง 20,000 Hz นอกจากนี้คุณสมบัติที่สำคัญอีกประการหนึ่งของการขยายสัญญาณในเครื่องวัดเสียง คือ จะต้องมีเสียงรบกวนที่เกิดจากตัวขยายสัญญาณเองเรียกว่า เสียงรบกวนจากอุปกรณ์อิเล็กทรอนิก(Eletornic Noise) ด้วย

2.5.4 ตัวตรวจวัดเสียง(Sound Level Meter Detectors) เป็นตัววัดเสียงซึ่งใช้ใน เครื่องวัดระดับเสียง(Sound Level Meter RMS) เป็นตัววัดเสียงซึ่งใช้มากที่สุดและใช้ในการวัดระดับความดังเสียง(Sound Pressure Level) ถูกเรียกว่า เร็ว(Fast) และ ช้า(Slow) ในโหมดเร็วนี้เครื่องมือจะตอบสนองอย่างรวดเร็วต่อการเปลี่ยนระดับเสียงอย่างรวดเร็ว แต่ในโหมดช้า ระดับการตอบสนองจะลดลง

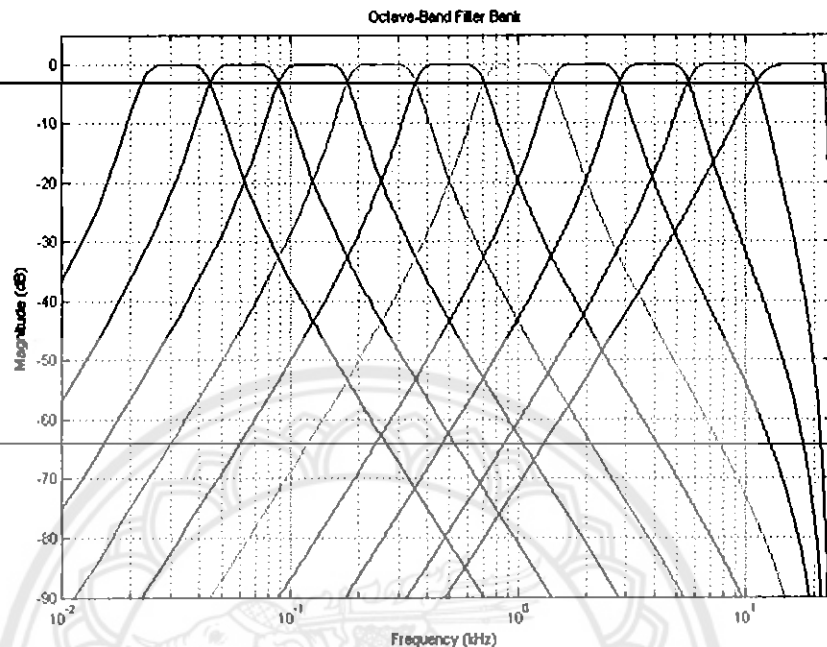
2.5.5 ตัวแสดงผลการวัดเสียง(Sound Level Meter Display) หลังจากสัญญาณความดันเสียงถูกวัด ผลกระทบของมันในหน่วย dB บนเครื่องมือแบบดิจิตอลหรือแบบอนาล็อก แบบดิจิตอลจะอ่านเป็นจำนวนตัวเลขโดยตรง เมื่อมีระดับเสียงผันผวนเกิดขึ้น การแสดงจำนวนตัวเลขสามารถเข้าใจยากและสับสน แต่ในแบบอนาล็อกจะสังเกตุง่ายกว่าของเสียงที่ผันผวน แต่ก็จะมีความทนทานน้อยกว่าการแสดงผลแบบดิจิตอล

2.6 เครื่องวิเคราะห์ความถี่เสียง (Sound Frequency Analysis)

เป็นการวิเคราะห์เพื่อให้ทราบถึงการกระจายของพลังงานเสียงที่ความถี่ต่างๆ ซึ่งเป็นประโยชน์ในการหาแหล่งกำเนิดเสียงและในการควบคุมระดับความดังของเสียง เครื่องวิเคราะห์ความถี่ของเสียงมีทั้งสามารถวิเคราะห์ความดังของเสียงที่ความถี่ต่างๆ ได้ด้วยตัวเอง และชนิดที่ต้องต่อเข้ากับเครื่องวัดระดับความดังของเสียง ในเครื่องวิเคราะห์นี้สัญญาณไฟฟ้าจากไมโครโฟนจะถูกกรองด้วยวงจรไฟฟ้าของเครื่องวิเคราะห์เสียง ซึ่งจะตั้งค่าพลังงานเสียงที่มีความถี่ในช่วงจำกัดไปปัจจุบันค่าที่หน้าปัดอ่านค่า หรือเครื่องอ่านอื่นๆ

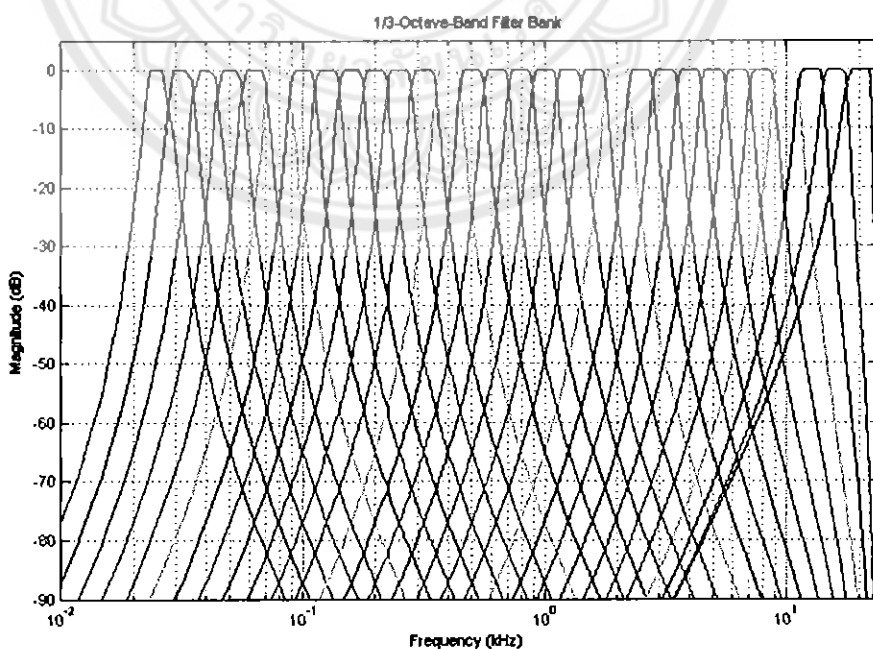
เครื่องวิเคราะห์ความถี่ของเสียงที่ใช้อ้างกว้างขวางคือเครื่องวิเคราะห์ออกเทฟ(Octave Band Analysis) ซึ่งจะวัดความดังของเสียงในช่วงความถี่ที่คนได้ยิน เพื่อการวิเคราะห์ระดับความดังที่ความถี่ต่างๆ ให้ละเอียดยิ่งขึ้น แทนความถี่จะถูกกำหนดให้ແຄบลง เช่น แทนความถี่มีความกว้างเป็น 1/3 และ 1/10 ของออกเทฟแบบ นั้นคือแบ่งແຄบออกเทฟแบบ 1 ແຄบออกเป็น 3 ส่วน และ 10 ส่วนเท่าๆกัน ตามลำดับ แบบที่นิยมใช้กันมากที่สุดมีค่าวักกัน halfway ได้แก่ แบบออกเทฟแบบ (Octave-band) แบบวัน-ทรีคอฟออกเทฟแบบ(1/3 Octave-band) และแบบแนร์บานด์(Narrow-band) โดยแบบแรกนิยมใช้กันมากที่สุดเริ่มวิเคราะห์เสียงที่ความถี่คลังที่ 31.6 Hz สำหรับ 1/3 ออกเทฟแบบ จะวิเคราะห์ความถี่ในช่วงความถี่ແຄบเข้ามา ลักษณะเฉพาะของออกเทฟแบบ คือ ในแต่ละແຄบความถี่(Frequency Band) ค่าสูงสุดของความถี่ (Upper Cut-Off Frequency) จะเป็นสองเท่าของค่าต่ำสุดในແຄบนั้น ในการวัดระดับความดังที่ແຄบความถี่ต่างๆ จะใช้ค่าถึงกลางของ

แบบชั้งค่าเฉลี่ยทางเรขาคณิตของค่าความถี่สูงสุดและต่ำสุดเป็นตัวแทนของແດນການຄື້ນໜັນ ຈຸດກົງກາງຂອງໜົງການຄື້ນມີຄ່າ 10 ຄ່າ 31.5, 63, 125, 250, 500, 1,000, 2,000, 4,000, 8,000 ແລະ 16,000 Hz



ຮູບທີ 2.9 ການສ້າງຍາມແນບອອກເທິບແບນ (Octaveband) [2.9]

ບາງຄັ້ງການວິເຄຣະໜີແບນອອກເທິບແບນ ອາຈານໄໝເພີ່ມພອ ຈຳເປັ້ນຕົ້ນທຳການວິເຄຣະໜີແບນ 1/3 ອອກເທິບແບນດ້ວຍ ອຸປະລັກຍັພະຂອງ 1/3 ອອກເທິບແບນ ໄດ້ແສດງໃນຮູບ 2.10



ຮູບ 2.10 ການສ້າງຍາມແນບວັນ-ເທິບອອກເທິບແບນ (1/3 Octaveband) [2.10]

2.7 เครื่องบันทึก

1. เครื่องบันทึกข้อมูล (Level Recorders)

คือ โวต์มิเตอร์นั่นเองที่สามารถบันทึก DC หรือ rms ของสัญญาณ A.C. บนเส้นตรงหรือมาตราส่วนของการที่มีบางเครื่องสามารถมีการประสารสำหรับ สัญญาณ และ การวิเคราะห์สัญญาณคู่ที่สาม เพื่อเก็บค่า ตัวกรองสัญญาณป้อนกลับ(Filter Switching) ถูกกำหนดเวลาไว้สำหรับ เครื่องบันทึกความดี เพื่อทำ การเขียนกราฟความถี่ตอบสนอง เครื่องบันทึกคงคล่องนี้มีประโยชน์สำหรับบันทึกระดับของเสียงที่เปลี่ยนแปลงไปตามเวลา

2. เครื่องบันทึกแบบกราฟ (XY Plotters)

เครื่องนี้มี Y Plot เป็นของ D.C input และ X Plot เป็นสัญญาณ D.C. ที่ได้สัดส่วนกับความถี่ มักใช้ร่วมกัน การแปลงฟูเรียร์อย่างรวดเร็ว(Fast Fourier Transform :FFT) และเครื่องการวิเคราะห์อิเล็กทรอนิกส์สำหรับบันทึกความจำ

3. เครื่องบันทึกดิจิตอลแบบชั่วคราว (Digital Transient Recorders)

เครื่องนี้ได้ออกแบบจำเพาะสำหรับการบันทึกเสียงที่มีช่วงสั้นมาก เช่น เสียงปืนหรือเสียงเครื่องบิน โดยการรับสัญญาณเข้ามาแล้ว เปลี่ยนให้เป็นตัวเลขตามอัตราที่ตั้งไว้และเก็บไว้ในหน่วยความจำข้อมูลที่เก็บไว้อาจนำออกนาเป็นตัวเลข

4. เครื่องบันทึกเทป (Tape Recorders)

เครื่องนี้มักใช้สำหรับเก็บข้อมูลเสียงมากับบริเวณที่มีการทำงาน ต้องใช้เครื่องที่มีคุณภาพดีอาจใช้เครื่องบันทึกแบบ AM แต่ถ้ามีความสนใจสัญญาณคลื่นเสียงที่เป็นชาน์ก็อาจใช้เครื่องบันทึกเทปแบบ FM ได้มีการพัฒนาเครื่องบันทึกเทปแบบดิจิตอล ที่เหมาะสมสำหรับใช้เป็นเครื่องตรวจวัด ซึ่งจะทำให้การวัดมีสมรรถภาพดีขึ้นมาก โดยเฉพาะในระบบการเคลื่อนที่

2.8 อิทธิพลที่มีผลต่อการการวัดเสียงในสิ่งแวดล้อม

เครื่องวัดเสียงเป็นเครื่องมือที่มีระบบบ่วงจราฟฟิคึ่งมีความไวต่อสิ่งแวดล้อมที่มากระทบกระเทือน โดยเฉพาะในโทรศัพท์ ดังนั้นการทำการวัดเสียงความค่านึงสั่งต่อไปนี้

1. อุณหภูมิ (Temperature) เครื่องวัดเสียงถูกสร้างมาเพื่อให้ใช้ในอุณหภูมิปกติ ส่วนมากจะระบุให้ใช้ในบริเวณที่มีอุณหภูมิอยู่ในช่วง -7 ถึง 66 องศาเซลเซียส การตรวจปรับความถูกต้องจะกระทำการกันที่อุณหภูมิห้อง จนนี้ถ้านำไปใช้ในที่ที่มีอุณหภูมิต่างจากอุณหภูมิห้อง จึงควรปรับค่าให้เหมาะสมด้วย ควรศึกษาตามรายละเอียดในหนังสืออุปกรณ์การใช้เครื่องมือ เพื่อให้ทราบข้อจำกัดในการใช้เครื่องวัดเสียงในบริเวณนั้นว่าสามารถให้ผลการวัดที่น่าเชื่อถือได้หรือไม่

2.ความชื้น (Humidity) เครื่องวัดเสียงซึ่งผ่านการตรวจสอบโดย OSHA (Occupational Safety and Health Administration) แล้ว จะทำงานได้ในที่ที่มีความชื้นสูงตามเท่าที่ความชื้นไม่กลั้นตัวเป็นหยดน้ำเกาะในโทรศัพท์ เซรานิคในโทรศัพท์จะทนทานต่อความชื้นที่สูงแต่คอนเดนเซอร์จะไม่เป็นอย่างนั้นการวัดจะล้มเหลวถ้าสัมผัสฝนหรือหยดน้ำจากบรรยากาศ เพราะจะทำให้เกิดเสียงกรากกรากได้ ดังนั้นห้องที่ทำการวัดควรมีความชื้นต่ำกว่า 90% โดยที่ไม่โทรศัพท์ให้หลอกไฟฟ้า 5-10 นาที

3.ความดันบรรยากาศ (Barometric Pressure) จะมีผลกระทบต่อเสียงจากเครื่องปรับความถูกต้อง (Calibrator) ฉะนั้นจะต้องปรับค่าความดันบรรยากาศตามที่ผู้ผลิตแนะนำไว้ในหนังสือคู่มือ การใช้เครื่องเสียงโดยทั่วไปต้องคำบูลงพื้นที่ที่จะทำการวัดเสียงอยู่สูงกว่าระดับน้ำทะเลไม่เกิน 10,000 ฟุต ผลกระทบเนื่องจากความดันบรรยากาศจะน้อยมาก จึงไม่จำเป็นต้องปรับค่า แต่ถ้าเกินกว่า 10,000 ฟุต หรือมีความดันสูงกว่าความดันบรรยากาศปกติ จำเป็นต้องมีการปรับค่าเพื่อความถูกต้องของการวัด

4.กระแสลม (Wind) กระแสลมที่พัดผ่านในโทรศัพท์อาจทำให้เกิดเสียงดังได้ และทำให้รบกวนความถูกต้อง ซึ่งจะทำให้การอ่านค่าของเครื่องสูงกว่าที่ควรเป็น ดังนั้นการใช้เครื่องป้องกันลม (Wind Screen) สวยงามในโทรศัพท์จะช่วยป้องกันปัญหาที่เกิดจากกระแสลมได้ และสามารถวิเคราะห์ได้ว่าเสียงที่วัดได้เป็นเสียงลมผ่านในโทรศัพท์ หรือเสียงจากแหล่งกำเนิดเสียง อีกด้วย ไม่มีความแตกต่างเมื่อวัดโดยนิ่มและไม่มีกำบังแสงคงว่าไม่มีเสียงจากความเร็วลม ดังนั้นเสียงที่วัดได้คือเสียงของแหล่งกำเนิดเสียงที่ต้องการวัด อีกทั้งโดยนิ่มกำบังลมแล้วจะดับเสียงลดลง แสดงว่าค่าที่วัดได้มีเมื่อมีที่กำบังลม คือเสียงจากลม แต่ค่าที่วัดเมื่อมีกำบังลมคือเสียงของแหล่งกำเนิดเสียงที่ต้องการ

5.การสั่นสะเทือน (Vibration) เมื่อเสียงดังมากกว่า 120 dB คลื่นเสียงอาจแรงพอทำให้โทรศัพท์ของเครื่องนี้ในโทรศัพท์และอุปกรณ์ภายในสั่นสะเทือนได้ ดังนั้นควรตั้งเครื่องนี้อยู่นอกเบตเตอร์เสียงดังแล้วแยกในโทรศัพท์ออกไปโดยใช้สายต่อ โดยเลือกสายต่อที่เหมาะสมอย่างมากให้การสั่นสะเทือนภายในสายต่อทำให้เกิดเสียงเงย

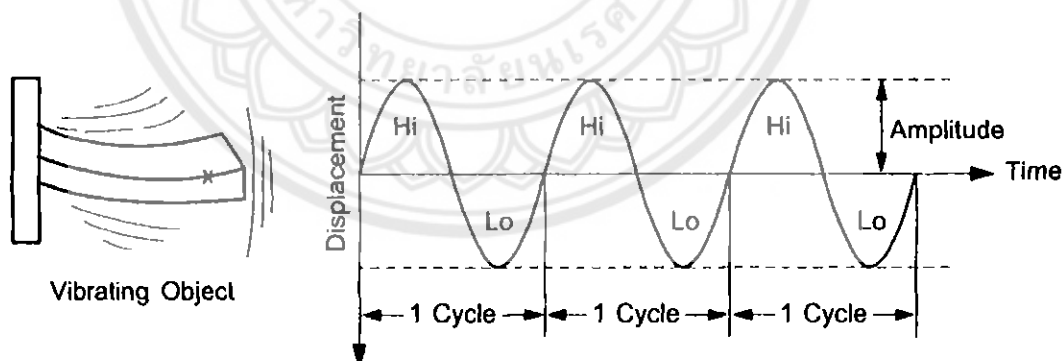
6.ความยาวของสายในโทรศัพท์ เนื่องจากในสภาพแวดล้อม การวัดเสียงบางครั้งต้องวัดในที่ซึ่งนำโทรศัพท์เข้าไปได้โดยเฉพาะ และต่อในโทรศัพท์กับเครื่องวัดเสียงซึ่งห่างออกไป ด้วยสายไฟที่ยาว ในกรณีเช่นนี้ถ้าในโทรศัพท์ต่อเข้ากับตัวขยายสัญญาณ โดยตรง ความยาวของสายไม่โทรศัพท์ไม่มีผลต่อการวัดเสียง แต่ถ้าในโทรศัพท์ไม่ได้ต่อตรงกับตัวขยายสัญญาณ จะต้องทำการปรับแก้ค่าที่อ่านได้เนื่องจากการสูญเสียความไวของในโทรศัพท์ โดยใช้เครื่องตรวจปรับความถูกต้องของการวัดเสียง

7.เสียงจากแหล่งอื่นๆ (Background Noise) การวัดระดับความดังของเสียงในบางครั้งต้องการวัดเฉพาะเสียงที่เกิดจากแหล่งที่สันใจเท่านั้น เสียงดังจากแหล่งอื่นจึงไม่ต้องการ จึงต้องมีการตรวจสอบว่าเสียงจากแหล่งอื่นๆ โดยรอบห้องน้ำ ต่อจากนี้เป็นการทำงานของแหล่งกำเนิดเสียงที่ต้องการและวัดเสียงห้องน้ำ ถ้าพบความแตกต่างระหว่างเสียงจากแหล่งอื่นๆ กับเสียงที่วัดได้ห้องน้ำมีข้อแตกต่างมากกว่า 10 dB แสดงว่าเสียงจากแหล่งอื่นๆ ไม่มีผลต่อการวัดเสียงของแหล่งกำเนิดเสียง แต่ถ้ามีความแตกต่างน้อยกว่า 10 dB แสดงว่าเสียงจากแหล่งอื่นๆ มีผลต่อการวัดระดับเสียงของแหล่งกำเนิด

2.9 การสั่นสะเทือน

การสั่นสะเทือน (Vibration) คือการเคลื่อนที่ของวัสดุรอบๆ จุดสมดุลในช่วงเวลาหนึ่งของคราบเคลื่อนที่ ไม่ว่าการเคลื่อนที่รอบจุดสมดุลนั้นจะเกิดขึ้นในแบบการเคลื่อนที่กลับไปกลับมา หรือจะเป็นการแกว่ง (Oscillation) รอบจุดสมดุลก็ตาม ตัวอย่างเช่น การแกว่งตัวของถูกศูนย์นาฬิกา หรือการเคลื่อนที่ของมวลที่ติดอยู่กับสปริง เป็นต้น

ถ้าสามารถมองเห็นการเคลื่อนที่แบบสั่นในลักษณะที่ช้าลงมากๆ ได้ เราจะพบรูปแบบของการเคลื่อนที่ในทิศทางที่แตกต่างกัน ขึ้นอยู่กับความห่างไกลหรือความเร็วในการเคลื่อนตัวของวัสดุนั้นรอบคำแนะนำแห่งสมดุลนั้น ซึ่งจะทำให้เราเห็นลักษณะรูปแบบเฉพาะของการเคลื่อนที่แบบสั่น ได้ ดังแสดงในรูปที่ 2.11 องค์ประกอบที่ใช้ในการอธิบายการเคลื่อนที่แบบสั่นนี้ได้แก่ ความถี่ (Frequency) และพลีทูด (Amplitude) และความเร็ง (Acceleration)



รูปที่ 2.11 ลักษณะองค์ประกอบของการสั่น [2.11]

1.ความถี่ (Frequency)

วัตถุที่มีการสั่นจะเคลื่อนที่กลับไปกลับมาผ่านตำแหน่งคงที่หนึ่ง เมื่อเคลื่อนที่ผ่านตำแหน่งสูงสุดค่าหนึ่งและกลับมาผ่านตำแหน่งสูงสุดอีกค่าหนึ่ง และซ่อนกลับมาข้างตำแหน่งคงที่เดิม ถือว่ามีการเคลื่อนที่ครบ 1 รอบ (1 Cycle) ดังแสดงในรูปที่ 2.11 จำนวนรอบของการสั่นของ

วัตถุในช่วงเวลา 1 วินาที จะเรียกว่า ความถี่ ซึ่งจะมีหน่วยเป็นเฮริตซ์ (Hertz; Hz) หรือ 1 เฮริตซ์จะเท่ากับการเคลื่อนที่ไปกลับ 1 รอบในเวลา 1 วินาที

2. แอมเพลจูด (Amplitude)

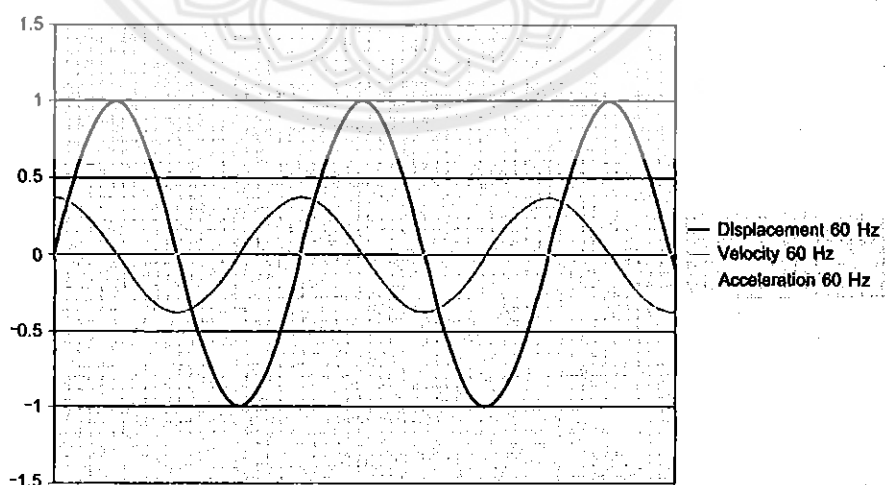
วัตถุที่มีการเคลื่อนที่แบบสั่นจะมีค่าระยะทางหรือการขัด (Displacement) มากที่สุดในแต่ละขั้นของตำแหน่งคงที่หนึ่ง ดังแสดงในรูปที่ 2.11 ซึ่งระยะทางดังกล่าวจะเรียกว่า แอมเพลจูด และมีหน่วยเป็นมิลลิเมตร (Millimeter) หรือนิ้ว (Inches) ความรุนแรงของการสั่นจะขึ้นกับค่าแอมเพลจูดนี้

3. ความเร็ว (Velocity)

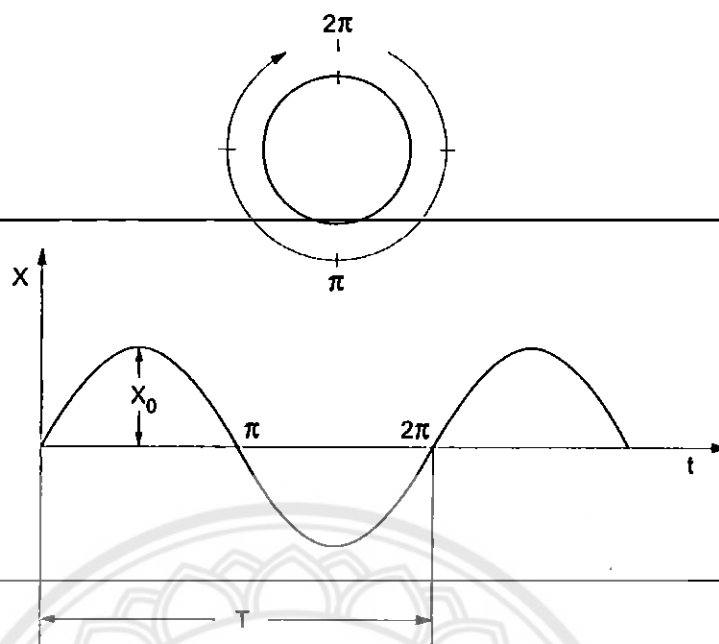
วัตถุที่มีการเคลื่อนที่แบบสั่นจะมีการขัด (Displacement) ที่เปลี่ยนแปลงเทียบกับเวลาในระหว่างการเคลื่อนที่ จะเรียกว่า ความเร็ว ซึ่งจะมีหน่วยเป็นมิลลิเมตรต่อวินาที (mm/sec) หรือนิ้wt่อวินาที (in/sec)

4. ความเร่ง (Acceleration)

ความเร็วของการสั่นของวัตถุจากค่า 0 ถึงค่าสูงสุดระหว่างการสั่นแต่ละรอบ ค่าการเปลี่ยนแปลงกับเวลาในระหว่างการเคลื่อนที่ จะเรียกว่า ความเร่ง ซึ่งจะถูกวัดเพื่อให้ทราบถึงความเร็วของการเปลี่ยนแปลงความเร็วเทียบกับเวลา ดังนั้นหน่วยของความเร่งจะแสดงได้ด้วยค่า มิลลิเมตรหรือนิ้wt่อวินาทียกกำลังสอง (mm/sec²) ค่าของความเร่งจะมีค่าเปลี่ยนแปลงตึ้งแต่ 0 ถึงค่าสูงสุดระหว่างการสั่นแต่ละรอบ โดยจะมีค่าสูงสุดในตำแหน่งแอมเพลจูดและต่ำสุดที่ตำแหน่งสมดุล ดังแสดงในรูปที่ 2.12 ซึ่งแสดงถึงความสัมพันธ์ระหว่างการขัด (Displacement), ความเร็ว (Velocity) และความเร่ง (Acceleration) ที่มีความถี่เท่ากัน



รูปที่ 2.12 ความสัมพันธ์ระหว่างการขัด (Displacement), ความเร็ว (Velocity) และความเร่ง (Acceleration) ที่ความถี่ 60 Hz [2.12]



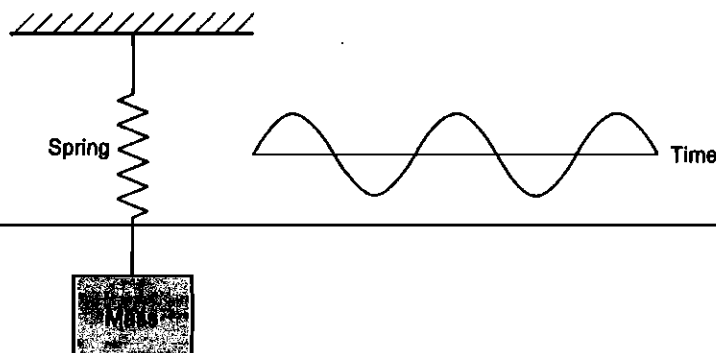
รูปที่ 2.13 การเคลื่อนที่แบบความเวลา [2.13]

2.10 ทฤษฎีการเคลื่อนที่ของการสั่นสะเทือน

รูปแบบการเคลื่อนที่ของการสั่นสะเทือนมีลักษณะการเคลื่อนที่แบบความเวลา (Periodic Motion) หรือมีลักษณะที่เคลื่อนที่แบบช้าๆ ในช่วงความเวลาคงที่ค่าหนึ่ง (T) หรือ 1 รอบ (2π) ดังแสดงในรูปที่ 2.13 โดยที่ในแกนตั้งจะแทนค่าวิธีการขัด (Displacement; x) และแกนนอนแทนค่าวิธีเวลา (t) ซึ่งการเคลื่อนที่ดังกล่าวจะสามารถแบ่งออกได้เป็น 2 แบบ คือ การเคลื่อนที่แบบชาร์มนิค (Harmonic Motion) และการเคลื่อนที่แบบไม่เป็นชาร์มนิค (Non-harmonic Motion)

2.10.1 เคลื่อนที่แบบชาร์มนิค (Harmonic Motion)

การเคลื่อนที่แบบชาร์มนิคเป็นการเคลื่อนที่แบบความเวลาที่มีความซับซ้อนน้อยและง่ายแก่การทำความเข้าใจมากที่สุด การเคลื่อนที่แบบนี้จะมีลักษณะเคลื่อนที่กลับไปกลับมาที่เหมือนกับทุกคน ตัวอย่างเช่น การแกว่งของลูกตุ้มนาฬิกาที่มีการเคลื่อนที่ทับรอยเดินทุกครั้ง โดยมีความเวลาและความถี่คงที่ ดังอย่างตามรูปที่ 2.14 เป็นการแขวนของวัตถุมวล m ไว้กับสปริง เมื่อมีการดึงวัตถุมวล m ลงมาด้านล่างแล้วปล่อย ก้อนวัตถุมวล m ที่จะเคลื่อนที่ขึ้น-ลง เมื่อเรานำแผ่นพิล์มที่สามารถบันทึกลำแสงที่ดี ไว้กับก้อนวัตถุที่เกิดจาก การเคลื่อนที่ขึ้น-ลง และแผ่นพิล์มวิ่งผ่านค่าวิธีความเร็วคงที่ ลักษณะของลำแสงที่ปรากฏบนแผ่นพิล์มจะมีลักษณะดังรูปที่ 2.14 ซึ่งแสดงถึงเส้นทางการเคลื่อนที่ของมวล m ซึ่งสามารถอธิบายได้ด้วยรูปที่ 2.13 เช่นกัน



รูปที่ 2.14 รูปแบบการเคลื่อนที่แบบขั่นตอนนิกอกย่างง่าย (Simple Harmonic Motion) [2.14]

การเคลื่อนที่ของการสั่นแบบขั่นตอนนิกอกย่างแสดงในรูปของฟังก์ชันทางตรีโกณมิติ แทนความสัมพันธ์ระหว่างการขัด (Displacement; x) และเวลา (t) ได้ดังนี้

$$x = x_0 \sin(\omega t) \quad (2.13)$$

เมื่อ x_0 คือค่าการขัดสูงสุด หรือค่าแอมเพลจูด (Amplitude)

x คือค่าการขัดที่เวลา t ใดๆ

$$f = \frac{1}{T} \quad (2.14)$$

เมื่อ T คือความเวลา มีหน่วยเป็นวินาทีต่อรอบ (sec) หรือเวลาที่ใช้ในการเคลื่อนที่ 1 รอบ ซึ่งส่วนกลับคือความถี่ (f) มีหน่วยเป็นรอบต่อวินาที (Cycle per Second; cps) หรือเฮิรตซ์ (Hertz; Hz)

นอกจากนั้นยังสามารถวัดความถี่ของการสั่นได้อีกวิธีหนึ่งคือ การวัดความถี่เชิงมุม (Circular Frequency; ω) ซึ่งมีความเป็นเรเดียนต่อวินาที (Radians per second) จากรูปที่ 2.13 ซึ่งแสดงให้เห็นว่าการเคลื่อนที่ครบ 1 รอบของการสั่น (ωt) จะเกิดขึ้นเมื่อมีมุมรวมเท่ากับ 360 องศา หรือ 2 เรเดียน ที่จุดดังกล่าวจะสามารถอธิบายได้ด้วยสมการดังนี้

$$\omega = \frac{2\pi}{T} = 2\pi f \quad (2.15)$$

สำหรับเครื่องจักรแบบหมุน ความถี่ส่วนใหญ่จะแสดงด้วยค่าการสั่นสะเทือนต่อนาที (Vibration per Minute; vpm) หรือ

$$vpm = \frac{\omega}{\pi} \quad (2.16)$$

โดยความหมายแล้ว ความเร็วเป็นอนุพันธ์อันดับที่ 1 ของการขัดเทียบกับเวลา ซึ่งสำหรับการเคลื่อนที่สำหรับชาร์มนิยิกแล้ว สมการของ การขัดจะแสดงได้ดังสมการที่ (2.13) ซึ่งเมื่อหาอนุพันธ์ลำดับที่ 1 ของสมการนี้เทียบกับเวลา จะได้ผลดังนี้

$$v = \frac{dX}{dt} = \dot{X} = \omega X_0 \cos(\omega t) \quad (2.17)$$

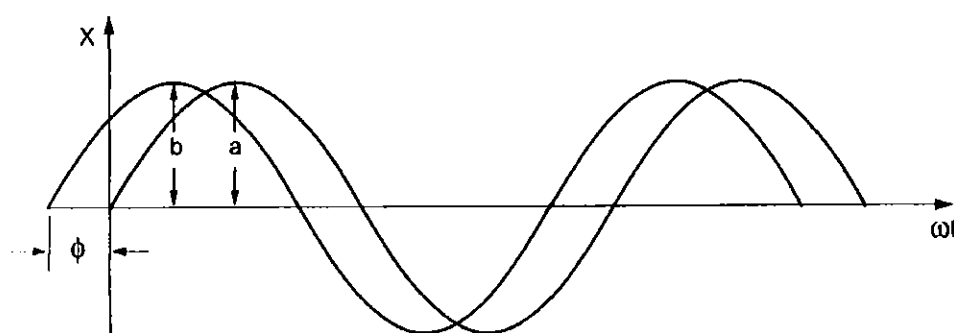
จากสมการที่ (2.17) จะพบว่า ความเร็วมีลักษณะความสัมพันธ์แบบชาร์มนิยิกด้วย ทั้งนี้ การขัดต้องมีลักษณะเป็นชาร์มนิยิก และมีค่าสูงสุดหรือค่า最低值 เท่ากับ $-\omega X_0$

ในทำนองเดียวกัน ความเร่งเป็นอนุพันธ์ลำดับที่ 2 ของการขัดเมื่อเทียบกับเวลา แสดงได้ดังนี้

$$a = \frac{d^2X}{dt^2} = \ddot{X} = -\omega^2 X_0 \sin(\omega t) \quad (2.18)$$

สมการที่ (2.18) มีลักษณะเป็นชาร์มนิยิกเช่นกัน โดยมีค่าการขัดสูงสุดหรือค่า最低值 เท่ากับ $\omega^2 X_0$

หากพิจารณาความถี่ 2 ค่า โดยให้มีสมการของความถี่ค่าแรกเป็น $X_1 = a \sin(\omega t)$ และสมการของความถี่ที่ 2 เป็น $X_2 = b \sin(\omega t + \phi)$ ดังแสดงในรูปที่ 2.15 ซึ่งแกนนอนจะแทนด้วยค่า ωt และค่า ϕ ในสมการของ X_2 คือค่ามุมเฟส (Phase Angle) ค่าเฟสที่แตกต่างกันของการสั่นทั้งสองค่านี้ และด้วยค่ามุมเฟสนี้เอง ทำให้การสั่นทั้งสองค่าดังแสดงในรูปไม่สามารถมีค่า最低值 ที่เวลาเดียวกันได้ โดยที่การสั่นค่าหนึ่งจะอยู่ห่างจากการสั่นอีกค่าหนึ่งเท่ากับ ϕ/ω วินาที ทั้งนี้การสั่นทั้งสองค่านี้ต้องมีความถี่เท่ากัน (ω) ดังนั้นอาจกล่าวได้ว่ามุมเฟสจะมีความหมายเพียงกรณีของการสั่นสองค่าที่มีความถี่เดียวกันเท่านั้น



รูปที่ 2.15 การเคลื่อนที่แบบชาร์มนิยิก 2 ค่า โดยที่มีมุมเฟสระหว่างกัน [2.15]

2.10.2 การเคลื่อนที่แบบไม่เป็นชาร์มอนิก (Non-harmonic Motion)

สำหรับเครื่องจักรอุปกรณ์ส่วนใหญ่ ปกติแล้วจะมีแหล่งที่มาของการสั่นสะเทือนหลายแหล่ง ดังนั้นรูปแบบของการสั่นเมื่อพิจารณาจากความสัมพันธ์ระหว่างการขัดและเวลาส่วนใหญ่ จึงมีลักษณะแบบที่ไม่เป็นชาร์มอนิก ดังแสดงในรูป 2.16

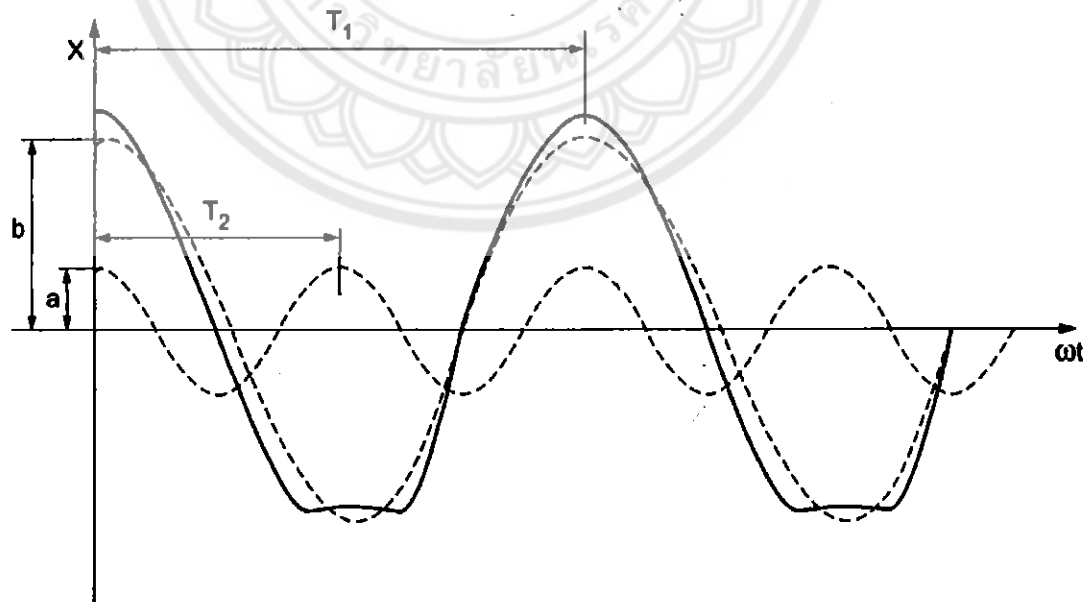
ในขณะที่ทุกๆ การเคลื่อนที่แบบชาร์มอนิกจะมีลักษณะเป็นความเวลา แต่ไม่ใช่ว่าทุกๆ การเคลื่อนที่ที่มีลักษณะเป็นความเวลาจะเป็นการเคลื่อนที่แบบชาร์มอนิกเสมอไป ดังแสดงในรูปที่ 2.17 ซึ่งเป็นการเคลื่อนที่แบบไม่เป็นชาร์มอนิกที่เกิดจากการรวมกันของการเคลื่อนที่ในลักษณะ เป็นคลื่นไซน์ (Sine Wave) สองคลื่นที่มีความถี่ต่างกัน โดยที่แรกคือเส้นประที่มีค่าแอมเพลจูด a และ คลื่นที่ 2 คือเส้นประที่มีแอมเพลจูด b ซึ่งเส้นโค้งดังกล่าวจะสามารถแทนได้ด้วยสมการดังนี้

$$X_1 = a \sin(\omega_1 t) \quad (2.19)$$

$$X_2 = b \sin(\omega_2 t) \quad (2.20)$$

การเคลื่อนที่แบบสั่นวนจะแทนได้ด้วยเส้นที่บีที่เกิดจากการรวมกันของเส้นประทั้งสอง ซึ่งสามารถแสดงด้วยสัมการดังนี้

$$X = X_1 + X_2 = a \sin(\omega_1 t) + b \sin(\omega_2 t) \quad (2.21)$$



รูปที่ 2.16 การเคลื่อนที่แบบไม่เป็นชาร์มอนิก (Non-harmonic Motion) [2.16]

สำหรับฟังก์ชันแบบความเวลาใดๆ สามารถเขียนแทนได้ด้วยฟังก์ชันไซน์ในลักษณะอนุกรมกัน โดยมีความถี่ที่ค่า $\omega, 2\omega, 3\omega, \dots$ ตามลำดับ ดังแสดงได้ดังนี้

$$f(t) = A_0 + A_1 \sin(\omega t + \phi_1) + A_2 \sin(2\omega t + \phi_2) + A_3 \sin(3\omega t + \phi_3) + \dots \quad (2.22)$$

สมการที่ (2.22) รู้จักกันในชื่อของอนุกรมฟูเรียร์ (Fourier Series) ซึ่งเป็นฟังก์ชันของเวลา ($f(t)$) โดยมีค่าแอนพลิชุด (A_1, A_2, A_3, \dots) และมุมเฟส ($\phi_1, \phi_2, \phi_3, \dots$) ของทุกๆ การเคลื่อนที่แบบสั่นอย่างต่อเนื่อง สามารถคำนวณหาค่าได้จากวิธีการทางคณิตศาสตร์เมื่อทราบค่าของฟังก์ชันโดยทั้งนี้กระบวนการตั้งกล่าวสามารถทำได้ด้วยเครื่องมือวัดและวิเคราะห์ค่าการสั่นสะเทือนทั่วไป

ค่า $2\omega, 3\omega, \dots$ จะเป็นการอ้างถึงค่าลำดับที่หาร์มนิคของความถี่หลัก (Primary Frequency; ω) ในรูปแบบเฉพาะของการสั่นส่วนใหญ่ ค่าความถี่หลักของวัตถุจะมีค่าเป็นหนึ่งคู่ของ ω หรือ 1ω นอกจากนั้นรูปแบบลักษณะเฉพาะดังกล่าวอาจมีค่าปรากฏที่ตำแหน่งหาร์มนิคอื่นๆ เช่น ที่สองเท่า (2ω) สามเท่า (3ω) หรือที่ตำแหน่งอื่นๆ ของค่าความเร็วใช้งานหลัก (Primary Running Speed) ซึ่งการประยุกต์ดังกล่าวเป็นพื้นฐานที่สำคัญสำหรับการวิเคราะห์การสั่นสะเทือนท่อไปสนคุณ

2.11 พลศาสตร์ของเครื่องจักร

เหตุผลสำคัญที่ทำให้รูปแบบการสั่นของเครื่องจักรมีความหลากหลายแตกต่างกันนั้นมีสาเหตุมาจากการเคลื่อนที่แบบพลศาสตร์ของเครื่องจักร (Machine Dynamics) นั่นเอง โดยการเคลื่อนที่นี้จะขึ้นอยู่กับมวล (Mass) ความมั่นคงแข็งแรง (Stiffness) ความหน่วง (Damping) และองศาอิสระของการเคลื่อนที่ (Degree of Freedom) แต่อย่างไรก็ตาม ยังจำเป็นต้องมีความระมัดระวังในการวิเคราะห์ห้องเพราะรูปแบบของการสั่นสะเทือนและการดับพลังงานที่ถูกสร้างขึ้นมาโดยเครื่องจักรนั้นอาจจะแปรผันไปตามบีจัยของตำแหน่งหรือบีจัยแวดล้อมอื่นๆ ในการวัดได้อีกด้วย นอกจากนี้จากบีจัยด้านพลศาสตร์ของเครื่องจักรดังกล่าว

2.11.1 มวล ความมั่นคงแข็งแรง และความหน่วง

ทั้ง 3 ปัจจัยหลักนี้จะแสดงให้ทราบถึงระดับพลังงานของการสั่นโดยปกติทั่วไป และผลของรูปแบบลักษณะการสั่นดังอธิบายในหัวข้อ 2.10 ก็จะขึ้นอยู่กับมวล ความมั่นคงแข็งแรงและความหน่วง ดังนั้นจะพบว่าเครื่องจักรส่วนใหญ่ได้ถูกออกแบบให้มีระบบรองรับการเคลื่อนไหวแบบพลศาสตร์ที่ขึ้นอยู่กับมวลของชิ้นส่วนที่เคลื่อนไหว ความมั่นคงแข็งแรงของระบบรองรับการเคลื่อนไหวที่กำหนด และจำนวนความหน่วงที่กำหนด

1. **มวล (Mass)** มวลเป็นคุณสมบัติของวัตถุในการอธิบายว่ามีปริมาณเนื้อวัสดุมากเพียงใด ณ เวลาหนึ่ง แต่สำหรับหลักการพลศาสตร์แล้ว มวลจะอธิบายถึงความสามารถของวัตถุในการด้านแรงภายนอกที่มากระทำได้มากน้อยเพียงใด หรืออาจกล่าวได้ว่า ยิ่งวัตถุมีมวลมากเท่าไร แรงปริมาณมากในการทำให้วัตถุเคลื่อนที่ด้วยความเร่งระดับหนึ่ง ในเรื่องของการวิเคราะห์การสั่นสะเทือนที่เน้นก้าวที่สำคัญที่สุดก็คือการมีมวลมากและสูญเสียการสั่นสะเทือนไปด้วย

2. **ความมั่นคงแข็งแรง (Stiffness)** ความมั่นคงแข็งแรงนี้เป็นคุณสมบัติของวัตถุที่คล้ายคุณสมบัติของสปริง คือจะบากถึงระดับความสามารถของวัตถุในการด้านแรงที่มากระทำซึ่งส่งผลให้ตัววัตถุเกิดการเปลี่ยนแปลงระยะทางหรือมิติรูปร่าง หน่วยของความมั่นคงแข็งแรงมักจะกำหนดเป็นน้ำหนักต่อระยะทาง (lbf/in) เครื่องจักรส่วนใหญ่มักจะมีคุณสมบัติความมั่นคงแข็งแรงที่ต้องพิจารณาสำหรับการวิเคราะห์การสั่นสะเทือนมากกว่า 1 แบบ ได้แก่ ความมั่นคงแข็งแรงในแกนของเพลา (Shaft Stiffness or Longitudinal Stiffness) ความมั่นคงแข็งแรงในแนวแกนตั้ง (Vertical Stiffness) ความมั่นคงแข็งแรงในแนวแกนนอน (Horizontal Stiffness) คำว่าหลักการดังกล่าว จึงได้ถูกนำมาประยุกต์ใช้สำหรับการกำหนดตำแหน่งของจุดที่ต้องการวัดการสั่นสะเทือนของเครื่องจักรต่างๆ นั่นเอง ซึ่งจะพบว่า ยิ่งค่าความมั่นคงแข็งแรงนี้ค่าน้อยลงเพียงใด ค่าการสั่นสะเทือนจะยิ่งมากขึ้นเท่านั้น

3. **ความหน่วง (Damping)** ความหน่วงเป็นคุณสมบัติที่แสดงถึงสภาพการด้านการเคลื่อนที่ที่มีผลทำให้ความเร็วของการสั่นลดลง โดยทั่วไปแล้วจะหมายถึงแรงด้านการเคลื่อนที่ที่เกิดจากกระบวนการกระทำของของเหลวหรือแก๊ส และการเสียดสีสัมผัสวัตถุอื่น หน่วยของความหน่วงโดยมากจะกำหนดเป็นน้ำหนักต่อระยะทางต่อเวลา (lbi/in/sec or lbf-sec/in) สมดุล

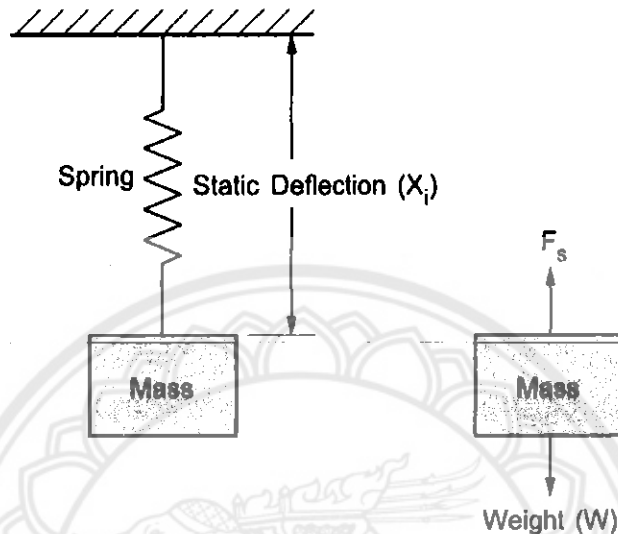
2.12 ชนิดของการสั่นสะเทือน

จากหลักพลศาสตร์ของเครื่องจักรที่พิจารณาปัจจัยด้านมวล (Mass) ความมั่นคงแข็งแรง (Stiffness) ความหน่วง (Damping) รวมทั้งหลักการของการสั่นสะเทือน พบร่วมกัน สามารถแบ่งประเภทของการสั่นได้เป็น 4 แบบหลักๆ ดังนี้ดังกล่าว

2.12.1 การสั่นแบบอิสระโดยไม่มีความหน่วง (Free Vibration – Undamping)

เพื่อให้เกิดความเข้าใจในลักษณะของการสั่นแบบนี้ ให้พิจารณาตัวอย่างของการสั่นของมวล (M) ที่ผูกติดกับสปริงที่มีค่าความมั่นคงแข็งแรงค่าหนึ่ง (K เป็นค่าเดียวกันกับค่าคงที่ของสปริง) และปล่อยให้มีการเคลื่อนที่ได้อย่างอิสระในแนวแกนตั้ง ดังรูป 2.17

แรง (F_s) ที่เกิดจาก การเคลื่อนตัวในแนวแกนตั้งอันเนื่องมา จากน้ำหนักของมวล M (W) ดังแสดงในรูป 2.18 นั้นจะพบว่ามีแรงอչู 2 แรงที่กระทำต่อนมวล M คือแรงจากน้ำหนักแทนด้วย W และแรงจากสปริงแทนด้วย ซึ่งมีค่าเท่ากัน F_s แต่อչูในทิศตรงกันข้าม ตามหลักของความสมดุลระบบ



รูปที่ 2.17 Undamped Spring – Mass System [2.17]

ความสัมพันธ์ระหว่างน้ำหนัก W มวล M และค่าการยืดที่ตำแหน่งสมดุลของสปริง X_i (Static Deflection) สามารถแสดงได้ด้วยสมการดังนี้

$$W = KX_i \quad (2.23)$$

ถ้าสปริงถูกยืดออกมาเป็นระยะ X จากตำแหน่งเดิมที่ X_i และปล่อยให้เคลื่อนที่โดยอิสระ จะทำให้มวลเกิดการสั่นขึ้นลงด้วยความเร็ว a และแรงดึงดูด g_c ($32.17 \text{ lbm}\cdot\text{ft}/\text{bf}\cdot\text{sec}^2$) ดังนั้นแรงที่เกิดจากสปริงจะสามารถเขียนแทนด้วยสมการดังนี้

$$F_s = -KX = \frac{Ma}{g_c} \quad (2.24)$$

หากแทนค่าความเร็ว a ด้วยอนุพันธ์ลำดับที่ 2 ของการขัดเทียบเวลา ลงทะเบียนค่าการขัด X ด้วยสมการการเคลื่อนที่แบบชาร์มอนิก ($X = X_0 \cos(\omega t)$) จะสามารถเขียนสมการที่ (2.24) ใหม่ได้ดังนี้

$$\frac{M}{g_c} \frac{d^2X}{dt^2} + KX = 0 \quad (2.25)$$

$$-\frac{M}{g_c} \omega^2 X_0 \cos(\omega t) + KX = 0 \quad (2.26)$$

$$-\frac{M}{g_c} \omega^2 X + KX = -\frac{M}{g_c} \omega^2 + K = 0 \quad (2.27)$$

ทำการแก้สมการที่ (2.27) และจัดรูปแบบใหม่จะได้

$$\omega = \sqrt{\frac{Kg_c}{M}} \quad (2.28)$$

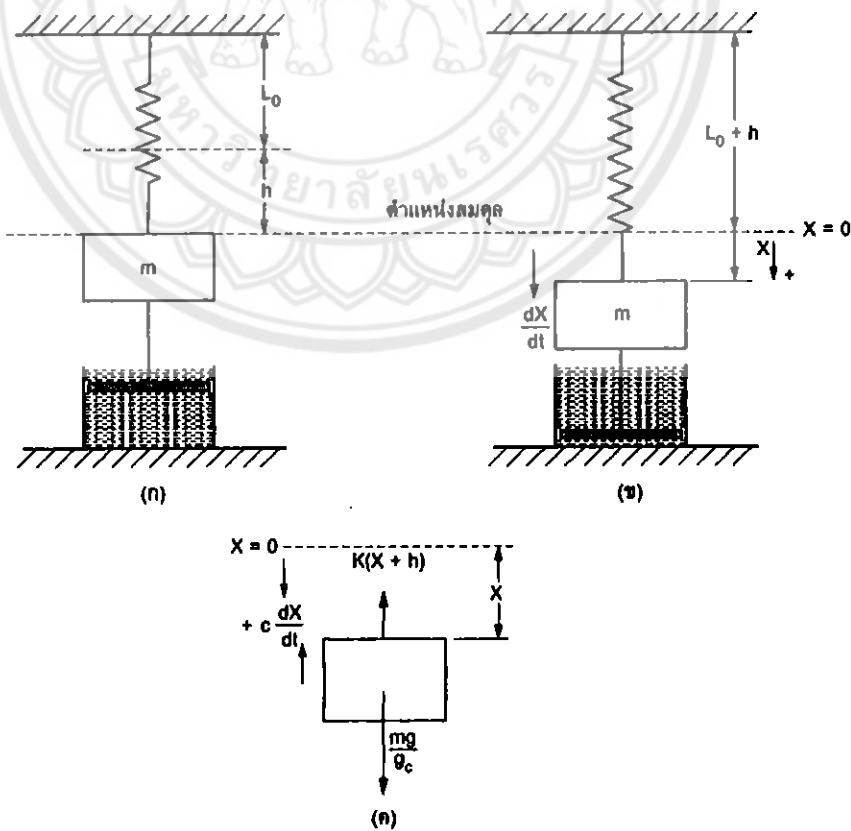
เมื่อ ω คือความถี่ธรรมชาติของมวล (Natural Frequency of Mass)

K คือค่าคงที่ของสปริง (Spring Constants)

M คือมวล (Mass)

2.12.2 การสั่นแบบอิสระโดยมีความหน่วง (Free Vibration – Damped)

ความซับซ้อนของระบบที่เพิ่มมากขึ้นส่งผลให้วัตถุหัวๆ ไปมีจะเกิดความหน่วงขึ้น ดังแสดงในรูป (2.18) โดยลักษณะความหน่วงนี้เรียกว่า การหน่วงจากความหนืด (Viscous Damping) ซึ่งลักษณะจะคล้ายกับรูปที่ (2.17) แต่ในกรณีนี้จะมีความหน่วงจากการเคลื่อนที่ของมวล ผ่านของไหหลอดที่มีแรงต้านการเคลื่อน เช่น น้ำมันหรืออากาศ เป็นต้น ความหน่วงจะทำให้ความเร็ว ของมวลลดลงและส่งผลเกิดพลังงานจากการสั่นขึ้น



รูปที่ 2.18 Damped Spring – Mass System [2.18]

จากรูปที่ 2.18 ระยะสมดุลเดิมของสปริงคือ L_0 และระยะปัจจุบันของสปริงที่ถูกน้ำหนัก W ของมวล m ดึงลงคือ h ดังนั้นจะเห็นได้ว่าน้ำหนักของมวล m มีค่าเท่ากับ Kh รูปที่ 2.18(ก) แสดงตำแหน่งสมดุลของมวล m รูปที่ 2.18(ข) แสดงตำแหน่งของมวล m ที่ถูกดึงลงมาเป็นระยะทางเท่ากับ X จากตำแหน่งสมดุล ทั้งนี้จะพิจารณาให้ค่า X เป็นบวกในทิศทางดึงลงดังรูป รูปที่ 2.18(ค) เป็นแผนภาพอย่างง่ายของมวลและแรงที่กระทำในระบบ ซึ่งหากนี่จะเห็นได้ว่าแรงทางความหน่วงมีค่าเท่ากับ $c(dX/dt)$ เมื่อ c คือค่าคงที่ของความหน่วง ซึ่งจากนี้สามารถนำมามาเขียนอธิบายด้วยสมการได้ดังนี้

$$\frac{M}{g_c} \frac{d^2X}{dt^2} = \frac{Mg}{g_c} - C \frac{dX}{dt} - K(X + h) \quad (2.29)$$

$$\frac{M}{g_c} \frac{d^2X}{dt^2} = Kh - C \frac{dX}{dt} - KX - Kh \quad (2.30)$$

$$\frac{M}{g_c} \frac{d^2X}{dt^2} = -C \frac{dX}{dt} - KX \quad (2.31)$$

หารสมการที่ (2.31) ด้วย M/g_c จะจดรูปใหม่ได้เป็น

$$\frac{d^2X}{dt^2} = -\frac{cg_c}{M} \frac{dX}{dt} - \frac{Kg_c X}{M} \quad (2.32)$$

เมื่อแทนค่า $cg_c/M = 2\mu$ และ $Kg_c/M = \omega$ ในสมการที่ (2.32) จะได้

$$\frac{d^2X}{dt^2} = -2\mu \frac{dX}{dt} - \omega^2 X \quad (2.33)$$

$$\frac{d^2X}{dt^2} + 2\mu \frac{dX}{dt} + \omega^2 = 0 \quad (2.34)$$

ซึ่งหากทำการแก้สมการอนุพันธ์อันดับที่ 2 นี้จะได้คำตอบคือ

$$X = Ae^{d_1 t} + Be^{d_2 t} \quad (2.35)$$

เมื่อ

$$d_1 = -\mu + \sqrt{\mu^2 - \omega^2} \quad (2.36)$$

$$d_2 = -\mu - \sqrt{\mu^2 - \omega^2} \quad (2.37)$$

จะพบว่ามีหลายเงื่อนไขที่ต้องพิจารณาเกี่ยวกับความหน่วง เช่น ความหน่วงวิกฤต (Critical Damping) ความหน่วงมากเกินปกติ (Overdamping) และความหน่วงต่ำกว่าปกติ (Underdamping) โดยสามารถสรุปได้ดังนี้

- ความหน่วงวิกฤต (Critical Damping) จะเกิดเมื่อ $\mu = \omega$
- ความหน่วงมากเกินปกติ (Overdamping) จะเกิดเมื่อ $\mu > \omega$
- ความหน่วงต่ำกว่าปกติ (Underdamping) จะเกิดเมื่อ $\mu < \omega$

สำหรับความหน่วงที่ต่ำกว่าค่าวิกฤต ($\mu < \omega$) จะสามารถเขียนแทนได้ด้วยสมการดังนี้

$$x = \frac{X_0}{\alpha_1} e^{-\mu t} (\alpha_1 \cos \alpha_1 t + \mu \sin \alpha_1 t) \quad (2.38)$$

เมื่อ

$$\alpha_1 = \sqrt{\omega^2 - \mu^2} \quad (2.39)$$

2.12.3 การสั่นแบบมีแรงกระทำโดยไม่มีความหน่วง (Forced Vibration – Undamped)

สำหรับระบบการสั่นอย่างง่ายที่อธินายก่อนหน้านี้นี้ เป็นลักษณะการสั่นแบบอิสระที่ไม่มีแรงจากนอกกระทำให้เกิดการสั่นขึ้น ซึ่งจากหลักการของวิเคราะห์การสั่นสะเทือนจะให้ความสำคัญกับความถี่ธรรมชาติหรือความถี่สั่นพอง (Natural or Resonance Frequency) ที่เป็นผลมาจากการลักษณะเฉพาะของนวลด (Mass) ความนิ่นคงแข็งแรง (Stiffness) และความหน่วง (Damping) ของวัตถุที่พิจารณาเป็นหลัก

ถ้าไปกว่านั้นการสั่นอันเนื่องจากปัจจัยเฉพาะที่สามารถบังคับกระทำให้รูปแบบการสั่นของวัตถุผิดแปลงไปได้อีกมากจากการกระทำของแรงภายนอกระบบที่มีต่อวัตถุนั้น ลองพิจารณารูปที่ (2.28) โดยเพิ่มแรงกระทำจากภายนอกกับมวล (Mass) ขนาดเท่ากับ F_0 ในทิศทางเดียว และแทนค่า $F_0 \sin(\omega t)$ ในสมการ (2.25) จะได้

$$\frac{M}{g_c} \frac{d^2 X}{dt^2} + KX = F_0 \sin(\omega t) \quad (2.40)$$

เนื่องจากสปริงจะเคลื่อนที่ตามแรง $F_0 \sin(\omega t)$ ดังนั้นค่า X จะเท่ากับ $X_0 \sin(\omega t)$ และเมื่อแทนค่าในสมการที่ (2.40) และแก้สมการจะได้

$$X = C_1 \sin(\omega_n t) + C_2 \sin(\omega_n t) + \frac{X_{st}}{1-(\omega/\omega_n)^2} \sin(\omega t) \quad (2.41)$$

เมื่อ X การขัดของสปริงที่เวลา t

X_{st} การขัดคงที่ของสปริงเมื่อรับแรงคงที่ F_0

ω ความถี่ที่เกิดจากแรงภายนอก

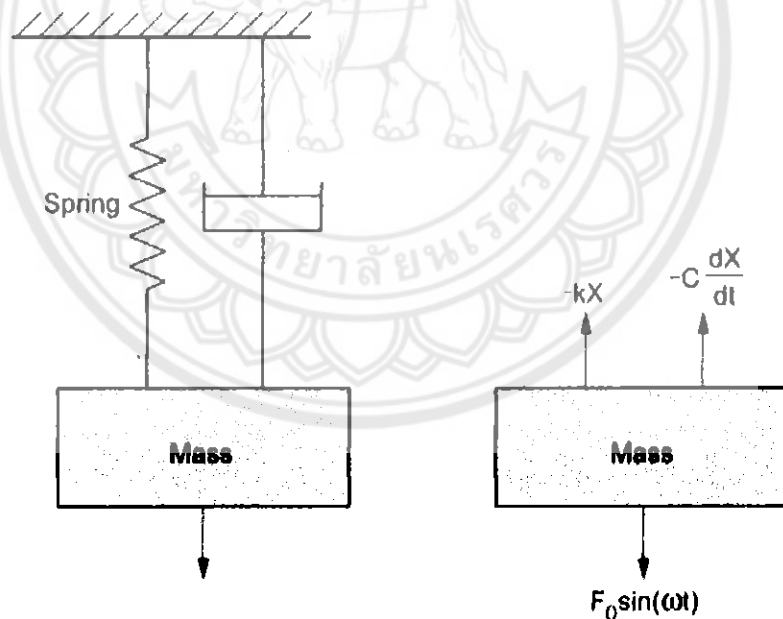
ω_n ความถี่ธรรมชาติของการสั่น

$$\begin{array}{ll} t & \text{เวลา} \\ C_1, C_2 & \text{ค่าคงที่} \end{array}$$

จากสมการที่ (2.41) เทอมที่ 1 และ 2 จะแสดงถึงการสั่นแบบอิสระโดยไม่มีความหน่วง และในเทอมที่ 3 จะแสดงถึงการสั่นที่มีแรงกระทำจากภายนอกโดยไม่มีความหน่วง คำตอนจะเป็น การรวมกันของคลื่นรูปไข่นี้ 2 คลื่นที่มีความถี่ต่างกัน ซึ่งอาจสรุปได้ว่าการสั่นแบบนี้จะเป็นการเคลื่อนที่แบบความเวลา แต่จะไม่ใช่การเคลื่อนที่แบบชาร์มอนิก

2.12.4 การสั่นแบบมีแรงกระทำโดยมีความหน่วง (Forced Vibration – Damped)

สำหรับระบบการสั่นที่มีแรงกระทำจากภายนอกร่วมกับมีความหน่วงด้วยนั้น สามารถแสดงได้ดังรูปที่ (2.19) การเคลื่อนที่ของมวล M (Mass) ประกอบด้วย 2 ส่วนสำคัญคือ (1) การสั่นแบบอิสระที่มีการหน่วงที่ความถี่ธรรมชาติ (2) การเคลื่อนที่แบบคงตัวในรูปแบบของชาร์มนอนิกที่ความถี่ตามการกระทำของแรง ความถี่ธรรมชาติของวัตถุที่เกิดจากการหน่วงจะลดลงอย่างรวดเร็ว แต่สำหรับกรณีความถี่ธรรมชาติของอนิกคงตัว (Steady – state Harmonic) ที่เกิดจากแรงกระทำจากภายนอกจะดำเนินต่อไปตราบเท่าที่ยังคงพลังงานจากแรงที่กระทำอยู่



รูปที่ 2.19 Damped Forced Vibration System [2.19]

สำหรับสมการของการสั่นแบบที่มีแรงกระทำภายนอกและมีความหน่วงด้วยนั้นให้พิจารณาจากสมการของการสั่นแบบอิสระที่มีความหน่วงได้เลย โดยเปลี่ยนเทอมด้านขวาให้ออกค่า 0 เป็นฟังก์ชันของแรงคือ \$F_0 \sin(\omega t)\$ ของสมการที่ (2.25) จะได้สมการใหม่ดังนี้

$$\frac{M}{g_c} \frac{d^2X}{dt^2} + C \frac{dX}{dt} + KX = F_0 \sin(\omega t) \quad (2.42)$$

ด้วยการสั่นที่มีความหน่วง ดังนี้จะทำให้ค่าคงที่ของความหน่วง C มีค่าไม่เท่ากับ 0 ซึ่งส่งผลให้คำตอบของสมการมีความซับซ้อนมากยิ่งขึ้น

สมนติให้ $X = X_0 \sin(\omega t - \varphi)$ โดยที่ φ คือค่ามุมเฟส (Phase Angle) หรือเป็นค่ามุมสัมประสิทธิ์แรงกระทำจากภายนอก $F_0 \sin(\omega t)$ กระทำกับการจัด $X_0 \sin(\omega t - \varphi)$ โดยใช้หลักการของเวกเตอร์เพื่อการหาคำตอบของสมการสามารถแสดงได้ดังนี้

เวกเตอร์ของแรงในแนวแกนตั้ง :

$$KX_0 - \frac{M}{g_c} \omega^2 X_0 - F_0 \cos \phi = 0 \quad (2.43)$$

เวกเตอร์ของแรงในแนวแกนนอน :

$$c\omega X_0 - F_0 \cos \phi = 0 \quad (2.44)$$

เมื่อแก้สมการโดยการแทนค่าสมการเวกเตอร์ทั้งสองด้านบนเพื่อหาค่า X_0 และ φ จะได้คำตอบดังนี้

$$X_0 = \frac{F_0}{\sqrt{(c\omega)^2 + (K - \frac{M}{g_c}\omega^2)^2}} \quad (2.45)$$

$$= \frac{F_0/K}{\sqrt{(1 - \frac{\omega^2}{\omega_n^2}) + (2\frac{c}{c_c} \times \frac{\omega}{\omega_n})^2}} \quad (2.46)$$

$$\tan \phi = \frac{c\omega}{K - \frac{M}{g_c}\omega^2} = \frac{\frac{2c}{c_c} \times \frac{\omega}{\omega_n}}{1 - (\frac{\omega^2}{\omega_n^2})} \quad (2.47)$$

เมื่อ C ค่าคงที่ของความหน่วง (Damping Constant)

c_c การหน่วงวิกฤต (Critical Damping) = $2(M/g_c)\omega_n$

c/c_c อัตราส่วนการหน่วง (Damping Ratio)

F_0 แรงกระทำจากภายนอก (External Force)

F_0/K การสูญเสียของสนปริญภายในให้การ F_0 หรือค่าการเสียบูรณาการที่ (Static Deflection; X_{st})

ω ความถี่จากแรงภายนอก (Force Frequency)

ω_n	ความถี่ธรรมชาติของการสั่น (Natural Frequency)
ω/ω_n	อัตราส่วนความถี่ (Frequency Ratio)

สำหรับการสั่นแบบมีแรงกระทำจากภายนอกนั้น พบว่ามีความถี่ที่แตกต่างกันแบ่งออกได้เป็น 3 รูปแบบที่สำคัญดังนี้คือ

1. ความถี่ธรรมชาติโดยไม่มีความหน่วง (Undamped Natural Frequency)

$$\omega_n = \sqrt{\frac{Kg_c}{M}} \quad (2.48)$$

2. ความถี่ธรรมชาติโดยมีความหน่วง (Damped Natural Frequency)

$$\omega_d = \sqrt{\frac{Kg_c}{M} - \left(\frac{cg_c}{2M}\right)^2} \quad (2.49)$$

3. ความถี่สั่นพ้อง (Resonant Frequency) สมดุล

2.13 สภาพแวดล้อมที่มีผลกระทบต่อการวัดการสั่นสะเทือน

สภาพแวดล้อมเป็นปัจจัยหนึ่งที่มีผลกระทบทั้งโดยตรงและโดยอ้อมต่อการวัดการสั่นสะเทือนในเครื่องจักรกล โดยเฉพาะหัวการวัดการสั่นสะเทือนแบบความเร่ง (Accelerometer) เพราะว่าในบางครั้งผลของสภาพแวดล้อมเหล่านี้อาจอาจทำให้ค่าของ การสั่นสะเทือนเกิดการเบี่ยงเบนได้ ทำให้ค่าของ การสั่นสะเทือนที่ได้มาไม่ตรงกับความเป็นจริง ซึ่งสภาพแวดล้อมเหล่านี้ ประกอบไปด้วยอุณหภูมิ ความชื้น ร้อน ข้าง การรบกวนจากการแผ่รังสี และผลกระทบจากอิเล็กทรอนิกส์ รวมถึงผลกระทบจากแรงดึงดัน แรงดัน อุณหภูมิ ความชื้น ความกดอากาศ ฯลฯ ที่สามารถทำให้เกิดความผิดพลาดในผลการวัดได้

2.13.1 ผลกระทบจากอุณหภูมิ

อุณหภูมิร้อนข้างมีผลกระทบต่อหัววัดการสั่นสะเทือน ซึ่งถ้าอุณหภูมิร้อนข้างของหัววัดการสั่นสะเทือนมีค่าสูงเกินขีดจำกัดของหัววัดแล้ว จะมีผลทำให้ค่าที่วัดได้จากหัววัดการสั่นสะเทือนนั้นเกิดการเบี่ยงเบนไปจากค่าความเป็นจริงได้ โดยทั่วไปแล้วในการเลือกใช้หัววัดการสั่นสะเทือนนั้น ก่อนทำการเลือกใช้หัววัดควรทำการตรวจสอบอุณหภูมิและตำแหน่งที่จะทำการติดตั้งหัววัดนั้นก่อน และเลือกหัววัดที่มีคุณสมบัติที่ทำงานได้ในช่วงอุณหภูมิที่ตำแหน่งจะติดตั้งหัววัดนั้น ซึ่งหัววัดขนาดกลางๆ ที่นิยมใช้ทั่วไป ค่าอุณหภูมิของสภาพแวดล้อมข้างเคียงอาจอยู่ระหว่าง -40 ถึง 85 °C แต่ถ้าอุณหภูมิของสภาพแวดล้อมข้างเคียงสูงกว่านี้มาก ก็ควรเลือกหัววัดพิเศษที่สามารถทำงานในช่วงอุณหภูมนั้นได้

2.13.2 ผลกระทบจากความชื้นรอบข้าง

ในการติดตั้งหัววัดการสั่นสะเทือนบนเครื่องจักรกลนั้นตามข้อต่อสายต่างๆจะป้องกันการร้าวของกระแสไฟฟ้าโดยการใส่ซีลหรือหุ้มถอนเอาไว้เมื่อนำหัววัดนั้นไปติดตั้งบนเครื่องจักรบริเวณที่มีความชื้นสูง เช่น เครื่องจักรบนห้องนาขวดความร้อน ซึ่งบริเวณนี้มีทั้งความชื้นสูงและอุณหภูมิสูง ทำให้ยาขุการใช้งานของซีลหรือหุ้มขึ้นต่ำสายนำสัญญาณเมียขุการใช้งานที่สั่นลง เมื่อซีลหรือหุ้มถอนก็สามารถชำรุดหรือสึกกร่อนประกอบกับความชื้นที่สูงในบริเวณนั้น ทำให้เป็นสาเหตุของการร้าวไฟของสายสัญญาณทางไฟฟ้าได้

2.13.3 ผลกระทบจากการแผ่รังสี

จากการใช้งานโดยทั่วไปพบว่าผลกระทบที่เกิดจากการแผ่รังสีในบริเวณใกล้เคียงกับตำแหน่งของหัววัดการสั่นสะเทือนนั้น อาจไม่ค่อยมีผลกระทบต่อสัญญาณการสั่นสะเทือนนั้นมากนัก แต่ถ้าการแผ่รังสีในบริเวณที่สูงมากเกินไป ก็อาจส่งผลกระทบต่อสัญญาณการสั่นสะเทือนได้เช่นกัน

2.13.4 ผลกระทบจากอุณหภูมิเหล็ก

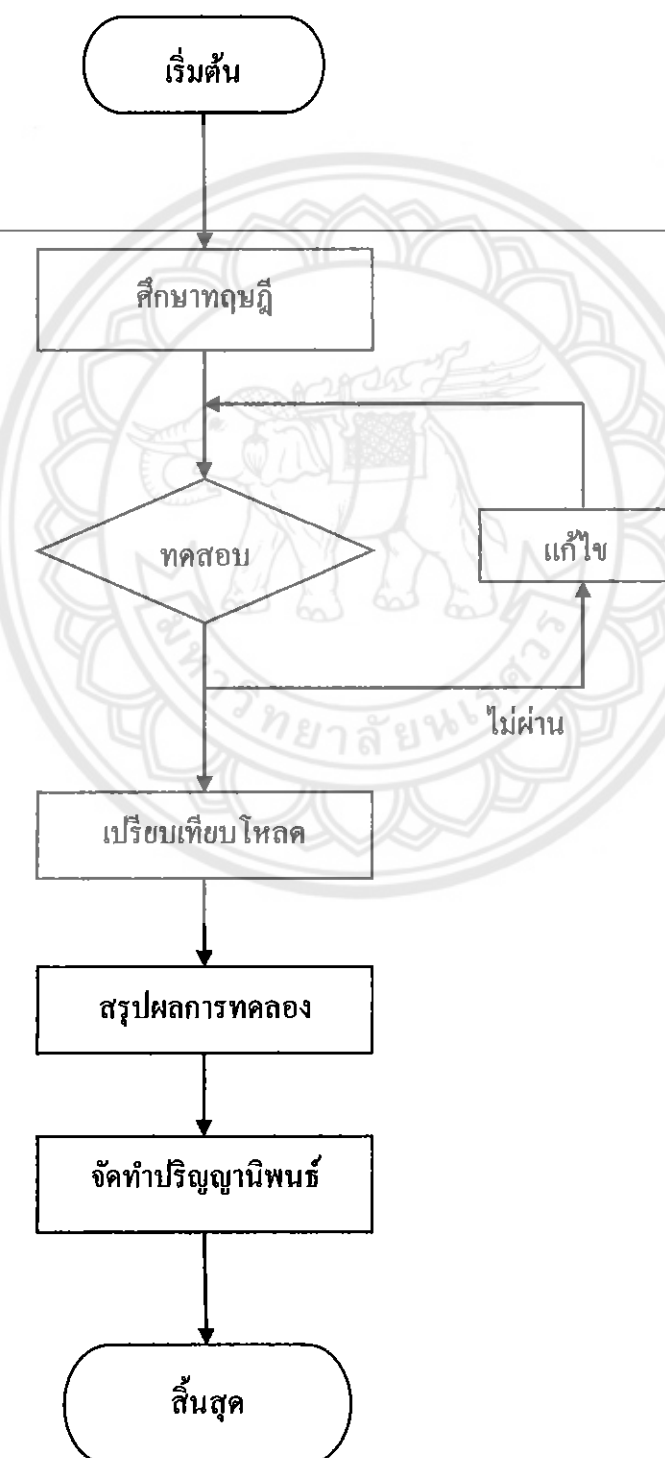
โดยทั่วไปแล้วพบว่าผลกระทบที่เกิดจากอุณหภูมิเหล็กในบริเวณใกล้เคียงกับตำแหน่งของหัววัดการสั่นสะเทือนนั้นไม่ค่อยมีผลกระทบต่อสัญญาณการสั่นสะเทือนมากนัก แต่ถ้าความเข้มข้นของสนามแม่เหล็กในบริเวณเน้นสูงมากเกินไป ก็อาจส่งผลกระทบต่อสัญญาณการสั่นสะเทือนได้เช่นกัน

นอกจากผลกระทบที่กล่าวมาแล้วนี้ ยังมีผลกระทบอีกอย่างหนึ่งที่มีผลทั้งทางตรงและทางอ้อมต่อหัววัดการสั่นสะเทือน เช่น ความแข็งแรงของขาข้อหัววัดการสั่นสะเทือน สภาพแวดล้อมที่มีการกัดกร่อนอย่างรุนแรง เป็นต้น

บทที่ 3

ขั้นตอนการศึกษาและออกแบบการทดลอง

ในการสร้างและออกแบบการทำงานห้องทดลอง ได้มีการวางแผนการดำเนินงานเพื่อเป็นแนวทางในการปฏิบัติงาน สามารถแสดงได้ดังแผนผังการทำงานดังนี้



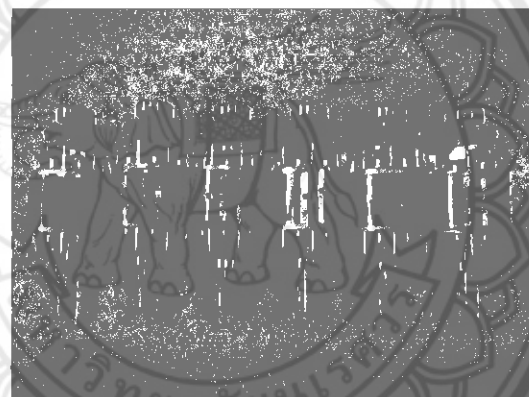
ในบทที่ 3 นี้จะกล่าวถึงแนวทางในการออกแบบการทดสอบสมรรถนะของอินดักชันมอเตอร์เพื่อศึกษา เปรียบเทียบและวิเคราะห์การสั่นสะเทือนและเสียงที่เกิดขึ้นในมอเตอร์หนีบนำ 1 เฟส โดยมีการกำหนดทดสอบ เพื่อเปรียบเทียบการสั่นสะเทือน และเสียงที่เกิดขึ้น

โครงงานนี้ได้ทำการทดลองแยกเป็น 3 การทดลองคือ เรื่องความเร็วรอบ การวิเคราะห์ การสั่นสะเทือนในมอเตอร์ขั้มพาห์มอเตอร์ทำงานและเสียงที่เกิดขึ้นในมอเตอร์ทำงาน

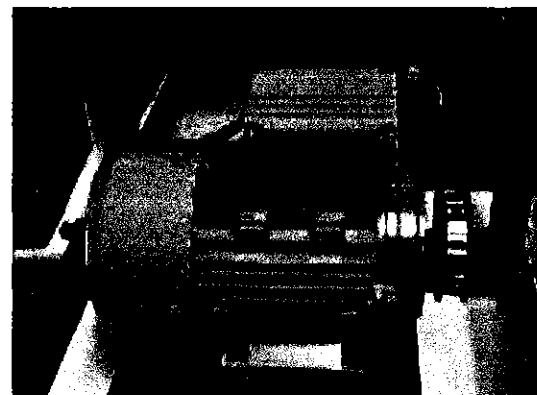
3.1 อุปกรณ์การทดลองการสั่นสะเทือนในมอเตอร์ขั้มพาห์มอเตอร์ทำงาน

3.1.1 อุปกรณ์การทดลองการสั่นสะเทือน

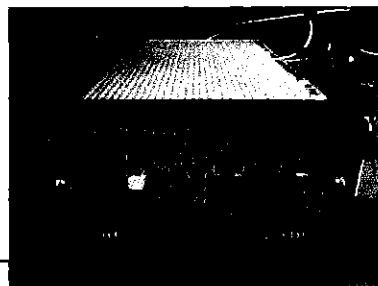
อุปกรณ์ที่ใช้ในการทดลองนี้มีทั้งอุปกรณ์อิเล็กทรอนิกส์ต่างๆ และคอมพิวเตอร์เพื่อวิเคราะห์ผลการทดลอง รวมทั้งอุปกรณ์ดังรูปด่อไปนี้



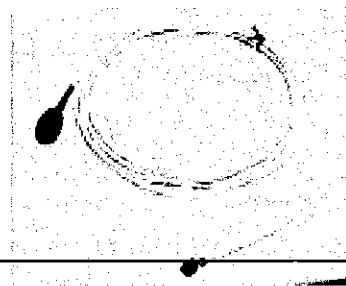
รูปที่ 3.1 โรเตอร์แบบกรงกระอก



รูปที่ 3.2 มอเตอร์หนีบนำ 1 เฟส



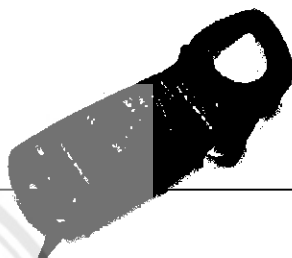
รูปที่ 3.3 จุลทรรศน์เบลกงสัญญาณการสั่นสะเทือน



รูปที่ 3.4 สายนำสัญญาณการสั่นสะเทือน



รูปที่ 3.5 เครื่องวัดอุณหภูมิแบบอินฟารेक



รูปที่ 3.6 คิจิตอลเคนป์มิเตอร์คล้องสายไฟ



รูปที่ 3.7 ออสซิลโลสโคป



รูปที่ 3.8 Electrodynamometer



รูปที่ 3.9 การทดสอบมอเตอร์

3.1.2 การออกแบบและขั้นตอนการทดสอบ

- ศึกษาการทดสอบมอเตอร์ที่เกิดความเสียหายของบาร์โบทอร์ (มอเตอร์แตก 0-5 บาร์) และศึกษาการทดสอบการสั่นสะเทือนของมอเตอร์

2. ออกแบบการต่อวงจรในการทดสอบและศึกษาอุปกรณ์ที่ใช้
3. ต่อวงจรการทดสอบเพื่อทดสอบการสั่นสะเทือนของมอเตอร์
4. ทำการทดสอบมอเตอร์ในสภาพที่มีโหลดระหว่าง 0%, 20%, 40%, 60%, 80%, 100% แล้วบันทึกค่าพารามิเตอร์ต่างๆ ที่ต้องการพร้อมทั้งบันทึกภาพคลิปของการสั่นสะเทือนผ่านซอฟแวร์คอมพิวเตอร์

5. ทำการทดสอบมอเตอร์ที่ความเสียงหายของบาร์ โรเตอร์ที่ความเสียงหาย 1 บาร์, 2 บาร์, 3 บาร์, 4 บาร์, 5 บาร์, ในแต่ละความเสียงหายให้ทดสอบซ้ำในข้อที่ 4. แล้วบันทึกค่าพารามิเตอร์ต่างๆ ที่ต้องการพร้อมทั้งบันทึกภาพคลิปของการสั่นสะเทือนที่สภาพที่ไม่มีโหลด
6. รวบรวมข้อมูลพารามิเตอร์ต่างๆ และภาพของคลิปการสั่นสะเทือนที่ได้แล้วนำมาวิเคราะห์ผล

3.1.3 วิธีทดสอบและลักษณะการติดตั้งหัววัดการสั่นสะเทือน

ทำการต่อแหล่งจ่ายไฟเข้ากับมอเตอร์หนึ่งยาน้ำ 1 เฟส นำมอเตอร์แบบกรงกระอกทั้ง 6 แบบ เริ่มจากมอเตอร์แบบกรงกระอกแบบปกติ จากนั้นติดตั้งหัววัดการสั่นสะเทือนบริเวณที่ต้องการทดสอบ โดยค่าเอาท์พุตที่ได้ต่อเข้ากับเครื่องออกอสซิลโลสโคปจะได้เป็นภาพเวฟฟอร์ม ออกมา ทำเช่นนี้อีก 5 ครั้ง โดยเปลี่ยนมอเตอร์แบบกรงกระอกแบบปกติเป็นแบบ แตก 1 บาร์, 2 บาร์, 3 บาร์, 4 บาร์ และ 5 บาร์ และทำการวัดค่าแต่ละครั้ง

3.1.4 ทำการทดสอบเพื่อคุ้มค่าและพลิจูดกราฟสเปกตรัมของการสั่นสะเทือนสภาพต่างๆ

เมื่อทำการติดตั้งอุปกรณ์การทดสอบเสร็จสิ้น ทำการปรับสภาพโหลดโดยให้ขับโหลดที่ 0%, 20%, 40%, 60%, 80% และ 100%

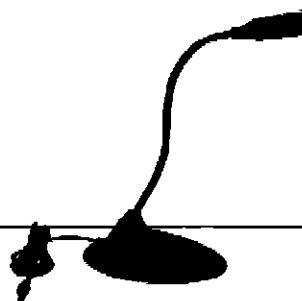
3.1.5 การทดสอบเพื่อคุ้มค่าและพลิจูดกราฟ

จากการทดสอบที่ได้จากเครื่องออกอสซิลโลสโคป ค่าสัญญาณที่ได้จะออกมาในรูปแบบของกราฟ นำกราฟค่าสัญญาณที่ได้มายังที่ลงในโปรแกรม Excel

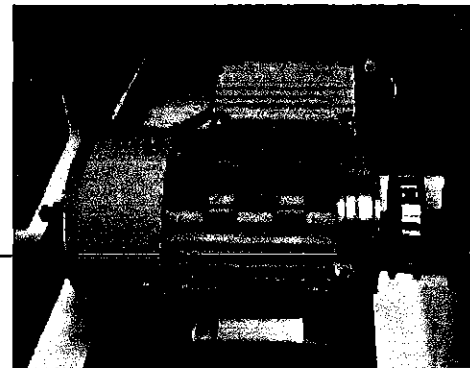
3.2 อุปกรณ์การทดสอบของเสียงที่เกิดขึ้นขณะมอเตอร์ทำงาน

3.2.1 อุปกรณ์การทดสอบของเสียง

อุปกรณ์ที่ใช้ในการทดสอบมีทั้ง ไมโครโฟน มอเตอร์หนึ่งยาน้ำ 1 เฟส แหล่งจ่ายไฟ คอมพิวเตอร์ซอฟแวร์ รวมถึงอุปกรณ์ต่างๆ ดังรูป



รูปที่ 3.10 ไมโครโฟน



รูปที่ 3.11 นอเตอร์เน็ยวนำ



รูปที่ 3.12 การทดสอบมอเตอร์

3.2.2 อุปกรณ์การวัดและวิเคราะห์เสียง

ในการวัดและวิเคราะห์เสียงในมอเตอร์นั้น มีส่วนประกอบที่สำคัญอยู่หลายส่วนด้วยกัน เช่น ไมโครโฟน เครื่องมือวัดและบันทึกผล ระบบคอมพิวเตอร์พร้อมซอฟแวร์สำหรับการวิเคราะห์

3.2.3 การออกแบบการทดสอบของเสียง

การวัดค่าพารามิเตอร์ในขณะที่มอเตอร์เน็นี่ยวนำมีการทำงาน ในสภาวะที่มีโหลดและไม่มีโหลด(ใช้วิธีปรับค่าทอร์ค) ระหว่าง 20%, 40%, 60%, 80%, 100% แล้วทำการบันทึกกราฟ โดยรูปกราฟที่ปรากฏบนหน้าจอคอมพิวเตอร์

1. ทำการทดสอบมอเตอร์เสียงหายที่บาร์โรเตอร์ 1 บาร์, 2 บาร์, 3 บาร์, 4 บาร์, 5 บาร์, และศึกษาการทดสอบการเสียงที่เกิดขึ้นของมอเตอร์และบันทึกสัญญาณรูปคลื่นเสียงจากไมโครโฟนผ่านซอฟแวร์คอมพิวเตอร์

2. ทำการทดสอบมอเตอร์ในสภาวะที่มีโหลดระหว่าง 20% ถึง 100% แล้วบันทึกค่าพารามิเตอร์ต่างๆที่ต้องการพร้อมทั้งบันทึกภาพคลื่นของเสียงจากไมโครโฟนผ่านซอฟแวร์คอมพิวเตอร์

3. ทำการทดสอบมอเตอร์ในสภาวะที่ไม่มีโหลด แล้วบันทึกค่าพารามิเตอร์ต่างๆที่ต้องการพร้อมทั้งบันทึกภาพคลื่นของเสียงที่สภาวะไร้ภาระทางกล

4. รวบรวมข้อมูลพารามิเตอร์ต่างๆและภาพของคลื่นเสียงที่ได้แล้วนำมาวิเคราะห์ผล

3.2.4 การวิเคราะห์สัญญาณเสียงที่ภาระทางกลที่ต่างกัน

เมื่อจ่ายไฟให้กับมอเตอร์เห็นช่วงนำจะเกิดผลกระทบของมาในรูปแบบต่างๆ เช่น สารมอโนกซ์ ความร้อน และสัญญาณเสียง จะปรากฏออกมานี้่องจากการเพิ่มภาระทางกล และจะส่งผลให้เกิดสัญญาณเสียงที่แตกต่างกันของมา ซึ่งสามารถนำมาวินิจฉัยสัญญาณเสียงที่เกิดขึ้นได้

3.3 คอมพิวเตอร์และซอฟต์แวร์

คอมพิวเตอร์และซอฟต์แวร์ (Computer and software) จะทำหน้าที่รับข้อมูลจากเครื่องมือวัดและบันทึกผล เมื่อผู้ที่ทำหน้าที่ในการดำเนินการวัดเก็บค่าการสั่นสะเทือนของมอเตอร์แล้วก็จะนำข้อมูลที่ได้มาถ่ายโอนเข้าสู่คอมพิวเตอร์ที่มีซอฟต์แวร์รองรับ สำหรับการวิเคราะห์สัญญาณและสามารถแสดงผลของมาในรูปของภาพแบบต่างๆ

บทที่ 4

ผลการทดลอง

ในโครงการนี้ได้แบ่งการทดลองออกเป็น 2 การทดลอง กือ ความเร็วรอบของมอเตอร์เรื่องเสียงที่เกิดขึ้นขณะมอเตอร์ทำงานในสภาวะที่ขับภาระทางกล และที่ไม่มีสภาวะขับภาระทางกล การสั่นสะเทือนของมอเตอร์ขึ้นขณะมอเตอร์ทำงานสภาวะขับภาระทางกล และที่ไม่มีสภาวะขับภาระทางกล

4.1 ผลการทดลองที่ 1 ความเร็วรอบและแรงบิดของมอเตอร์

การคำนวณโหลดมอเตอร์ไฟฟ้า

$$\% \text{Load} = \frac{I}{I_r} \times \frac{V}{V_r} \times 100\%$$

โดยที่ I กือ กระแส RMS

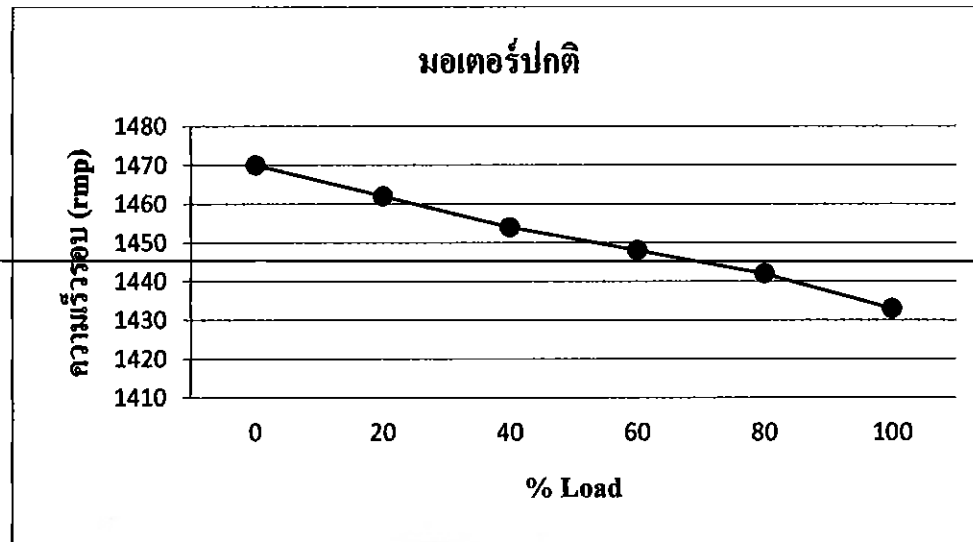
I_r กือ กระแสที่พิกัด จากแม่เหล็ก

V กือ แรงดัน RMS

V_r กือ แรงดันที่พิกัด จากแม่เหล็ก

ตารางที่ 4.1 มอเตอร์ปกติ (ไม่มีรอยแทก)

% load	กระแส (A)	ความเร็วรอบ (rpm)	แรงบิด (Torque)
0%	1.970	1494	0
20%	2.056	1468	0.56
40%	2.142	1454	0.74
60%	2.228	1445	1.02
80%	2.314	1441	1.14
100%	2.400	1433	1.20

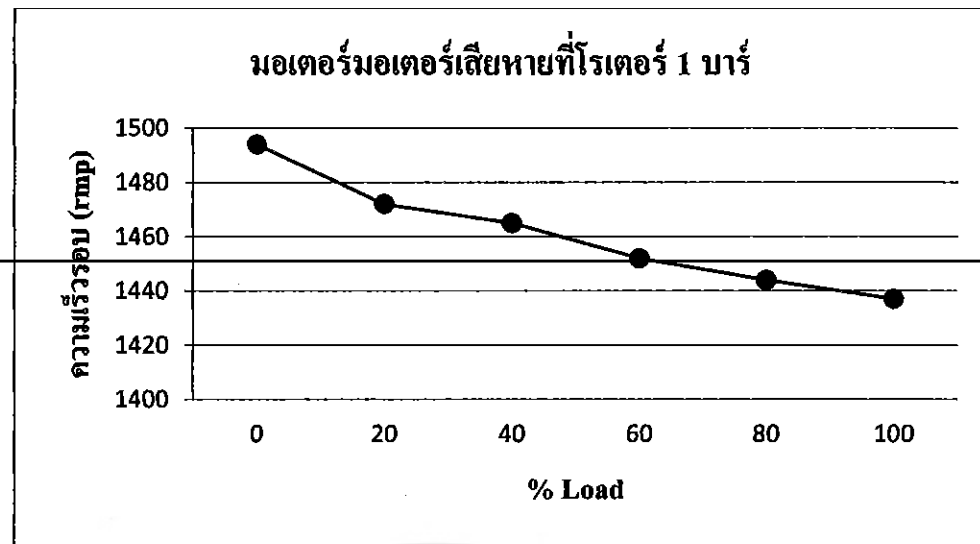


รูปที่ 4.1 กราฟแสดงความเร็วรอบที่มอเตอร์บกติ [4.1]

เมื่อจ่ายแรงดันไฟฟ้าให้กับมอเตอร์บกติ 220 V และแบล็คเกอร์ตามเปอร์เซ็นต์โหลด 0%, 20%, 40%, 60%, 80% และ 100% ตามลำดับ พนบว่าค่า ความเร็วรอบ ที่ได้จากการฟิตค่าลดลง

ตารางที่ 4.2 มอเตอร์เสียหายที่โรมเตอร์ 1 บาร์

% load	กระแส (A)	ความเร็วรอบ (rpm)	แรงบิด (Torque)
0%	2.015	1494	0
20%	2.092	1472	0.55
40%	2.169	1465	0.74
60%	2.246	1452	0.92
80%	2.323	1444	1.06
100%	2.400	1437	1.16

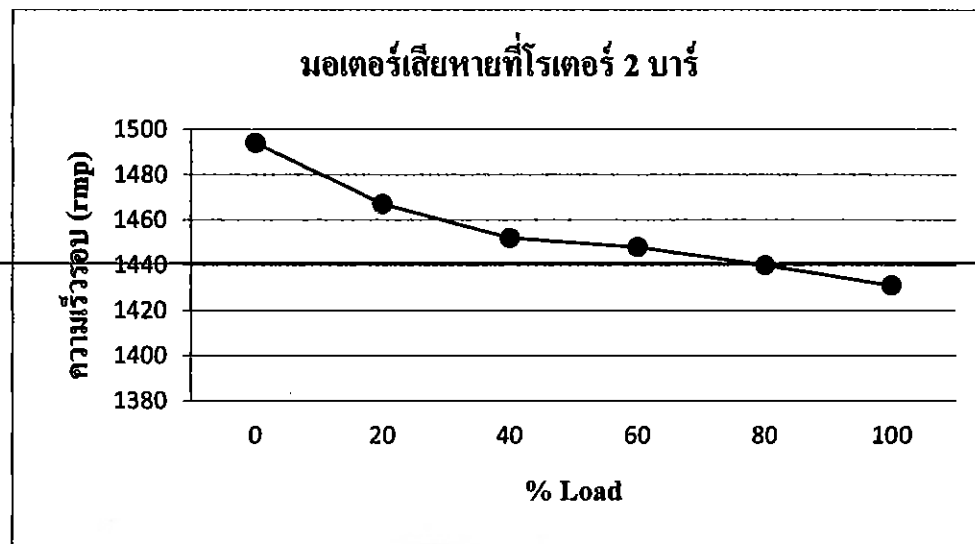


รูปที่ 4.2 กราฟแสดงความเร็วของนอเตอร์เสียหายที่โรเตอร์ 1 นาร์ [4.2]

เมื่อจ่ายแรงดันไฟฟ้าให้กับนอเตอร์เสียหายที่โรเตอร์ 1 นาร์ 220 V และได้รับกระแสตามเปอร์เซ็นต์โหลด 0%, 20%, 40%, 60%, 80% และ 100% ตามลำดับ พบร่วมกับ ความเร็วของ ที่ได้จากการทดสอบ

ตารางที่ 4.3 นอเตอร์เสียหายที่โรเตอร์ 2 นาร์

% load	กระแส (A)	ความเร็ว (rpm)	แรงบิด (Torque)
0%	1.930	1494	0
20%	2.024	1467	0.60
40%	2.118	1452	0.88
60%	2.212	1448	0.96
80%	2.306	1440	1.10
100%	2.400	1431	1.24

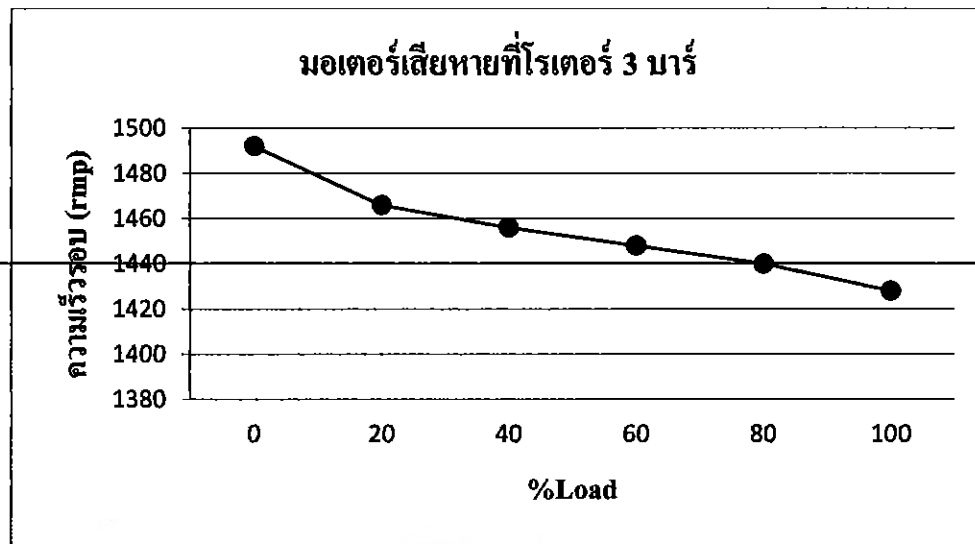


รูปที่ 4.3 กราฟแสดงความเร็วรอบที่มอเตอร์เสียหายที่โรเตอร์ 2 บาร์ [4.3]

เมื่อจ่ายแรงดันไฟฟ้าให้กับมอเตอร์เสียหายที่โรเตอร์ 2 บาร์ 220 V และและปรับกระแสตามเปอร์เซ็นต์โหลด 0%, 20%, 40%, 60%, 80% และ 100% ตามลำดับ พบร่วมกัน ความเร็วรอบ ที่ได้จากกราฟมีค่าลดลง

ตารางที่ 4.4 มอเตอร์เสียหายที่โรเตอร์ 3 บาร์

% load	กระแส (A)	ความเร็วรอบ (rpm)	แรงบิด (Torque)
0%	1.940	1492	0
20%	2.032	1466	0.62
40%	2.124	1456	0.82
60%	2.216	1448	0.94
80%	2.308	1440	1.08
100%	2.400	1428	1.24

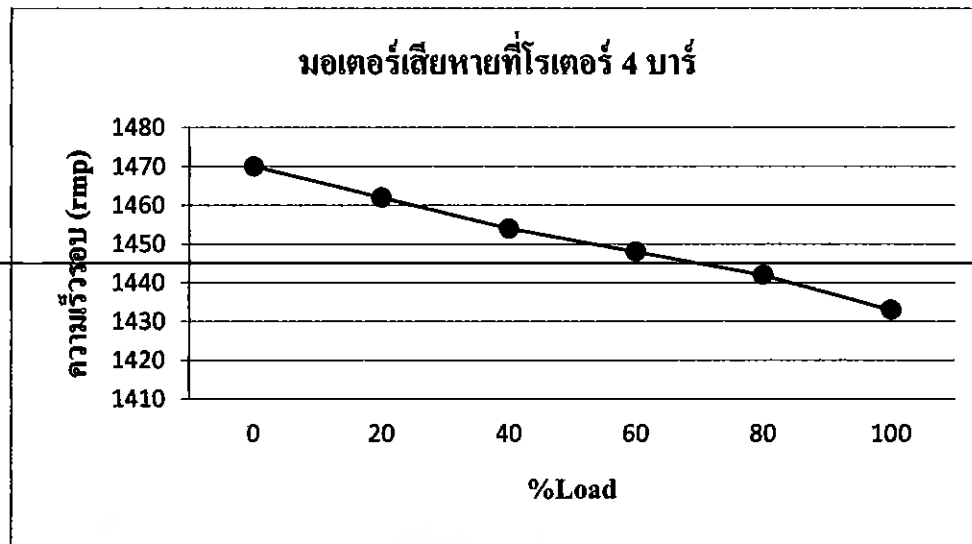


รูปที่ 4.4 กราฟแสดงความเร็วของมอเตอร์เสียหายที่โรเตอร์ 3 บาร์ [4.4]

เมื่อจ่ายแรงดันไฟฟ้าให้กับมอเตอร์เสียหายที่โรเตอร์ 3 บาร์ 220 V และเบรนกระแสตามเปอร์เซ็นต์荷重 0%, 20%, 40%, 60%, 80% และ 100% ตามลำดับ พบร่วมค่า ความเร็วของที่ได้จากการฟิตค่าลดลง

ตารางที่ 4.5 มอเตอร์เสียหายที่โรเตอร์ 4 บาร์

% load	กระแส (A)	ความเร็ว (rpm)	แรงบิด (Torque)
0%	1.965	1491	0
20%	2.052	1459	0.68
40%	2.139	1441	0.90
60%	2.226	1434	1.00
80%	2.313	1420	1.12
100%	2.400	1418	1.22

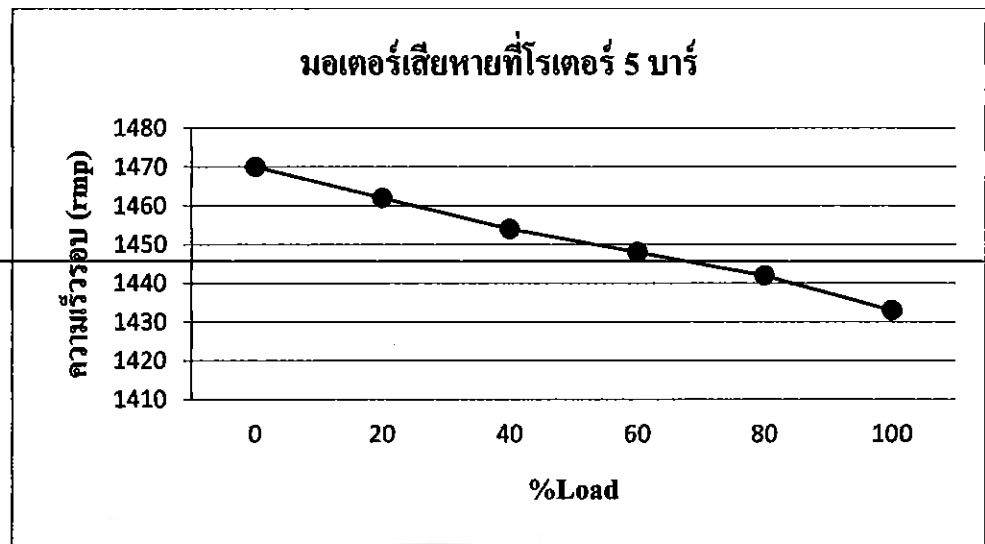


รูปที่ 4.5 กราฟแสดงความเร็วรอบที่มอเตอร์เสียหายที่โรเตอร์ 4 บาร์ [4.5]

เมื่อจ่ายแรงดันไฟฟ้าให้กับมอเตอร์เสียหายที่โรเตอร์ 4 บาร์ 220 V และและปรับกระแสตามเปอร์เซ็นต์โหลด 0%, 20%, 40%, 60%, 80% และ 100% ตามลำดับ พนว่าค่า ความเร็วรอบ ที่ได้จากกราฟมีค่าลดลง

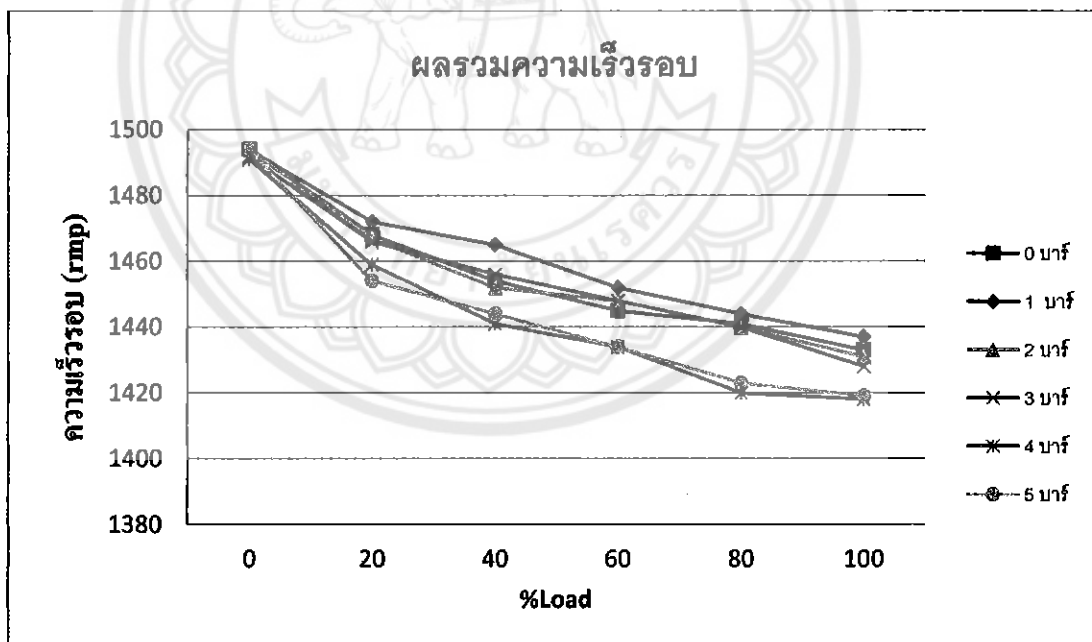
ตารางที่ 4.6 มอเตอร์เสียหายที่โรเตอร์ 5 บาร์

% load	กระแส (A)	ความเร็วรอบ (rpm)	แรงบิด (Torque)
0%	1.875	1494	0
20%	1.980	1454	0.76
40%	2.085	1444	0.94
60%	2.190	1434	1.06
80%	2.295	1423	1.18
100%	2.400	1419	1.24



รูปที่ 4.6 กราฟแสดงความเร็วของมอเตอร์เสียหายที่โหลด 5 บาร์ [4.6]

เมื่อจ่ายแรงดันไฟฟ้าให้กับมอเตอร์เสียหายที่โหลด 220 V และและปรับกระแสตามเบอร์เซ็นต์โหลด 0%, 20%, 40%, 60%, 80% และ 100% ตามลำดับ พนว่าค่า ความเร็วของ ที่ได้จากการมีค่าลดลง

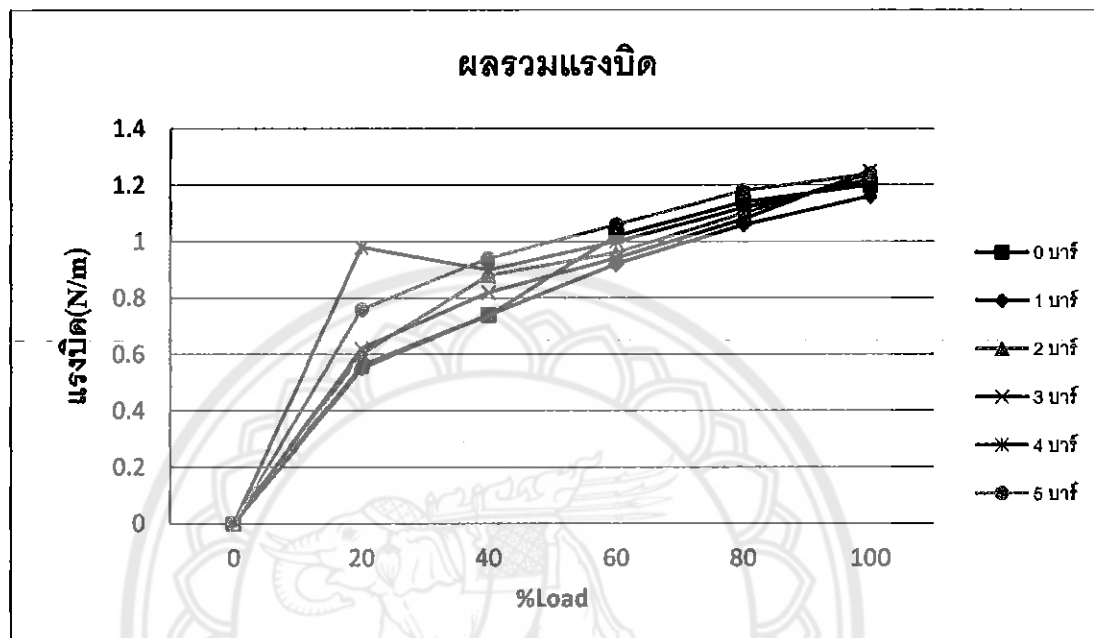


รูปที่ 4.7 กราฟแสดงผลรวมของความเร็วของ[4.7]

จากการทดลองการวัดความเร็วของมอเตอร์ในสภาวะภาระทางกลแต่ละเบอร์เซ็นต์ ต่างๆ จะได้กราฟสเปกตรัม ซึ่งค่า ความเร็วของ(rmp) ของกราฟสเปกตรัมที่ได้จะบ่งถึงความเร็ว ของ ในกราฟดังนี้ ได้ทดสอบถึงความเร็วของ กราฟสเปกตรัมที่ได้มีค่า แอนพลิจูด ของ กราฟดังตามเบอร์เซ็นต์โหลดยิ่งเบอร์เซ็นต์โหลดมีค่ามากค่า ความเร็วของที่ได้มีค่าลดลง และ

ในขณะเดียวกันการเสียหายของมอเตอร์ที่เพิ่มมากขึ้น ทำให้ค่าความเร็วของยิ่งลดลงเช่นเดียวกัน จึงสรุปได้ว่าเมื่อมีโหลดเพิ่มมากขึ้น เกิดความเสียหายเพิ่มมากขึ้น ทำให้มอเตอร์ทำงานหนักขึ้น ทำให้ความเร็วของยิ่งลดลง

จากการทดลองของมอเตอร์ในตารางที่ 4.1-4.6 ทำให้ได้กราฟผลของแรงบิดดังนี้

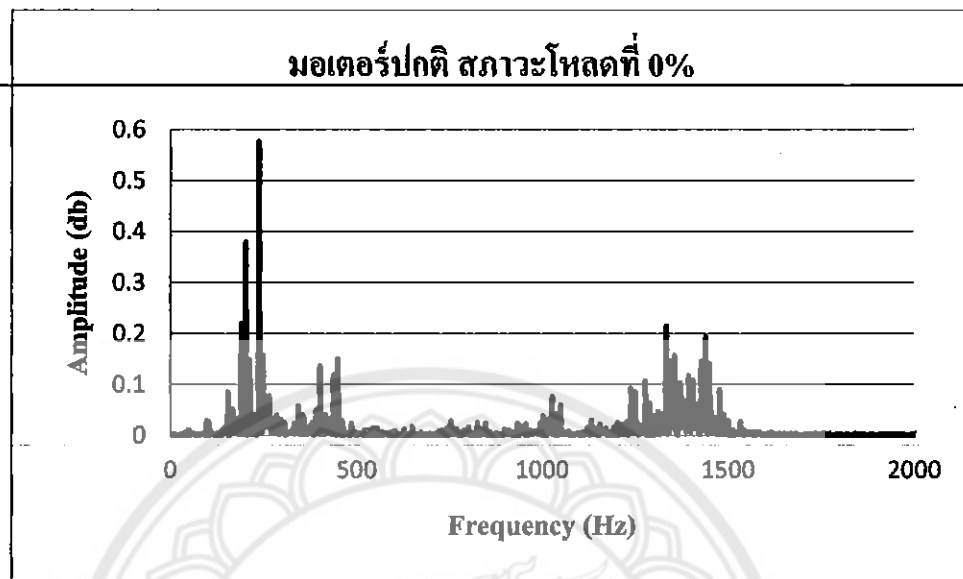


รูปที่ 4.8 กราฟแสดงผลรวมของแรงบิด [4.8]

จากการทดลองการวัดค่าแรงบิดของมอเตอร์ในสภาวะภาระทางกลแต่ละเปอร์เซ็นต์ต่างๆ จึงได้สรุปเป็นกราฟ ซึ่งค่า แรงบิดที่ได้จากการจะบ่งถึงความรุนแรงของแรงบิดที่เกิดขึ้น ในการทดลองนี้ ได้ทดสอบถึงแรงบิด กราฟที่ได้มีค่า แรงบิดของกราฟเพิ่มขึ้นตามเปอร์เซ็นต์โหลด ยิ่งเปอร์เซ็นต์โหลดมีค่ามากค่า ค่าของแรงบิดที่ได้ก็มีค่ามากขึ้น และในขณะเดียวกันการเสียหายของมอเตอร์ที่เพิ่มมากขึ้น ทำให้ค่าของแรงบิดเพิ่มขึ้นเช่นเดียวกัน จึงสรุปได้ว่าเมื่อมีโหลดเพิ่มมากขึ้น เกิดความเสียหายเพิ่มมากขึ้น ทำให้มอเตอร์ทำงานหนักขึ้น แล้วทำให้แรงบิดมีค่าเพิ่มมากขึ้น

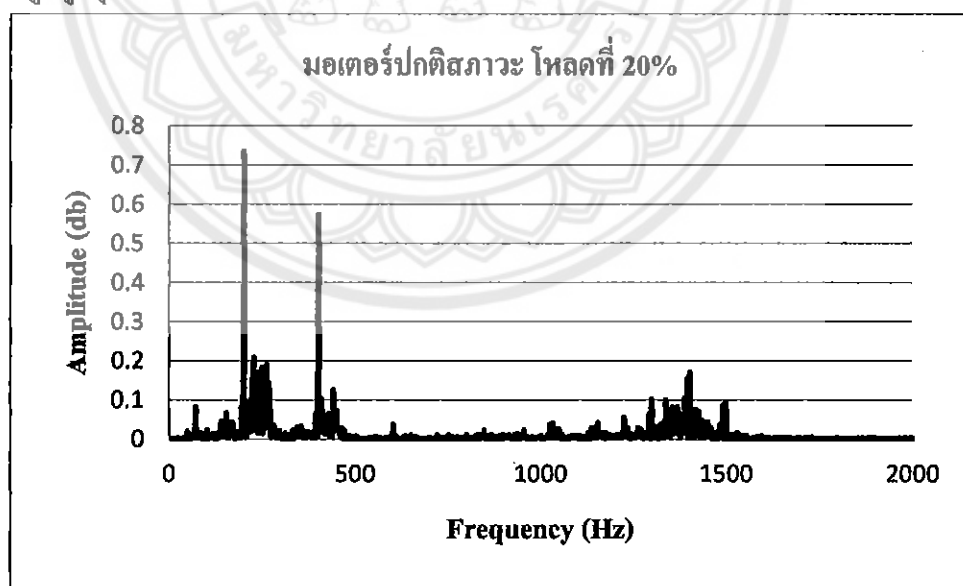
4.2 ผลการทดสอบที่ 2 เสียงที่เกิดขึ้นในขณะที่มอเตอร์ทำงาน

4.2.1 ผลการทดสอบของเสียง ที่มอเตอร์ปกติ



รูปที่ 4.9 กราฟスペกตรัมสัญญาณเสียงของมอเตอร์ปกติ ในสภาวะโหลด 0% [4.9]

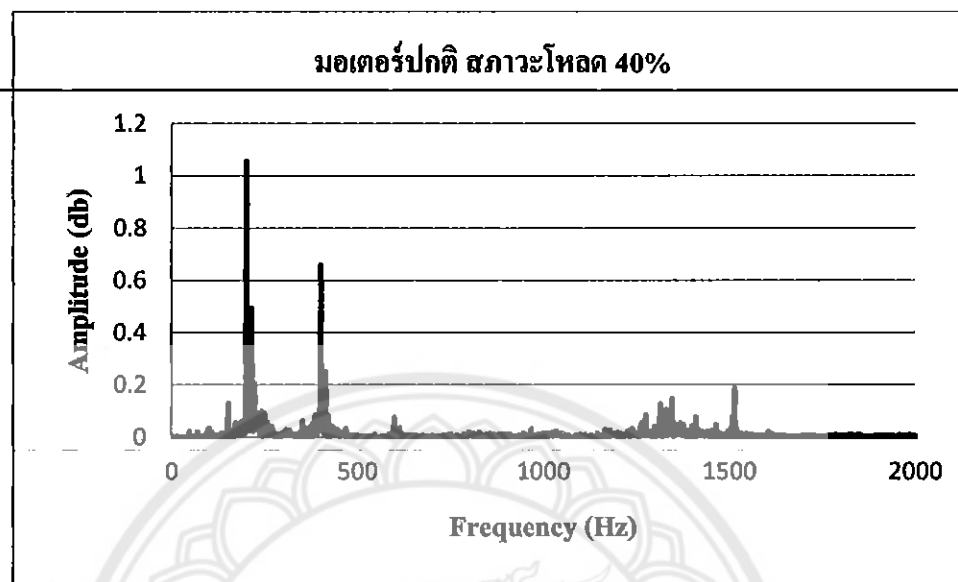
เมื่อจ่ายแรงดันไฟฟ้าให้กับมอเตอร์ 220 V แล้วขับการทางกลที่ 0 เปอร์เซ็นต์ พบร่วมค่าแอนพลิจูดสูงสุด ที่ได้จากการฟีสเปกตรัมมีค่าประมาณ 0.57



รูปที่ 4.10 กราฟスペกตรัมสัญญาณเสียงของมอเตอร์ปกติ ในสภาวะโหลด 20% [4.10]

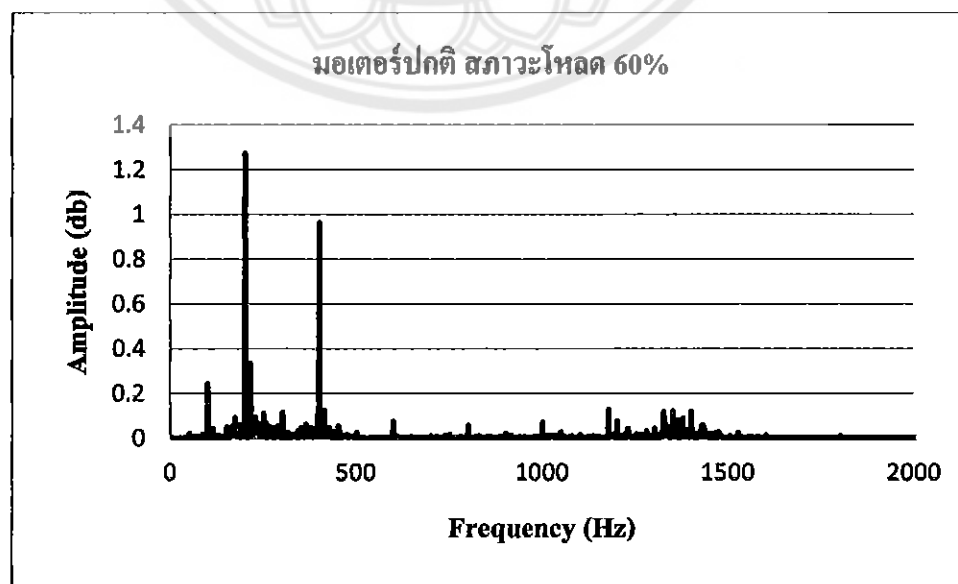
เมื่อจ่ายแรงดันไฟฟ้าให้กับมอเตอร์ 220 V แล้วขับการทางกลที่ 20 เปอร์เซ็นต์ พบร่วมค่าแอนพลิจูดสูงสุด ที่ได้จากการฟีสเปกตรัมมีค่าประมาณ 0.736 เพิ่มขึ้น จากที่ใส่การทางกลที่ 0

เปอร์เซ็นต์ เนื่องจากเมื่อมีภาระทางกลเพิ่มขึ้น ทำให้มอเตอร์ทำงานหนักขึ้น ส่งผลให้ค่า แอมเพลจูด ของกราฟมีค่าสูงขึ้น นั่นก็คือเสียงดังเพิ่มมากขึ้นด้วย



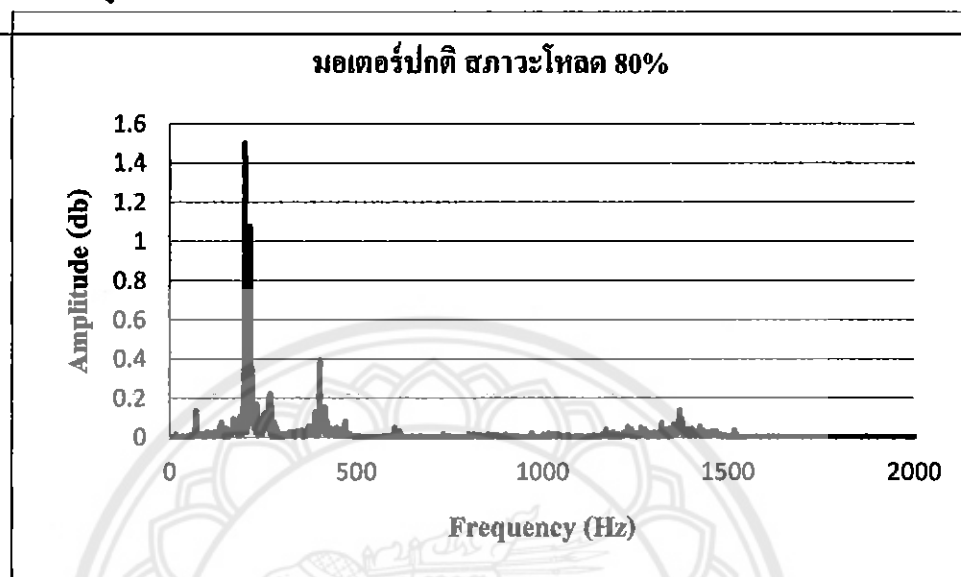
รูปที่ 4.11 กราฟスペกตรัมสัญญาณเสียงของมอเตอร์ปกติ ในสภาวะโหลด 40% [4.11]

เมื่อจ่ายแรงดันไฟฟ้าให้กับมอเตอร์ 220 V แล้วขับภาระทางกลที่ 40 เปอร์เซ็นต์ พบร่วมกับ แอมเพลจูดสูงสุด ที่ได้จากการฟีล์เตอร์มีค่าประมาณ 1.054 เพิ่มขึ้น จากที่ใส่ภาระทางกลที่ 20 เปอร์เซ็นต์ เนื่องจากเมื่อมีภาระทางกลเพิ่มขึ้น ทำให้มอเตอร์ทำงานหนักขึ้น ส่งผลให้ค่า แอมเพลจูด ของกราฟมีค่าสูงขึ้น นั่นก็คือเสียงดังเพิ่มมากขึ้นด้วย



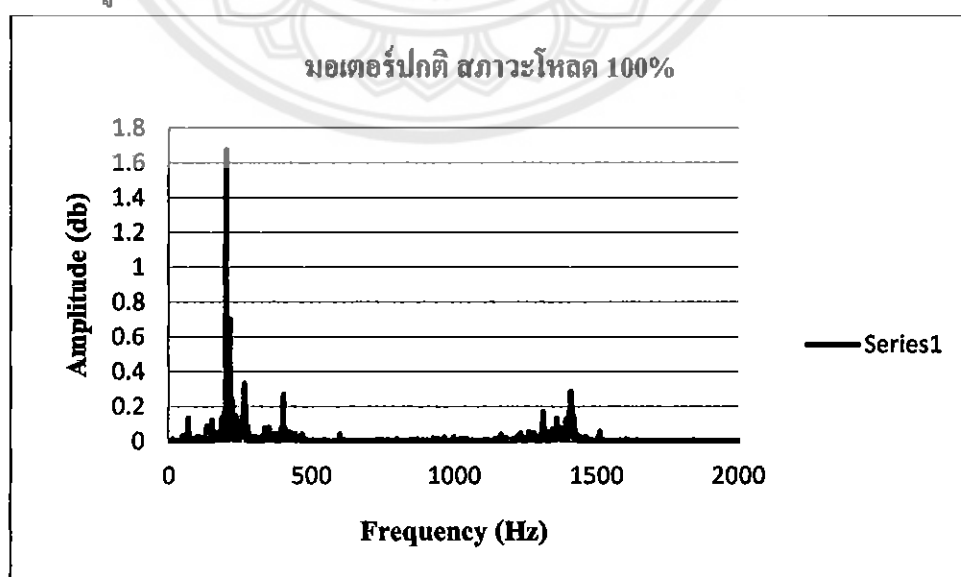
รูปที่ 4.12 กราฟスペกตรัมสัญญาณเสียงของมอเตอร์ปกติ ในสภาวะโหลด 60% [4.12]

เมื่อจ่ายแรงดันไฟฟ้าให้กับมอเตอร์ 220 V แล้วขั้นการทางกลที่ 60 เปอร์เซ็นต์ พบว่าค่า แอมเพลิจูดสูงสุด ที่ได้จากการฟrequencymeter ค่าประมาณ 1.272 เพิ่มขึ้น จากที่ใส่การทางกลที่ 40 เปอร์เซ็นต์ เมื่อจากเมื่อมีการทางกลเพิ่มขึ้น ทำให้มอเตอร์ทำงานหนักขึ้น ส่งผลให้ค่า แอมเพลิจูด ของกราฟมีค่าสูงขึ้น นั่นก็คือเสียงดังเพิ่มมากขึ้นด้วย



รูปที่ 4.13 กราฟスペกตรัมสัญญาณเสียงของมอเตอร์ปกติ ในสภาพโหลด 80% [4.13]

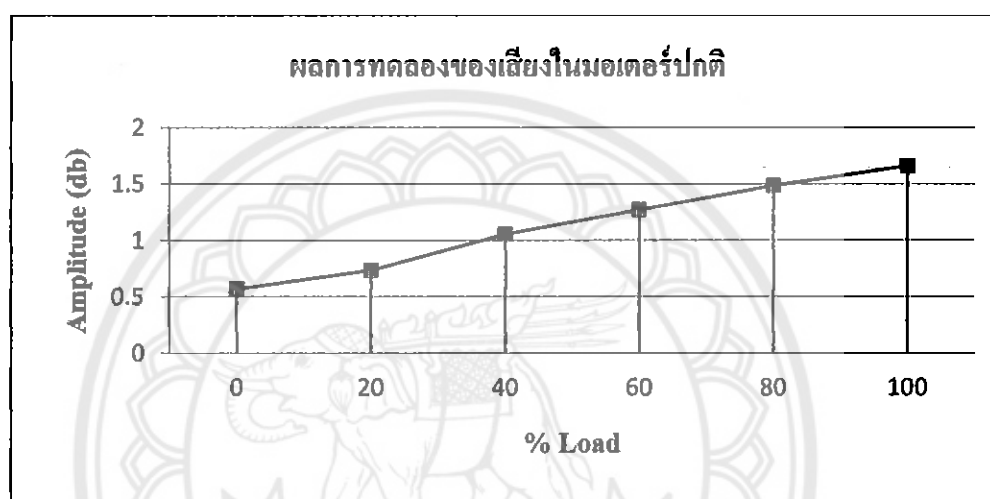
เมื่อจ่ายแรงดันไฟฟ้าให้กับมอเตอร์ 220 V แล้วขั้นการทางกลที่ 80 เปอร์เซ็นต์ พบว่าค่า แอมเพลิจูดสูงสุด ที่ได้จากการฟrequencymeter ค่าประมาณ 1.486 เพิ่มขึ้น จากที่ใส่การทางกลที่ 60 เปอร์เซ็นต์ เมื่อจากเมื่อมีการทางกลเพิ่มขึ้น ทำให้มอเตอร์ทำงานหนักขึ้น ส่งผลให้ค่า แอมเพลิจูด ของกราฟมีค่าสูงขึ้น นั่นก็คือเสียงดังเพิ่มมากขึ้นด้วย



รูปที่ 4.14 กราฟスペกตรัมสัญญาณเสียงของมอเตอร์ปกติ ในสภาพโหลด 100% [4.14]

เมื่อจ่ายแรงดันไฟฟ้าให้กับมอเตอร์ 220 V แล้วขับกระแสทางกลที่ 100 เปอร์เซ็นต์ พนว่าค่า แอมเพลจูดสูงสุด ที่ได้จากการสเปกตรัมมีค่าประมาณ 1.661 เพิ่มขึ้น จากที่ใส่กระแสทางกลที่ 80 เปอร์เซ็นต์ เมื่อจากเมื่อมีกระแสทางกลเพิ่มขึ้น ทำให้มอเตอร์ทำงานหนักขึ้น ส่งผลให้ค่า แอมเพลจูดของกราฟมีค่าสูงขึ้น นั่นก็คือเสียงดังเพิ่มมากขึ้นด้วย

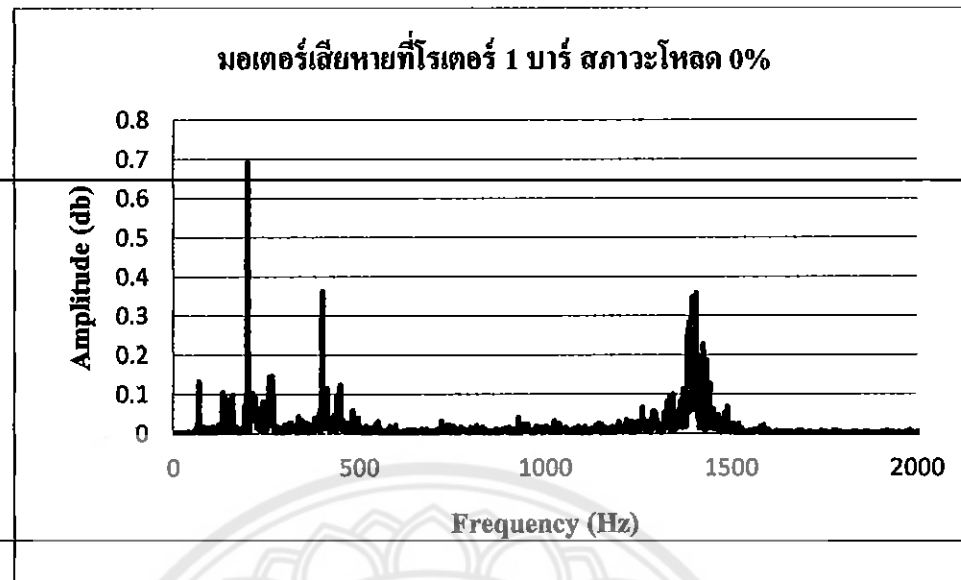
จากการทดสอบสัญญาณเสียงของมอเตอร์ปกติ ในสภาวะโหลด 0%, 20%, 40%, 60%, 80% และ 100% ตามลำดับ ผลการทดลองที่ได้ ค่า แอมเพลจูดสูงสุด คือ 0.57, 0.736, 1.054, 1.272, 1.486 และ 1.661 ทำให้ได้กราฟผลการทดลอง ดังนี้



รูปที่ 4.15 กราฟผลการทดลองของเสียงในมอเตอร์ปกติที่สภาวะโหลดต่างๆ [4.15]

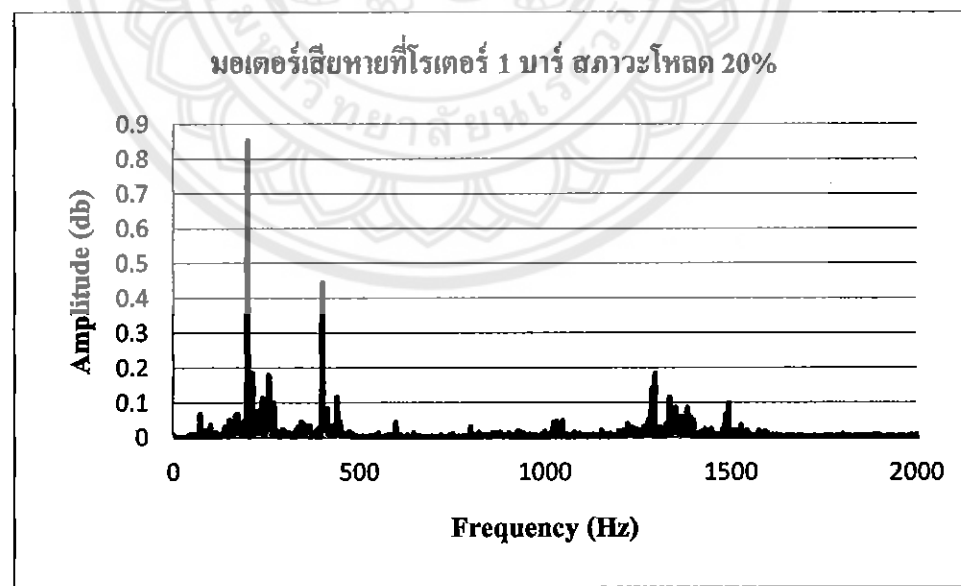
จากการทดสอบผลการทดลองของเสียงในมอเตอร์ปกติ การเพิ่มขึ้นของสภาวะโหลดต่างๆ ทำให้ทราบว่า เมื่อมีกระแสทางกลเพิ่มขึ้น ทำให้มอเตอร์ทำงานหนักขึ้น ส่งผลให้ค่า แอมเพลจูด ของกราฟมีค่าสูงขึ้น นั่นก็คือเสียงดังเพิ่มมากขึ้นด้วย

4.2.2 ผลการทดสอบของเสียง ที่มอเตอร์เสียหายที่โกรเตอร์ 1 บาร์



รูปที่ 4.16 กราฟสเปกตรัมสัญญาณเสียงของมอเตอร์เสียหายที่โกรเตอร์ 1 บาร์
ในสภาวะโหลด 0% [4.16]

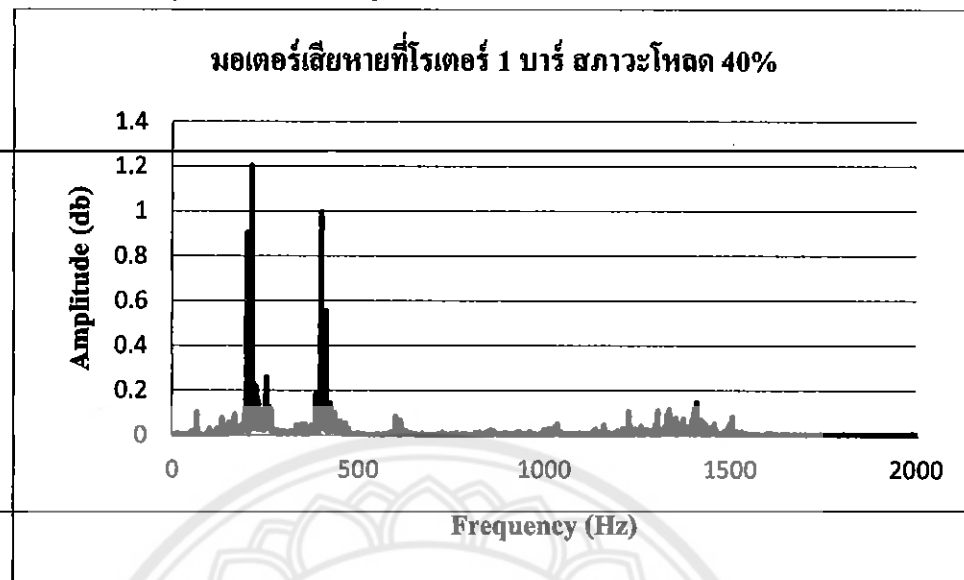
เมื่อจ่ายแรงดันไฟฟ้าให้กับมอเตอร์เสียหายที่โกรเตอร์ 1 บาร์ 220 V แล้วขับกระแสทางกลที่ 0 เมอร์เซนต์ พบร่วงค่า แอมเพลิจูดสูงสุด ที่ได้จากการสเปกตรัมนี้ค่าประมาณ 0.689



รูปที่ 4.17 กราฟสเปกตรัมสัญญาณเสียงของมอเตอร์เสียหายที่โกรเตอร์ 1 บาร์
ในสภาวะโหลด 20% [4.17]

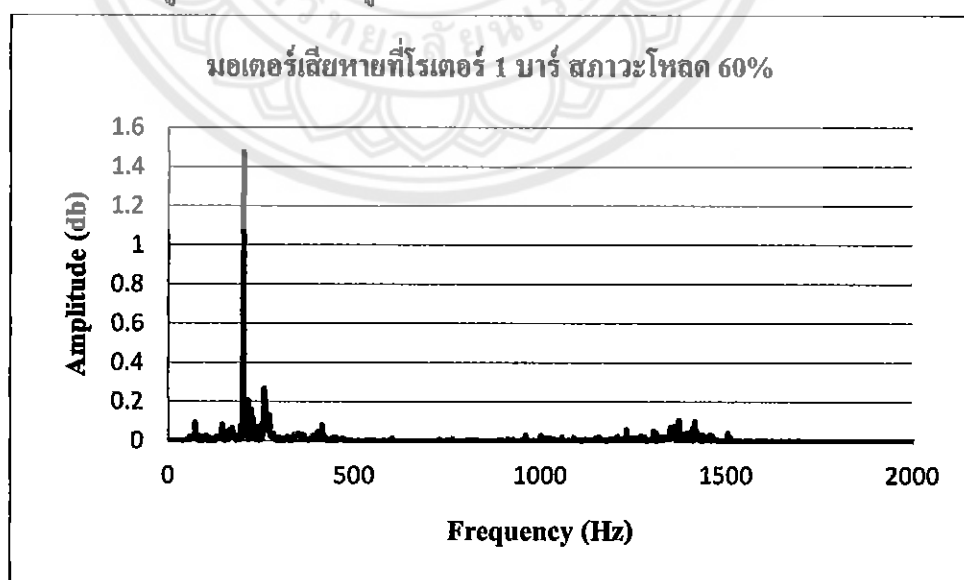
เมื่อจ่ายแรงดันไฟฟ้าให้กับมอเตอร์เสียหายที่โกรเตอร์ 1 บาร์ 220 V แล้วขับกระแสทางกลที่ 20 เมอร์เซนต์ พบร่วงค่า แอมเพลิจูดสูงสุด ที่ได้จากการสเปกตรัมนี้ค่าประมาณ 0.853 เพิ่มขึ้น จาก

ที่ใส่ภาระทางกลที่ 0 เปอร์เซ็นต์ เนื่องจากเมื่อมีภาระทางกลเพิ่มขึ้น ทำให้มอเตอร์ทำงานหนักขึ้น ส่งผลให้ค่า แอมปลิจูด ของกราฟมีค่าสูงขึ้น นั่นก็คือเสียงดังเพิ่มมากขึ้นด้วย



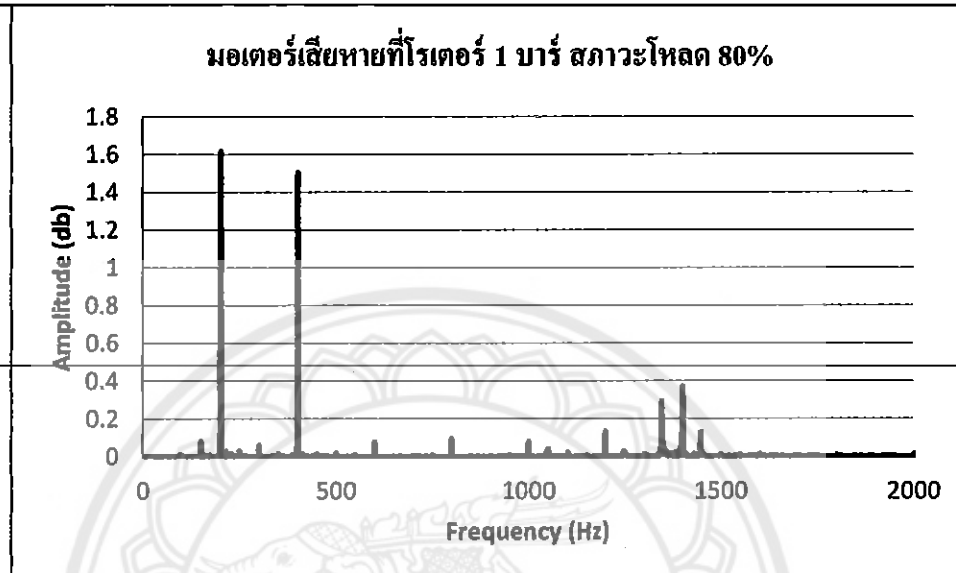
รูปที่ 4.18 กราฟスペกตรัมสัญญาณเสียงของมอเตอร์เสียงหายที่โตรเตอร์ 1 บาร์
ในสภาวะอากาศ 40% [4.18]

เมื่อจ่ายแรงดันไฟฟ้าให้กับมอเตอร์เสียงหายที่โตรเตอร์ 1 บาร์ 220 V แล้วขับภาระทางกลที่ 40 เปอร์เซ็นต์ พบร่วมค่า แอมปลิจูดสูงสุด ที่ได้จากการฟีล์มีค่าประมาณ 1.201 เพิ่มขึ้น จากที่ใส่ภาระทางกลที่ 20 เปอร์เซ็นต์ เนื่องจากเมื่อมีภาระทางกลเพิ่มขึ้น ทำให้มอเตอร์ทำงานหนักขึ้น ส่งผลให้ค่า แอมปลิจูด ของกราฟมีค่าสูงขึ้น นั่นก็คือเสียงดังเพิ่มมากขึ้นด้วย



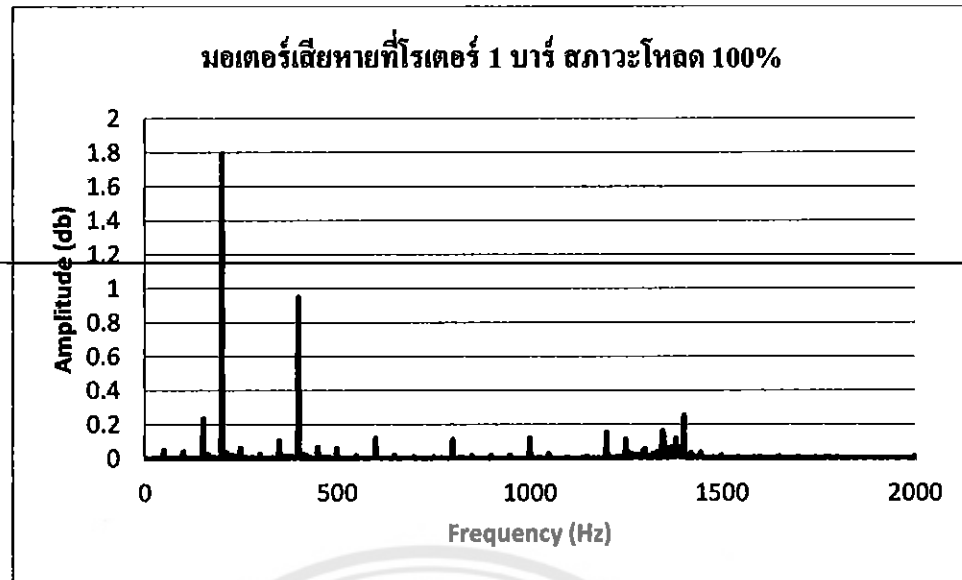
รูปที่ 4.19 กราฟスペกตรัมสัญญาณเสียงของมอเตอร์เสียงหายที่โตรเตอร์ 1 บาร์
ในสภาวะอากาศ 60% [4.19]

เมื่อจ่ายแรงดันไฟฟ้าให้กับมอเตอร์เสียหายที่โروเตอร์ 1 บาร์ 220 V แล้วขับภาระทางกลที่ 60 เปอร์เซ็นต์ พบว่าค่า แอมเพลจูดสูงสุด ที่ได้จากการฟสเปกตรัมมีค่าประมาณ 1.471 เพิ่มขึ้น จากที่ใส่ภาระทางกลที่ 40 เปอร์เซ็นต์ เนื่องจากเมื่อมีภาระทางกลเพิ่มขึ้น ทำให้มอเตอร์ทำงานหนักขึ้น ส่งผลให้ค่า แอมเพลจูด ของกราฟมีค่าสูงขึ้น นั่นก็คือเสียงดังเพิ่มมากขึ้นด้วย



รูปที่ 4.20 กราฟสเปกตรัมสัญญาณเสียงของมอเตอร์เสียหายที่โโรเตอร์ 1 บาร์ ในสภาวะโหลด 80% [4.20]

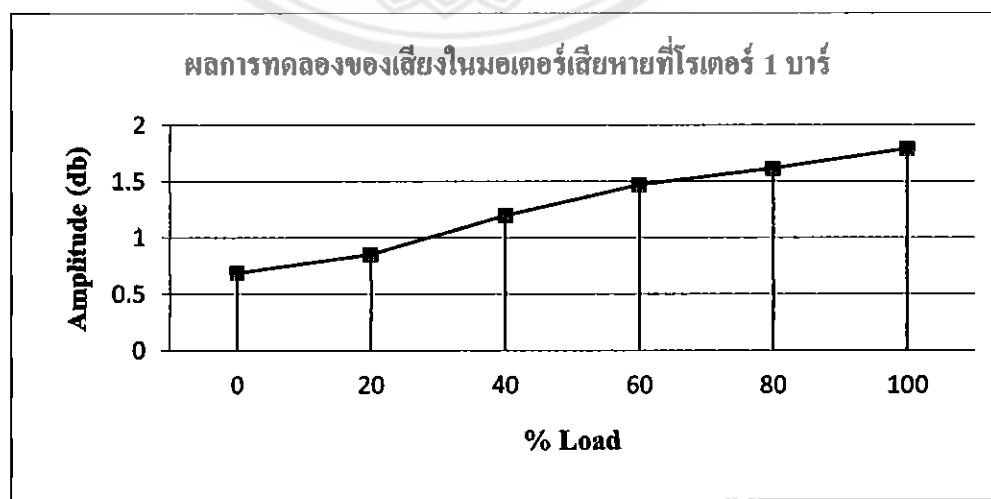
เมื่อจ่ายแรงดันไฟฟ้าให้กับมอเตอร์เสียหายที่โโรเตอร์ 1 บาร์ 220 V แล้วขับภาระทางกลที่ 80 เปอร์เซ็นต์ พบว่าค่า แอมเพลจูดสูงสุด ที่ได้จากการฟสเปกตรัมมีค่าประมาณ 1.616 เพิ่มขึ้น จากที่ใส่ภาระทางกลที่ 60 เปอร์เซ็นต์ เนื่องจากเมื่อมีภาระทางกลเพิ่มขึ้น ทำให้มอเตอร์ทำงานหนักขึ้น ส่งผลให้ค่า แอมเพลจูด ของกราฟมีค่าสูงขึ้น นั่นก็คือเสียงดังเพิ่มมากขึ้นด้วย



รูปที่ 4.21 กราฟสเปกตรัมสัญญาณเสียงของมอเตอร์เสียหายที่โรเตอร์ 1 บาร์ ในสภาวะโหลด 100% [4.21]

เมื่อจ่ายแรงดันไฟฟ้าให้กับมอเตอร์เสียหายที่โรเตอร์ 1 บาร์ 220 V แล้วขับกระแสทางกลที่ 100 เปอร์เซ็นต์ พบร้าค่า แอมเพลิจูดสูงสุด ที่ได้จากการฟสเปกตรัมมีค่าประมาณ 1.616 เพิ่มขึ้น จากที่ใส่กระแสทางกลที่ 80 เปอร์เซ็นต์ เนื่องจากเมื่อมีกระแสทางกลเพิ่มขึ้น ทำให้มอเตอร์ทำงานหนักขึ้น ส่งผลให้ค่า แอมเพลิจูด ของกราฟมีค่าสูงขึ้น นั่นก็คือเสียงดังเพิ่มมากขึ้นด้วย

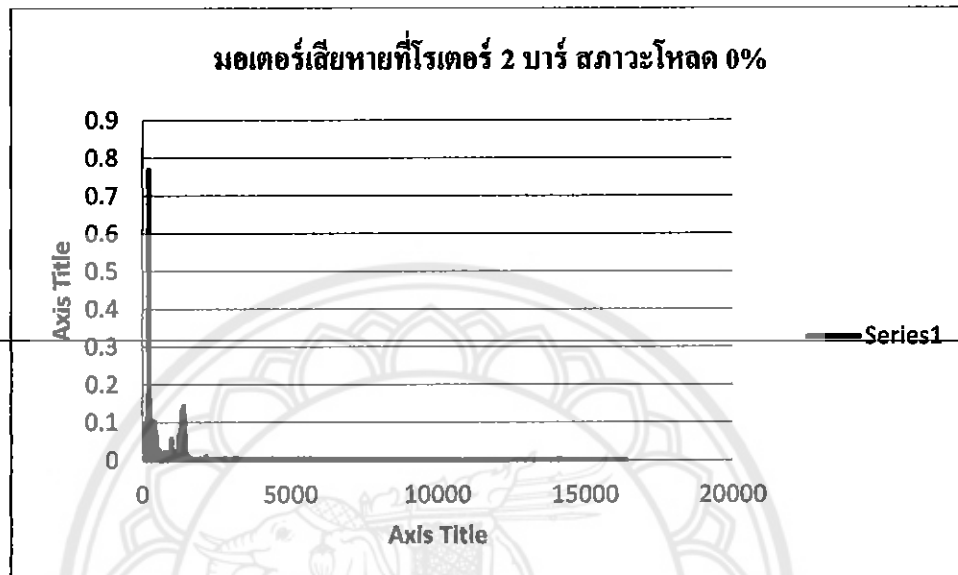
จากการฟสเปกตรัมสัญญาณเสียงของมอเตอร์เสียหายที่โรเตอร์ 1 บาร์ ในสภาวะโหลด 0%, 20%, 40%, 60%, 80% และ 100% ตามลำดับ ผลการทดลองที่ได้ค่า แอมเพลิจูดสูงสุด คือ 0.689, 0.853, 1.201, 1.471, 1.616 และ 1.791 ทำให้ได้กราฟผลการทดลอง ดังนี้



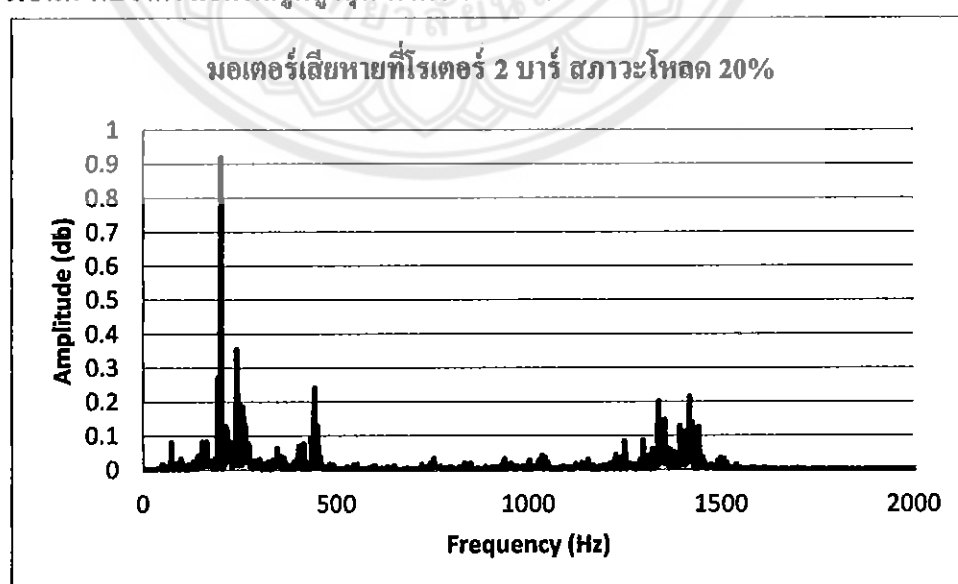
รูปที่ 4.22 กราฟผลการทดลองของเสียงในมอเตอร์เสียหายที่โรเตอร์ 1 บาร์ สภาวะโหลดต่างๆ [4.22]

จากการทดสอบการทดลองของเสียงในมอเตอร์เสียหายที่โกรเตอร์ 1 บาร์ การเพิ่มขึ้นของสภาวะโคลดต่างๆ ทำให้ทราบว่า เมื่อมีภาระทางกลเพิ่มขึ้น ทำให้มอเตอร์ทำงานหนักขึ้น ส่งผลให้ค่า แอมเพลจูด ของกราฟมีค่าสูงขึ้น นั่นก็คือเสียงดังเพิ่มมากขึ้นด้วย

4.2.3 ผลการทดลองของเสียง ที่มอเตอร์เสียหายที่โกรเตอร์ 2 บาร์

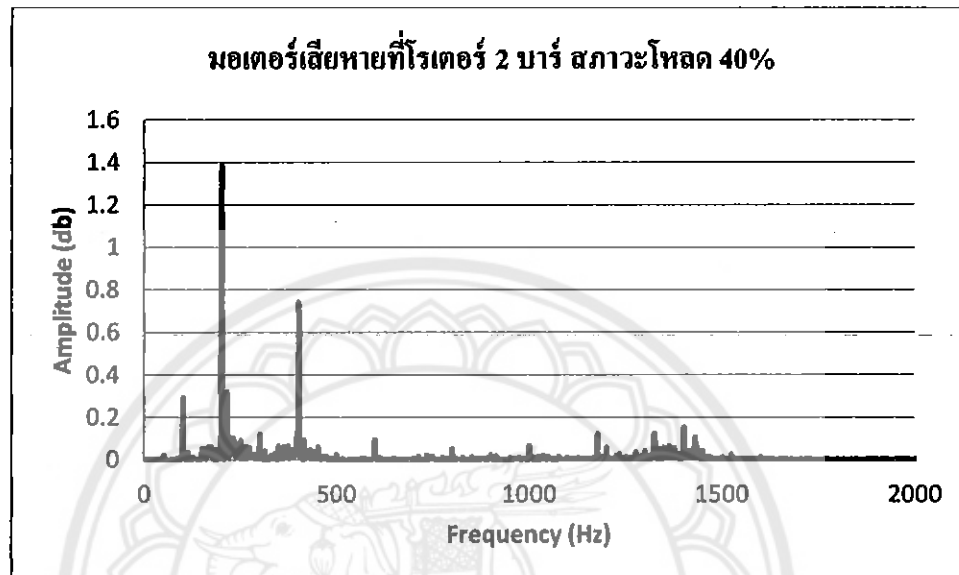


รูปที่ 4.23 กราฟสเปกตรัมสัญญาณเสียงของมอเตอร์เสียหายที่โกรเตอร์ 2 บาร์ ในสภาวะโคลด 0% [4.23]
 เมื่อจ่ายแรงดันไฟฟ้าให้กับมอเตอร์เสียหายที่โกรเตอร์ 2 บาร์ 220 V แล้วขึ้นภาระทางกลที่ 0 เปอร์เซ็นต์ พบร่วมค่า แอมเพลจูดสูงสุด ที่ได้จากการสเปกตรัมมีค่าประมาณ 0.77



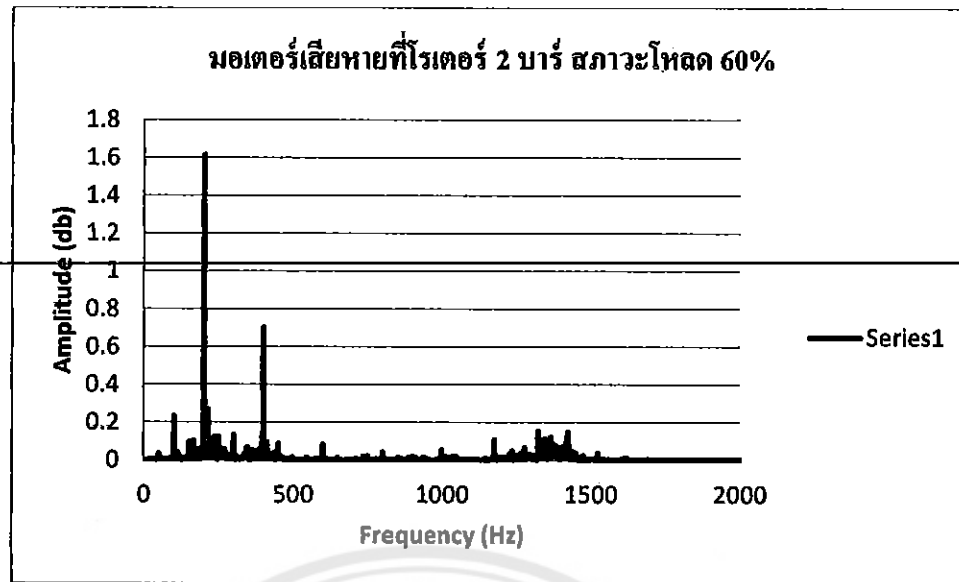
รูปที่ 4.24 กราฟสเปกตรัมสัญญาณเสียงของมอเตอร์เสียหายที่โกรเตอร์ 2 บาร์ ในสภาวะโคลด 20% [4.24]
 เมื่อจ่ายแรงดันไฟฟ้าให้กับมอเตอร์เสียหายที่โกรเตอร์ 2 บาร์ 220 V แล้วขึ้นภาระทางกลที่ 20% พบว่าค่า แอมเพลจูดสูงสุด ที่ได้จากการสเปกตรัมมีค่าประมาณ 0.97

เมื่อจ่ายแรงดันไฟฟ้าให้กับมอเตอร์เสียหายที่โ Roตอร์ 2 บาร์ 220 V แล้วขับกระแสทางกลที่ 20 เปลอร์เซ็นต์ พบว่าค่า แอมเพลจูดสูงสุด ที่ได้จากการสเปกตรัมนี้ค่าประมาณ 0.921 เพิ่มขึ้น จากที่ใส่กระแสทางกลที่ 0 เปลอร์เซ็นต์ เนื่องจากเมื่อมีกระแสทางกลเพิ่มขึ้น ทำให้มอเตอร์ทำงานหนักขึ้น ส่งผลให้ค่า แอมเพลจูด ของกราฟมีค่าสูงขึ้น นั่นก็คือเสียงดังเพิ่มมากขึ้นด้วย



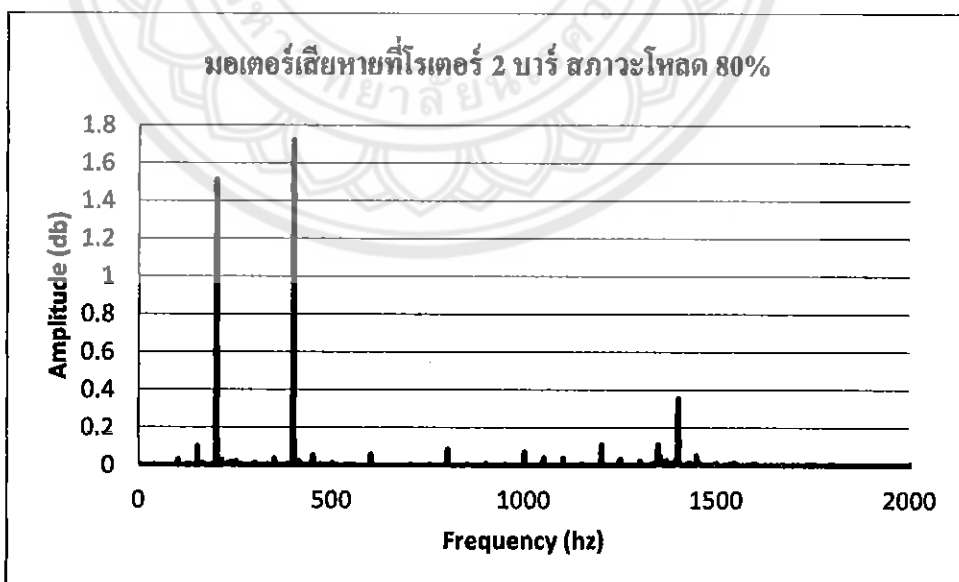
รูปที่ 4.25 กราฟสเปกตรัมสัญญาณเสียงของมอเตอร์เสียหายที่โ Roตอร์ 2 บาร์ ในสภาวะโหลด 40% [4.25]

เมื่อจ่ายแรงดันไฟฟ้าให้กับมอเตอร์เสียหายที่โ Roตอร์ 2 บาร์ 220 V แล้วขับกระแสทางกลที่ 40 เปลอร์เซ็นต์ พบว่าค่า แอมเพลจูดสูงสุด ที่ได้จากการสเปกตรัมนี้ค่าประมาณ 1.384 เพิ่มขึ้น จากที่ใส่กระแสทางกลที่ 20 เปลอร์เซ็นต์ เนื่องจากเมื่อมีกระแสทางกลเพิ่มขึ้น ทำให้มอเตอร์ทำงานหนักขึ้น ส่งผลให้ค่า แอมเพลจูด ของกราฟมีค่าสูงขึ้น นั่นก็คือเสียงดังเพิ่มมากขึ้นด้วย



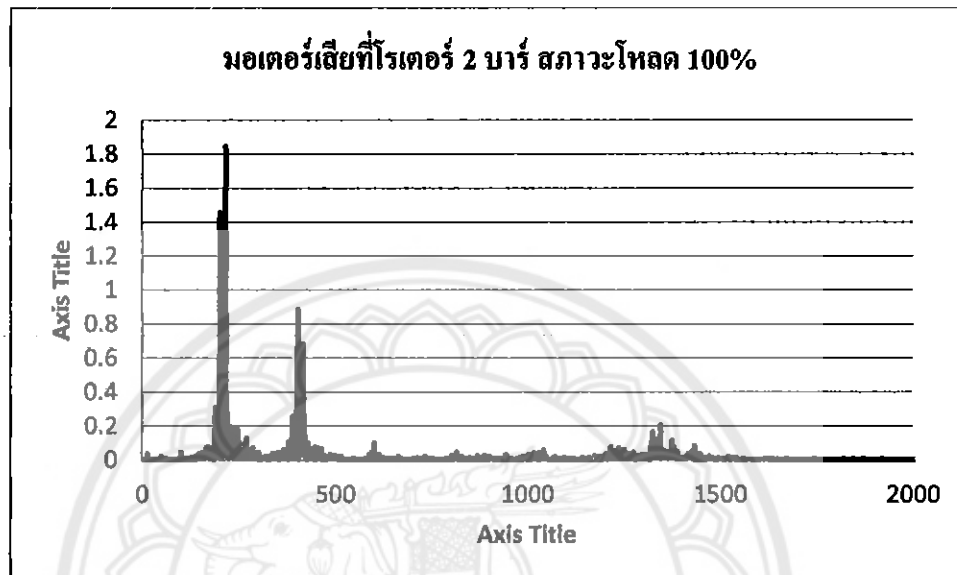
รูปที่ 4.26 กราฟสเปกตรัมสัญญาณเสียงของนอเตอร์เสียหายที่โรเตอร์ 2 บาร์ ในสภาวะโหลด 60% [4.26]

เมื่อจับเร่งคันไฟฟ้าให้กับนอเตอร์เสียหายที่โรเตอร์ 2 บาร์ 220 V แล้วขึ้นภาระทางกลที่ 60 เปอร์เซ็นต์ พบว่าค่า แอมเพลิจูดสูงสุด ที่ได้จากการสเปกตรัมมีค่าประมาณ 1.599 เพิ่มขึ้น จากที่ใส่ภาระทางกลที่ 40 เปอร์เซ็นต์ เนื่องจากเมื่อมีภาระทางกลเพิ่มขึ้น ทำให้มอเตอร์ทำงานหนักขึ้น ส่งผลให้ค่า แอมเพลิจูด ของกราฟมีค่าสูงขึ้น นั่นก็คือเสียงดังเพิ่มมากขึ้นคัวบ



รูปที่ 4.27 กราฟสเปกตรัมสัญญาณเสียงของนอเตอร์เสียหายที่โรเตอร์ 2 บาร์ ในสภาวะโหลด 80% [4.27]

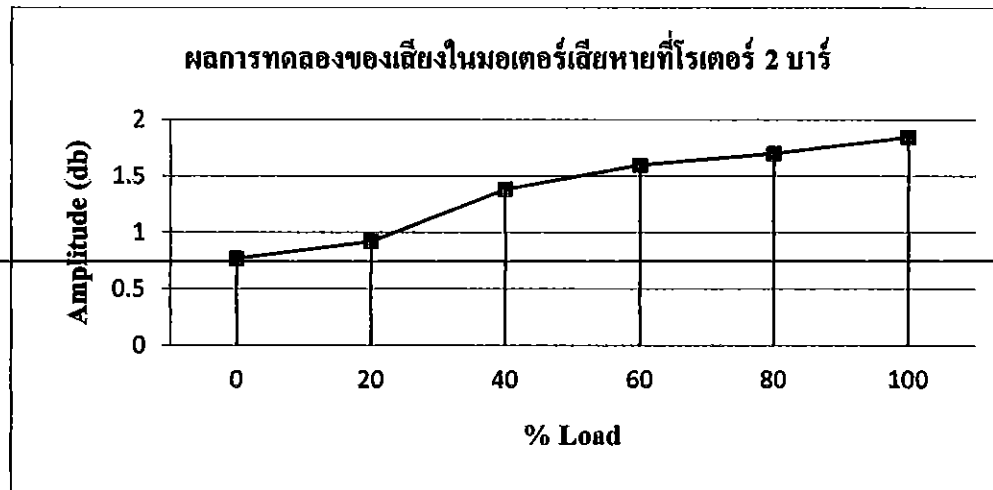
เมื่อจ่ายแรงดันไฟฟ้าให้กับมอเตอร์เสียหายที่โวตอร์ 2 บาร์ 220 V แล้วขับภาระทางกลที่ 80 เปอร์เซ็นต์ พนว่าค่า แอมเพลจูดสูงสุด ที่ได้จากการฟสเปกตรัมนี้ค่าประมาณ 1.702 เพิ่มขึ้น จากที่ใส่ภาระทางกลที่ 60 เปอร์เซ็นต์ เนื่องจากเมื่อมีภาระทางกลเพิ่มขึ้น ทำให้มอเตอร์ทำงานหนักขึ้น ส่งผลให้ค่า แอมเพลจูด ของกราฟมีค่าสูงขึ้น นั่นก็คือเสียงดังเพิ่มมากขึ้นด้วย



รูปที่ 4.28 กราฟสเปกตรัมสัญญาณเสียงของมอเตอร์เสียหายที่โวตอร์ 2 บาร์ ในสภาวะโหลด 100% [4.28]

เมื่อจ่ายแรงดันไฟฟ้าให้กับมอเตอร์เสียหายที่โวตอร์ 2 บาร์ 220 V แล้วขับภาระทางกลที่ 100 เปอร์เซ็นต์ พนว่าค่า แอมเพลจูดสูงสุด ที่ได้จากการฟสเปกตรัมนี้ค่าประมาณ 1.702 เพิ่มขึ้น จากที่ใส่ภาระทางกลที่ 80 เปอร์เซ็นต์ เนื่องจากเมื่อมีภาระทางกลเพิ่มขึ้น ทำให้มอเตอร์ทำงานหนักขึ้น ส่งผลให้ค่า แอมเพลจูด ของกราฟมีค่าสูงขึ้น นั่นก็คือเสียงดังเพิ่มมากขึ้นด้วย

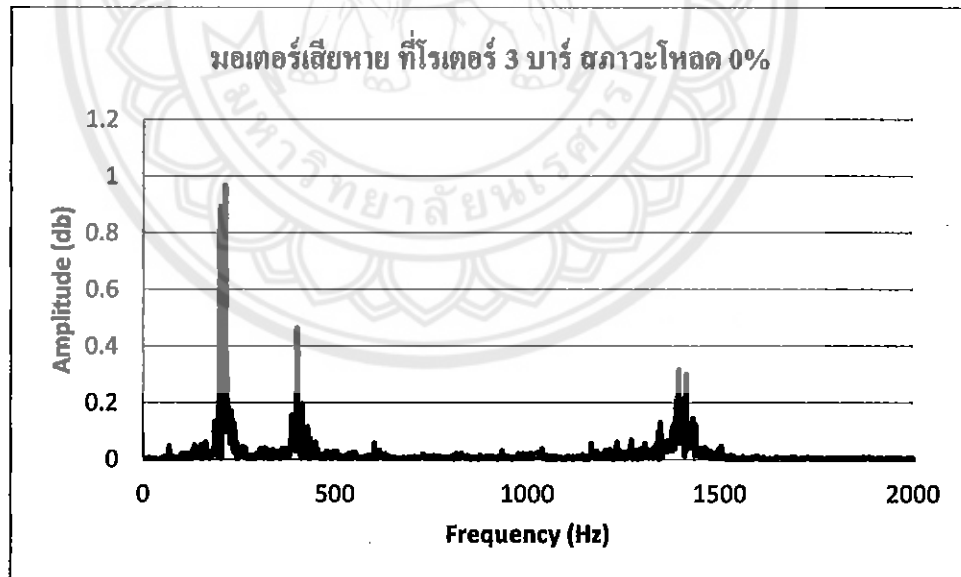
จากการฟสเปกตรัมสัญญาณเสียงของมอเตอร์เสียหายที่โวตอร์ 2 บาร์ ในสภาวะโหลด 0%, 20%, 40%, 60%, 80% และ 100% ตามลำดับ ผลการทดลองที่ได้ ค่าแอมเพลจูดสูงสุด คือ 0.77, 0.921, 1.384, 1.599, 1.702 และ 1.846 ทำให้ได้กราฟผลการทดลอง ดังนี้



รูปที่ 4.29 グラฟผลการทดลองของเสียงในมอเตอร์เสียหายที่โรมเตอร์ 2 บาร์ สภาวะโหลดต่างๆ [4.29]

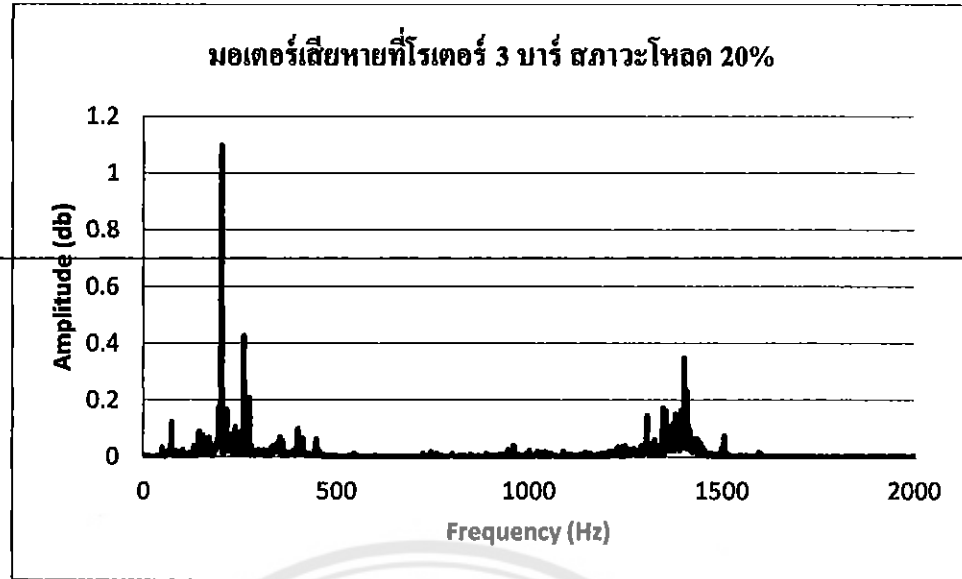
จากราฟผลการทดลองของเสียงในมอเตอร์เสียหายที่โรมเตอร์ 2 บาร์ การเพิ่มขึ้นของสภาวะโหลดต่างๆ ทำให้ทราบว่า เมื่อมีภาระทางกลเพิ่มขึ้น ทำให้มอเตอร์ทำงานหนักขึ้น ส่งผลให้ค่าแอมปลิจูด ของกราฟมีค่าสูงขึ้น นั่นก็คือเสียงดังเพิ่มมากขึ้นด้วย

4.2.4 ผลการทดลองของเสียง ที่มอเตอร์เสียหายที่โรมเตอร์ 3 บาร์



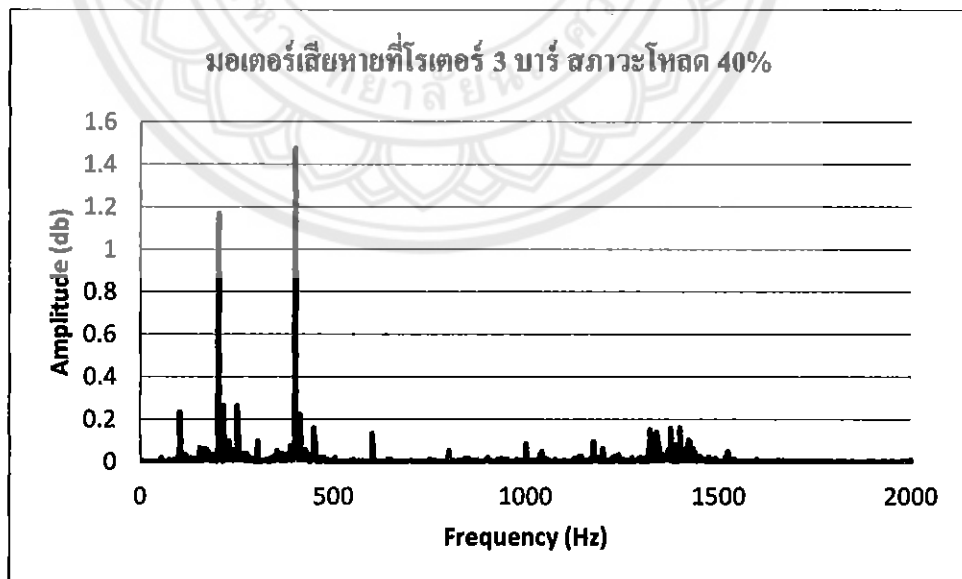
รูปที่ 4.30 กราฟスペกตรัมสัญญาณเสียงของมอเตอร์เสียหายที่โรมเตอร์ 3 บาร์ ในสภาวะโหลด 0% [4.30]

เมื่อเข้าสู่แรงดันไฟฟ้าให้กับมอเตอร์เสียหายที่โรมเตอร์ 3 บาร์ 220 V แล้วขับภาระทางกลที่ 0 เมอร์เซ็นต์ พบร่วมค่า แอมปลิจูดสูงสุด ที่ได้จากการฟีล์มีค่าประมาณ 0.964



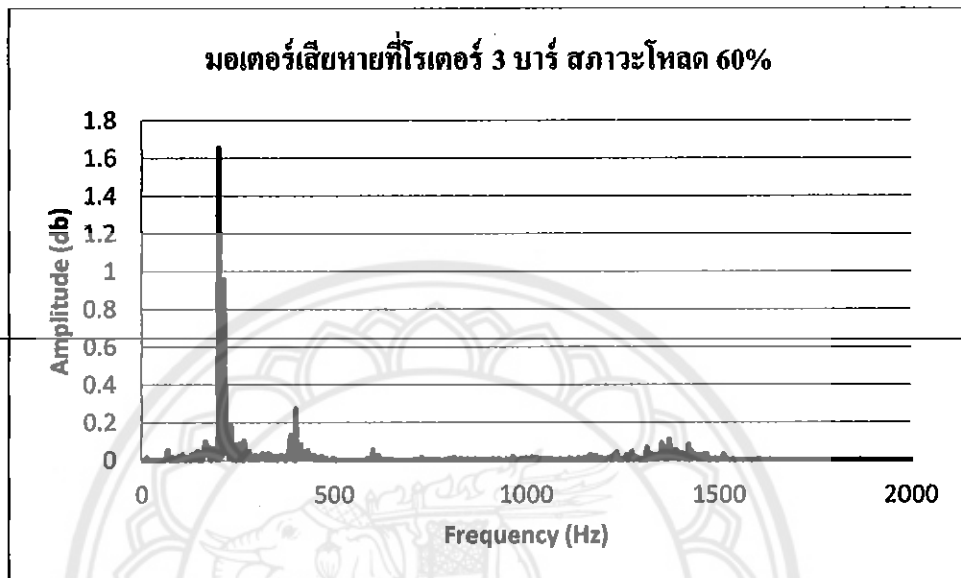
รูปที่ 4.31 กราฟสเปกตรัมสัญญาณเสียงของมอเตอร์เสียหายที่โรเตอร์ 3 บาร์ ในสภาวะโหลด 20% [4.31]

เมื่อจ่ายแรงดันไฟฟ้าให้กับมอเตอร์เสียหายที่โรเตอร์ 3 บาร์ 220 V แล้วขับกระแสทางกลที่ 20 เปอร์เซ็นต์ พบว่าค่า แอมเพลจูดสูงสุด ที่ได้จากการสเปกตรัมมีค่าประมาณ 1.095 เพิ่มขึ้น จากที่ใส่กระแสทางกลที่ 0 เปอร์เซ็นต์ เนื่องจากเมื่อมีกระแสทางกลเพิ่มขึ้น ทำให้มอเตอร์ทำงานหนักขึ้น ส่งผลให้ค่า แอมเพลจูด ของกราฟมีค่าสูงขึ้น นั่นคือเสียงดังเพิ่มมากขึ้นด้วย



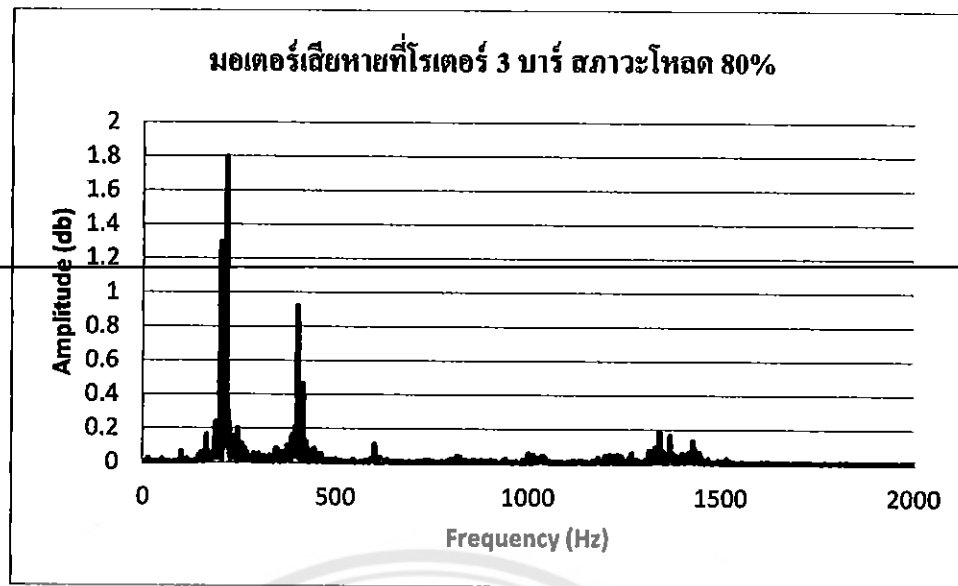
รูปที่ 4.32 กราฟสเปกตรัมสัญญาณเสียงของมอเตอร์เสียหายที่โรเตอร์ 3 บาร์ ในสภาวะโหลด 40% [4.32]

เมื่อจ่ายแรงดันไฟฟ้าให้กับมอเตอร์เสียหายที่โอดเตอร์ 3 บาร์ 220 V แล้วขั้นการทางกลที่ 40 เปอร์เซ็นต์ พบว่าค่า แอมเพลจูดสูงสุด ที่ได้จากการฟrequencyspectrum มีค่าประมาณ 1.466 เพิ่มขึ้น จากที่ใส่การทางกลที่ 20 เปอร์เซ็นต์ เมื่อจากเมื่อมีการทางกลเพิ่มขึ้น ทำให้มอเตอร์ทำงานหนักขึ้น ส่งผลให้ค่า แอมเพลจูด ของกราฟมีค่าสูงขึ้น นั่นก็คือเสียงดังเพิ่มมากขึ้นด้วย



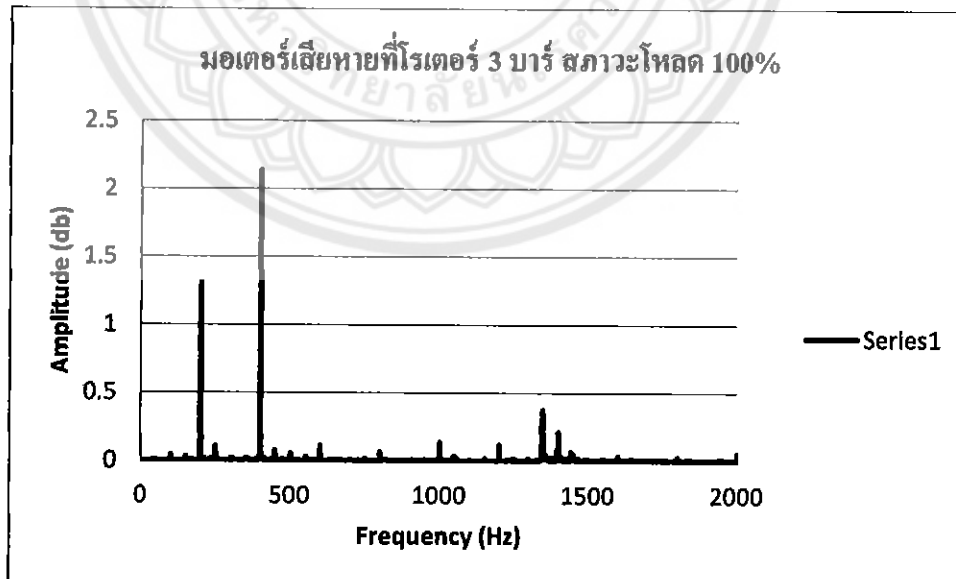
รูปที่ 4.33 กราฟスペกตรัมสัญญาณเสียงของมอเตอร์เสียหายที่โอดเตอร์ 3 บาร์ ในสภาพอากาศ 60% [4.33]

เมื่อจ่ายแรงดันไฟฟ้าให้กับมอเตอร์เสียหายที่โอดเตอร์ 3 บาร์ 220 V แล้วขั้นการทางกลที่ 60 เปอร์เซ็นต์ พบว่าค่า แอมเพลจูดสูงสุด ที่ได้จากการฟrequencyspectrum มีค่าประมาณ 1.653 เพิ่มขึ้น จากที่ใส่การทางกลที่ 40 เปอร์เซ็นต์ เมื่อจากเมื่อมีการทางกลเพิ่มขึ้น ทำให้มอเตอร์ทำงานหนักขึ้น ส่งผลให้ค่า แอมเพลจูด ของกราฟมีค่าสูงขึ้น นั่นก็คือเสียงดังเพิ่มมากขึ้นด้วย



รูปที่ 4.34 กราฟสเปกตรัมสัญญาณเสียงของ摹テオル'塞ハイチ'ロテオル'3 バー'
ในสภาวะ荷ด 80% [4.34]

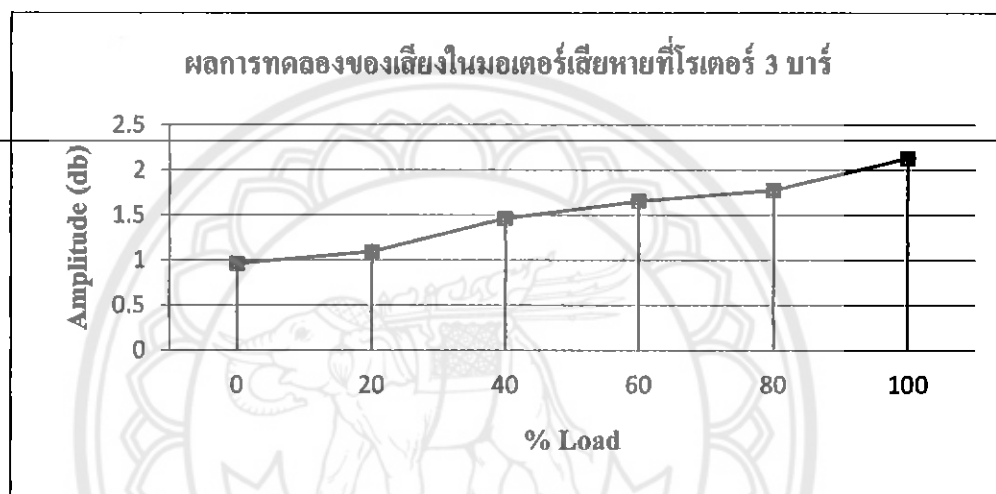
เมื่อจ่ายแรงดันไฟฟ้าให้กับ摹テオル'塞ハイチ'ロテオル' 3 バร' 220 V แล้วขบกระหงอกที่ 80 เปอร์เซ็นต์ พบว่าค่า แอมเพลจูดสูงสุด ที่ได้จากการสเปกตรัมมีค่าประมาณ 1.778 เพิ่มขึ้น จากที่ใส่กระหงอกที่ 60 เปอร์เซ็นต์ เนื่องจากเมื่อมีกระหงอกเพิ่มขึ้น ทำให้มอเตอร์ทำงานหนักขึ้น ส่งผลให้ค่า แอมเพลจูด ของกราฟมีค่าสูงขึ้น นั่นก็คือเสียงดังเพิ่มมากขึ้นด้วย



รูปที่ 4.35 กราฟสเปกตรัมสัญญาณเสียงของ摹テオル'塞ハイチ'ロテオル'3 バร'
ในสภาวะ荷ด 100% [4.35]

เมื่อจ่ายแรงดันไฟฟ้าให้กับมอเตอร์เสียหายที่โอดอร์ 3 บาร์ 220 V แล้วขับกระแสทางกลที่ 100 เปอร์เซ็นต์ พนว่าค่า แอมเพลจูดสูงสุด ที่ได้จากการฟสเปกตรัมนี้ค่าประมาณ 2.13 เพิ่มขึ้น จากที่ใส่กระแสทางกลที่ 80 เปอร์เซ็นต์ เนื่องจากเมื่อมีกระแสทางกลเพิ่มขึ้น ทำให้มอเตอร์ทำงานหนักขึ้น ส่งผลให้ค่า แอมเพลจูด ของกราฟมีค่าสูงขึ้น นั่นก็คือเสียงดังเพิ่มมากขึ้นด้วย

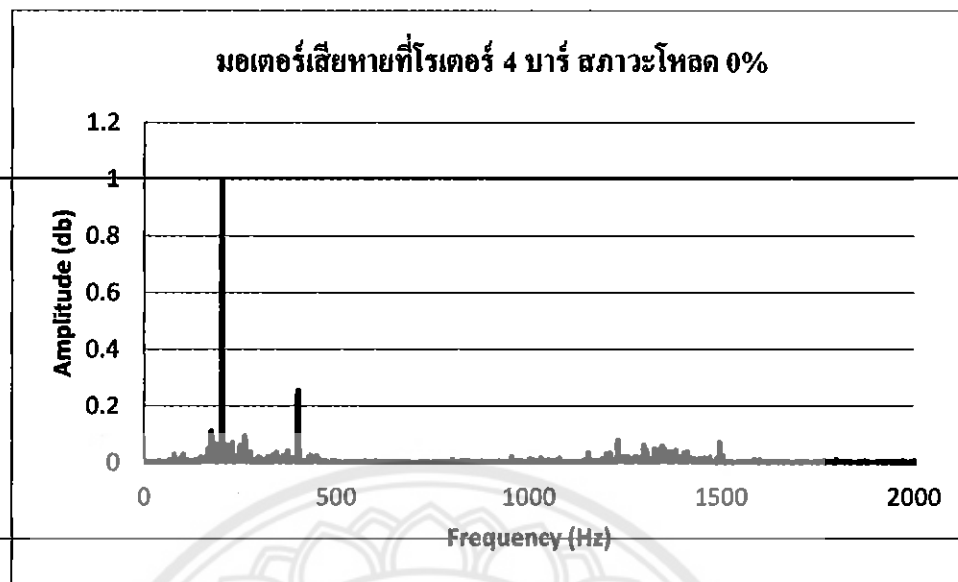
จากการฟสเปกตรัมสัญญาณเสียงของมอเตอร์เสียหายที่โอดอร์ 3 บาร์ ในสภาวะโหลด 0%, 20%, 40%, 60%, 80% และ 100% ตามลำดับ พลการทดลองที่ได้ ค่าแอมเพลจูดสูงสุด คือ 0.77, 0.921, 1.384, 1.599, 1.702 และ 1.846 ทำให้ได้กราฟผลการทดลอง ดังนี้



รูปที่ 4.36 กราฟผลการทดลองของเสียงในมอเตอร์เสียหายที่โอดอร์ 3 บาร์ สภาวะโหลดต่างๆ [4.36]

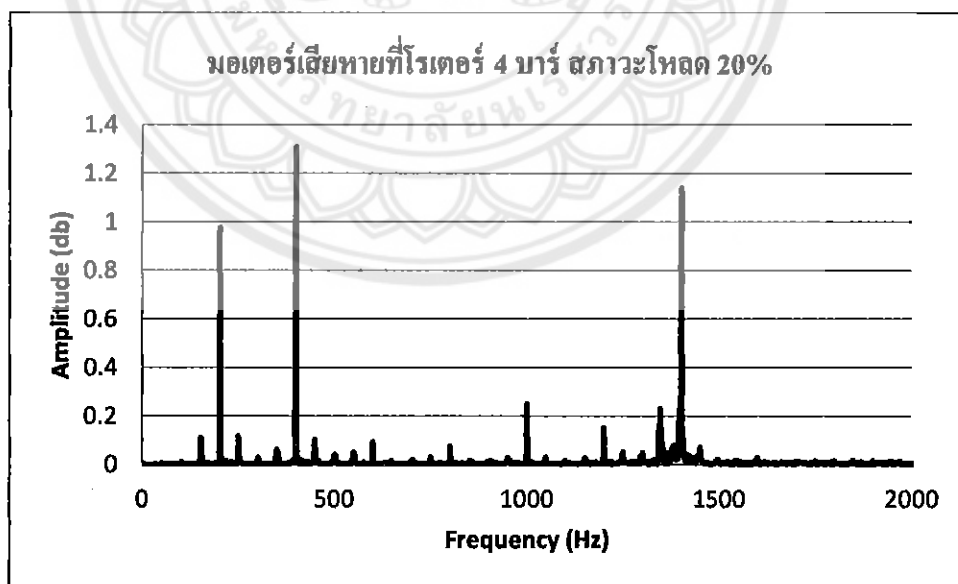
จากการฟผลการทดลองของเสียงในมอเตอร์เสียหายที่โอดอร์ 3 บาร์ การเพิ่มขึ้นของสภาวะโหลดต่างๆ ทำให้ทราบว่า เมื่อมีกระแสทางกลเพิ่มขึ้น ทำให้มอเตอร์ทำงานหนักขึ้น ส่งผลให้ค่า แอมเพลจูด ของกราฟมีค่าสูงขึ้น นั่นก็คือเสียงดังเพิ่มมากขึ้นด้วย

4.2.5 ผลการทดสอบของเสียง ที่มอเตอร์เสียหายที่โกรเตอร์ 4 บาร์



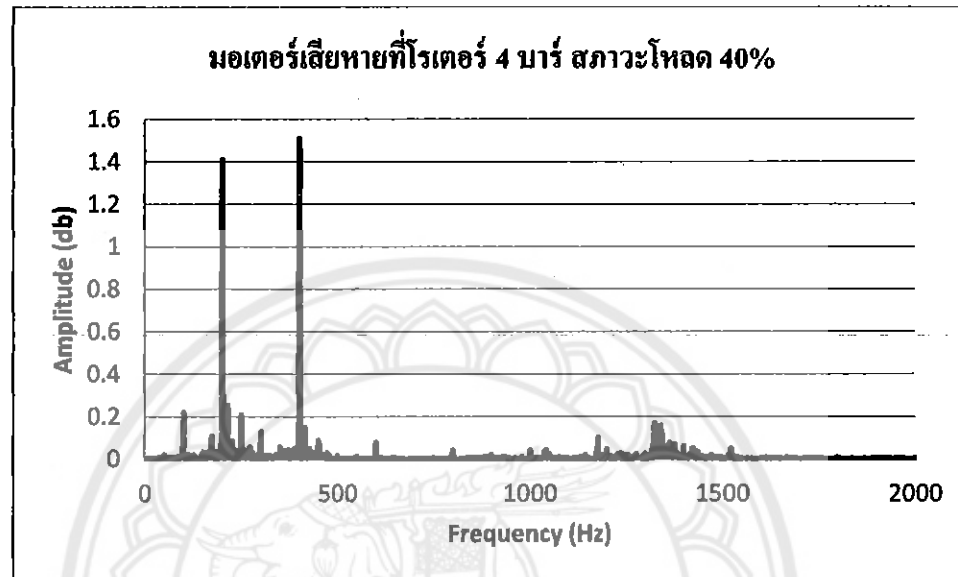
รูปที่ 4.37 กราฟสเปกตรัมสัญญาณเสียงของมอเตอร์เสียหายที่โกรเตอร์ 4 บาร์
ในสภาวะโหลด 0% [4.37]

เมื่อจ่ายแรงดันไฟฟ้าให้กับมอเตอร์เสียหายที่โกรเตอร์ 4 บาร์ 220 V แล้วขับกระแสทางกลที่ 0 เมตรเซ็นต์ พบร่องรอย แอนพลิคุลสูงสุด ที่ได้จากการสเปกตรัมนี้ค่าประมาณ 0.991



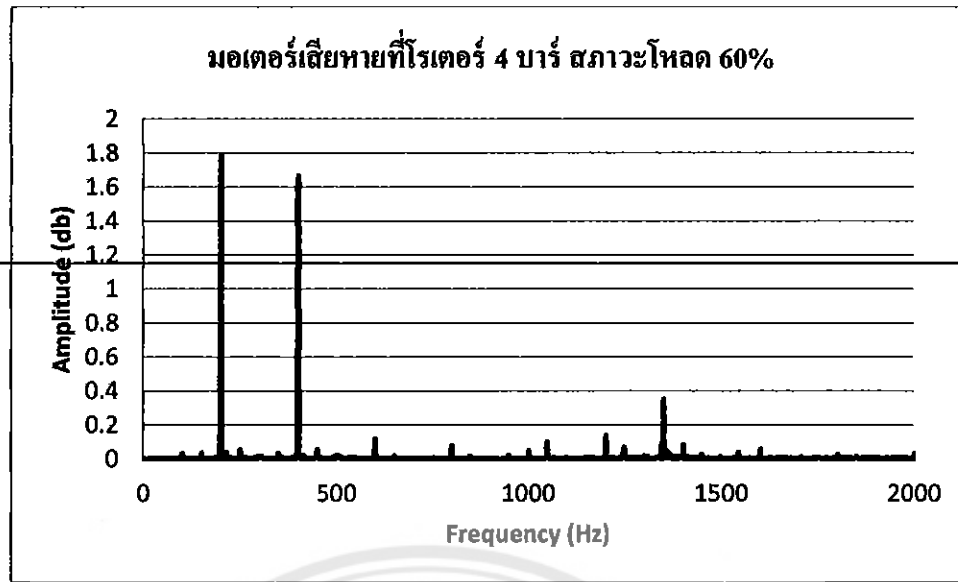
รูปที่ 4.38 กราฟสเปกตรัมสัญญาณเสียงของมอเตอร์เสียหายที่โกรเตอร์ 4 บาร์
ในสภาวะโหลด 20% [4.38]

เมื่อจ่ายแรงดันไฟฟ้าให้กับมอเตอร์เสียหายที่โรเตอร์ 4 บาร์ 220 V แล้วขับภาระทางกลที่ 20 เปอร์เซ็นต์ พบว่าค่า แอมเพลจูดสูงสุด ที่ได้จากการฟสเปกตรัมมีค่าประมาณ 1.296 เพิ่มขึ้น จากที่ใส่ภาระทางกลที่ 0 เปอร์เซ็นต์ เนื่องจากเมื่อมีภาระทางกลเพิ่มขึ้น ทำให้มอเตอร์ทำงานหนักขึ้น ส่งผลให้ค่า แอมเพลจูด ของกราฟมีค่าสูงขึ้น นั่นก็คือเสียงดังเพิ่มมากขึ้นด้วย



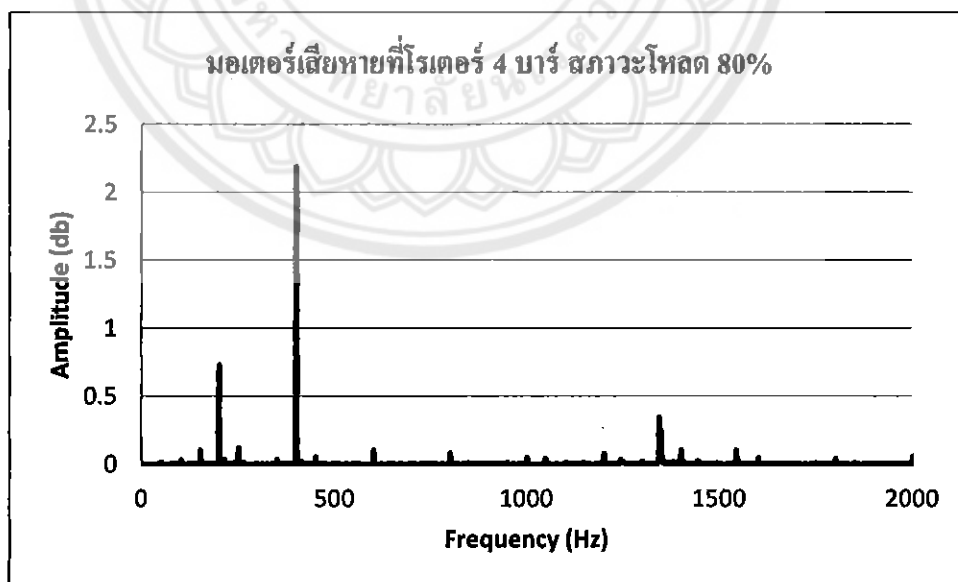
รูปที่ 4.39 กราฟスペกตรัมสัญญาณเสียงของมอเตอร์เสียหายที่โรเตอร์ 4 บาร์ ในสภาวะโหลด 40% [4.39]

เมื่อจ่ายแรงดันไฟฟ้าให้กับมอเตอร์เสียหายที่โรเตอร์ 4 บาร์ 220 V แล้วขับภาระทางกลที่ 40 เปอร์เซ็นต์ พบว่าค่า แอมเพลจูดสูงสุด ที่ได้จากการฟสเปกตรัมมีค่าประมาณ 1.499 เพิ่มขึ้น จากที่ใส่ภาระทางกลที่ 20 เปอร์เซ็นต์ เนื่องจากเมื่อมีภาระทางกลเพิ่มขึ้น ทำให้มอเตอร์ทำงานหนักขึ้น ส่งผลให้ค่า แอมเพลจูด ของกราฟมีค่าสูงขึ้น นั่นก็คือเสียงดังเพิ่มมากขึ้นด้วย



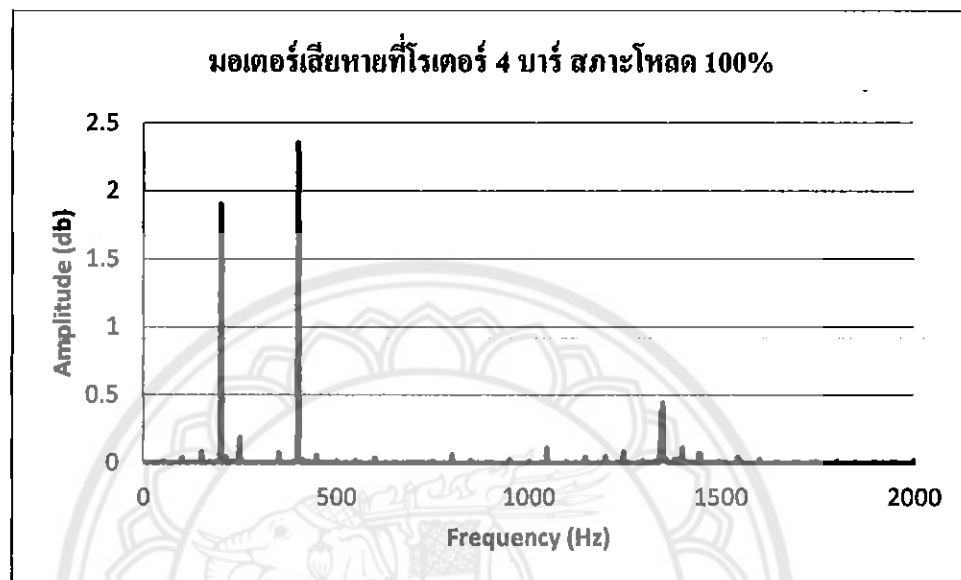
รูปที่ 4.40 กราฟสเปกตรัมสัญญาณเสียงของมอเตอร์เสียหายที่โรเตอร์ 4 บาร์ ในสภาวะโหลด 60% [4.40]

เมื่อจ่ายแรงดันไฟฟ้าให้กับมอเตอร์เสียหายที่โรเตอร์ 4 บาร์ 220 V แล้วบันภาระทางกลที่ 60 เปอร์เซ็นต์ พบร่วมค่า แอมเพลจูดสูงสุด ที่ได้จากการฟสเปกตรัมมีค่าประมาณ 1.773 เพิ่มขึ้น จากที่ใส่ภาระทางกลที่ 40 เปอร์เซ็นต์ เนื่องจากเมื่อมีภาระทางกลเพิ่มขึ้น ทำให้มอเตอร์ทำงานหนักขึ้น ส่งผลให้ค่า แอมเพลจูด ของกราฟมีค่าสูงขึ้น นั่นก็คือเสียงดังเพิ่มมากขึ้นด้วย



รูปที่ 4.41 กราฟสเปกตรัมสัญญาณเสียงของมอเตอร์เสียหายที่โรเตอร์ 4 บาร์ ในสภาวะโหลด 80% [4.41]

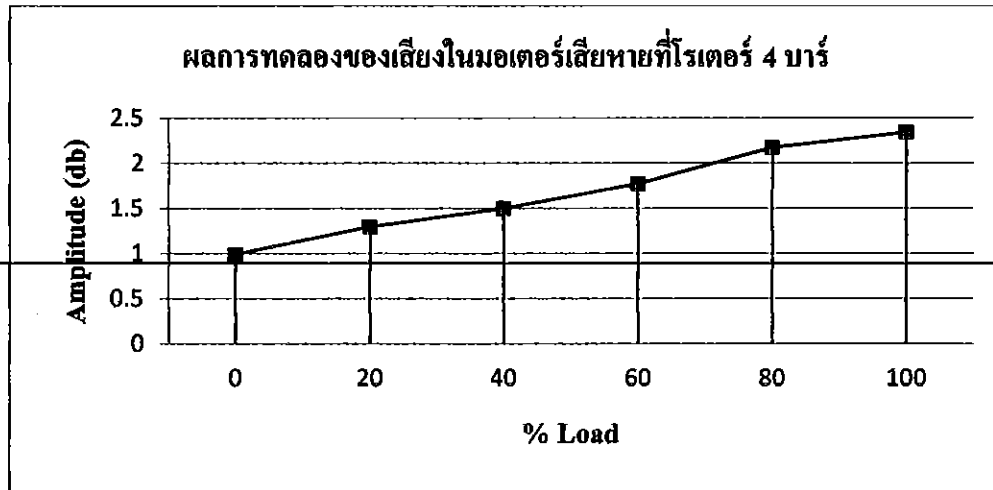
เมื่อจ่ายแรงดันไฟฟ้าให้กับมอเตอร์เสียหายที่โ Roเตอร์ 4 บาร์ 220 V แล้วขั้นการทางกลที่ 80 เปอร์เซ็นต์ พบว่าค่า แอมเพลิจูดสูงสุด ที่ได้จากการฟrequency spectrum มีค่าประมาณ 2.175 เพิ่มขึ้น จากที่ใส่ภาระทางกลที่ 60 เปอร์เซ็นต์ เนื่องจากเมื่อมีภาระทางกลเพิ่มขึ้น ทำให้มอเตอร์ทำงานหนักขึ้น ส่งผลให้ค่า แอมเพลิจูด ของกราฟมีค่าสูงขึ้น นั่นก็คือเสียงดังเพิ่มนากขึ้นด้วย



รูปที่ 4.42 กราฟสเปกตรัมสัญญาณเสียงของมอเตอร์เสียหายที่ Roเตอร์ 4 บาร์ ในสภาวะโหลด 100% [4.42]

เมื่อจ่ายแรงดันไฟฟ้าให้กับมอเตอร์เสียหายที่ Roเตอร์ 4 บาร์ 220 V แล้วขั้นการทางกลที่ 100 เปอร์เซ็นต์ พบว่าค่า แอมเพลิจูดสูงสุด ที่ได้จากการฟrequency spectrum มีค่าประมาณ 2.346 เพิ่มขึ้น จากที่ใส่ภาระทางกลที่ 80 เปอร์เซ็นต์ เนื่องจากเมื่อมีภาระทางกลเพิ่มขึ้น ทำให้มอเตอร์ทำงานหนักขึ้น ส่งผลให้ค่า แอมเพลิจูด ของกราฟมีค่าสูงขึ้น นั่นก็คือเสียงดังเพิ่มนากขึ้นด้วย

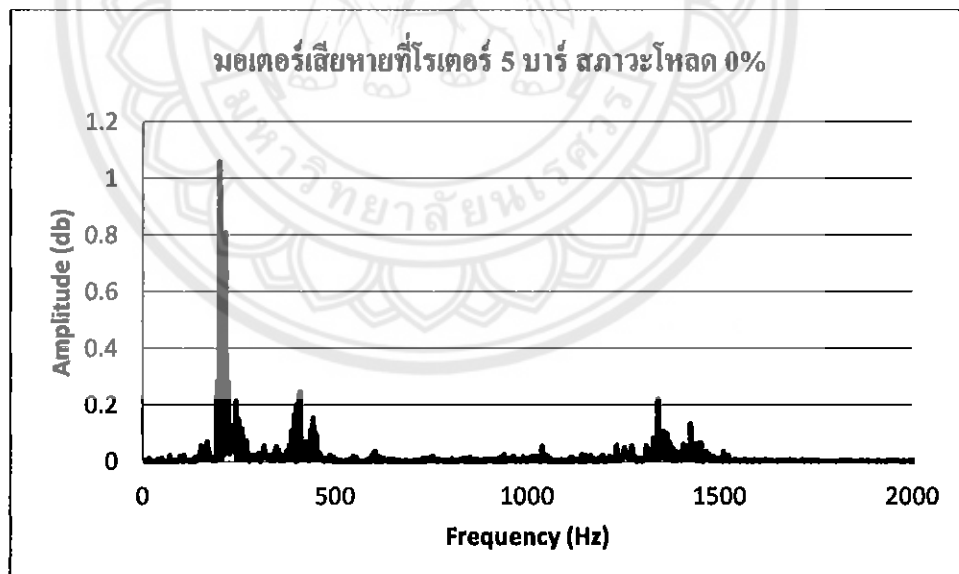
จากการฟrequency spectrum สัญญาณเสียงของมอเตอร์เสียหายที่ Roเตอร์ 4 บาร์ ในสภาวะโหลด 0%, 20%, 40%, 60%, 80% และ 100% ตามลำดับ ผลการทดลองที่ได้ ค่า แอมเพลิจูดสูงสุด คือ 0.991, 1.296, 1.499, 1.773, 2.175 และ 2.346 ทำให้ได้กราฟผลการทดลอง ดังนี้



รูปที่ 4.43 กราฟผลการทดลองของเสียงในมอเตอร์เสียหายที่โรเตอร์ 4 บาร์ สภาวะโหลดต่างๆ [4.43]

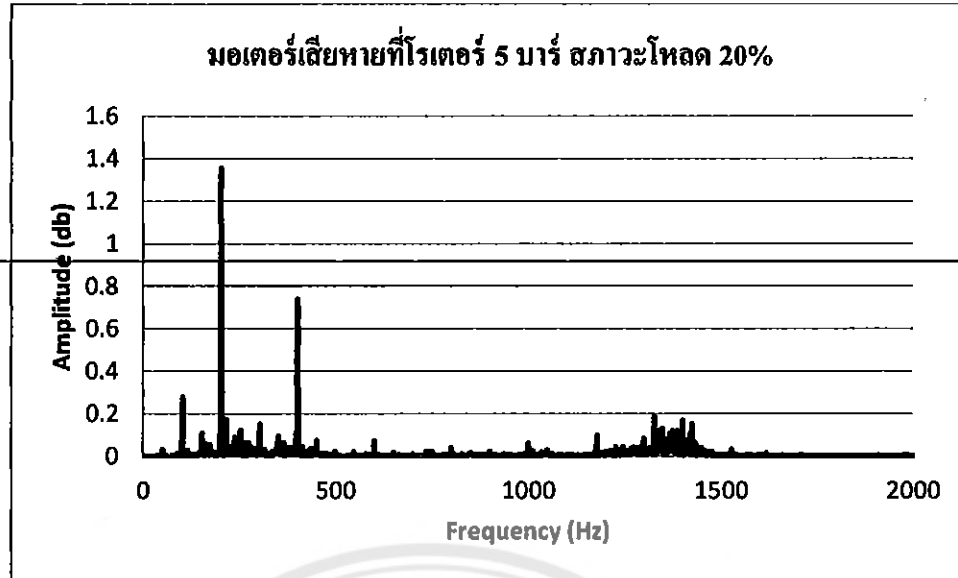
จากราฟผลการทดลองของเสียงในมอเตอร์เสียหายที่โรเตอร์ 4 บาร์ การเพิ่มขึ้นของสภาวะโหลดต่างๆ ทำให้ทราบว่า เมื่อมีภาระทางกลเพิ่มขึ้น ทำให้มอเตอร์ทำงานหนักขึ้น ส่งผลให้ค่า แอมเพลจูด ของกราฟมีค่าสูงขึ้น นั่นก็คือเสียงดังเพิ่มมากขึ้นด้วย

4.2.6 ผลการทดลองของเสียง ที่มอเตอร์เสียหายที่โรเตอร์ 5 บาร์



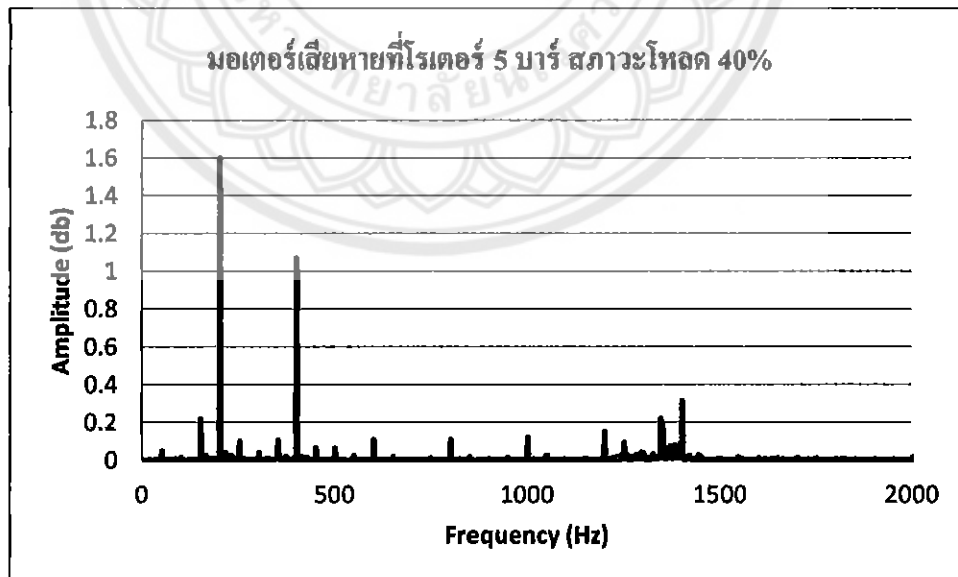
รูปที่ 4.44 กราฟスペกตรัมสัญญาณเสียงของมอเตอร์เสียหายที่โรเตอร์ 5 บาร์ ในสภาวะโหลด 0% [4.44]

เมื่อจ่ายแรงดันไฟฟ้าให้กับมอเตอร์เสียหายที่โรเตอร์ 5 บาร์ 220 V แล้วขับภาระทางกลที่ 0 เปอร์เซ็นต์ พบร่วมค่า แอมเพลจูดสูงสุด ที่ได้จากการฟีล์มีค่าประมาณ 1.047



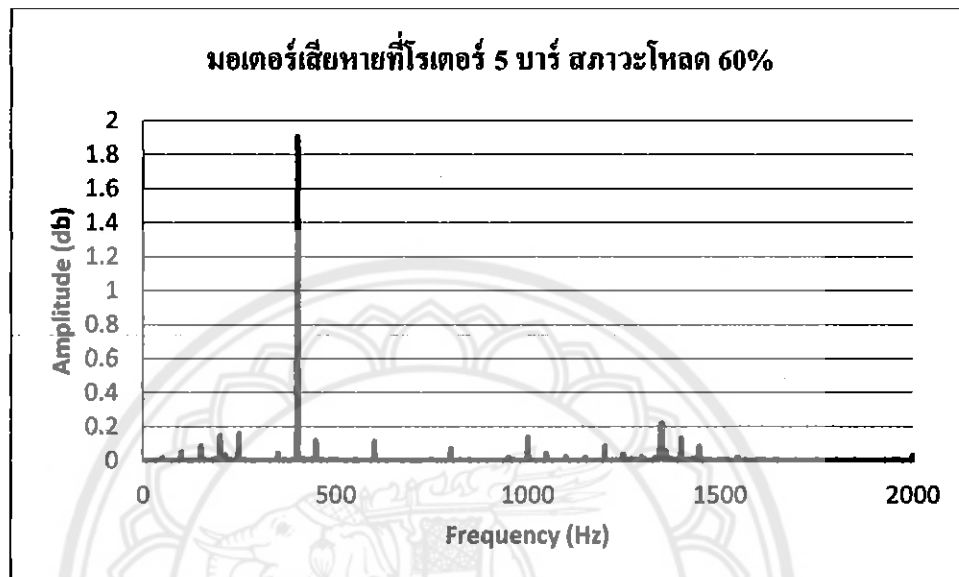
รูปที่ 4.45 กราฟสเปกตรัมสัญญาณเสียงของนอเตอร์เสียหายที่โรเตอร์ 5 บาร์ ในสภาวะโหลด 20% [4.45]

เมื่อจ่ายแรงดันไฟฟ้าให้กับนอเตอร์เสียหายที่โรเตอร์ 5 บาร์ 220 V แล้วขับกระแสทางกลที่ 20 เปอร์เซ็นต์ พบว่าค่า แอมเพลจูดสูงสุด ที่ได้จากการสเปกตรัมมีค่าประมาณ 1.353 เพิ่มขึ้น จากที่ไม่ทำการทางกลที่ 0 เปอร์เซ็นต์ เมื่อจากเมื่อมีกระแสทางกลเพิ่มขึ้น ทำให้มอเตอร์ทำงานหนักขึ้น ส่งผลให้ค่า แอมเพลจูด ของกราฟมีค่าสูงขึ้น นั่นก็คือเสียงดังเพิ่มมากขึ้นด้วย



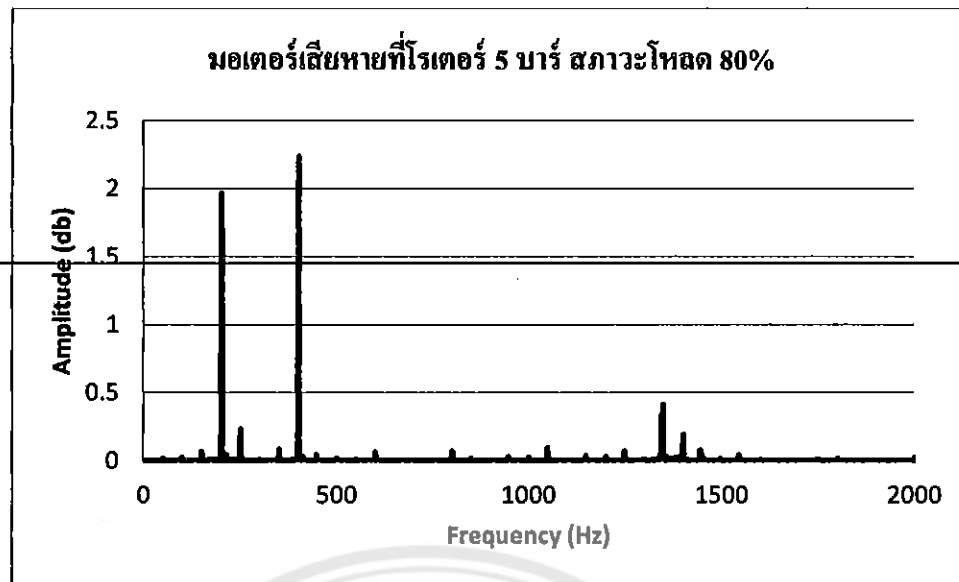
รูปที่ 4.46 กราฟสเปกตรัมสัญญาณเสียงของนอเตอร์เสียหายที่โรเตอร์ 5 บาร์ ในสภาวะโหลด 40% [4.46]

เมื่อจ่ายแรงดันไฟฟ้าให้กับมอเตอร์เสียหายที่โรเตอร์ 5 บาร์ 220 V แล้วขับกระแสทางกลที่ 40 เปอร์เซ็นต์ พบว่าค่า แอมเพลจูดสูงสุด ที่ได้จากการสเปกตรัมนี้ค่าประมาณ 1.593 เพิ่มขึ้น จากที่ใส่กระแสทางกลที่ 20 เปอร์เซ็นต์ เนื่องจากเมื่อมีกระแสทางกลเพิ่มขึ้น ทำให้มอเตอร์ทำงานหนักขึ้น ส่งผลให้ค่า แอมเพลจูด ของกราฟมีค่าสูงขึ้น นั่นก็คือเสียงดังเพิ่มมากขึ้นด้วย



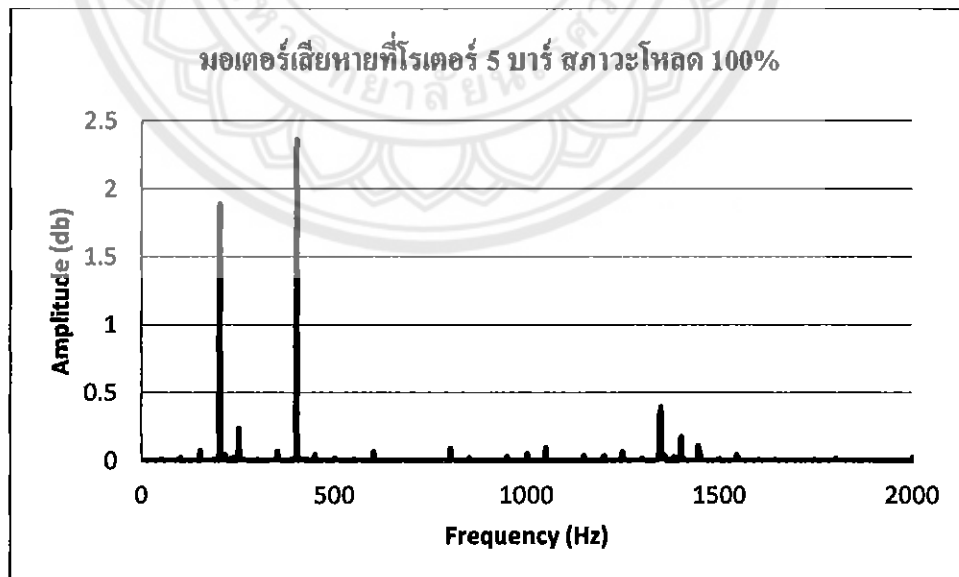
รูปที่ 4.47 กราฟสเปกตรัมสัญญาณเสียงของมอเตอร์เสียหายที่โรเตอร์ 5 บาร์ ในสภาวะโหลด 60% [4.47]

เมื่อจ่ายแรงดันไฟฟ้าให้กับมอเตอร์เสียหายที่โรเตอร์ 5 บาร์ 220 V แล้วขับกระแสทางกลที่ 60 เปอร์เซ็นต์ พบว่าค่า แอมเพลจูดสูงสุด ที่ได้จากการสเปกตรัมนี้ค่าประมาณ 1.899 เพิ่มขึ้น จากที่ใส่กระแสทางกลที่ 40 เปอร์เซ็นต์ เนื่องจากเมื่อมีกระแสทางกลเพิ่มขึ้น ทำให้มอเตอร์ทำงานหนักขึ้น ส่งผลให้ค่า แอมเพลจูด ของกราฟมีค่าสูงขึ้น นั่นก็คือเสียงดังเพิ่มมากขึ้นด้วย



รูปที่ 4.48 กราฟสเปกตรัมสัญญาณเสียงของนอเตอร์เสียหายที่โรเตอร์ 5 บาร์ ในสภาวะโหลด 80% [4.48]

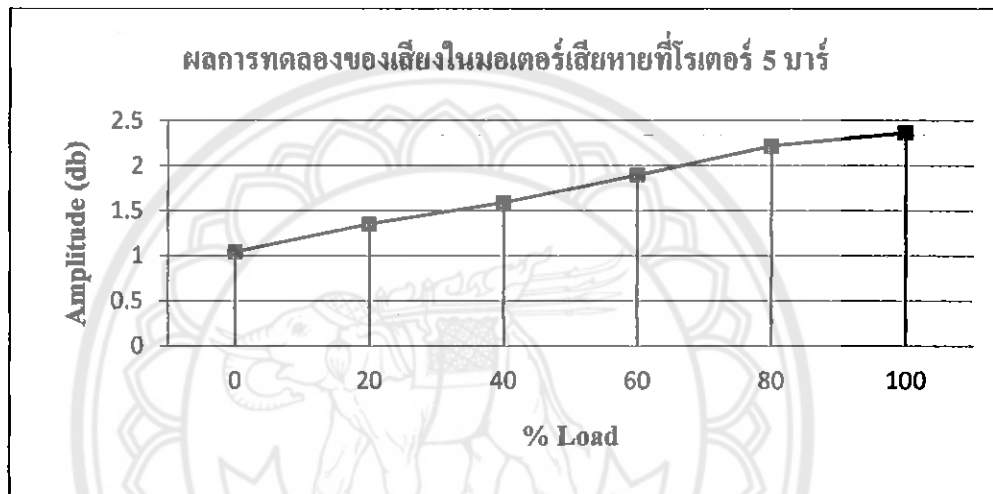
เมื่อจ่ายแรงดันไฟฟ้าให้กับนอเตอร์เสียหายที่โรเตอร์ 5 บาร์ 220 V แล้วขับกระแสทางกลที่ 80 เปอร์เซ็นต์ พบว่าค่า แอมเพลจูดสูงสุด ที่ได้จากการฟสเปกตรัมมีค่าประมาณ 2.219 เพิ่มขึ้น จากที่ใส่กระแสทางกลที่ 60 เปอร์เซ็นต์ เนื่องจากเมื่อมีกระแสทางกลเพิ่มขึ้น ทำให้นอเตอร์ทำงานหนักขึ้น ส่งผลให้ค่า แอมเพลจูด ของกราฟมีค่าสูงขึ้น นั่นก็คือเสียงดังเพิ่มนากขึ้นด้วย



รูปที่ 4.49 กราฟสเปกตรัมสัญญาณเสียงของนอเตอร์เสียหายที่โรเตอร์ 5 บาร์ ในสภาวะโหลด 100% [4.49]

เมื่อจ่ายแรงดันไฟฟ้าให้กับมอเตอร์เสียหายที่โกรเดอร์ 5 บาร์ 220 V แล้วขับกระแสทางกลที่ 100 เปอร์เซ็นต์ พบร่วงค่า แอมเพลจูดสูงสุด ที่ได้จากการฟสเปกตรัมนี้ค่าประมาณ 2.367 เพิ่มขึ้น จากที่ใส่กระแสทางกลที่ 80 เปอร์เซ็นต์ เนื่องจากเมื่อมีกระแสทางกลเพิ่มขึ้น ทำให้มอเตอร์ทำงานหนักขึ้น ส่งผลให้ค่า แอมเพลจูด ของกราฟมีค่าสูงขึ้น นั่นก็คือเสียงดังเพิ่มมากขึ้นด้วย

จากการฟสเปกตรัมสัญญาณเสียงของมอเตอร์เสียหายที่โกรเดอร์ 5 บาร์ ในสภาวะโหลด 0%, 20%, 40%, 60%, 80% และ 100% ตามลำดับ ผลการทดลองที่ได้ ค่าแอมเพลจูดสูงสุด คือ 1.047, 1.353, 1.593, 1.899, 2.219 และ 2.367 ทำให้ได้กราฟผลการทดลอง ดังนี้



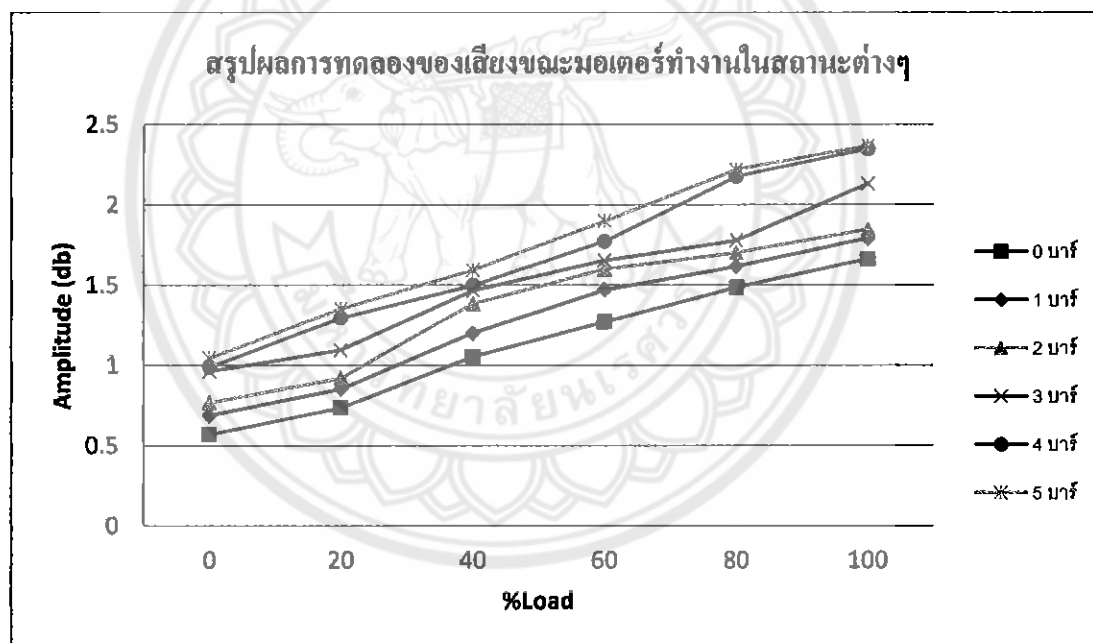
รูปที่ 4.50 กราฟผลการทดลองของเสียงในมอเตอร์เสียหายที่โกรเดอร์ 5 บาร์
สภาวะโหลดต่างๆ [4.50]

จากการฟผลการทดลองของเสียงในมอเตอร์เสียหายที่โกรเดอร์ 5 บาร์ การเพิ่มขึ้นของสภาวะโหลดค่าต่างๆ ทำให้ทราบว่า เมื่อมีกระแสทางกลเพิ่มขึ้น ทำให้มอเตอร์ทำงานหนักขึ้น ส่งผลให้ค่า แอมเพลจูด ของกราฟมีค่าสูงขึ้น นั่นก็คือเสียงดังเพิ่มมากขึ้นด้วย

จากผลการทดลองของเสียงในมอเตอร์ขณะทำงานในสถานะที่มอเตอร์ปกติ และเกิดความเสียหายที่โรเตอร์ 1 บาร์, 2 บาร์, 3 บาร์, 4 บาร์ และ 5 บาร์ ตามลำดับ และในสภาวะโหลด 0%, 20%, 40%, 60%, 80% และ 100% ตามลำดับ สามารถสรุปได้ดังนี้

ตารางที่ 4.7 ผลรวมของการทดลองของเสียงขณะมอเตอร์ทำงานในสถานะต่างๆ

	มอเตอร์ปกติ	เสียง 1 บาร์	เสียง 2 บาร์	เสียง 3 บาร์	เสียง 4 บาร์	เสียง 5 บาร์
0%	0.57	0.689	0.77	0.964	0.991	1.047
20%	0.736	0.853	0.921	1.095	1.296	1.353
40%	1.054	1.201	1.384	1.466	1.499	1.593
60%	1.272	1.471	1.599	1.653	1.773	1.899
80%	1.486	1.616	1.702	1.778	2.175	2.219
100%	1.661	1.791	1.846	2.13	2.346	2.367

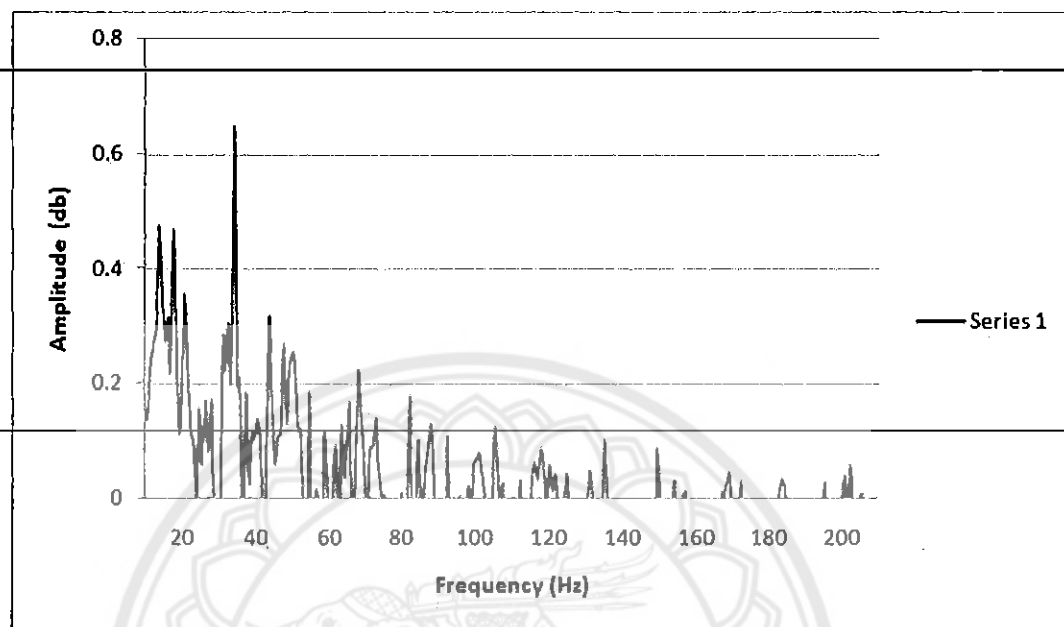


รูปที่ 4.51 กราฟแสดงผลรวมของการทดลองของเสียงในมอเตอร์ขณะทำงาน[4.51]

จากการทดลองการวัดระดับความเข้มเสียงของมอเตอร์ในสภาวะการทำงานแต่ละเปอร์เซ็นต์ต่างๆ จะได้กราฟสเปกตรัม ซึ่งค่า แอมเพลจูด ของกราฟสเปกตรัมที่ได้จะบ่งถึงความรุนแรงของเสียงที่เกิดขึ้น ในการทดลองนี้ ได้ทดสอบถึงความเข้มของเสียง กราฟสเปกตรัมที่ได้มีค่า แอมเพลจูด ของกราฟเพิ่มขึ้นตามเปอร์เซ็นต์โหลดยิ่งเปอร์เซ็นต์โหลดมีค่ามากค่า แอมเพลจูด ที่ได้ก็มีค่ามากขึ้น และในขณะเดียวกัน การเสียหายของมอเตอร์ที่เพิ่มมากขึ้น ทำให้ค่าแอมเพลจูด เพิ่มขึ้นเช่นเดียวกัน จึงสรุปได้ว่าเมื่อมีโหลดเพิ่มมากขึ้น เกิดความเสียหายเพิ่มมากขึ้น ทำให้มอเตอร์ทำงานหนักขึ้น แล้วทำให้ระดับความเข้มของเสียงเพิ่มมากขึ้น

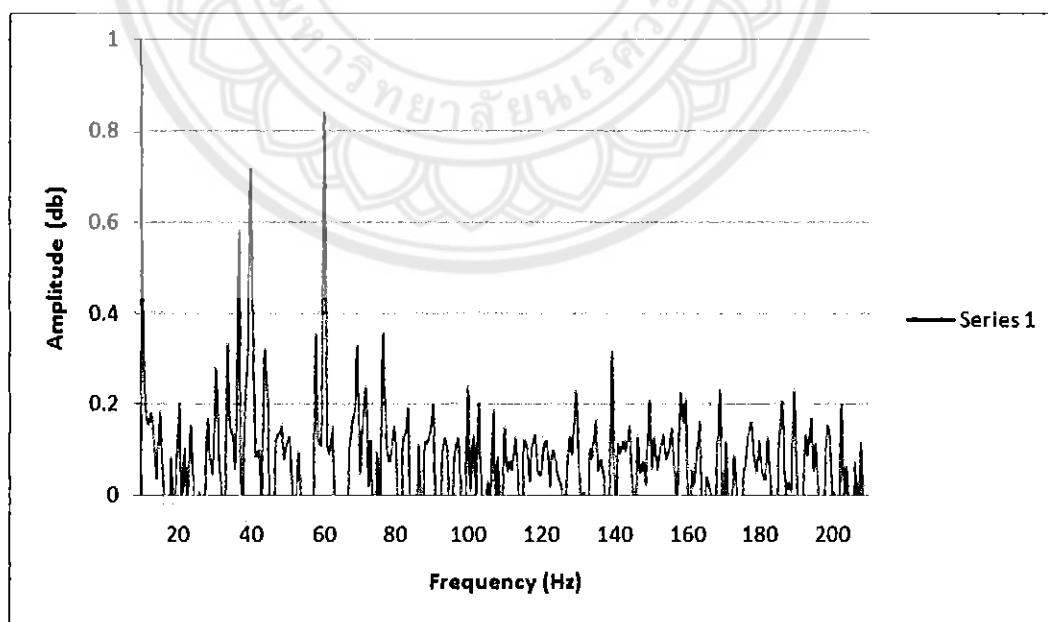
4.3 ผลการทดสอบที่ 3 การสั่นสะเทือนในขณะมอเตอร์ทำงาน

4.3.1 ผลการทดสอบการสั่นสะเทือน ที่มอเตอร์ปักติ



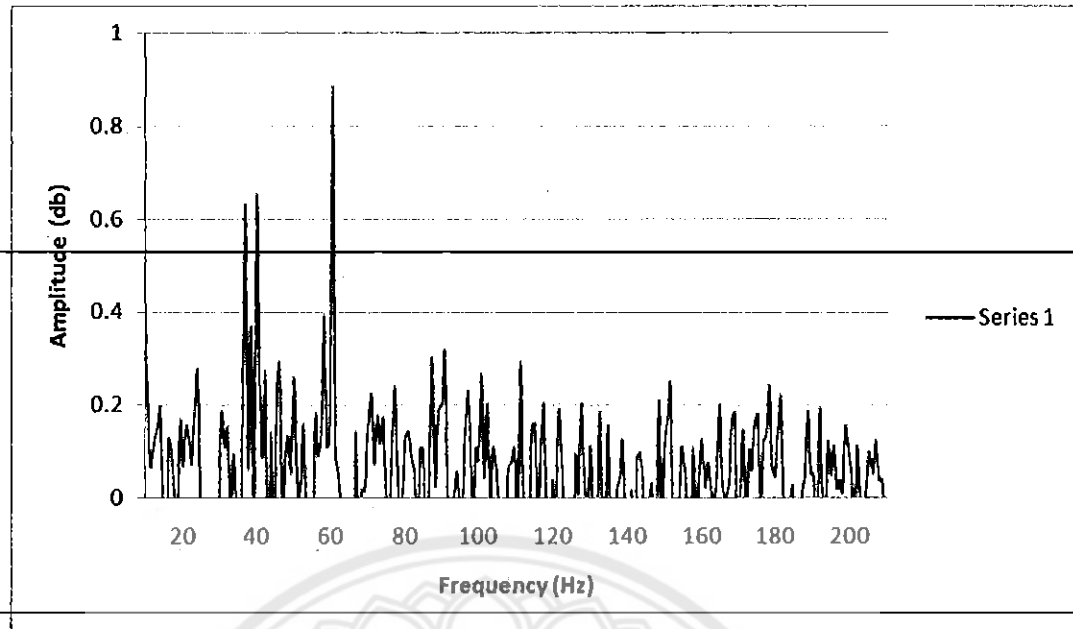
รูปที่ 4.52 กราฟスペกตรัมการสั่นสะเทือนของมอเตอร์ปักติ สภาพะ โหลด 0% [4.52]

เมื่อจ่ายแรงดันไฟฟ้าให้กับมอเตอร์ปักติ 220 V แล้วขับกระแสทางกลที่ 0 เปอร์เซ็นต์ พนว่าค่า แอนพลิจูดสูงสุด ที่ได้จากการฟีสเปกตรัมมีค่าประมาณ 0.647

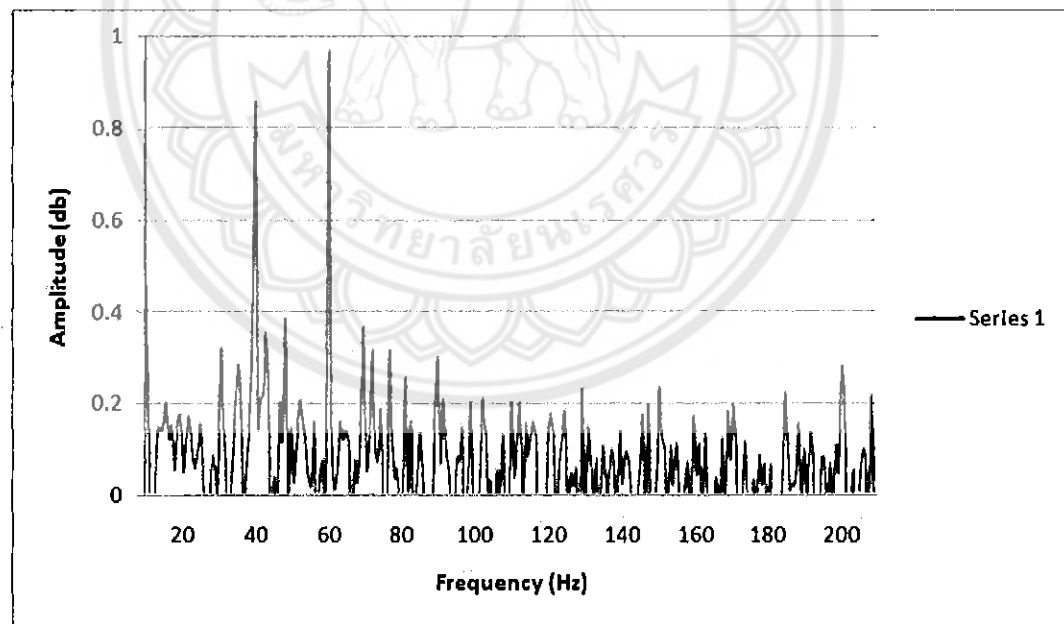


รูปที่ 4.53 กราฟスペกตรัมการสั่นสะเทือนของมอเตอร์ปักติ สภาพะ โหลด 20% [4.53]

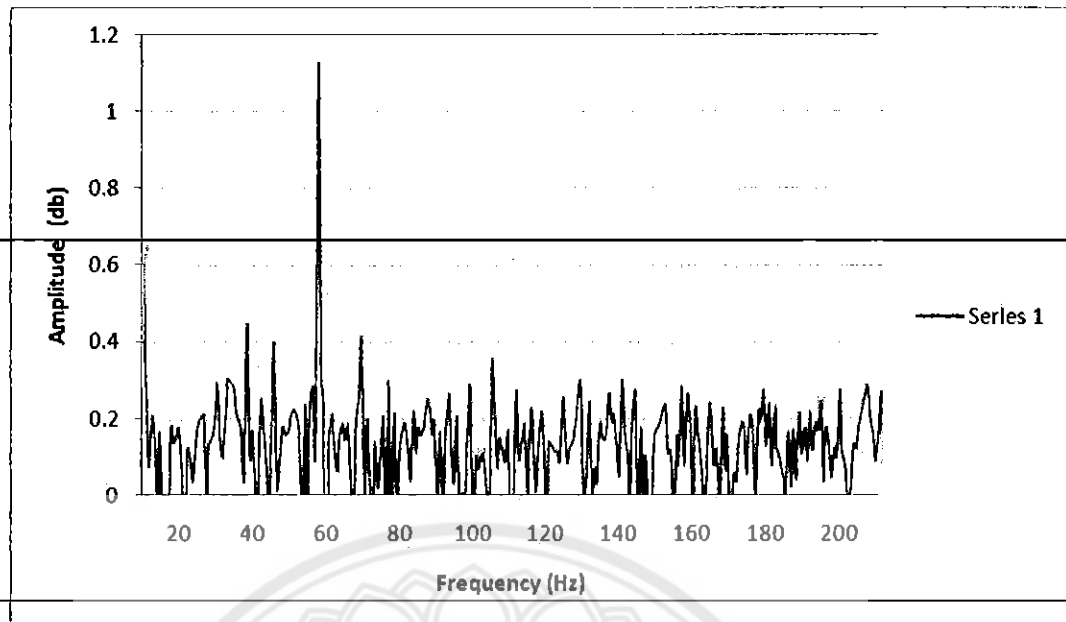
เมื่อจ่ายแรงดันไฟฟ้าให้กับมอเตอร์ปักติ 220 V แล้วขับกระแสทางกลที่ 20 เปอร์เซ็นต์ พนว่าค่า แอนพลิจูดสูงสุด ที่ได้จากการฟีสเปกตรัมมีค่าประมาณ 0.841



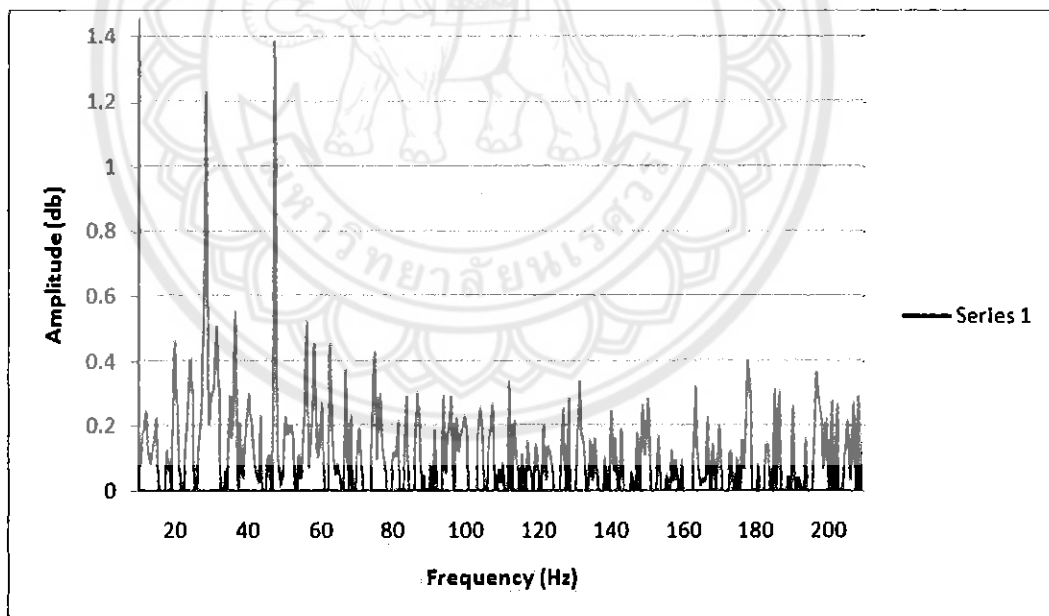
รูปที่ 4.54 กราฟスペกตรัมการสั่นสะเทือนของมอเตอร์ปั๊กติ สภาพะโ斫ด 40% [4.54]
เมื่อจ่ายแรงดันไฟฟ้าให้กับมอเตอร์ปั๊กติ 220 V แล้วขับการะทางกลที่ 40 เปอร์เซ็นต์
พบว่าค่า แอนพลิชุดสูงสุด ที่ได้จากการ์ฟスペกตรัมมีค่าประมาณ 0.895



รูปที่ 4.55 กราฟスペกตรัมการสั่นสะเทือนของมอเตอร์ปั๊กติ สภาพะโ斫ด 60% [4.55]
เมื่อจ่ายแรงดันไฟฟ้าให้กับมอเตอร์ปั๊กติ 220 V แล้วขับการะทางกลที่ 60 เปอร์เซ็นต์
พบว่าค่า แอนพลิชุดสูงสุด ที่ได้จากการ์ฟスペกตรัมมีค่าประมาณ 0.989

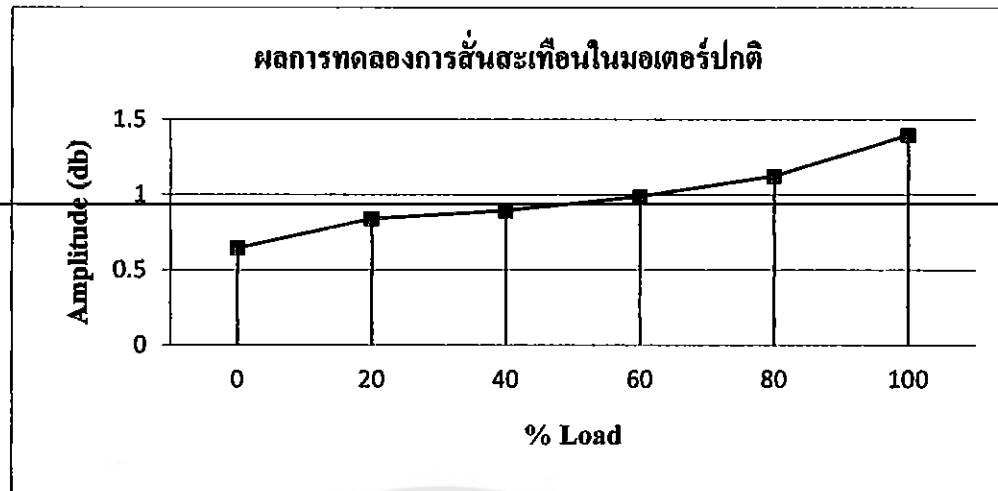


รูปที่ 4.56 กราฟสเปกตรัมการสั่นสะเทือนของมอเตอร์ปกติ สภาพอากาศ 80% [4.56]
เมื่อจ่ายแรงดันไฟฟ้าให้กับมอเตอร์ปกติ 220 V และวัดขั้นการทางกลที่ 80 เปอร์เซ็นต์
พบว่าค่า แอนพลิจูดสูงสุด ที่ได้จากการสเปกตรัมมีค่าประมาณ 1.125



รูปที่ 4.57 กราฟสเปกตรัมการสั่นสะเทือนของมอเตอร์ปกติ สภาพอากาศ 100% [4.57]
เมื่อจ่ายแรงดันไฟฟ้าให้กับมอเตอร์ปกติ 220 V และวัดขั้นการทางกลที่ 100 เปอร์เซ็นต์
พบว่าค่า แอนพลิจูดสูงสุด ที่ได้จากการสเปกตรัมมีค่าประมาณ 1.398

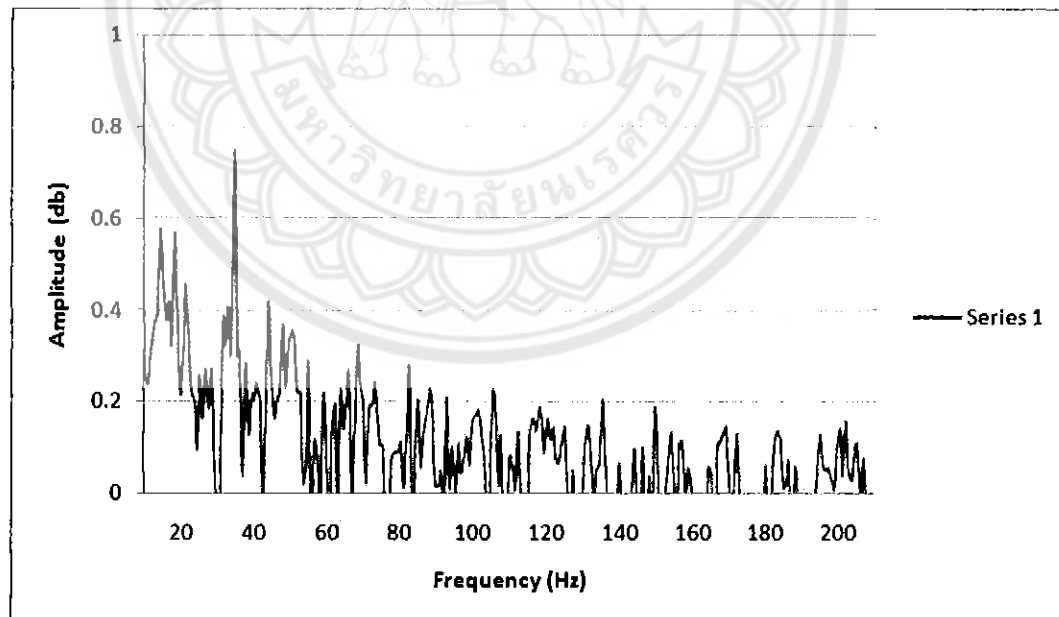
จากการสเปกตรัมสัญญาณการสั่นสะเทือนของมอเตอร์ปกติ ในสภาพอากาศ 0%, 20%, 40%, 60%, 80% และ 100% ตามลำดับ ผลการทดลองที่ได้ ค่า แอนพลิจูดสูงสุด คือ 0.647, 0.841, 0.895, 0.989, 1.125 และ 1.398 ทำให้ได้กราฟผลการทดลอง ดังนี้



รูปที่ 4.58 กราฟผลการทดลองการสั่นสะเทือนในมอเตอร์ปั๊กติ สภาพ โหลดต่างๆ [4.58]

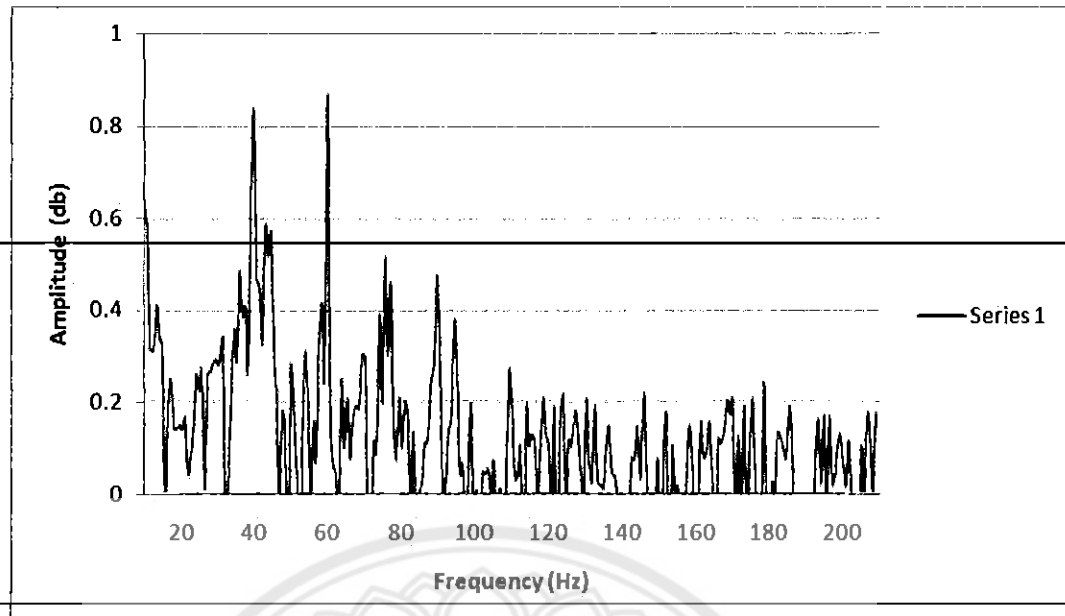
จากราฟผลการทดลองการสั่นสะเทือนในมอเตอร์ปั๊กติ การเพิ่มขึ้นของสภาพ โหลด ต่างๆ ทำให้ทราบว่า เมื่อมีภาระมากเพิ่มขึ้น ทำให้มอเตอร์ทำงานหนักขึ้น ส่งผลให้ค่า แอมพลิจูด ของกราฟมีค่าสูงขึ้น นั่นคือเกิดการสั่นสะเทือนของมอเตอร์เพิ่มมากขึ้นด้วย

4.3.2 ผลการทดลองการสั่นสะเทือน ที่มอเตอร์เสียหายที่โรเตอร์ 1 บาร์

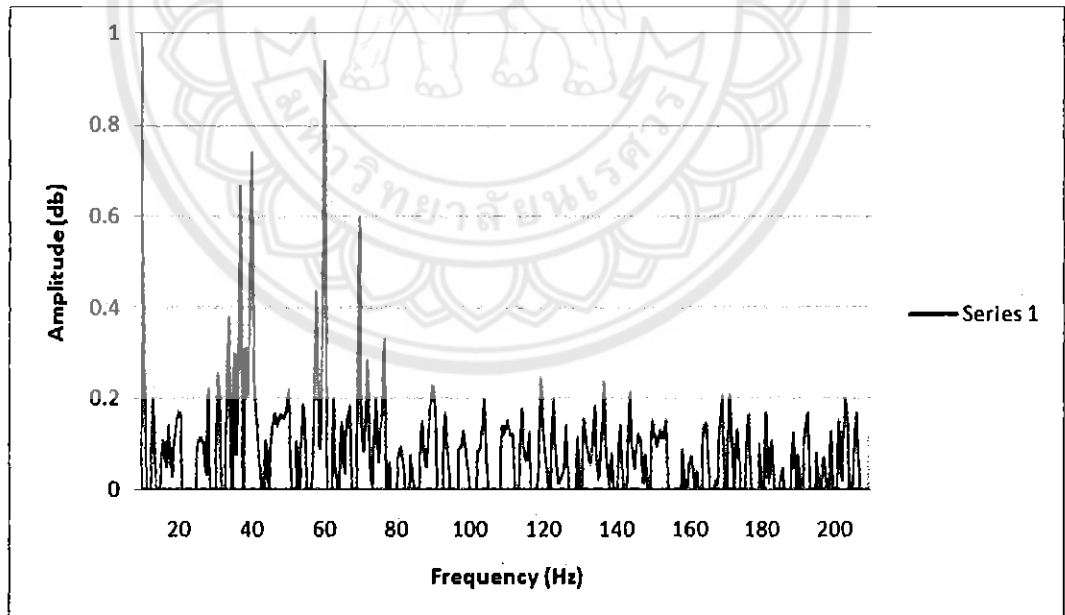


รูปที่ 4.59 กราฟスペกตรัมการสั่นสะเทือนของมอเตอร์เสียหายที่โรเตอร์ 1 บาร์ โหลด 0% [4.59]

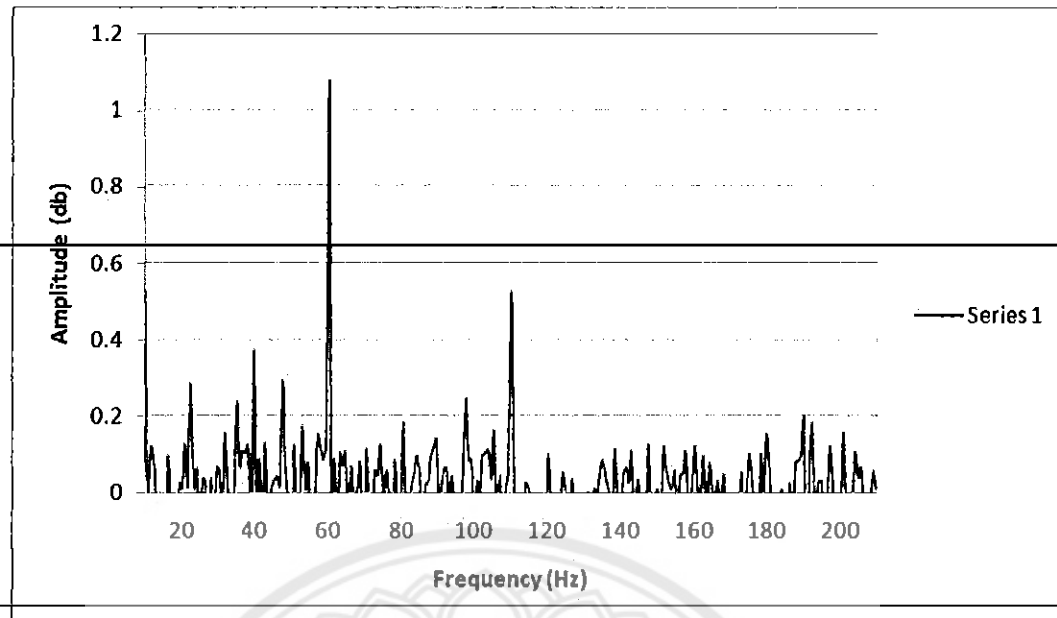
เมื่อจ่ายแรงดันไฟฟ้าให้กับมอเตอร์เสียหายที่โรเตอร์ 1 บาร์ 220 V แล้วขับภาระทางกลที่ 0 เมอร์เซ็นต์ พบร่วมค่า แอมพลิจูดสูงสุด ที่ได้จากการฟスペกตรัมนี้ค่าประมาณ 0.772



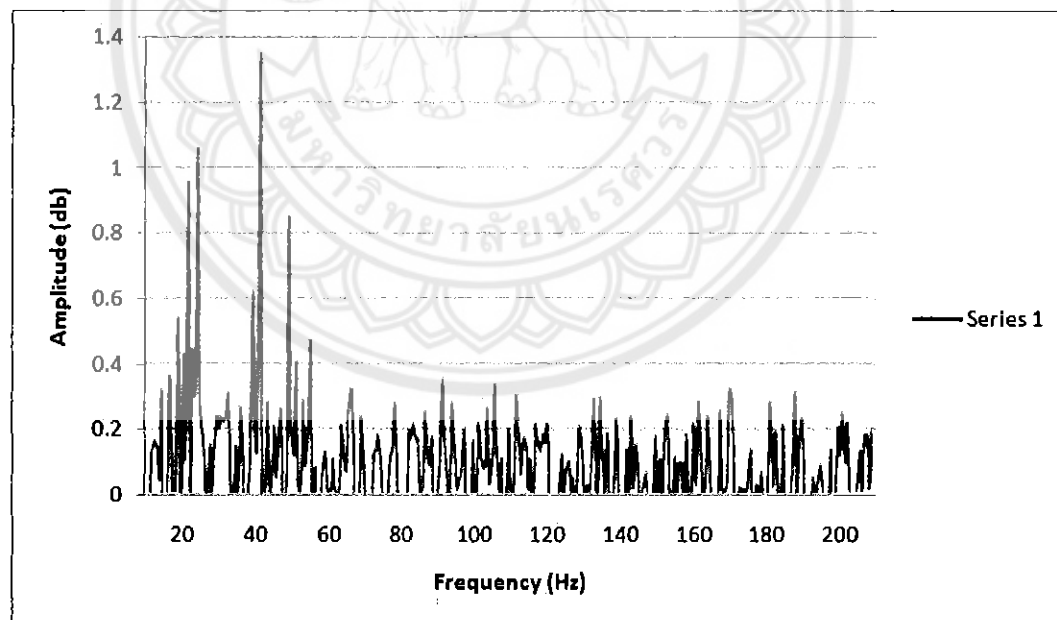
รูปที่ 4.60 กราฟสเปกตรัมการสั่นสะเทือนของมอเตอร์เสียหายที่โ Roเตอร์ 1 บาร์ โหลด 20% [4.60]
เมื่อจ่ายแรงดันไฟฟ้าให้กับมอเตอร์เสียหายที่โ Roเตอร์ 1 บาร์ 220 V แล้วขับกระแสทางกลที่ 20 เมอร์เซ็นต์ พบร่วงค่า แอมเพลจูดสูงสุด ที่ได้จากการสเปกตรัมมีค่าประมาณ 0.877



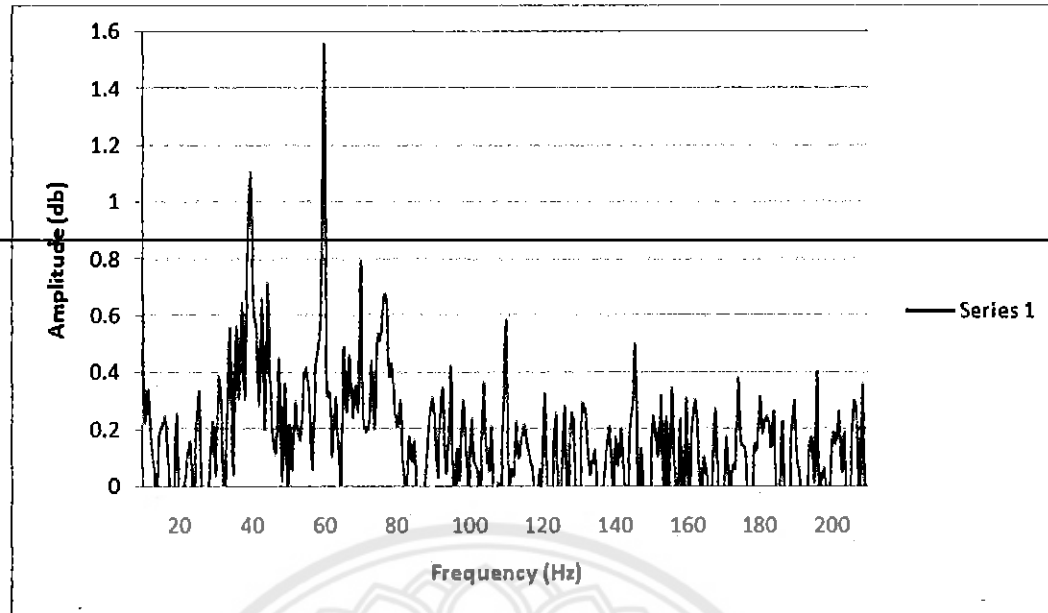
รูปที่ 4.61 กราฟสเปกตรัมการสั่นสะเทือนของมอเตอร์เสียหายที่โ Roเตอร์ 1 บาร์ โหลด 40% [4.61]
เมื่อจ่ายแรงดันไฟฟ้าให้กับมอเตอร์เสียหายที่โ Roเตอร์ 1 บาร์ 220 V แล้วขับกระแสทางกลที่ 40 เมอร์เซ็นต์ พบร่วงค่า แอมเพลจูดสูงสุด ที่ได้จากการสเปกตรัมมีค่าประมาณ 0.942



รูปที่ 4.62 กราฟสเปกตรัมการสั่นสะเทือนของมอเตอร์เสียหายที่โรเตอร์ 1 บาร์ โหลด 60% [4.62]
เมื่อจ่ายแรงดันไฟฟ้าให้กับมอเตอร์เสียหายที่โรเตอร์ 1 บาร์ 220 V แล้วขับกระแสทางกลที่ 60 เปอร์เซ็นต์ พบว่าค่า แอมเพลิจูดสูงสุด ที่ได้จากการฟสเปกตรัมมีค่าประมาณ 1.097



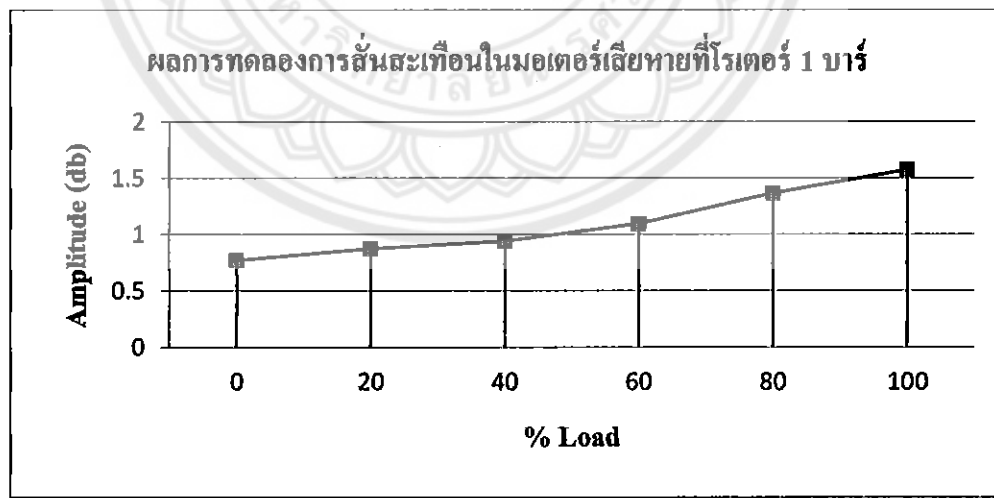
รูปที่ 4.63 กราฟสเปกตรัมการสั่นสะเทือนของมอเตอร์เสียหายที่โรเตอร์ 1 บาร์ โหลด 80% [4.63]
เมื่อจ่ายแรงดันไฟฟ้าให้กับมอเตอร์เสียหายที่โรเตอร์ 1 บาร์ 220 V แล้วขับกระแสทางกลที่ 80 เปอร์เซ็นต์ พบว่าค่า แอมเพลิจูดสูงสุด ที่ได้จากการฟสเปกตรัมมีค่าประมาณ 1.368



รูปที่ 4.64 กราฟสเปกตรัมการสั่นสะเทือนของนอเตอร์เสียหายที่โอดิโอ 1 บาร์ โหลด 100% [4.64]

เมื่อจ่ายแรงดันไฟฟ้าให้กับนอเตอร์เสียหายที่โอดิโอ 1 บาร์ 220 V แล้วขับกระแสทางกลที่ 100 เปอร์เซ็นต์ พบว่าค่า แอมเพลจูดสูงสุด ที่ได้จากการสเปกตรัมนี้ค่าประมาณ 1.576

จากการสเปกตรัมสัญญาณการสั่นสะเทือนของนอเตอร์เสียหายที่โอดิโอ 1 บาร์ ในสภาวะโหลด 0%, 20%, 40%, 60%, 80% และ 100% ตามลำดับ ผลการทดลองที่ได้ ค่าแอมเพลจูดสูงสุด คือ 0.772, 0.877, 0.942, 1.097, 1.368 และ 1.576 ทำให้ได้กราฟผลการทดลอง ดังนี้



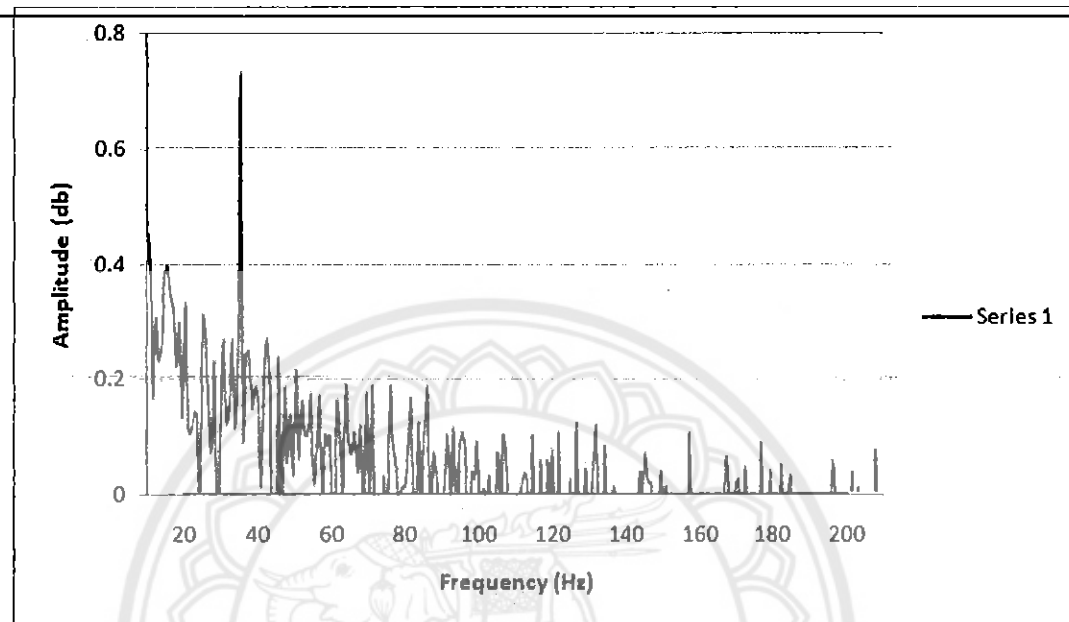
รูปที่ 4.65 กราฟผลการทดลองการสั่นสะเทือนในนอเตอร์เสียหายที่โอดิโอ 1 บาร์

สภาวะโหลดต่างๆ [4.65]

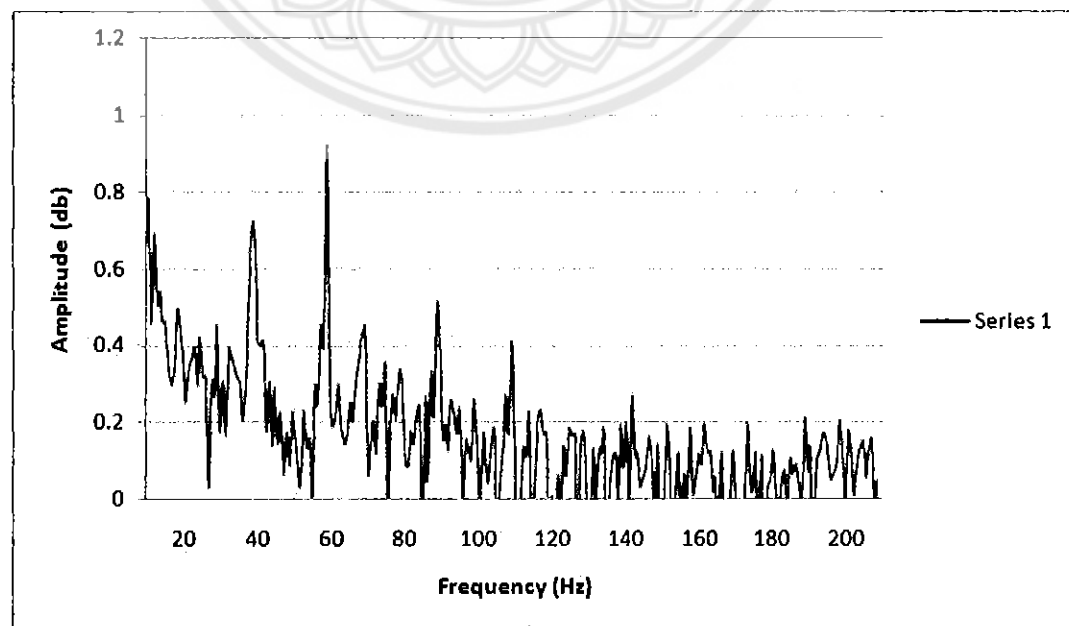
จากการทดลองผลการสั่นสะเทือนในนอเตอร์เสียหายที่โอดิโอ 1 บาร์ การเพิ่มขึ้นของสภาวะโหลดต่างๆ ทำให้ทราบว่า เมื่อมีกระแสทางกลเพิ่มขึ้น ทำให้มอเตอร์ทำงานหนักขึ้น

ส่งผลให้ค่า แอมเพลจิต ของกราฟมีค่าสูงขึ้น นั่นก็คือเกิดการสั่นสะเทือนของมอเตอร์เพิ่มมากขึ้น ด้วย

4.3.3 ผลการทดลองการสั่นสะเทือน ที่มอเตอร์เสียหายที่โอดอร์ 2 บาร์

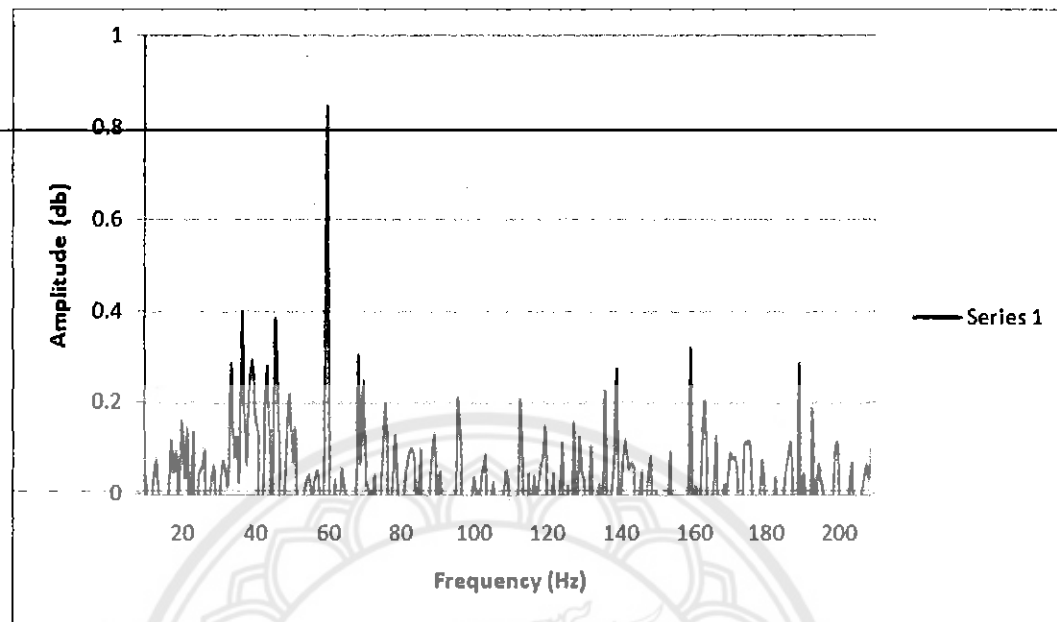


รูปที่ 4.66 กราฟสเปกตรัมการสั่นสะเทือนของมอเตอร์เสียหายที่โอดอร์ 2 บาร์ โหลด 0%[4.66]
เมื่อจ่ายแรงดันไฟฟ้าให้กับมอเตอร์เสียหายที่โอดอร์ 2 บาร์ 220 V แล้วขับการทางกลที่ 0 เบอร์เซ็นต์ พนว่าค่า แอมเพลจิตสูงสุด ที่ได้จากกราฟสเปกตรัมมีค่าประมาณ 0.745

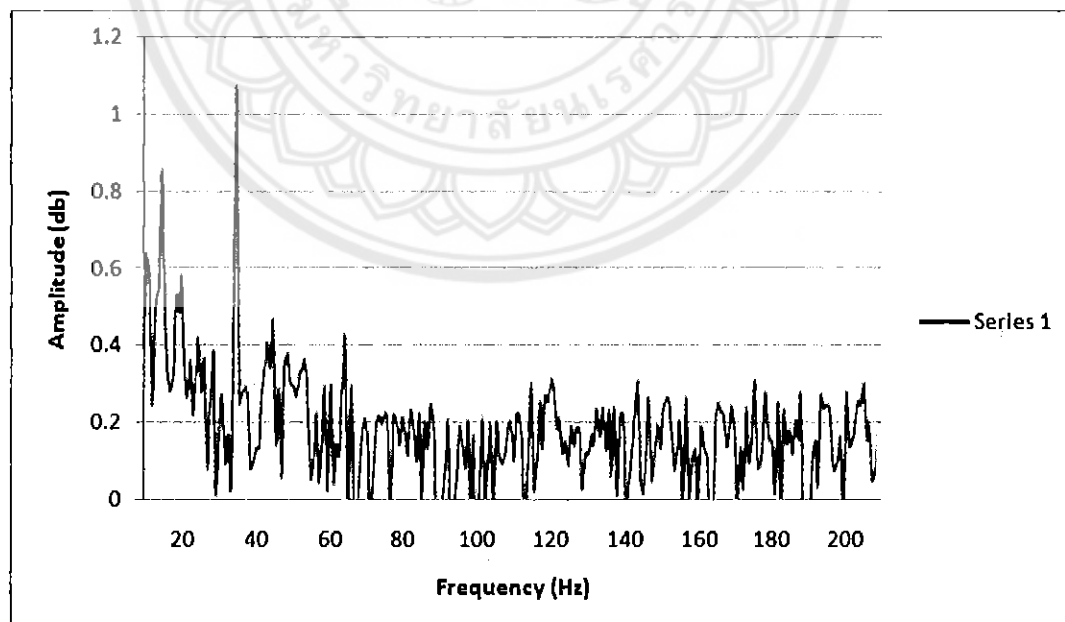


รูปที่ 4.67 กราฟสเปกตรัมการสั่นสะเทือนของมอเตอร์เสียหายที่โอดอร์ 2 บาร์ โหลด 20%[4.67]

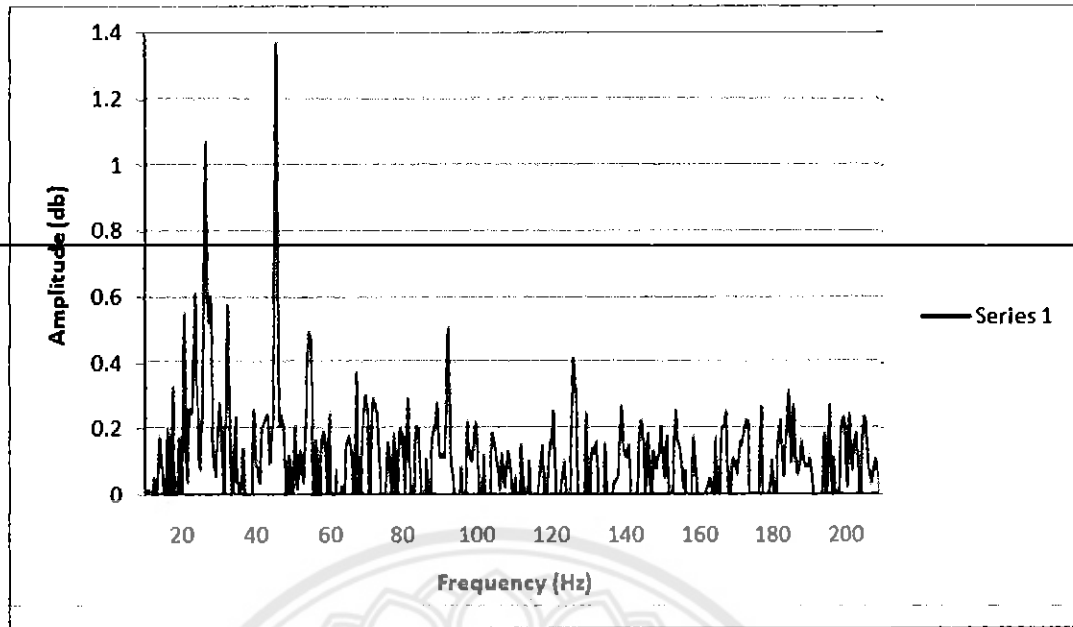
เมื่อจ่ายแรงดันไฟฟ้าให้กับมอเตอร์เสียหายที่โ Ro เทอร์ 2 บาร์ 220 V แล้วขั้นการทางกลที่ 20 เปอร์เซ็นต์ พนว่าค่า แอมเพลิจูดสูงสุด ที่ได้จากการฟสเปกตรัมมีค่าประมาณ 0.926



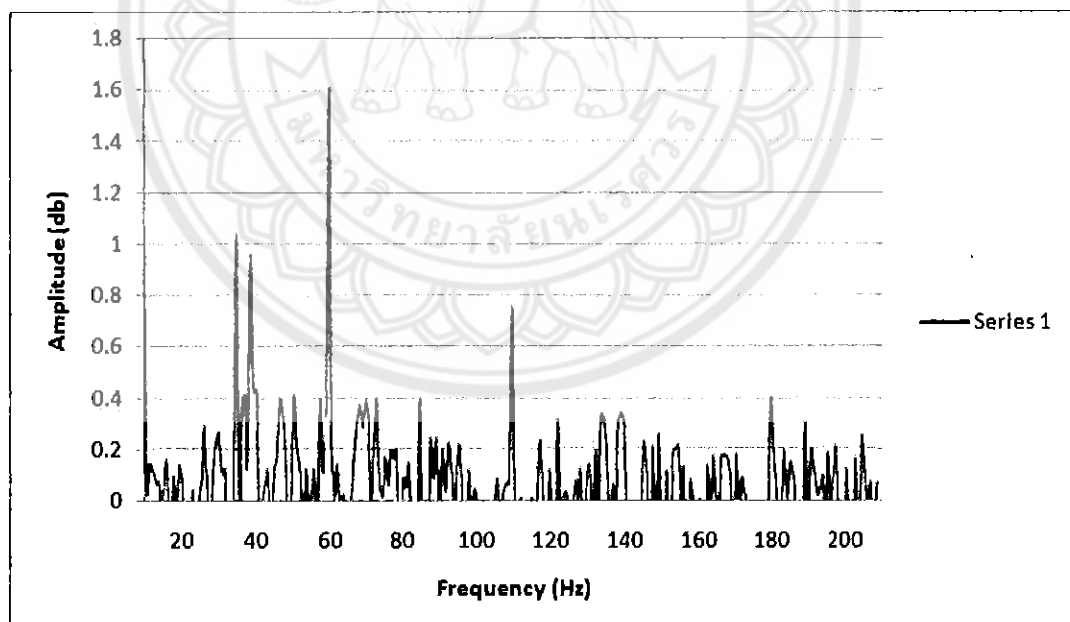
รูปที่ 4.68 กราฟสเปกตรัมการสั่นสะเทือนของมอเตอร์เสียหายที่โ Ro เทอร์ 2 บาร์ โ Holc 40% [4.68]
เมื่อจ่ายแรงดันไฟฟ้าให้กับมอเตอร์เสียหายที่โ Ro เทอร์ 2 บาร์ 220 V แล้วขั้นการทางกลที่ 40 เปอร์เซ็นต์ พนว่าค่า แอมเพลิจูดสูงสุด ที่ได้จากการฟสเปกตรัมมีค่าประมาณ 0.852



รูปที่ 4.69 กราฟสเปกตรัมการสั่นสะเทือนของมอเตอร์เสียหายที่โ Ro เทอร์ 2 บาร์ โ Holc 60% [4.69]
เมื่อจ่ายแรงดันไฟฟ้าให้กับมอเตอร์เสียหายที่โ Ro เทอร์ 2 บาร์ 220 V แล้วขั้นการทางกลที่ 60 เปอร์เซ็นต์ พนว่าค่า แอมเพลิจูดสูงสุด ที่ได้จากการฟสเปกตรัมมีค่าประมาณ 1.098

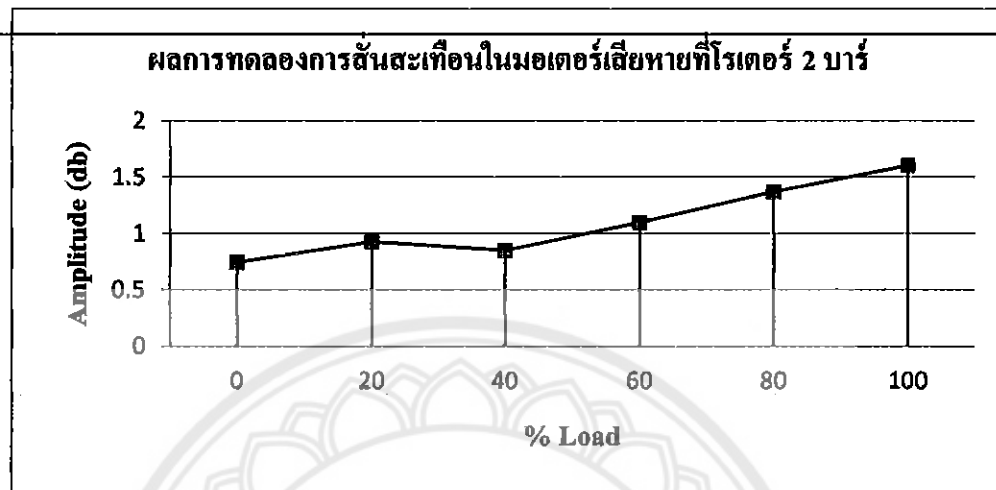


รูปที่ 4.70 กราฟสเปกตรัมการสั่นสะเทือนของมอเตอร์เสียหายที่โกรเตอร์ 2 บาร์ โหลด 80%[4.70]
เมื่อจ่ายแรงดันไฟฟ้าให้กับมอเตอร์เสียหายที่โกรเตอร์ 2 บาร์ 220 V แล้วขับกระแสทางกลที่ 80 เปอร์เซ็นต์ พนว่าค่า แอมเพลจูดสูงสุด ที่ได้จากการสเปกตรัมมีค่าประมาณ 1.371



รูปที่ 4.71 กราฟสเปกตรัมการสั่นสะเทือนของมอเตอร์เสียหายที่โกรเตอร์ 2 บาร์ โหลด 100%[4.71]
เมื่อจ่ายแรงดันไฟฟ้าให้กับมอเตอร์เสียหายที่โกรเตอร์ 2 บาร์ 220 V แล้วขับกระแสทางกลที่ 100 เปอร์เซ็นต์ พนว่าค่า แอมเพลจูดสูงสุด ที่ได้จากการสเปกตรัมมีค่าประมาณ 1.605

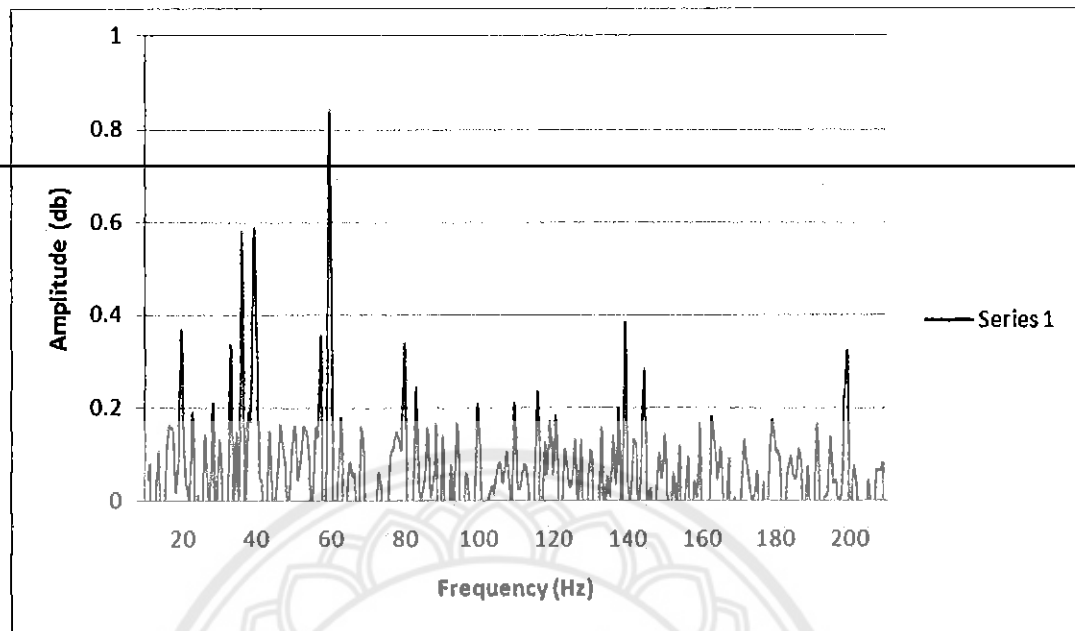
จากการฟrequencysweep ที่มีการสั่นสะเทือนของมอเตอร์เสียหายที่ 2 บาร์ ในสภาวะโหลด 0%, 20%, 40%, 60%, 80% และ 100% ตามลำดับ ผลการทดลองที่ได้ค่าแอมเพลจูดสูงสุด คือ 0.745, 0.926, 0.852, 1.098, 1.371 และ 1.605 ทำให้ได้กราฟผลการทดลอง ดังนี้



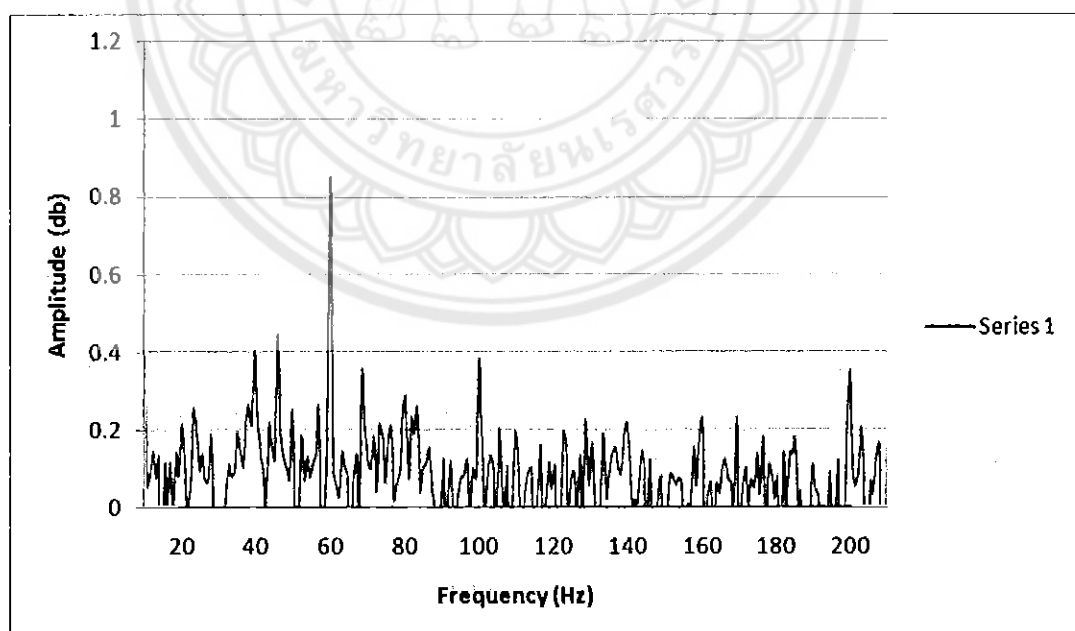
รูปที่ 4.72 กราฟผลการทดลองการสั่นสะเทือนในมอเตอร์เสียหายที่ 2 บาร์ สภาวะโหลดต่างๆ [4.72]

จากการฟrequencysweep ที่มีการสั่นสะเทือนในมอเตอร์เสียหายที่ 2 บาร์ การเพิ่มขึ้นของสภาวะโหลดต่างๆ ทำให้ทราบว่า เมื่อมีภาระทางกลเพิ่มขึ้น ทำให้มอเตอร์ทำงานหนักขึ้น ส่งผลให้ค่า แอมเพลจูด ของกราฟมีค่าสูงขึ้น นั่นก็คือเกิดการสั่นสะเทือนของมอเตอร์เพิ่มมากขึ้น ด้วย

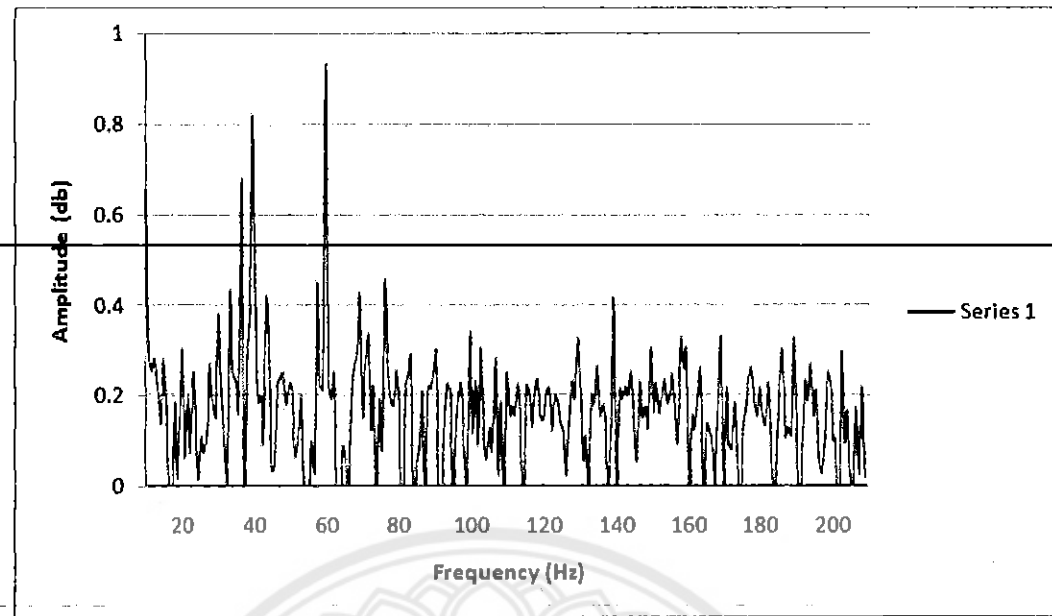
4.3.4 ผลการทดสอบการสั่นสะเทือน ที่มอเตอร์เสียหายที่โกรเดอร์ 3 บาร์



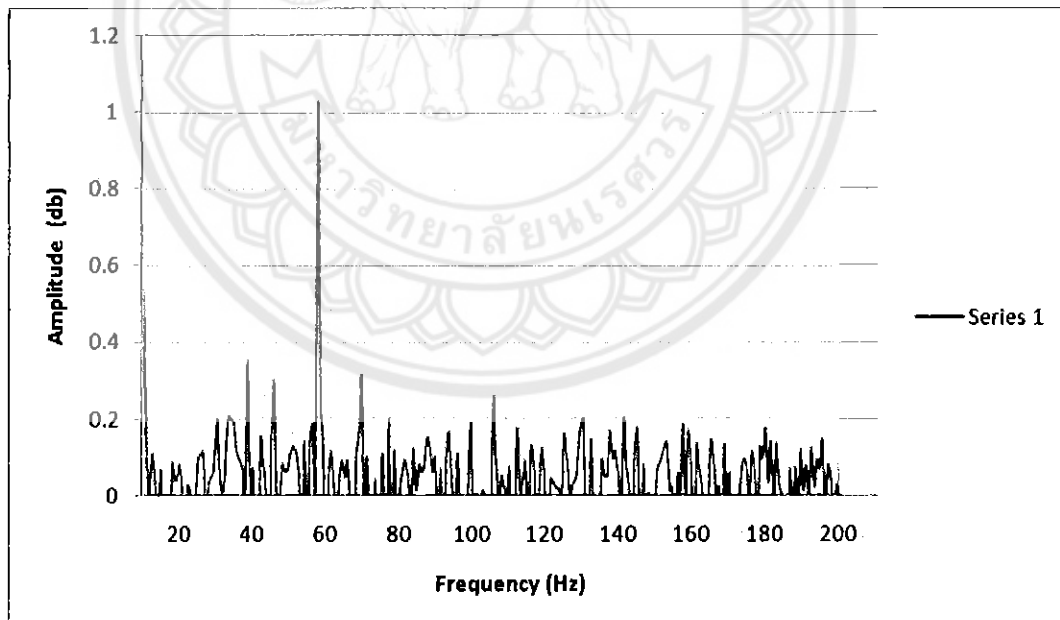
รูปที่ 4.73 กราฟสเปกตรัมการสั่นสะเทือนของมอเตอร์เสียหายที่โกรเดอร์ 3 บาร์ โหลด 0% [4.73]
เมื่อจ่ายแรงดันไฟฟ้าให้กับมอเตอร์เสียหายที่โกรเดอร์ 3 บาร์ 220 V แล้วขั้นการสะท้อนกลับที่ 0 เบอร์เซ็นต์ พบร่วมค่า แอมเพลจูดสูงสุด ที่ได้จากการฟสเปกตรัมมีค่าประมาณ 0.85



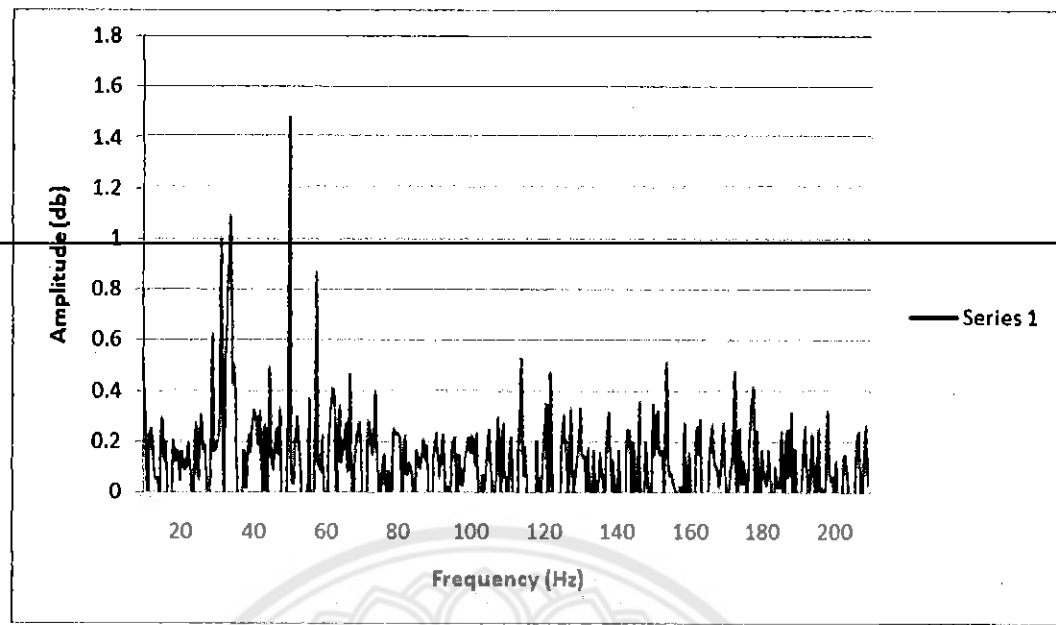
รูปที่ 4.74 กราฟสเปกตรัมการสั่นสะเทือนของมอเตอร์เสียหายที่โกรเดอร์ 3 บาร์ โหลด 20% [4.74]
เมื่อจ่ายแรงดันไฟฟ้าให้กับมอเตอร์เสียหายที่โกรเดอร์ 3 บาร์ 220 V แล้วขั้นการสะท้อนกลับที่ 20 เบอร์เซ็นต์ พบร่วมค่า แอมเพลจูดสูงสุด ที่ได้จากการฟสเปกตรัมมีค่าประมาณ 0.863



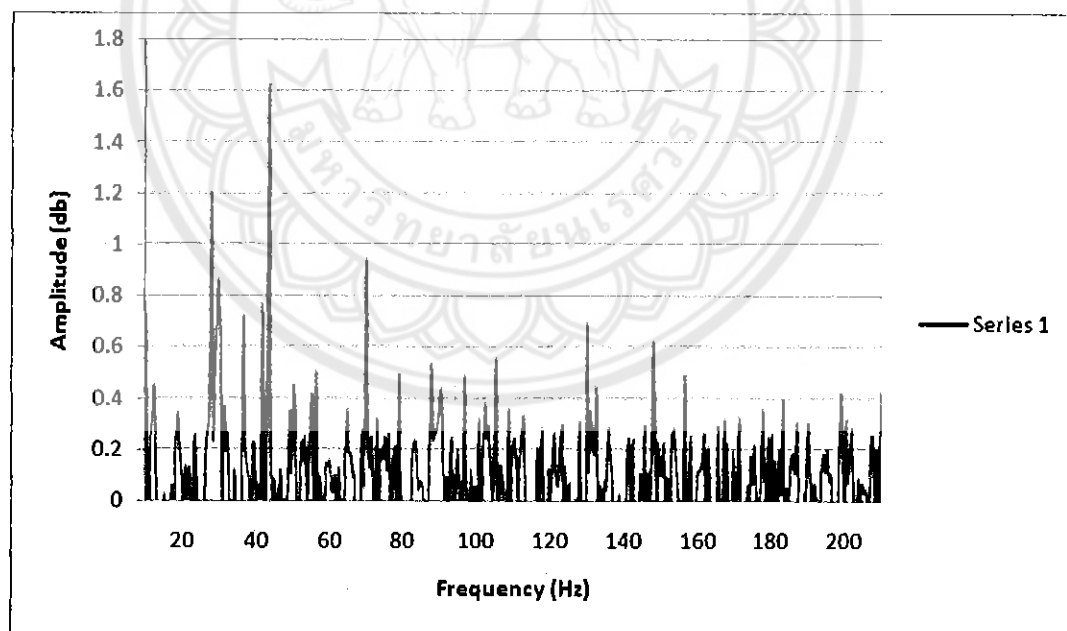
รูปที่ 4.75 กราฟสเปกตรัมการสั่นสะเทือนของมอเตอร์เสียหายที่โกรเตอร์ 3 บาร์ โหลด 40%[4.75]
เมื่อจ่ายแรงดันไฟฟ้าให้กับมอเตอร์เสียหายที่โกรเตอร์ 3 บาร์ 220 V แล้วขับกระแสทางกลที่ 40 เปอร์เซ็นต์ พบร่วงค่า แอมเพลจูดสูงสุด ที่ได้จากการสเปกตรัมมีค่าประมาณ 0.927



รูปที่ 4.76 กราฟสเปกตรัมการสั่นสะเทือนของมอเตอร์เสียหายที่โกรเตอร์ 3 บาร์ โหลด 60%[4.76]
เมื่อจ่ายแรงดันไฟฟ้าให้กับมอเตอร์เสียหายที่โกรเตอร์ 3 บาร์ 220 V แล้วขับกระแสทางกลที่ 60 เปอร์เซ็นต์ พบร่วงค่า แอมเพลจูดสูงสุด ที่ได้จากการสเปกตรัมมีค่าประมาณ 1.041

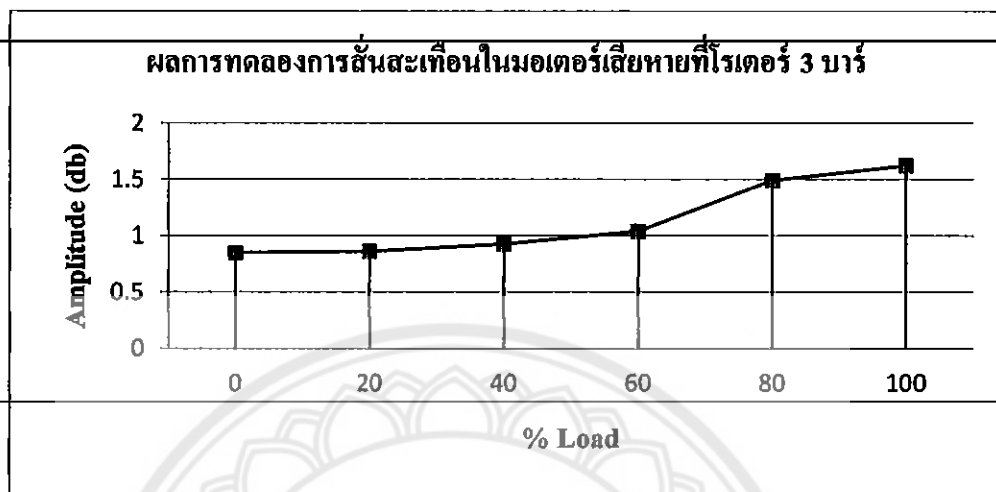


รูปที่ 4.77 กราฟสเปกตรัมการสั่นสะเทือนของมอเตอร์เสียหายที่โกรเตอร์ 3 บาร์ โหลด 80% [4.77]
เมื่อจ่ายแรงดันไฟฟ้าให้กับมอเตอร์เสียหายที่โกรเตอร์ 3 บาร์ 220 V แล้วขั้นการทางกลที่ 80 เปอร์เซ็นต์ พบร่วมค่า แอนพลิจูดสูงสุด ที่ได้จากการสเปกตรัมมีค่าประมาณ 1.492



รูปที่ 4.78 กราฟสเปกตรัมการสั่นสะเทือนของมอเตอร์เสียหายที่โกรเตอร์ 3 บาร์ โหลด 100% [4.78]
เมื่อจ่ายแรงดันไฟฟ้าให้กับมอเตอร์เสียหายที่โกรเตอร์ 3 บาร์ 220 V แล้วขั้นการทางกลที่ 100 เปอร์เซ็นต์ พบร่วมค่า แอนพลิจูดสูงสุด ที่ได้จากการสเปกตรัมมีค่าประมาณ 1.623

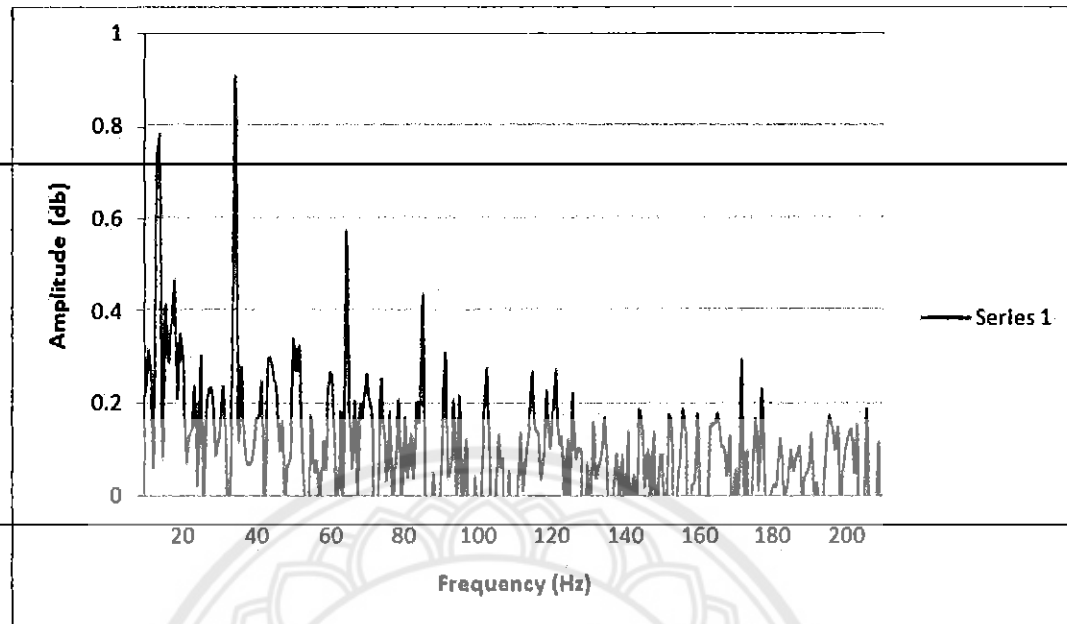
จากราฟสเปกตรัมสัญญาณการสั่นสะเทือนของมอเตอร์เสียหายที่โรเตอร์ 3 บาร์ ในสภาวะโหลด 0%, 20%, 40%, 60%, 80% และ 100% ตามลำดับ ผลการทดลองที่ได้ค่าแอมพลิจูดสูงสุด คือ 0.85, 0.863, 0.927, 1.041, 1.492 และ 1.623 ทำให้ได้กราฟผลการทดลอง ดังนี้



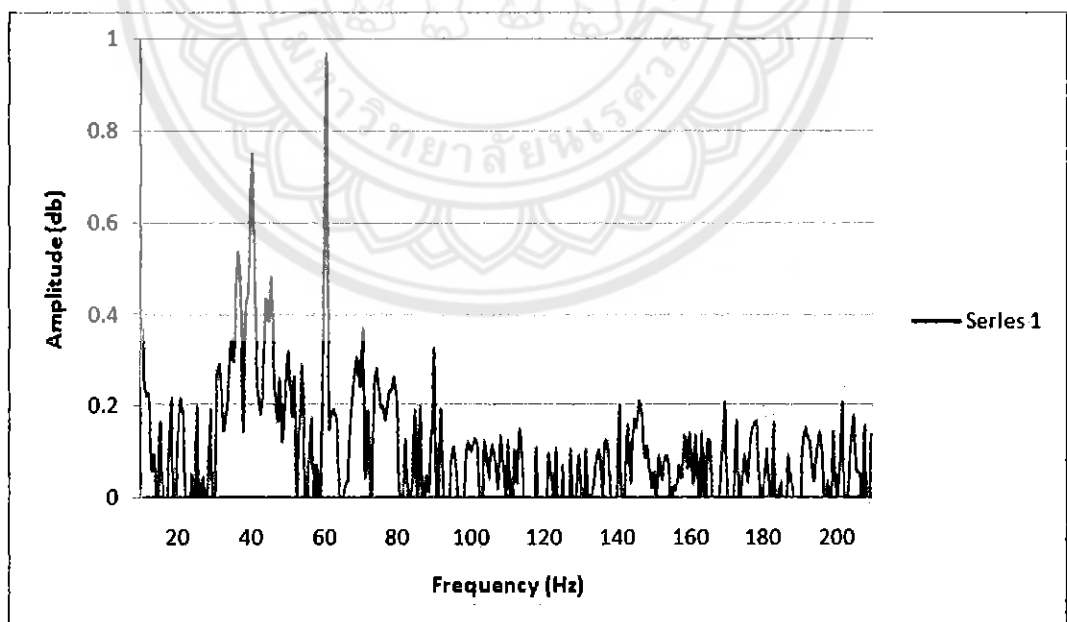
รูปที่ 4.79 กราฟผลการทดลองการสั่นสะเทือนในมอเตอร์เสียหายที่โรเตอร์ 3 บาร์ สภาวะโหลดต่างๆ [4.79]

จากราฟผลการทดลองการสั่นสะเทือนในมอเตอร์เสียหายที่โรเตอร์ 3 บาร์ การเพิ่มขึ้นของสภาวะโหลดต่างๆ ทำให้ทราบว่า เมื่อมีภาระทางกลเพิ่มขึ้น ทำให้มอเตอร์ทำงานหนักขึ้น ส่งผลให้ค่า แอมพลิจูด ของกราฟนี้ค่าสูงขึ้น นั่นก็คือเกิดการสั่นสะเทือนของมอเตอร์เพิ่มมากขึ้น ด้วย

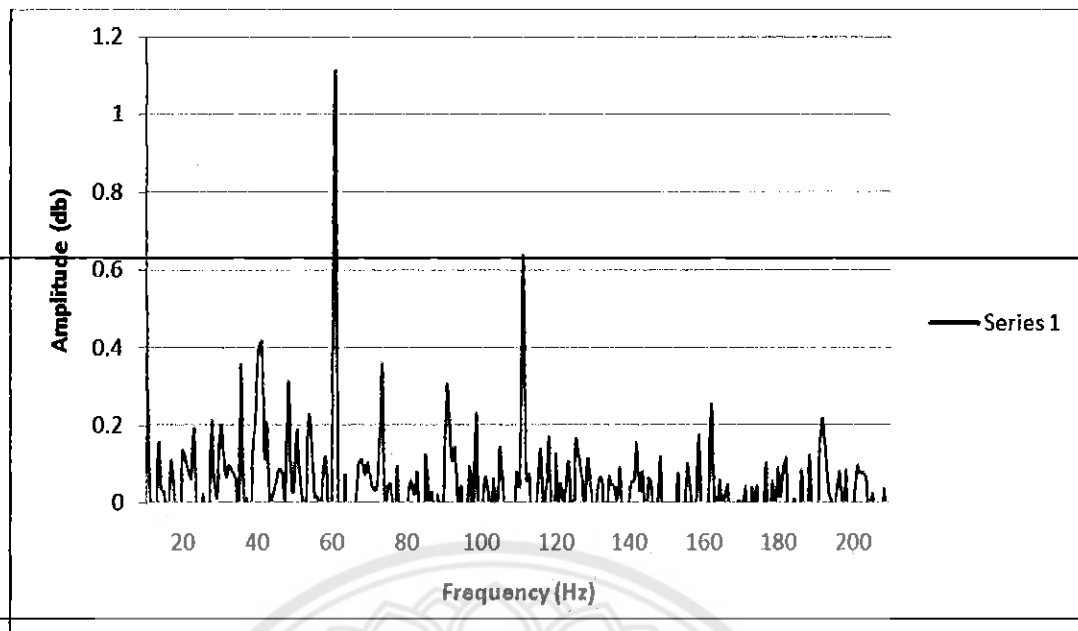
4.3.5 ผลการทดลองการสั่นสะเทือน ที่มอเตอร์เสียหายที่โกรเตอร์ 4 บาร์



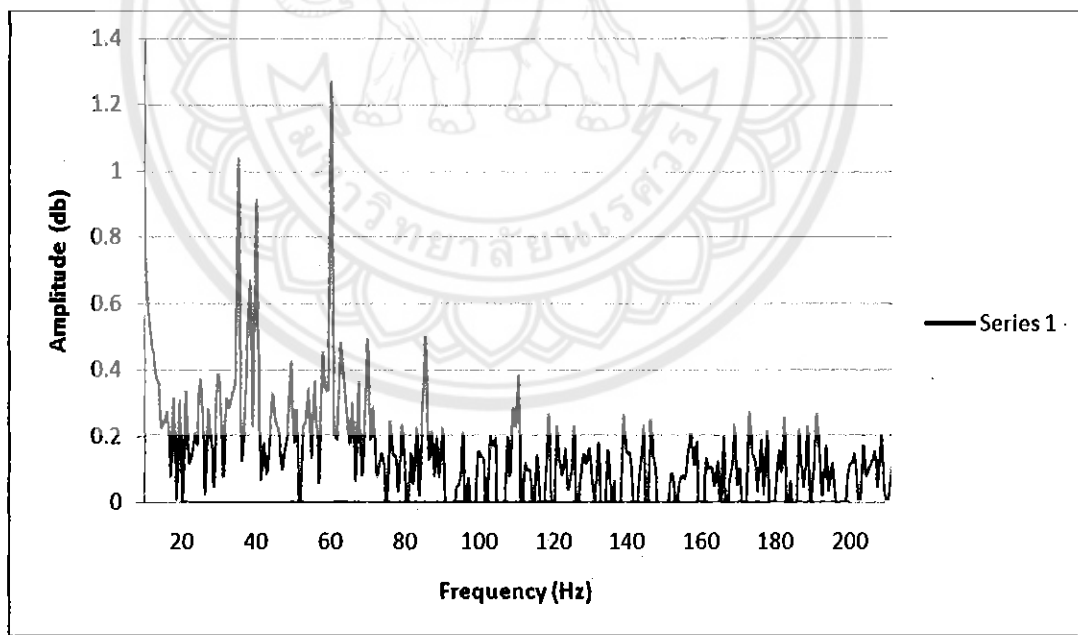
รูปที่ 4.80 กราฟสเปกตรัมการสั่นสะเทือนของมอเตอร์เสียหายที่โกรเตอร์ 4 บาร์ โหลด 0% [4.80]
เมื่อจ่ายแรงดันไฟฟ้าให้กับมอเตอร์เสียหายที่โกรเตอร์ 4 บาร์ 220 V แล้วขับกระแสทางกลที่ 0 เมอร์เซ็นต์ พนว่าค่า แอนพลิจูดสูงสุด ที่ได้จากการฟสเปกตรัมมีค่าประมาณ 0.898



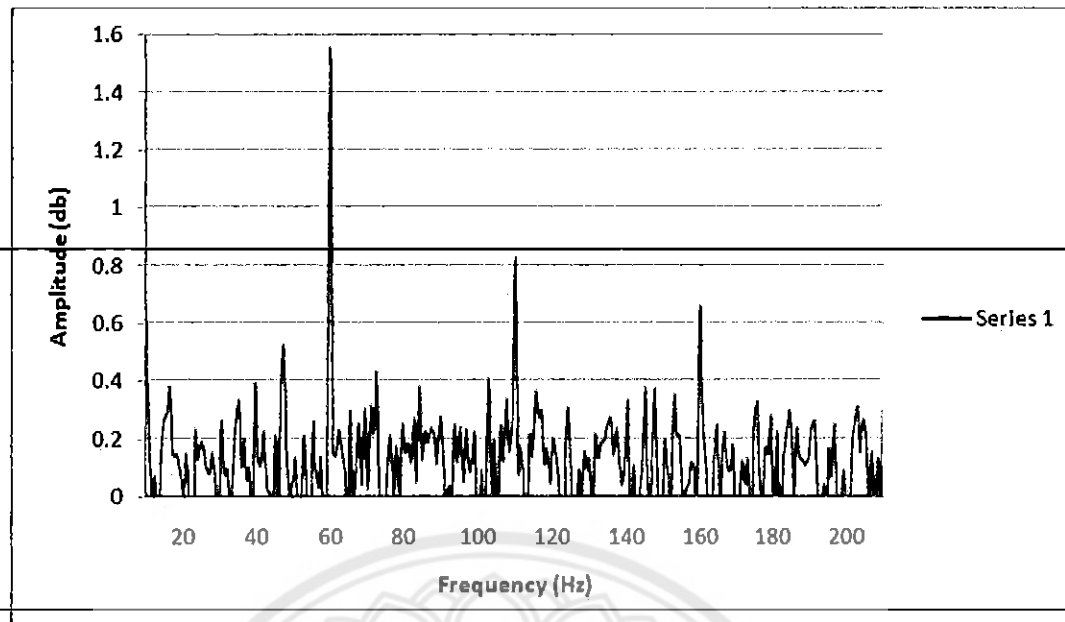
รูปที่ 4.81 กราฟสเปกตรัมการสั่นสะเทือนของมอเตอร์เสียหายที่โกรเตอร์ 4 บาร์ โหลด 20% [4.81]
เมื่อจ่ายแรงดันไฟฟ้าให้กับมอเตอร์เสียหายที่โกรเตอร์ 4 บาร์ 220 V แล้วขับกระแสทางกลที่ 20 เมอร์เซ็นต์ พนว่าค่า แอนพลิจูดสูงสุด ที่ได้จากการฟสเปกตรัมมีค่าประมาณ 0.982



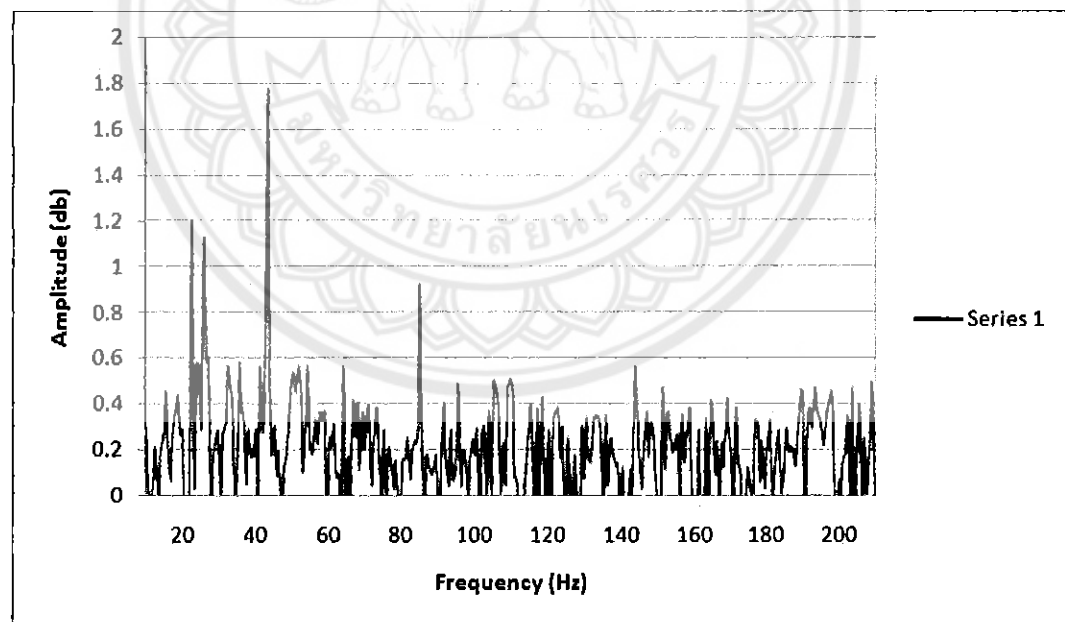
รูปที่ 4.82 กราฟสเปกตรัมการสั่นสะเทือนของมอเตอร์เสียหายที่โกรเตอร์ 4 บาร์ โหลด 40% [4.82]
เมื่อจ่ายแรงดันไฟฟ้าให้กับมอเตอร์เสียหายที่โกรเตอร์ 4 บาร์ 220 V แล้วขับกระแสทางกลที่ 40 เปอร์เซ็นต์ พบร่วมค่า แอนพลิชูดสูงสุด ที่ได้จากการสเปกตรัมมีค่าประมาณ 1.12



รูปที่ 4.83 กราฟสเปกตรัมการสั่นสะเทือนของมอเตอร์เสียหายที่โกรเตอร์ 4 บาร์ โหลด 60% [4.83]
เมื่อจ่ายแรงดันไฟฟ้าให้กับมอเตอร์เสียหายที่โกรเตอร์ 4 บาร์ 220 V แล้วขับกระแสทางกลที่ 60 เปอร์เซ็นต์ พบร่วมค่า แอนพลิชูดสูงสุด ที่ได้จากการสเปกตรัมมีค่าประมาณ 1.283

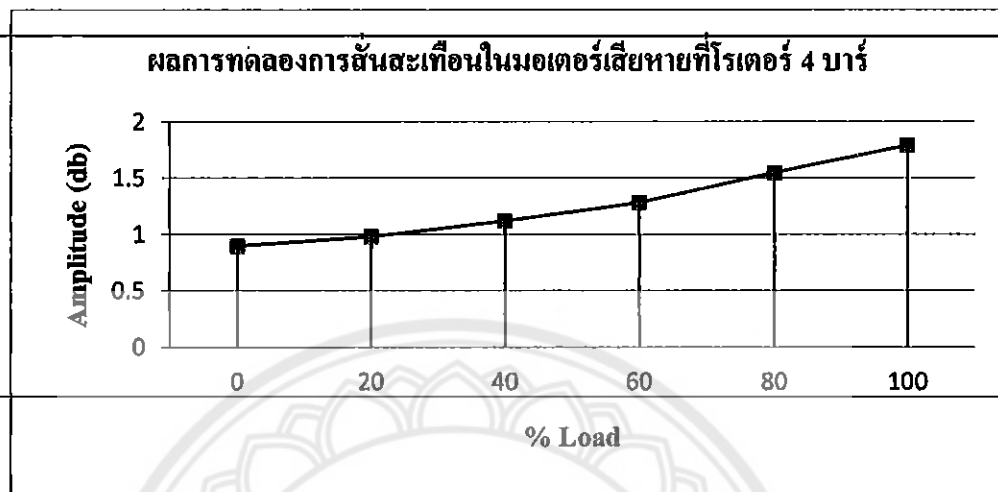


รูปที่ 4.84 กราฟสเปกตรัมการสั่นสะเทือนของมอเตอร์เสียหายที่โรเตอร์ 4 บาร์ โหลด 80%[4.84]
เมื่อจ่ายแรงดันไฟฟ้าให้กับมอเตอร์เสียหายที่โรเตอร์ 4 บาร์ 220 V แล้วขับกระแสทางกลที่ 80 เปอร์เซ็นต์ พบร่วงค่า แอมเพลจูดสูงสุด ที่ได้จากการฟสเปกตรัมมีค่าประมาณ 1.549



รูปที่ 4.85 กราฟสเปกตรัมการสั่นสะเทือนของมอเตอร์เสียหายที่โรเตอร์ 4 บาร์ โหลด 100%[4.85]
เมื่อจ่ายแรงดันไฟฟ้าให้กับมอเตอร์เสียหายที่โรเตอร์ 4 บาร์ 220 V แล้วขับกระแสทางกลที่ 100 เปอร์เซ็นต์ พบร่วงค่า แอมเพลจูดสูงสุด ที่ได้จากการฟสเปกตรัมมีค่าประมาณ 1.791

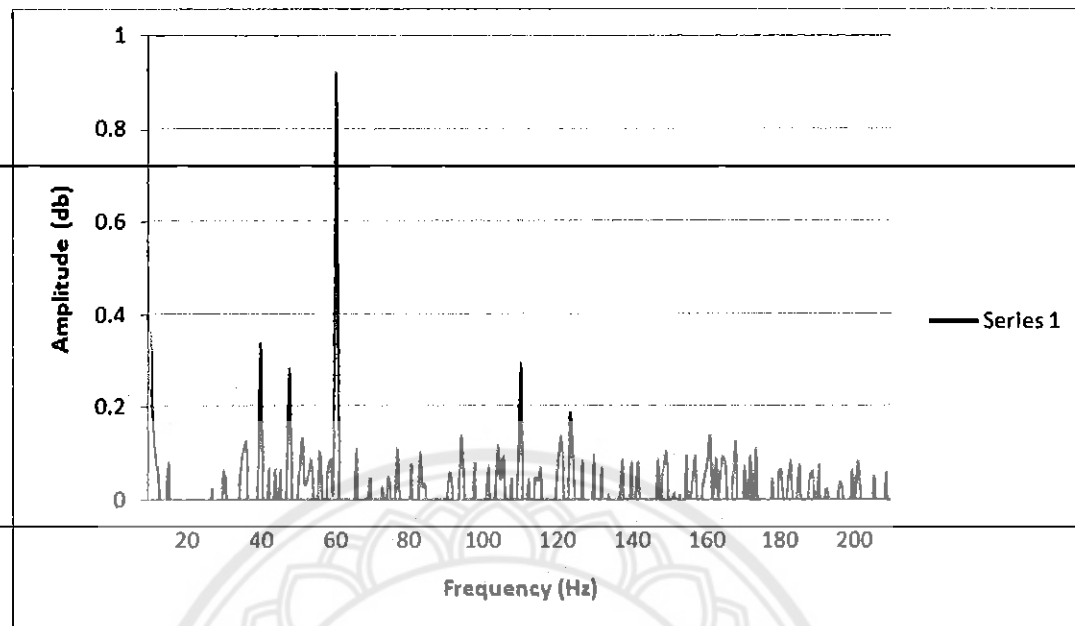
จากราฟสเปกตรัมสัญญาณการสั่นสะเทือนของมอเตอร์เสียหายที่โรเตอร์ 4 บาร์ ในสภาวะโหลด 0%, 20%, 40%, 60%, 80% และ 100% ตามลำดับ ผลการทดลองที่ได้ค่าแอมเพลิจูดสูงสุด คือ 0.898, 0.982, 1.12, 1.283, 1.549 และ 1.791 ทำให้ได้กราฟผลการทดลอง ดังนี้



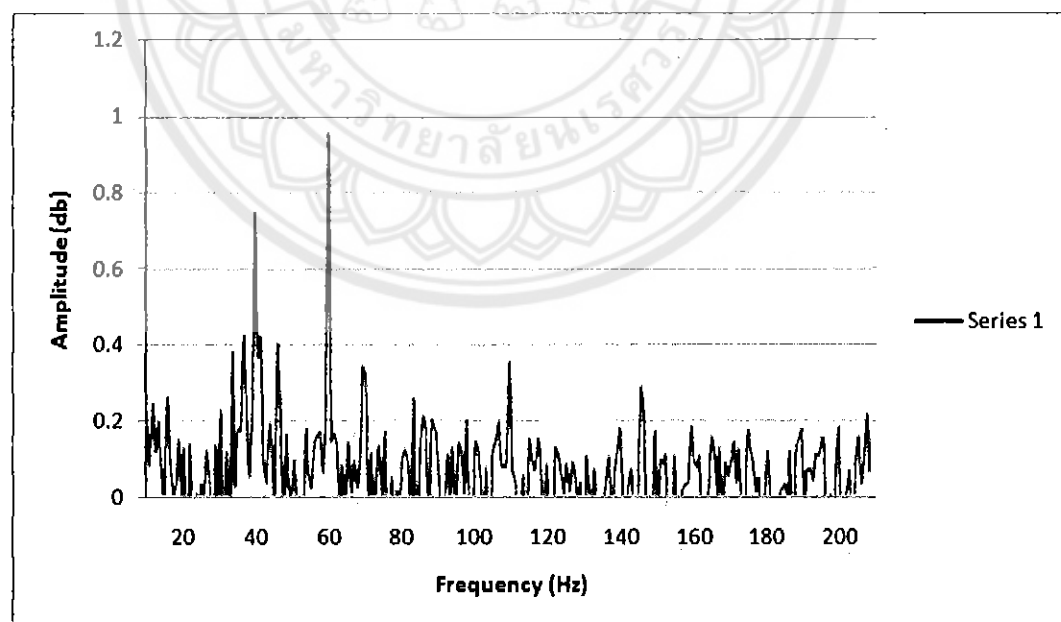
รูปที่ 4.86 กราฟผลการทดลองการสั่นสะเทือนในมอเตอร์เสียหายที่โรเตอร์ 4 บาร์ สภาวะโหลดต่างๆ [4.86]

จากราฟผลการทดลองการสั่นสะเทือนในมอเตอร์เสียหายที่โรเตอร์ 4 บาร์ การเพิ่มขึ้นของสภาวะโหลดต่างๆ ทำให้ทราบว่า เมื่อมีภาระทางกลเพิ่มขึ้น ทำให้มอเตอร์ทำงานหนักขึ้น ส่งผลให้ค่า แอมเพลิจูด ของกราฟมีค่าสูงขึ้น นั่นก็คือเกิดการสั่นสะเทือนของมอเตอร์เพิ่มมากขึ้น ด้วย

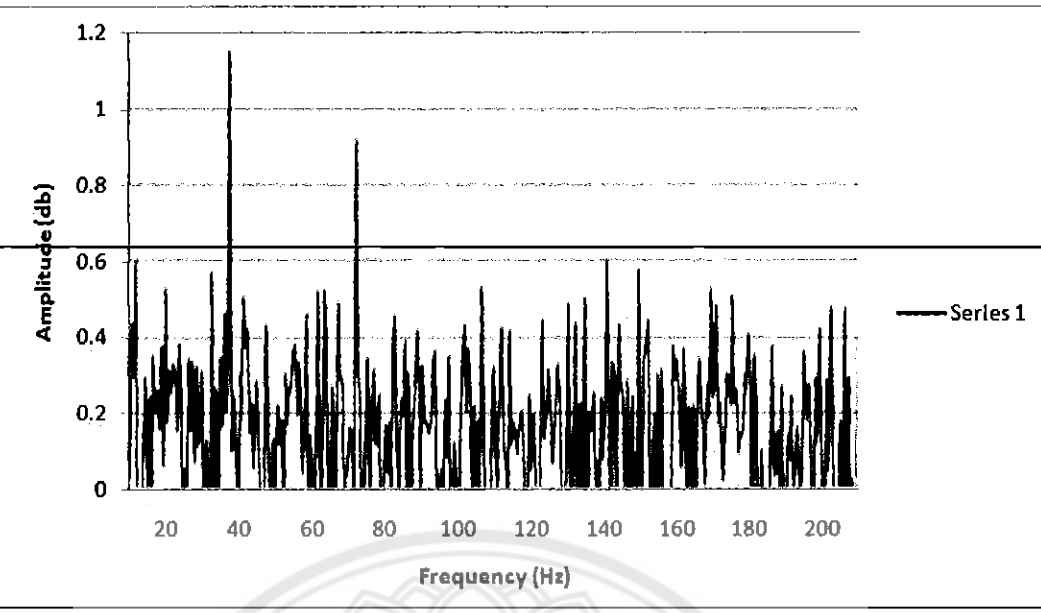
4.3.6 ผลการทดสอบการสั่นสะเทือน ที่มอเตอร์เสียหายที่โกรเตอร์ 5 บาร์



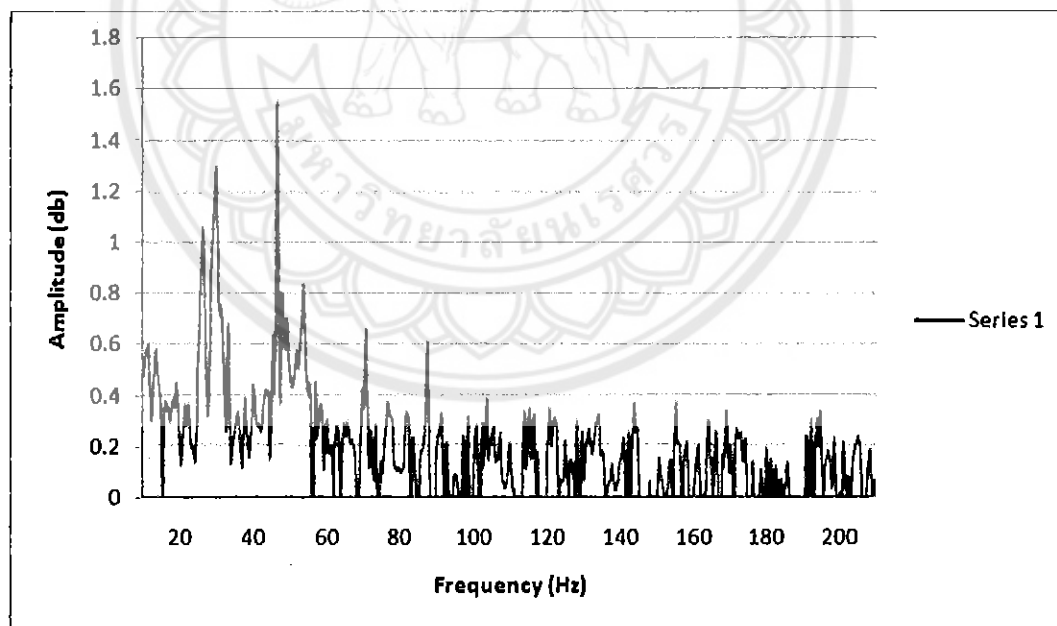
รูปที่ 4.87 กราฟสเปกตรัมการสั่นสะเทือนของมอเตอร์เสียหายที่โกรเตอร์ 5 บาร์ โหลด 0%[4.87]
เมื่อจ่ายแรงดันไฟฟ้าให้กับมอเตอร์เสียหายที่โกรเตอร์ 5 บาร์ 220 V แล้วขั้นการทางกลที่ 0 เปอร์เซ็นต์ พนว่าค่า แอมเพลจูดสูงสุด ที่ได้จากการฟสเปกตรัมมีค่าประมาณ 0.922



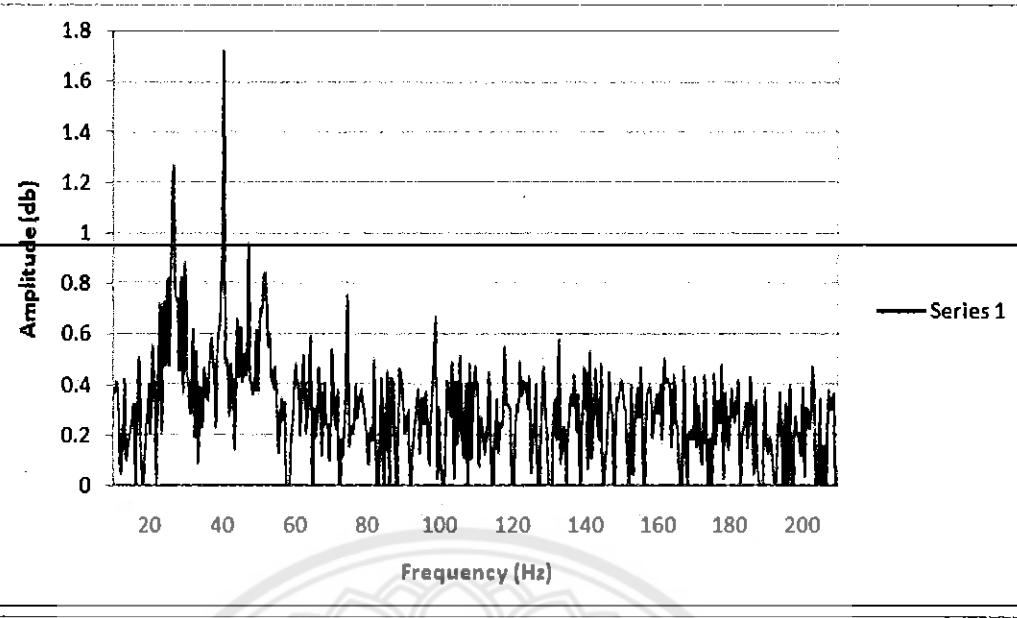
รูปที่ 4.88 กราฟสเปกตรัมการสั่นสะเทือนของมอเตอร์เสียหายที่โกรเตอร์ 5 บาร์ โหลด 20%[4.88]
เมื่อจ่ายแรงดันไฟฟ้าให้กับมอเตอร์เสียหายที่โกรเตอร์ 5 บาร์ 220 V แล้วขั้นการทางกลที่ 20 เปอร์เซ็นต์ พนว่าค่า แอมเพลจูดสูงสุด ที่ได้จากการฟสเปกตรัมมีค่าประมาณ 0.964



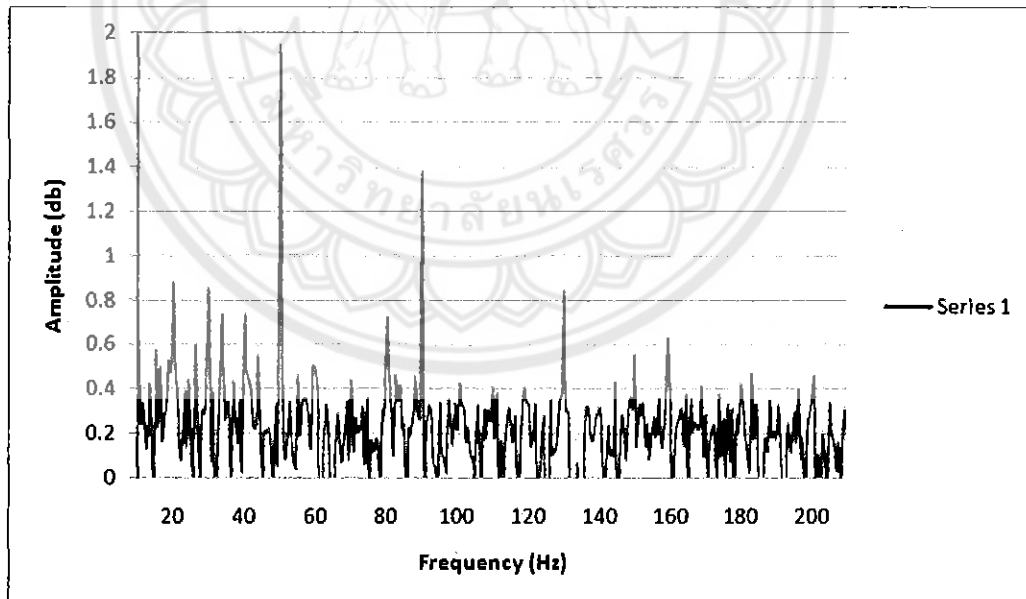
รูปที่ 4.89 กราฟสเปกตรัมการสั่นสะเทือนของนอเตอร์เสียหายที่โอดิโอร์ 5 บาร์ โหลด 40% [4.89]
เมื่อจ่ายแรงดันไฟฟ้าให้กับนอเตอร์เสียหายที่โอดิโอร์ 5 บาร์ 220 V แล้วขับกระแสทางกลที่
40 เปอร์เซ็นต์ พนว่าค่า แอมเพลจูดสูงสุด ที่ได้จากการสเปกตรัมนี้ค่าประมาณ 1.142



รูปที่ 4.90 กราฟสเปกตรัมการสั่นสะเทือนของนอเตอร์เสียหายที่โอดิโอร์ 5 บาร์ โหลด 60% [4.90]
เมื่อจ่ายแรงดันไฟฟ้าให้กับนอเตอร์เสียหายที่โอดิโอร์ 5 บาร์ 220 V แล้วขับกระแสทางกลที่
60 เปอร์เซ็นต์ พนว่าค่า แอมเพลจูดสูงสุด ที่ได้จากการสเปกตรัมนี้ค่าประมาณ 1.562

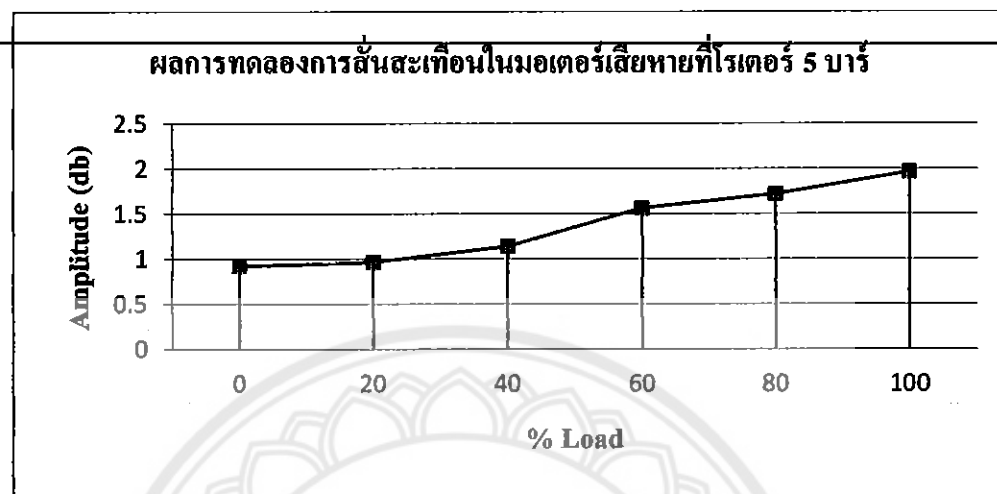


รูปที่ 4.91 กราฟสเปกตรัมการสั่นสะเทือนของมอเตอร์เสียหายที่โวเตอร์ 5 บาร์ โหลด 80% [4.91]
เมื่อจ่ายแรงดันไฟฟ้าให้กับมอเตอร์เสียหายที่โวเตอร์ 5 บาร์ 220 V แล้วขับการทำงานที่ 80 เปอร์เซ็นต์ พบว่าค่า แอมเพลิจูดสูงสุด ที่ได้จากการสเปกตรัมมีค่าประมาณ 1.721



รูปที่ 4.92 กราฟสเปกตรัมการสั่นสะเทือนของมอเตอร์เสียหายที่โวเตอร์ 5 บาร์ โหลด 100% [4.92]
เมื่อจ่ายแรงดันไฟฟ้าให้กับมอเตอร์เสียหายที่โวเตอร์ 5 บาร์ 220 V แล้วขับการทำงานที่ 100 เปอร์เซ็นต์ พบว่าค่า แอมเพลิจูดสูงสุด ที่ได้จากการสเปกตรัมมีค่าประมาณ 1.965

จากราฟสเปกตรัมสัญญาณการสั่นสะเทือนของมอเตอร์เสียหายที่โรมเตอร์ 5 บาร์ ในสภาวะโหลด 0%, 20%, 40%, 60%, 80% และ 100% ตามลำดับ ผลการทดลองที่ได้ค่าแอนพลิจูดสูงสุด คือ 0.922, 0.964, 1.142, 1.562, 1.721 และ 1.965 ทำให้ได้กราฟผลการทดลอง ดังนี้



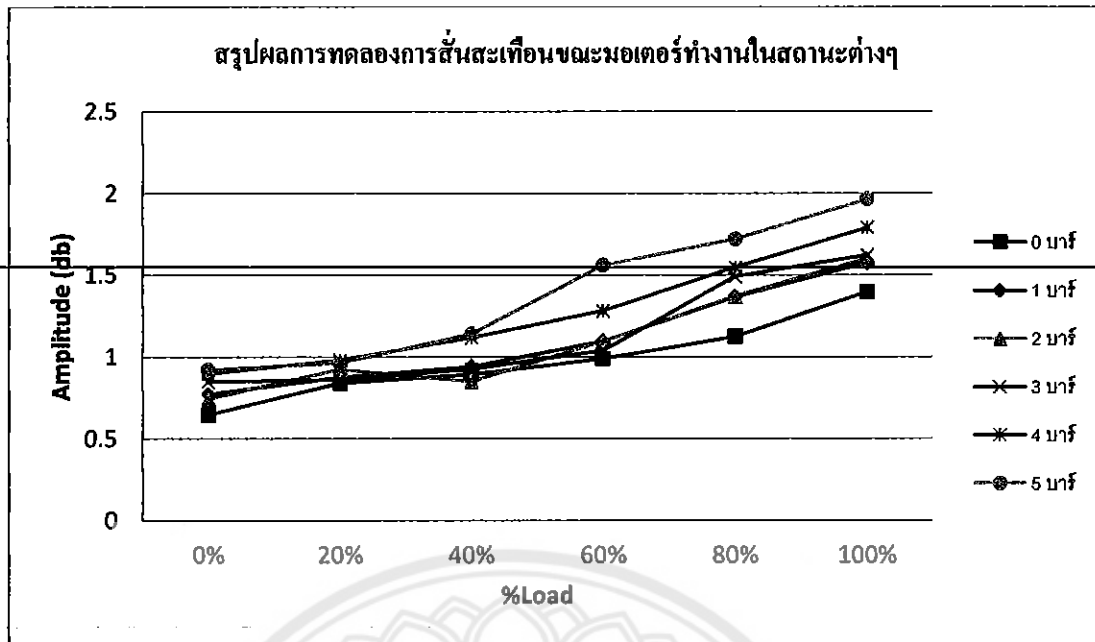
รูปที่ 4.93 กราฟผลการทดลองการสั่นสะเทือนในมอเตอร์เสียหายที่โรมเตอร์ 5 บาร์ สภาวะโหลดต่างๆ [4.93]

จากราฟผลการทดลองการสั่นสะเทือนในมอเตอร์เสียหายที่โรมเตอร์ 5 บาร์ การเพิ่มขึ้นของสภาวะโหลดต่างๆ ทำให้ทราบว่า เมื่อมีภาระทางกลเพิ่มขึ้น ทำให้มอเตอร์ทำงานหนักขึ้น ส่งผลให้ค่า แอนพลิจูด ของกราฟมีค่าสูงขึ้น นั่นก็คือเกิดการสั่นสะเทือนของมอเตอร์เพิ่มมากขึ้น ด้วย

จากราฟผลการทดลองการสั่นสะเทือนในมอเตอร์ขณะทำงานในสถานะที่มอเตอร์ปกติ และเกิดความเสียหายที่โรมเตอร์ 1 บาร์, 2 บาร์, 3 บาร์, 4 บาร์ และ 5 บาร์ ตามลำดับ และในสภาวะโหลด 0%, 20%, 40%, 60%, 80% และ 100% ตามลำดับ สามารถสรุปได้ดังนี้

ตารางที่ 4.8 ผลรวมของการทดลองการสั่นสะเทือนขณะมอเตอร์ทำงานในสถานะต่างๆ

	มอเตอร์ปกติ	เสีย 1 บาร์	เสีย 2 บาร์	เสีย 3 บาร์	เสีย 4 บาร์	เสีย 5 บาร์
0%	0.647	0.772	0.745	0.85	0.898	0.922
20%	0.841	0.877	0.926	0.863	0.982	0.964
40%	0.895	0.942	0.852	0.927	1.12	1.142
60%	0.989	1.097	1.098	1.041	1.283	1.562
80%	1.125	1.368	1.371	1.492	1.549	1.721
100%	1.398	1.576	1.605	1.623	1.791	1.965



รูปที่ 4.94 กราฟแสดงผลรวมการทดลองการสั่นสะเทือนของมอเตอร์ขณะทำงาน [4.94]

จากการทดลองการวัดระดับการสั่นสะเทือนของมอเตอร์ในสภาวะภาระทางกลแต่ละเบอร์เซ็นต์ต่างๆ จะได้กราฟสเปกตรัม ซึ่งค่า แอมเพลจูด ของกราฟสเปกตรัมที่ได้จะบ่งถึงความรุนแรงของการสั่นสะเทือนที่เกิดขึ้น ในการทดลองนี้ ได้ทดสอบดึงการสั่นสะเทือน กราฟสเปกตรัมที่ได้มีค่า แอมเพลจูด ของกราฟเพิ่มขึ้นตามเบอร์เซ็นต์โหลด ขึ้นเบอร์เซ็นต์โหลดมีค่ามากค่า แอมเพลจูด ที่ได้มีค่ามากขึ้น และในขณะเดียวกันการเสียงหายของมอเตอร์ที่เพิ่มมากขึ้น ทำให้ค่าแอมเพลจูดเพิ่มขึ้นเช่นเดียวกัน จึงสรุปได้วามีมีโหลดเพิ่มมากขึ้น เกิดความเสียงหายเพิ่มมากขึ้น ทำให้มอเตอร์ทำงานหนักขึ้น แล้วทำให้ระดับการสั่นสะเทือนเพิ่มมากขึ้น

บทที่ 5

สรุปผลและข้อเสนอแนะ

จากการศึกษาทดลองการวิเคราะห์การสั่นสะเทือนของมอเตอร์และการวิเคราะห์เสียง ข้อมูลของมอเตอร์ทำงาน เป็นระยะเวลาคำนวณในโครงงาน 2 ภาคการศึกษาทำให้ทราบถึงปัญหาที่เกิดขึ้น ในบทนี้จะเป็นการสรุปผลที่ได้จากการทดลองในโครงงาน พร้อมเสนอแนะแนวทางในการนำโครงงานนี้ไปพัฒนาให้มีประสิทธิภาพยิ่งขึ้นไป

5.1 สรุปผลการทดลองการสั่นสะเทือนของมอเตอร์

5.1.1 มอเตอร์ปกติ

การเดินเครื่องมอเตอร์ในสภาวะที่ไม่มีกระแสทางกล จะมีค่าความเร็วรอบคงที่ การสั่นสะเทือนมีค่าคงที่นั่ง แต่เมื่อมีการเปลี่ยนแปลงโหลด ส่งผลให้ความเร็วรอบและการสั่นสะเทือน มีการเปลี่ยนแปลง คือ สภาวะโหลดเพิ่มมากขึ้น ทำให้ความเร็วรอบและการสั่นสะเทือนสูงเพิ่มขึ้น ด้วย นั่นคือ โหลดมีผลกระทบต่อมอเตอร์หนึ่งบาน้ำ 1 เฟส

5.1.2 มอเตอร์เสียหายที่โรเตอร์

จากการทดลองเกี่ยวกับการสั่นสะเทือนของมอเตอร์เสียหายที่โรเตอร์ ที่มีความเสียหายที่ บาร์โรเตอร์เพิ่มขึ้นจาก 1 บาร์, 2 บาร์, 3 บาร์, 4 บาร์ และ 5 บาร์ ตามลำดับ พบว่าการสั่นสะเทือนที่ เกิดขึ้นจะมีผลกระทบต่อการทำงาน การสั่นสะเทือนมีค่าเพิ่มขึ้นตามความเสียหายที่เกิดขึ้น และเมื่อ ทดลองเพิ่มสภาวะทางกลหรือสภาวะโหลดให้กับมอเตอร์ที่เสียหายที่โรเตอร์ ที่มีความเสียหายที่ บาร์โรเตอร์ตั้งกล่าว โดยเพิ่มสภาวะโหลด ที่ 20%, 40%, 60%, 80% และ 100% ผลของการ สั่นสะเทือนมีค่าเพิ่มขึ้นตามสภาวะโหลดที่มากกว่า

จึงสรุปได้ว่า เมื่อมอเตอร์เกิดความเสียหายเพิ่มมากขึ้น การสั่นสะเทือนของมอเตอร์ก็มีค่า เพิ่มขึ้นตาม และเมื่อมีสภาวะทางกลหรือสภาวะโหลดเข้ามาระบบท่อต่อมอเตอร์มากเท่าไหร่ ก็จะยิ่ง ส่งผลต่อการสั่นสะเทือนของมอเตอร์ให้เพิ่มมากขึ้นเท่านั้น และเป็นผลให้การทำงานของมอเตอร์มี ประสิทธิภาพลดลง

5.2 สรุปผลการทดลองของเสียงขณะมอเตอร์ทำงาน

5.2.1 มอเตอร์ปกติ

จากการทดลองการวัดระดับเสียงขณะมอเตอร์ทำงานทั้งแบบมีภาระทางกลและแบบไร้ภาระทางกลพบว่า ขณะมอเตอร์ทำงานแบบไร้ภาระทางกลสัญญาณเสียงที่วัดได้มีระดับเสียงเบา เมื่อเปรียบเทียบกับการทำงานของมอเตอร์ขณะมีภาระทางกล และยังเพิ่มโหลดให้มอเตอร์มากขึ้นพบว่าสัญญาณเสียงที่ออกมากมีค่าเพิ่มขึ้น เนื่องจากผลกระทบต่างๆ ทำให้เกิดสัญญาณเสียงที่แตกต่างกันออกมาก

5.2.2 มอเตอร์เสียหายที่โรเตอร์

จากการทดลองเสียงที่เกิดขึ้นในมอเตอร์เสียหายที่โรเตอร์ ที่มีความเสียหายที่บาร์โรเตอร์ เพิ่มขึ้นจาก 1 บาร์, 2 บาร์, 3 บาร์, 4 บาร์ และ 5 บาร์ ตามลำดับ พบว่าค่าแอนพลิจูดของเสียงที่เกิดขึ้น ขณะมอเตอร์มีการทำงาน แอนพลิจูดของเสียงมีค่าเพิ่มขึ้นตามความเสียหายที่โรเตอร์ แล้วเมื่อทดลองเพิ่มภาระทางกลหรือสภาวะโหลดให้กับมอเตอร์เสียหายที่โรเตอร์ ที่มีความเสียหายที่บาร์ โรเตอร์ดังกล่าว โดยเพิ่มภาระโหลด คือ 20%, 40%, 60%, 80% และ 100% ผลคือการแอนพลิจูด ของเสียงมีค่าเพิ่มขึ้นตามสภาวะโหลดที่มีการทำ

จึงสรุปได้ว่า เมื่อมอเตอร์เกิดความเสียหายเพิ่มมากขึ้น เสียงของมอเตอร์ที่เกิดขึ้นก็มีค่าเพิ่มขึ้นตาม และเมื่อมีสภาวะทางกลหรือสภาวะโหลดเข้ามากระทำต่อ มอเตอร์มากเท่าไหร่ ก็จะยิ่งส่งผลต่อค่าแอนพลิจูดของเสียงที่เกิดขึ้นของมอเตอร์ให้เพิ่มมากขึ้นเท่านั้น และเป็นผลให้การทำงานของมอเตอร์มีประสิทธิภาพลดลง

5.3 การประเมินผลการทดลอง

จากการดำเนินงาน โครงการมีอีกน้ำหนึ่ง ได้ผลดังนี้

5.3.1 สามารถคำนวณทอร์คได้ จากการวัดทอร์คที่ภาระทางกลมีค่า 100% โดยการนำค่าพิกัดกระแสของมอเตอร์เหนี่ยวนำ 1 เฟสมาใช้ในการอ้างอิง เพื่อวัดค่ากระแสและการวัดความเร็วอนของมอเตอร์ตามค่าภาระทางกลต่างๆ

5.3.2 สามารถบันทึกผลและวัดค่าพารามิเตอร์ต่างๆ ในการพิจารณาเสียง คือ สภาวะเสียงของมอเตอร์ ขณะเดินเครื่องมอเตอร์เหนี่ยวนำ 1 เฟสในสภาวะรูปสัญญาณเสียง ค่าแอนพลิจูดของเสียง ในสภาวะภาระทางกล 20%, 40%, 60%, 80% และ 100% และในสภาวะที่ไม่มีภาระทางกล

5.3.3 สามารถวิเคราะห์และเปรียบเทียบค่า เสียงของมอเตอร์เหนี่ยวนำ 1 เฟส ขณะเดินเครื่อง มอเตอร์เหนี่ยวนำ 1 เฟส ในสภาวะภาระทางกล 20%, 40%, 60%, 80% และ 100% และในสภาวะที่ไม่มีภาระทางกล

5.3.4 สามารถบันทึกผลและวัดค่าพารามิเตอร์ต่างๆ ในการสั่นสะเทือนของมอเตอร์ได้ คือ ค่าการสั่นสะเทือนของมอเตอร์ขณะเดินเครื่องของมอเตอร์หนี่ยวนำ 1 เฟสในสภาวะการทำงาน 20%, 40%, 60%, 80% และ 100% และในสภาวะที่ไม่มีการทำงาน

5.3.5 สามารถวิเคราะห์และเปรียบเทียบค่าการสั่นสะเทือนของมอเตอร์ ขณะเดินเครื่องของมอเตอร์หนี่ยวนำ 1 เฟสในสภาวะการทำงาน 20%, 40%, 60%, 80% และ 100% และในสภาวะที่ไม่มีการทำงาน

5.4 ปัญหาและการแก้ไข

5.4.1 ปัญหาเกิดจาก มอเตอร์หนี่ยวนำที่ใช้ในการทดสอบเดินเครื่องนาน ไม่ได้ เนื่องจากมอเตอร์จะเกิดความร้อน จึงต้องบันทึกค่าด้วยความรวดเร็วในช่วงที่มอเตอร์หนี่ยวนำเดินเครื่องเพื่อป้องกันมอเตอร์เสียหาย

5.4.2 ปัญหาเกิดจาก ปัญหาอุณหภูมิของมอเตอร์ก่อนทำการทดสอบ เป็นจุดมือเดินเครื่อง มอเตอร์จะทำให้เกิดความร้อน แล้วค่าความร้อนของมอเตอร์ก่ออย่าง ลดลง ต้องให้มอเตอร์มีอุณหภูมิเท่ากับ อุณหภูมิของมอเตอร์ก่อนทำการทดสอบทุกครั้ง จึงต้องพักมอเตอร์เป็นช่วงๆ ทำให้การทดสอบใช้เวลานาน

5.4.3 ในการเริ่มเดินมอเตอร์ใหม่ทุกครั้งจะต้องทำให้มอเตอร์มีอุณหภูมิเท่ากันทำให้ใช้เวลานาน

5.4.4 ในการปรับกระแสเป็นแบบหมุนทำให้ได้กระแสในแต่ละครั้งต่างกันเล็กน้อย

5.4.5 ปัญหาเกิด เสียงรบกวนภายนอก ต้องสร้างกล่องเก็บเสียง โดยผนังของกล่องบุ้งคึ้ง ขนาดเพื่อป้องกันไม่ให้ค่าของเสียงรบกวนภายนอก ต้องใส่ในกล่อง

5.4.6 ปัญหาเกิดจาก อุปกรณ์ในการทดสอบมีประสิทธิภาพไม่ค่อยดีทำให้ได้ผลการทดสอบคลาดเคลื่อน

5.5 ข้อเสนอแนะ

5.5.1 ควรหาตัวช่วยในการระบายน้ำความร้อนของมอเตอร์ เช่น พัดลม นาฬิกาช่วยในการระบายน้ำความร้อน เพื่อให้ใช้เวลาได้น้อยลง

5.5.2 ก่อนเริ่มเดินมอเตอร์ต้องตรวจสอบอุณหภูมิของมอเตอร์ให้เท่ากันทุกครั้ง

5.5.3 ควรใช้มอเตอร์ 2 ตัวที่ของขนาดพิเศษเท่ากัน ทำงานเพื่อนช่วยให้ทดลองได้เร็วขึ้น

5.5.4 การใช้เครื่องมือที่เป็นแบบดิจิตอลเพื่อให้การจดค่าต่างๆ ไม่คาดเคลื่อน

5.6 แนวทางในการพัฒนาต่อไป

ผลที่ได้จากการศึกษาและทดลองในโครงการนี้ สามารถนำไปประยุกต์ใช้ในโรงงานอุตสาหกรรมได้ ซึ่งในโรงงานนี้ได้กล่าวถึงทฤษฎีและหลักการที่เกี่ยวข้องกับ เสียงของมอเตอร์ เพื่อความปลอดภัยจากอันตรายจากเสียง ที่มีผลกระทบต่อการ ได้ยินของมนุษย์ และเพื่อศึกษาความเสียหายของมอเตอร์ เมื่อมอเตอร์ผิดปกติ และผลที่ได้จากการศึกษาทฤษฎีและหลักการที่เกี่ยวข้อง กับการสั่นสะเทือนของมอเตอร์ นี้เพื่อให้เป็นแนวทางในการนำไปพัฒนาการเดือกขนาดและการควบคุมมอเตอร์ให้ได้ประสิทธิภาพสูงสุด ประหยัดพลังงาน การสั่นสะเทือนอยู่ในสภาวะที่เหมาะสม ไม่สูงเกินกำลังของมอเตอร์ และเพื่อลดต้นทุน เพื่อให้เป็นแนวทางในการออกแบบ โรงงานอุตสาหกรรม



เอกสารอ้างอิง

[1] รศ.ดร.เดช พุทธเจริญทอง. การวิเคราะห์การสั่นสะเทือน(Vibration Analysis).

กรุงเทพมหานคร: คุณย์ส่งเสริมกรุงเทพ, 2548

[2] ประดิษฐ์ หมู่เมืองสอง และสุชณาน ธรรมสุข. การวิเคราะห์การสั่นสะเทือน(Vibration Analysis). กรุงเทพมหานคร: สำนักพิมพ์จีเอ็คьюแคชั่น, 2550.

[3] ดร.นิวัตร์ มูลป่า. การสั่นสะเทือนเชิงกล(Mechanical Vibration). เชียงใหม่: โภตนาพรรัตน์, 2554

[4] นอเตอร์ไฟฟ้ากระแสสลับชนิด 1 เฟส (A.C. Single Phase).

แหล่งที่มา: <http://webserv.kmitl.ac.th/.php>. สืบค้นเมื่อ 15 กรกฎาคม 2556

[5] การวิเคราะห์ความผิดปกติในมอเตอร์.

แหล่งที่มา: <http://www.tgipmt.com/en/articles/motor/16/print> สืบค้นเมื่อ 8 กรกฎาคม 2556

[6] นอเตอร์ไฟฟ้า. แหล่งที่มา: eng.sut.ac.th/me/meold/3_2551/435330/sut.ppt

สืบค้นเมื่อ 15 กรกฎาคม 2556

ประวัติผู้ดำเนินโครงการ



ชื่อ นางสาวณชาภาณุจันทร์ อันสาย
 ภูมิลำเนา 64/10 หมู่ 5 ต.เกาะตาเลียง อ.ศรีสำโรง จ.สุโขทัย 64120
 ประวัติการศึกษา

- จบระดับมัธยมศึกษาตอนปลายจากโรงเรียนอุดมครุภัย
- ปัจจุบันกำลังศึกษาในระดับปริญญาตรีชั้นปีที่ 4
 คณะวิศวกรรมศาสตร์ สาขาวิศวกรรมไฟฟ้า
 มหาวิทยาลัยนเรศวร

E-mail : nacha_nikky@hotmail.com



ชื่อ นายเอกพจน์ เดชบุญ
 ภูมิลำเนา 264 หมู่ 1 ต.ห้วยแก้ว อ.ภูgambya จ.พะเยา 56000
 ประวัติการศึกษา

- จบระดับมัธยมศึกษาตอนปลายจากโรงเรียนคงเจนวิทยาคม
- ปัจจุบันกำลังศึกษาในระดับปริญญาตรีชั้นปีที่ 4
 คณะวิศวกรรมศาสตร์ สาขาวิศวกรรมไฟฟ้า
 มหาวิทยาลัยนเรศวร

E-mail : makinjung_1911@hotmail.com